

# UNIVERSIDAD DE OVIEDO



## PROGRAMA DE DOCTORADO EN INVESTIGACIONES HUMANÍSTICAS

**Estrategias de Subsistencia en los Andes  
Septentrionales del Ecuador durante los periodos  
Formativo y Desarrollo Regional: los casos de Las  
Orquídeas (Ibarra) y Llano Chico (Quito).**

TESIS DOCTORAL

Luis Rodríguez Fernández

2023

# UNIVERSIDAD DE OVIEDO



## PROGRAMA DE DOCTORADO EN INVESTIGACIONES HUMANÍSTICAS

**Estrategias de Subsistencia en los Andes  
Septentrionales del Ecuador durante los periodos  
Formativo y Desarrollo Regional: los casos de Las  
Orquídeas (Ibarra) y Llano Chico (Quito).**

TESIS DOCTORAL

Luis Rodríguez Fernández

2023



A la memoria de  
Cecilio Barroso Ruiz



## Agradecimientos

Quisiera agradecer por su ayuda en la conquista de esta etapa a mis directores, el Dr. Marco de la Rasilla, por ser un guía en la distancia, y al Dr. Carlos Montalvo, por siempre estar presente aun cuando yo mismo me perdía. Este trabajo es tanto suyo como mío.

No me gustaría dejar pasar la oportunidad de mencionar a aquellas personas que me facilitaron en gran medida el trabajo, abriéndome puertas que creía cerradas o compartiendo un café que recargaba energías. El Dr. Eric Dyrdaahl, por ser la persona que primero confió en mí, más allá de lo que yo le he correspondido y que me dio un espacio en el laboratorio de la PUCE, además que junto al Dr. Carlos Montalvo, me dieron el acceso al estudio de Las Orquídeas. Al arqueólogo Andrés Mosquera y al arqueólogo Daniel Soria por su apertura para que yo participara de las excavaciones y análisis de Llano Chico. A Fernando Mejía por su ayuda revisando materiales en la reserva. A las arqueólogas Gabriela Juape y Monserrate Rosero. A Sara de Francisco, pronto mamá, y a Ana “Joglar” que ya lo ha sido. Ambas tuvieron a bien mencionarme en sus agradecimientos de tesis y ese fue un impulso para que en este momento yo pudiera devolvérselo.

A todas las personas que de alguna manera creyeron en que esto podría ver la luz. A mi familia. A mi esposa Yadrina, a mi hija Anaeli y a nuestra perrita Uma, compañera incansable desde el inicio de esta tesis.



# Índice

Prefacio .....	8
Objetivos de la investigación. ....	8
Estructura de la tesis. ....	10
Los Andes Septentrionales del Ecuador. ....	12
Contexto Espacial de la Sierra Norte. ....	13
Contexto Historiográfico.....	14
El Periodo Formativo Ecuatoriano. ....	15
El Desarrollo Regional Ecuatoriano.....	19
Las Orquídeas (Imbabura, Ecuador). ....	20
Introducción. ....	20
Descubrimiento.....	20
Campañas de Excavación. Sistema de recogida y excavación. ....	21
Importancia del Yacimiento. ....	22
Marco Medioambiental.....	22
Estratigrafía y sedimentología. ....	23
Cronología.....	24
Procedencia de los restos.....	24
Selección del material. ....	24
Llano Chico (Pichincha, Ecuador).....	25
Introducción.....	25
Descubrimiento.....	25
Primera fase.....	25
Segunda Fase.....	29
Campañas de Excavación. Sistema de recogida y excavación. ....	29
Fase II. Monitoreo. ....	49
Importancia del Yacimiento.....	51
Estratigrafía y sedimentología. ....	52
Cronología.....	61
Procedencia de los restos fáunicos.....	64
Selección del material fáunico.....	64
La Arqueozoología.....	65
¿Qué es la arqueozoología? .....	65
Metodología.....	66
Clasificación de los restos.....	66

Identificación taxonómica y anatómica .....	67
Cálculo de edad e identificación sexual .....	67
Estudio biométrico .....	68
Remontajes y rearticulaciones. ....	68
Estudio tafonómico. ....	68
Alteraciones antrópicas. ....	69
Alteraciones naturales (bióticas y abióticas).....	70
Unidades de Cuantificación .....	71
Base de Datos.....	72
Resultados del Análisis Arqueozoológico de Las Orquídeas. ....	74
Estrategias de Subsistencias en Las Orquídeas durante el Formativo Tardío. ....	87
Resultado del Análisis Arqueozoológico en Llano Chico. ....	88
Análisis Fase II de Llano Chico .....	157
Estrategia de subsistencia en Llano Chico durante el Desarrollo Regional. ....	229
La relación ser humano-fauna en los Andes Septentrionales del Ecuador durante los periodos Formativo Tardío y Desarrollo Regional.....	230
Bibliografía .....	232
Anexos.....	239

## Prefacio

En los últimos años en Ecuador se ha vivido una explosión de los estudios multidisciplinarios en arqueología. Gracias a la academia se han ido dejando atrás los tiempos de los anticuarios, los expolios, y se ha ido construyendo conocimiento e identidad a través de las investigaciones (Delgado, 2008; Valdez, 2009). No se niega de la existencia de estas malas prácticas, pero aquellos que luchan por reconstruir el pasado de sus pueblos, cómo surgen, se relacionan e incluso desaparecen, son más.

La interdisciplinariedad que ha avanzado con paso firme en otros lugares aquí ha venido para quedarse. Los tiempos en los que el fetiche de las investigaciones arqueológicas eran materiales como la cerámica, los restos óseos humanos o la lítica, mientras que lo demás era descartado, ya son cosa del pasado. Estudios sobre restos óseos fúnicos, malacología, antracología, isótopos, y una cada vez mayor variedad de temas, siguen creciendo. La arqueozoología o zooarqueología, según la corriente de formación europea o norteamericana, en Ecuador ha buscado explicar esa relación indisoluble entre el medio y el ser humano a través del análisis del material fúnico en trabajos como los de Stahl (2000), Reiz & Wing (2004) o Gutiérrez (2009). Esa eterna relación que ha marcado su historia condicionada por la geografía, los recursos y el gasto energético para acopiarse de ellos. Siempre se ha buscado el balance positivo, que la energía gastada, incluido el peligro inherente, sea menor que la energía proporcionada por la presa y su consumo. Es lo que se ha llamado Teoría del Forrajeo Óptimo (Marín-Arroyo, 2010 pp. 255-265). Esa necesidad genera especialización, y por tanto es lógico pensar que en ecosistemas de sierra predominen elementos como el venado, mientras que en zonas de ríos o sobre todo en costa, podamos encontrarnos con una mayor cantidad de elementos marinos (Ugalde, M.F. *et al.*, 2023; Ugalde, M.F., Dyrdaahl, E., 2021). Igualmente, los productos derivados de su explotación, a los que denominamos productos secundarios, son diferentes. De un pez surgirán elementos para collares. De los huesos fuertes y resistentes de un venado podemos estar extrayendo puntas, azagayas, espátula y otros elementos, en la generación de una auténtica “industria” del hueso (Pérez, 2013). Incluso su dentición puede servir de colgante. Pero quizás el elemento más socorrido son sus astas, cuya capacidad de alteración en beneficio de los grupos humano es enorme. La geografía condiciona esas relaciones.

La metodología empleada no difiere de otras zonas geográfica. El principal escollo es lograr acceso a buenas colecciones de referencia y comparación taxonómica adecuadas con las especies sobre las que se trabaja. Lamentablemente, y volviendo una vez más sobre las circunstancias, en ciertos casos se vuelve muy complicado. Es complicado acceder, es complicado encontrar lo adecuado, es complicado mantener y la pandemia de coronavirus generó atrasos y modificaciones en todas las investigaciones a nivel mundial. La parte más innovadora para estudios llevado a cabo en Ecuador se trata de ir más allá del taxón y conocer la alteración tafonómica de los restos y por ende la relación de lo que en su día fue fauna viva con los seres humanos con los que convivió y el entorno en que se desarrolló, murió y se depositó.

Objetivos de la investigación.

Esta investigación se base en el análisis de dos yacimientos de los Andes Septentrionales del Ecuador en los que se encontraron restos óseos fúnicos, uno perteneciente al Formativo Tardío (Las Orquídeas en San Antonio de Ibarra) (Dyrdaahl, E., Montalvo, C. 2014a; Dyrdaahl, E., Montalvo,

C., 2014b), y otro al Desarrollo Regional (Llano Chico en Quito) (Soria, D. *et al.* 2021; Mosquera, A. 2023).

El objetivo principal es conocer, a través del análisis del material óseo fáunico, el comportamiento humano en sus relaciones con la fauna en un mismo ecosistema, pero en dos periodos culturales consecutivos distintos. Reconstruir posibles estrategias de subsistencia, modos de vida y adaptaciones al medio.

Me he servido de ambos conjuntos fáunicos y de toda la información generada en las diversas campañas de excavación de los yacimientos mencionados donde se ha participado activamente, así como de los trabajos que simultáneamente se han desarrollado abarcando otros campos de interés cuyos resultados son de destacar y que serán mencionados en páginas sucesivas. Este es un pequeño aporte al objetivo global que es extraer la mayor cantidad de información de los materiales que han sido recuperados y con ellos intentar llevar a cabo una pequeña contribución al conocimiento de la historia pasada de Ecuador.

Estos restos óseos son productos de procesos de trabajo, distribución y consumo específico, a través de los cuales conocer cómo los grupos humanos gestionaban y explotaban los recursos, evidenciando su estrecha relación con el medio que les rodeaba. Al sumar la información que aquí se pueda extraer de los restos, podremos acercarnos a vislumbrar la estrategia económica global, así como la organización social.

La intención es poder definir especies, de las cuales diferenciar aquellas que son producto de la caza o domésticas. Sus edades, absolutas o relativas, y su sexo, en la medida de lo posible. Posibles patrones de transporte al asentamiento y la fragmentación de los huesos, y con ello conocer la existencia de movilidad territorial y regional, que puedan ser respaldados por el trabajo con otro tipo de materiales como la lítica, los textiles o la cerámica. Esta última es la que tradicionalmente ha tenido una mayor atención en los estudios científicos en Ecuador.

Por todo ello, y haciendo un pequeño repaso de lo mencionado, los objetivos son los siguientes:

- Reconocer las estrategias de subsistencia de los habitantes de este ecosistema que son los Andes septentrionales del Ecuador.
- Identificar taxones más importantes en el registro arqueológico y comparar especializaciones.
- Analizar los agentes tafonómicos, tanto biótico como abiótico, a través de su impronta en los restos, y con ello entender la conformación del depósito y la limitación de la muestra.

No son todos los posibles, pero sí los que se han marcado. El campo de la arqueozoología está en continua evolución. Hoy en día son muy comunes ya no sólo los estudios taxonómicos, anatómicos, tafonómicos o cuantitativos, donde nos aproximemos a la definición de edades y sexo, sino también cálculos de biomasa, estudios de isótopos, histológicos, radiográficos, patológicos u osteométricos (Chaix & Méniel, 2005, pp. 45-64, 95-108, 115-183; Reitz & Wing, 2008, pp. 117-250; Torres, P., 2018), que sumados a la gran variedad de elementos base de estos estudio pueden dar a entender lo amplio de las posibilidades que tenemos ante nosotros.

Estructura de la tesis.

Esta tesis surgió con la idea de trasladar a Ecuador la metodología aprendida durante mi grado en la Universidad de Oviedo junto al Dr. de la Rasilla, director de esta tesis, y mi máster en la Universidad de Cantabria, con la Dra. Marín, sumado al aporte por parte de los arqueólogos del Pontificia Universidad Católica del Ecuador cediendo sus materiales. En especial al Dr. Dyrdaahl y al Dr. Montalvo directores de las investigaciones en Las Orquídeas. Por ellos también se pudo participar de una de las campañas de excavación, donde se conoció la metodología de trabajo y recuperación de los restos, así como analizar de primera mano el yacimiento.

A finales del año 2020 surgió la posibilidad de trabajar con un nuevo proyecto, dirigido por el arqueólogo Soria, y auspiciado desde el Instituto Metropolitano de Patrimonio de Quito, y administrado por el arqueólogo Mosquera. Se pudo ser parte de la primera campaña, fruto de unas labores de alcantarillado de la zona. Una primera fase de prospección entre 2020-2021, donde lideró Soria, y una segunda en 2022 de seguimiento de movimiento de tierras donde se pudo analizar los restos fáunicos facilitados por Montalvo. Este yacimiento, que como ya se supondrá es Llano Chico, se pudo incorporar a la tesis, permitiendo analizar la relación del ser humano con la fauna en dos yacimientos de ecosistemas similares (Cañadas, L. 1983), pero pertenecientes a dos periodos consecutivos, el Formativo tardío y el Desarrollo Regional.

Es importante ir de lo macro a lo micro. Por ello, y como los dos yacimientos se encuentren ubicados en los Andes septentrionales del Ecuador, lo primero es definir la geografía, la geología, el medio ambiente y los trabajos que se han llevado a cabo en este espacio. Se hace un breve recorrido por la arqueología ecuatoriana y por las definiciones de los periodos Formativo y Desarrollo Regional donde, además, siguiendo lo propuesto por el Dr. Stahl (2003) hemos seleccionado unos yacimientos representativos por tres motivos. El primero es que se ubican en la misma geografía andina, el segundo es que pertenecen a los mismos periodos estudiados y el tercero es que contienen restos fáunicos. Nos apoyamos en sus evidencias para poder interpretar las nuestras.

Estos yacimientos son para el Formativo, La Chimba (Stahl, 2000) y Cotocollao (Villalba, 1988), y para el Desarrollo Regional, Jardín del Este (Buys, J. 1994).

Los dos siguientes acápite tratan sobre los yacimientos que son objeto de estudio de esta tesis, Las Orquídeas (Dyrdaahl, E. Montalvo, C., 2014a, Dyrdaahl, E. Montalvo, C., 2014b) y Llano Chico (Soria, 2021), (Mosquera, 2023). Su descubrimiento, campañas de excavación, la importancia del yacimiento, su marco medioambiental concreto y su estratigrafía. Abordaremos también el origen de los materiales que hemos seleccionado y el motivo por el cual hemos elegido unos y no otros.

El siguiente punto trata sobre la arqueozoología. Su significado, desarrollo y experiencias en el Ecuador. Hablaremos sobre la metodología empleada y las fases que hemos desarrollado para este trabajo que son las siguientes:

- Selección y limpieza del material.
- Identificación del material a nivel anatómico y taxonómico. Donde nos apoyamos de la visita a colecciones de referencia para llevar a cabo comparación osteológica, así como de diferente material bibliográfico.
- Identificación de edades y sexo.

- Análisis tafonómico. Identificación de huellas macroscópicas y microscópicas producidas por agentes antrópicos (fracturas, percusiones, cortes), bióticos como carnívoros, roedores, insectos, hongos, raíces o abióticos como la acción de elementos como el agua, el sol, la presión del sedimento entre otros como proponen llevar a cabo autores como Binford (1981), Lyman (1994), (Yravedra, 2006) o Reitz & Wing (2008)
- Determinación cuantitativa de restos e individuos.

A ello le sumamos los resultados obtenidos y las conclusiones asociadas para cada yacimiento, finalizando con unas conclusiones globales determinadas por ubicación geográfica y la evolución cultural.

Todos estos puntos serán desarrollados en sucesivos capítulos.



Los Andes Septentrionales del Ecuador.

Ecuador es un país megadiverso ubicado en la región noroccidental de Sudamérica que ocupa un área de 256.730 km<sup>2</sup>. Limita al norte con Colombia, al este y sur con Perú y al oeste con el océano Pacífico. Los Andes dividen la parte continental de norte a sur, lo que conforma cuatro regiones bien diferenciadas: Amazonía en el oriente; Sierra en el centro con la bifurcación de la cordillera andina en la Cordillera Occidental con alturas entre los 3000 y los 3600 msnm. y la Cordillera Real que fácilmente excede los 4000 msnm., conformando entre ellas los valles interandinos, con vegetación entre las subtropicales del sur de Colombia y la del Altiplano peruano, atravesados a su vez por cadenas montañosas de menor entidad conformando las denominadas hoyas (Guallabamba o Ibarra por ejemplo), con sus cuencas hidrográficas direcciones a atravesar esas grandes entidades en dirección al océano (Porras, 1980; Villalba 1988; Sarmiento and Frolich, 2002; Torres, 2014); Costa en el occidente con sus grandes planicies; y la región insular de las Galápagos en el océano Pacífico.



Imagen. Mapa de los Andes del Ecuador. Tomado de Mery, 2020.

Debido a la ubicación del país sobre la zona ecuatorial no existe una variabilidad estacional como en otras latitudes, definiéndose en su lugar una estación húmeda frente a una seca influenciadas por la marcada topografía. En la región andina y transición a las otras regiones nos encontramos un clima con temperaturas medias y podríamos decir que seco, con la presencia de multitud de volcanes, cuyos materiales fruto de sus erupciones se han depositado principalmente en los valles interandinos (Hall y Mothes, 1998), siendo un elemento fundamental en las

investigaciones arqueológicas, ya que ha marcado el devenir de los asentamientos humanos y sus desarrollos culturales. La Amazonía se caracteriza por las selvas tropicales. Y la costa cuenta con un clima tropical húmedo muy influenciado por la corriente de El Niño y el fenómeno de La Niña (Burke *et al.*, 2010).

Contexto Espacial de la Sierra Norte.

Nos encontramos ante el territorio donde se desarrollaron los asentamientos aquí estudiados. En un valle entre grandes cordilleras, marcados por las quebradas que cortan las llanuras, lagunas (algunas ya desaparecidas como Ñaquito en el norte de Quito o Turubamba en el sur, en el área de Quito) importantes a la hora establecer los asentamientos, con la imponente presencia de numerosos volcanes como Chimborazo, El Altar, Cayambe, Antisana o Tungurahua, surcados por fallas de forma transversal y longitudinal, que serán determinantes para el desarrollo humano (Villalba y Alvarado, 1998).

Cuatro son los volcanes que se asientan en el graben de Quito: el Cotopaxi (5879m.), el más alejado del centro de la tierra superando con mucho al Everest, el Guagua Pichincha (4794 m.), el Quilotoa (3914 m.) y el Pululahua (3356 m.), con erupciones en tiempo históricos incluida la devastadora de 1887 del Cotopaxi. Todo ello conlleva que la zona de Quito sea una depresión volcaneotectónica, limitada por fallas con las dos Cordilleras a sus costados (Paladines, 1989).

El Pululahua en la zona de Pichincha marcará la interpretación del yacimiento de Llano Chico, puesto que su erupción hace 2300 años (Hall y Mothes, 1998) con una enorme energía y expulsión de materiales provocó que se cubrieran de ceniza las llanuras cercanas de San Antonio de Pichincha, y afectando al territorio no sólo de lo que hoy en día es Quito, sino que llegaron hasta la costa como así ha evidenciado en algunos yacimientos (Isaacson y Zeidler, 1998). Esta erupción y sus consecuencias serán el agente catalizador de un cambio cultural muy importante entre el Formativo Tardío y el Desarrollo Regional. Sus evidencias fueron encontradas en el sitio de Cotocollao que aquí será descrito por sus restos pertenecientes al primer periodo en la zona de Quito. Dichas cenizas, diferenciadas de las generadas en otros episodios por su composición mineralógica, de varios centímetros de espesor, fueron encontradas sobre una necrópolis en Cotocollao (Villalba, 1988) y de igual manera fueron identificadas en Rancho Bajo por Ugalde (2013) por encima de los restos encontrados asociados al Formativo Tardío.

Por otro lado, y sin olvidarnos del otro yacimiento que aquí estamos tratando, volcanes como el Imbabura o el Cotacachi dominan el territorio en la zona de San Antonio de Ibarra, perteneciente a la Hoya de Ibarra, donde se encuentran Las Orquídeas. Siempre presentes en una cantidad nada común en otros lugares del planeta, algunos latentes y cada cierto tiempo, sorprendiéndonos con una erupción, siendo, además, en esta región norte donde se han dado la mayoría de los episodios eruptivos. No es de extrañar que hoy en día se les siga venerando en algunos pueblos como auténticas deidades que han venido marcando el devenir humano desde su primera presencia en esta región, cubriendo el sol, devastando suelos, obligando al traslado de asentamiento y provocando la adaptación a las circunstancias a través del avance tecnológico.

La Hoya de Ibarra, forma parte del callejón interandino, o también denominada Hoya del Chota por su principal río, limita al este con la Cordillera Oriental de los Andes, con el Mirador (4081 msnm) como altura principal y en un espacio donde no se reconocen fallas. Al oeste, la Cordillera Occidental, con el dominio del Cotacachi (4937 msnm) o el Yanaurco (4538 msnm) que van perdiendo altura hacia el Pacífico en el camino del río Mira hacia el océano. Al norte, el límite es la depresión del río Chota, y al sur el Macizo de Mojanda con los (4500) principal elevación msnm del Imbabura entre otros volcanes como el Cunro o el Cubilche. Todo ello rodeando al valle de Ibarra, con una altura media de 2200 msnm (Morán, A., 1995).

En contraparte, el clima de las tierras altas del norte situadas en estos valles, tanto en Quito como en Ibarra, principales poblaciones asociadas a estos dos yacimientos, mantiene unas temperaturas agradables, sin muchas variaciones a lo largo del año, lluvias moderadas frente a otras regiones que ya hemos mencionado, y aunque durante un mismo día se pueden dar cambios bruscos, la potencialidad de estas tierras para producir alimentos es enorme, lo cual lleva a entender su elección por parte de grupos humanos del pasado para asentarse. Los terremotos, si bien se dieron sin ninguna duda, su poder destructivo no será tan enorme como en la actualidad, teniendo en cuenta que las construcciones eran de mucha menor entidad y las poblaciones más adaptables.

Finalmente, y como es apreciado por Villalba y Alvarado (1998) Dyrdaahl (2017) y Torres (2018), estos territorios son fundamentales como puntos de paso e intercambio de materias primas entre la costa y la Amazonía. Ha sido común observar materiales y fauna en el registro arqueológico que evidencia esos intercambios. De hecho, los pasos han continuado su uso durante el periodo de la Conquista, la Colonia, y hasta la República de nuestros días.

#### Contexto Historiográfico.

El pasado del Ecuador anterior a la llegada de los españoles en el periodo denominado como Conquista, se divide en cinco etapas. Normalmente, para facilidad del investigador al que le gusta tener empaquetados los periodos para tener una mejor asociación del contexto, se establecen fechas límites entre unos y otros, pero no debemos caer en la idea de que estas fechas sean exactas e inamovibles, ni siquiera afirmar con rotundidad que en tal año se dio la transformación de las culturas formativas en aquellas pertenecientes al Desarrollo Regional en todo lo que actualmente es Ecuador, ni siquiera en una sola región podríamos afirmar esto. Es un proceso paulatino, cuyas fechas están sujetas a cambios conforme avanzan las investigaciones, que pueden modificar no solo esas datas, sino muchas otras afirmaciones que hoy en día damos por zanjadas.

El primer periodo corresponde al Precerámico, que podemos considerarlo desde la llegada de los primeros grupos humanos a asentarse en este territorio durante el final de la última glaciación, con yacimientos significativos como Las Vegas en la Costa o El Inga en la Sierra. Como su nombre indica, podemos estar hablando de poblaciones no sedentarias, que desconocían la cerámica y cuyo estilo de vida perduró hasta el final del cuarto milenio e inicios del tercero antes de nuestra era. Llegaron a través del estrecho de Bering, dominan la creación de herramientas microlíticas, elementos en hueso y se impusieron a la megafauna, que desapareció en torno al año 10.000. a.C. (Porras, 1980). Debido a esa extinción y a diferentes factores como el cambio climático, se tuvieron que adaptar a la caza de otras especies menos productivas, como el venado, y a la domesticación de algunas. Empezaron los intentos de domesticación de plantas, lo que llevó al origen de la agricultura y al sedentarismo al vivir dependientes de lo que la tierra producía y lo que los animales ofrecían (Bell, 1965; Salazar, 2008).

Le seguirá el periodo Formativo, o periodo agroalfarero, con culturas tan importantes como Valdivia, Chorrera, Mayo-Chinchipe o Machalilla (Bischof 1982; Marcos 1988; Valdez 2013; Prumers *et al* 2023). Se divide en tres periodos, Temprano, medio y tardío, y finaliza en torno al 300 a.C. A continuación, el Desarrollo Regional, donde se marcaron las diferencias territoriales, la importante organización social y política. La Tolita, Jama-Coaque, Bahía o Guangala pertenecer a este periodo que finaliza orientativamente en el 500 d.C (Masucci 2008). El periodo de

Integración, previo a la conquista inca, será el de los grandes señoríos étnicos como la cultura Manteña, los Cañaris, los Caranquis o la cultura Purahá. Grandes avances se dieron en este periodo sobre todo en la técnica agrícola evidencia en el empleo de terrazamientos, el crecimiento de los centros urbanos, el empleo de aleaciones con oro o plata, la producción textil y el impulso del comercio. Finalmente, durante el siglo XV se dará la conquista inca, que dominarán el territorio hasta el sur de la actual Colombia hasta la llegada de los castellanos (Bray 2008; Ayala, 2008; Salomon 2010). De todos estos periodos, en la presente investigación hemos tratado el periodo Formativo tardío y el Desarrollo Regional, a los que prestaremos mayor atención en los siguientes párrafos juntos a algunos yacimientos representativos.

El Periodo Formativo Ecuatoriano.

El periodo Formativo americano se definió por primera vez en 1958 (Willey y Phillips, 1958: 144), en un intento por realizar un esquema de la periodización del desarrollo histórico, siendo muy similar al Neolítico Temprano acuñado por Gordon Childe (Marcos, 2003; Zeidler, 2008), caracterizándose por la producción agrícola, vida sedentaria en aldeas, producción cerámica, empleo de herramientas de piedra pulida, aunque dichos elementos no surgieran simultáneamente en todas las regiones americanas ni en la misma asociación que en el Viejo Mundo. Inicialmente fue dividido en dos periodos conocido como Formativo Temprano y Tardío, aunque no duró mucho (Ford, 1969: 5; Marcos 2003) siendo dividido en el caso ecuatoriano en Temprano, Medio y Tardío. Aunque hoy en día continúa el debate y nuevos descubrimientos permitirán seguir afinando más la cronología, Dyr Dahl (2017), director de las excavaciones en Las Orquídeas es de la opinión de establecer un rango entre el 3000 cal a.C. y el 300 cal a.C (Bruhns, 2003), frente a las fechas tradicionalmente establecidas que trabajarían con una horquilla mayor, situando en torno al 4000 a.C. su inicio, con la cultura Valdivia a la que debe su denominación, y en el 1000-500 d.C. su final (Porrás, 1980). Serían Estrada, con la identificación del yacimiento en 1956, y con Evans y Meggers, posteriormente con sus investigaciones, donde se recuperaron multitud de materiales cerámicos, líticos y cerámicos, entre los que se incluyen las famosas Venus, quienes identificarían y nominarían el Formativo ecuatoriano (Meggers et al., 1965; Meggers, 1966; Porrás, 1980; Marcos, 2003). Inicialmente se identificaron como poblaciones ligadas al mar, dependientes de sus recursos en tiempos de una agricultura incipiente, cuya cerámica estaría más relacionada en un inicio a la recolección de mariscos que con la siembra y recolección de especies vegetales, pero el descubrimiento de un mayor número de yacimientos asociados a la cultura Valdivia ha permitido afinar y afirmar que estaríamos ante una sociedad sedentaria de agricultores especializados en maíz y diversos tubérculos, sedentarios y con ideología compleja, pero sin negar las particularidades de cada sitio frente a estas generalidades (Zeidler, 2008: 464, Torres, 2014).



Imagen. Principales sitios del periodo Formativo en Ecuador. Tomado de Mery (2020).

En contraposición a la costa, más densamente poblada durante este periodo, y donde surgieron culturas muy extendidas y socialmente más complejas como Valdivia, Chorrera o Machalilla, los asentamientos de la Sierra, espacio de interés para esta investigación, mantienen muchas diferencias entre ellos (Zeidler, 2008). Destacan en el norte Cotocollao (1500 – 500 a.C.) y La Chimba (700 cal a. C. ocupación inicial) que por espacio y cronología (Formativo tardío, 1300 a.C. – 300 a.C.) tendrán un apartado propio ya que nos permitirá contextualizar mejor nuestro trabajo con el sitio de Las Orquídeas (800 – 400 cal a.C.) (Montalvo, 2016); en el centro nos encontramos algunos ejemplos como Alausí (Porrás, 1980; Arellano, 1994) o Loma Pucará, y en el sur Cerro Narrío (Collier y Murra, 2007). En el Oriente amazónico destacan Pastaza y Mayo-Chichipe (B. Meggers, Evans, & Estrada, 1965; Athens, 1978; Lippi, 1983; Villalba, 1988; Raymond, Delgado, 2008; Valdez, 2009).

Más allá de los materiales tradicionalmente estudiados como la cerámica, y gracias a la recuperación sistemática de restos fáunicos y botánicos que se inicios con las ya mencionadas excavaciones de Valdivia en los 50, donde Estrada, Meggers y Evans (1965) identificaron taxones

presentes en el registro y que incorporaron a su informe. Las nuevas décadas trajeron una mejor sistematización de la recogida y estudio de los materiales y la llegada de expertos como Peter Stahl permitió un salto en el conocimiento definitivo. Gran parte de los análisis fáunicos en Ecuador llevan su rúbrica y su recopilación de 2003 es fundamental para conocer los yacimientos que restos fáunicos estudiados y las especies existentes en los mismos. De un solo vistazo conocemos las evidencias de yacimientos como Cotacollao, La Chimba, Pirincay o Putushío, donde se encuentran especies de aves como palomas, loros, primates, zarigüeyas, osos, perros, mapaches, comadreja, pumas, tapires, llamas, alpacas, venados, cuyes, pacas o conejos (Stahl, 2003; Torres 2018). Especies muy variadas, algunas pertenecientes a otras regiones, y confrontadas salvajes con domésticas. Como veremos más adelante, no solo la presencia de unos u otros taxones nos permiten conocer fehacientemente la dieta de los moradores de estos asentamientos, ni los usos que se les dio a la fauna. Debemos realizar un análisis más profundo a nivel anatómico, tafonómico y cuantitativo y ver más allá también del propio consumo y pensar igualmente en los productos secundarios que surgen a través de los animales domésticos (textiles, leche y sus derivados), la generación de útiles propios del desarrollo de la industria ósea y el no consumo directo de los mismos sino para otras funciones como rituales sagrados donde podían ser ofrecidos a sus dioses o a sus muertos.

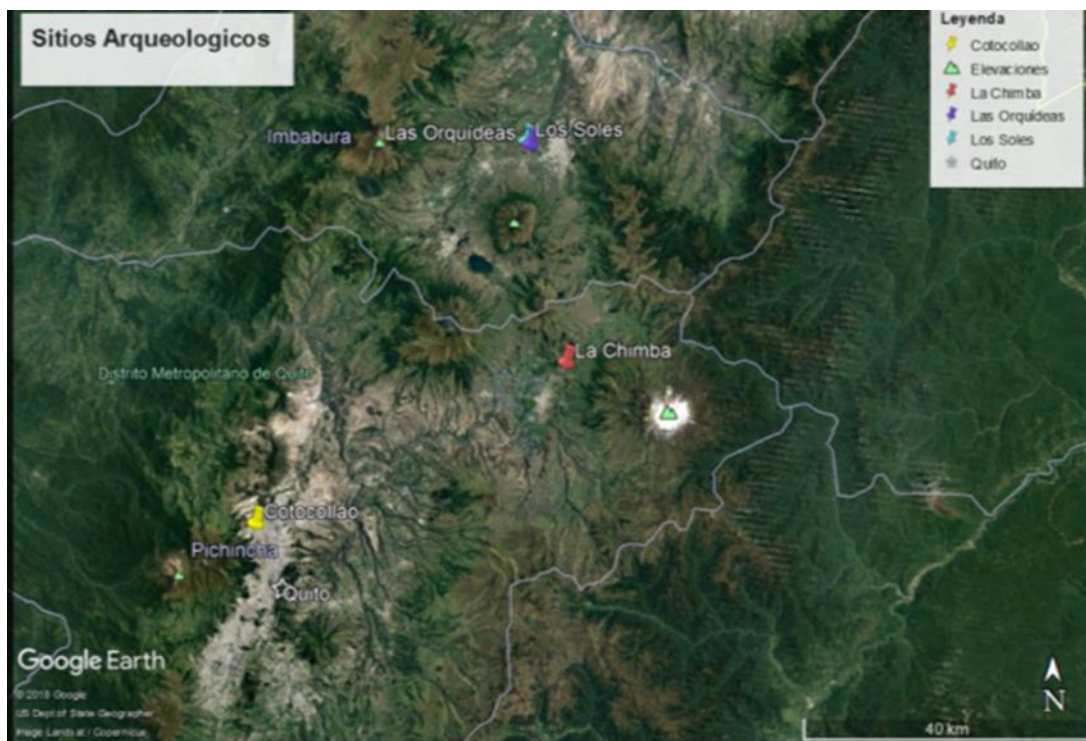


Imagen. Mapa de ubicación de los sitios Arqueológicos con evidencia fáunica del Formativo Tardío de la Sierra Norte. Tomado de Mery, 2020.

#### *La Chimba.*

El yacimiento de La Chimba fue excavado por Athens (1978; 1990) intermitentemente entre los años 1970 y 1980. Se encuentra a una altitud de 3200 m.s.n.m. (Stahl y Athens, 2001) en el noreste del volcán Cayambe. Además de los numerosos restos fáunicos y herramientas en ese



material que se encontraron, también existe la presencia de restos malacológicos, botánicos, cerámica y lítica entre otros (Stahl y Athens, 2000).

El principal taxón consumido en este espacio es el venado con más de 5000 restos dividido entre las tres especies de *Odocoileus virginianus*, *Mazama rufina* y *Pudu mephistophelis*. La otra especie principal es el conejo silvestre (*Silvilagus brasiliensis*) de amplia dispersión por todo el Ecuador. Además, existe una gran diversidad de otras especies como mamíferos, reptiles, peces y aves, las cuales posiblemente fueron consumidas y algunos huesos fueron usados para crear herramientas. Entre esa gran variedad de especies podemos encontrar algunas ajenas al ecosistema de La Chimba, como moluscos de la costa o monos del Oriente, lo que evidencian contactos de los habitantes de La Chimba con lugares muy alejados (Stahl y Athens 2000).

En cuanto a las estrategias de subsistencia, tanto venado como conejo son especies introducidas enteras, es decir, los individuos no se trocean en el lugar de caza, se trasladan todas las partes y estas son profundamente aprovechadas, desde el consumo de carne, el intercambio de especies por otros materiales y alimentos, a la manufactura de utensilios en asta o hueso. Se afirma que, aunque no se pueden establecer diferencias entre los elementos acumulados durante el periodo de ocupación de La Chimba, si se es una constante el empleo de animales salvajes (Stahl, Athens, 2000).

#### *Cotocollao.*

Cotocollao se ubica a una altura de 2800 m.s.n.m. en un valle a los pies del Pichincha con acceso a gran cantidad de recursos (Porras 1982). Fue excavado por Villalba (1988) quien diferenció dos periodos de ocupación, ambos en el periodo Formativo tardío, finalizando la última durante la erupción del volcán Pululahua en torno al 500 a.C. (Dyrdahl, 2017).

Durante el asentamiento temprano entre el 2405 – 1381 a.C. (Villalba, 1988; Ziolkowski et al., 1994:121-124) destaca gran cantidad de tumbas individuales y los contextos domésticos con materiales fáunicos, además de cerámica, lítica y semillas (Torres Jiménez,2017:83). En cuanto a la segunda ocupación no existen fechas claras de su inicio, que pudiera ser en torno al año 1100 y su fin sí se atribuye con la erupción del Pululahua. Hubo un aumento poblacional evidenciado con el número de estructuras de habitación (Villalba, 1988).

En cuanto a las estrategias de subsistencia desarrolladas durante este periodo se evidencia la práctica de la caza de animales salvajes, sumada al consumo de plantas silvestres y frutas. El venado y el conejo predominan en la dieta, pero también se evidencia la presencia de cuy, puma, lobo, ratones, guanta, aves y otras especies como la llama, pero presente en el periodo final (Villalba, 1988).

Mientras que la identificación taxonómica corrió a cargo de los biólogos de la Escuela Politécnica Nacional de Quito- Dr. Pires Ferreira y Sr. Gonzalo Herrera, Villalba inició un proceso de identificación de las fases de transformación del hueso en herramientas manufacturadas, pero dicho estudio es limitado, aunque se pudiera considerar una aproximación a un análisis tafonómico.

El Desarrollo Regional Ecuatoriano.

El Desarrollo Regional es un periodo que abarca según algunos autores desde el 300 a.C. al 400 d.C. (Ontaneda, 2010), aunque otros abren algunos años más la horquilla (Masucci, 2008; Zeidler, 2008). Será la erupción del Pululahua (Figueroa, 2015; Isaacson y Zeidler, 1998; Vásquez, 1999). quien marque el final de este periodo y la desaparición de muchos asentamientos situados en la zona de Quito, trasladándose su población hacia lugares más al sur y en los valles, puesto que la ceniza afectó a sus modos de vida, a la agricultura, a los intercambios. Los habitantes de otras regiones, al verse privados de las materias primas de la Sierra, se decidieron a incursionar a estos territorios, evidenciándose artefactos con materias de la zona, pero con tipologías, por ejemplo, costeñas (Vásquez 1999).

Se continua con la complejidad social, se amplían las redes comerciales, la población crece, y produce sus propias tipologías cerámicas diferenciadas, se mejora la producción agrícola y metalúrgica (Guillaume-Gentil, 2013; Iturralde Sáenz, 2015).

#### *Jardín del Este*

Jardín del Este se encuentra en Cumbayá, un valle al oriente de Quito. Fue excavado a finales de los ochenta, evidenciando cierta continuidad de ocupación (389 cal a.C. – 192 cal d.C.) (Buys et al., 1994:102-103) (Buys, Domínguez, 1988) y la presencia de gran cantidad de contextos funerarios y basureros (Buys, Camino, Santamaria, 1994). Entre los materiales encontrados está la cerámica, figurinas, maíz, fréjol (Veintimilla, 1994), la lítica, pero también huesos fáunicos.

Los taxones predominantes son venado y conejo, seguido de un tercero que es la llama atendiendo al peso, no así al Número Mínimo de Individuos ni de restos. Parece ser que en los contextos funerarios cambia un poco el balance, donde hay una mayor presencia de especies como llama, cuy o perro, de carácter doméstico. Igualmente, también existen taxones de carácter exótico como la cervicabra, mustélidos, guanta, zorrillo, lechuzas, así como otro tipo de aves (Gutiérrez, 2009, pp-517-525).



Las Orquídeas (Imbabura, Ecuador).

Introducción.

El yacimiento de Las Orquídeas (800-400 cal a.C.), perteneciente al periodo Formativo Tardío, se encuentra situado en los Andes septentrionales del Ecuador, cercano a la población de San Antonio de Ibarra en Imbabura, en torno a los 2250 m.s.n.m. Es yacimiento con gran abundancia de materiales de toda índole como cerámica, líticas como basalto, andesita, sílex, obsidiana, huesos humanos y fáunicos, restos malacológicos, metales y piedras preciosas entre otros (Montalvo 2016; Dyrdaahl 2017; Dyrdaahl et al. 2017; Dyrdaahl y Montalvo 2021; Dyrdaahl 2022; Ugalde y Dyrdaahl 2021).

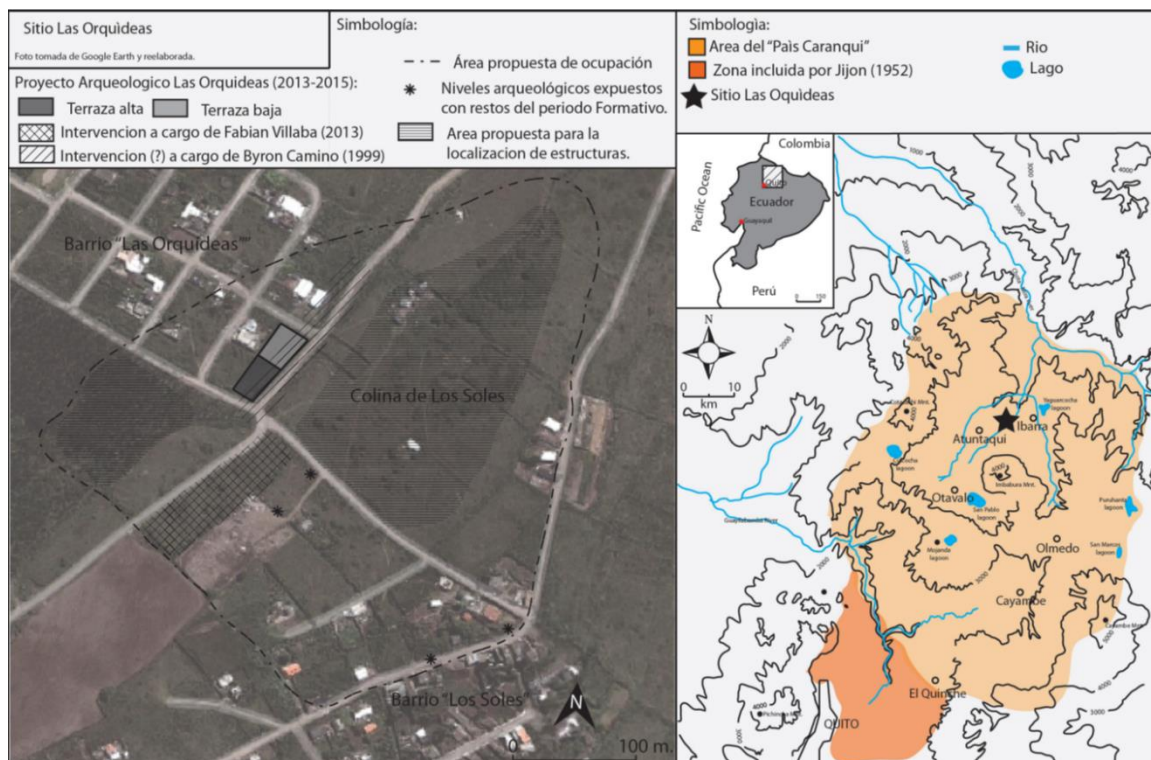


Imagen. Ubicación del yacimiento en la sierra norte del Ecuador, así como el espacio concreto que ocupa el sitio. Tomado de Montalvo (2016).

Descubrimiento.

Los trabajos de rescate llevados a cabo por Camino y Ontaneda (1999) en el sitio de Los Soles, ubicado al oeste de Las Orquídeas son el germen de estas investigaciones. Trabajos de construcción de una urbanización permitieron recuperar diversos materiales cerámicos y establecer una cronología tentativa en su comparación con otros yacimientos como La Chimba (Athens, 1978, 1990; Stahl, Athens, 2001) Tababuela (Berenguer, Echeverria, 1995), y Cotocollao (Villalba, 1988). entre el Formativo Tardío y el Desarrollo Regional, mencionando la posible de que se tratase de un lugar clave de paso entre rutas comerciales entre la Costa y la Amazonía (Camino, 1999). Durante la recogida superficial de material ya se pudo evidenciar la gran

cantidad de restos fáunicos, siendo un tercio del total recolectado. Se trata principalmente de restos de venado y conejo con evidentes alteraciones antrópicas fruto de las cuales se hallaban otros restos trabajados.

Campañas de Excavación. Sistema de recogida y excavación.

Desde el año 2013 los arqueólogos Montalvo y Dyr Dahl dirigen el Proyecto Arqueológico Las Orquídeas, reiniciando las investigaciones en el sector tras la construcción de dos terrazas en el extremo sur del barrio. Cinco campañas de excavación se han sucedido desde entonces, la última en junio de 2019 (Dyr Dahl y Montalvo 2014a, 2014b, 2017, 2018a, 2018b; 2021) donde se han llegado a recuperar más de 40000 restos fáunicos.

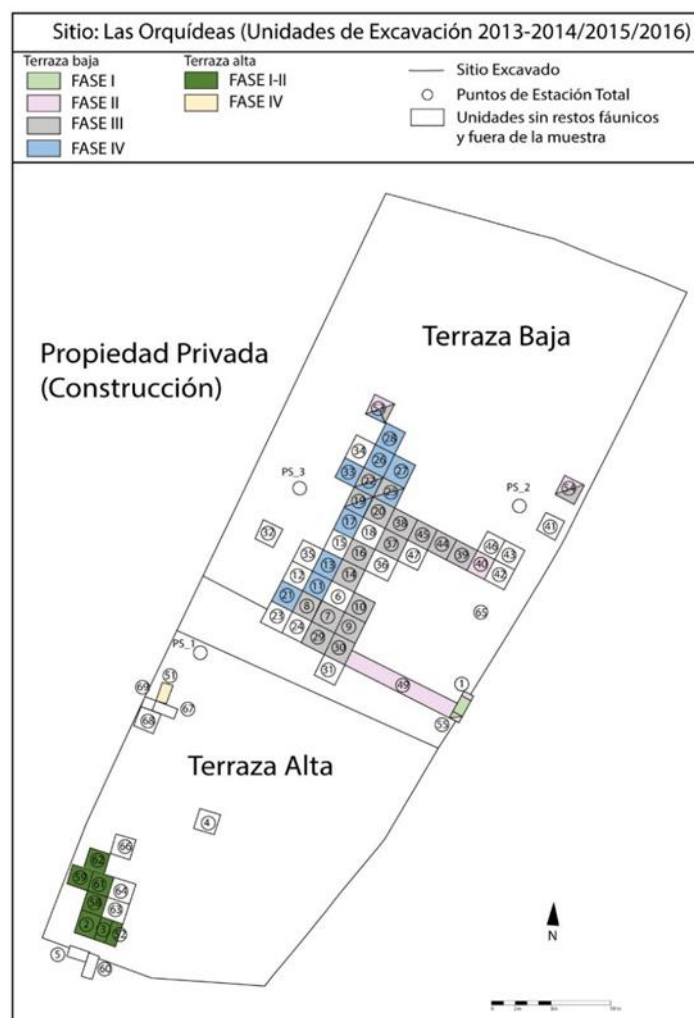


Imagen. Plano de las terrazas de excavación y sus unidades. Tomada de Montalvo (2016)

Importancia del Yacimiento.

Más que de un yacimiento, se trata de un complejo, puesto que, a la intervención de Camino de 1999, y los trabajos iniciados por Montalvo y Dyrdaahl en 2013, se suma una tercera intervención llevada a cabo por Villalba (2014) en la misma área del sitio Los Soles, siendo Montalvo y Dyrdaahl los que decidieron denominarle complejo (Dyrdaahl, 2017) por la gran cantidad de materiales recuperados destacando muchos artefactos manufacturados, siendo Las Orquídeas un yacimiento más que forma parte del todo. Los contextos arqueológicos que se han identificado se asocian con actividades pirotecnológicas y fases de relleno. (Montalvo, 2016, p.51).

Marco Medioambiental.

Las Orquídeas se encuentra en lo que Cañadas (1983) denomina bosque seco montano bajo, donde predominan llanuras y barrancos. La abundancia de especies animales y vegetales es enorme existiendo en el lugar reptiles endémicos (Terán y Caicedo, 1999), y aunque hoy en día el venado de cola blanca, principal elemento fáunico en la muestra, ya se encuentra ubicado en los páramos, el conejo sigue estando presente junto a muchas otras especies.



La terraza baja se encuentra ubicada en el N-NW del área, es la que más materiales ha albergado Dyrdaahl, Montalvo, & Valverde, 2017) y cuya secuencia estratigráfica es la más completa (Montalvo, 2016). Ha permitido identificar cuatro grandes eventos.

El Evento I corresponde al área más profunda de la secuencia. En su inicio se reconoce ceniza del volcán Cuicocha. Está relacionado con eventos de combustión, con actividades de carácter pirotecnológico (Montalvo, 2016).

El Evento II se asocia con una secuencia de relleno, delimitada por una capa de quema. La naturaleza de los rellenos no está clara, pero se podría tratar de actividades de quema de vegetación para limpiar el lugar (Montalvo, 2016). Por encima de la quema se encuentra dos capas arcillosas limosas bajo bloques de cangahua que pudieran estar evidenciando la necesidad de generar terrazas sobre las que construir.

El Evento III es una sucesión de rellenos formados tanto por sedimentos arcillosos limosos, capas de ceniza volcánica muy fina, materiales arqueológicos y bloques de cangahua.

El Evento IV se corresponde con tres eventos de relleno sugiriendo la estratigrafía un cambio de usos del espacio Montalvo (2016, p.69).

Cronología.

Fase	Estrato	Fechas
Fase 1 o Temprana	17 al 22	800-750 cal a. C.
Fase 2	9 al 16	750-650 cal a. C.
Fase 3	3 al 8	650-400 cal a.C.
Fase 4 (la más reciente)	1-2	400-300 a.C.

Tabla. Secuencia cronológica relativa de Las Orquídeas (Montalvo 2016).

Como se ha mencionado previamente, cuatro son las fases presentes en Las Orquídeas, cuyas cronologías se pueden observar en la tabla en una horquilla que va desde el 800 cal a.C al 300 a.C.

Procedencia de los restos.

Los restos óseos estudiados en el presente trabajo provienen de todas las áreas y unidades de excavación. Dado el objetivo planteado de evidenciar cambios en el comportamiento de explotación de los recursos fáunicos a través de análisis taxonómicos y tafonómicos, se tomó la decisión de abarcar las cuatro fases presentes en el Las Orquídeas.

Selección del material.

El material se ha seleccionado tomando como premisa la elección de unidades que tuvieran mayor continuidad estratigráfica, pero descartando primeros niveles por si hubiese habido algún tipo de injerencia moderna.

Llano Chico (Pichincha, Ecuador).

Introducción.

El proyecto de Llano Chico que aquí se describe cuenta con dos fases, y está localizado en el barrio La Dolorosa, en la parroquia del mismo nombre en Quito (Ecuador). La primera fase fue dirigida por el arqueólogo Soria, acompañado de un equipo multidisciplinar, entre los que se hallaba quien escribe, que se encargaron del análisis de los materiales recuperados, así como de la interpretación de los diferentes espacios y se llevó a cabo entre finales de 2020 e inicios del siguiente, en plena pandemia del coronavirus (Soria, 2021). La segunda fase se desarrolló en 2022 a finales de ella, dirigida por el arqueólogo del Instituto Metropolitano de Patrimonio de Quito (IMPQ), Mosquera, igualmente con un equipo multidisciplinar (Mosquera, 2023), en la que los análisis de los restos fueron coordinados por el Dr. Montalvo.

El presupuesto de ambos proyectos corrió a cargo del IMPQ y administrados por Mosquera.

Descubrimiento

Unos trabajos de obras públicas llevados a cabo en 2018, en un lugar ya reconocido en investigaciones previas como de interés arqueológico por los materiales encontrados atribuidos a los periodos Desarrollo Regional, Integración y Colonia (Erazo, 2012) (Domínguez, 2003; Jara, 2010), sacaron a la luz una serie de restos que provocaron la paralización de los trabajos. La zona en concreto, se ubica al noreste del valle de Quito, en una planicie separada por quebradas, denominada Guangüiltagua

Esas investigaciones previas evidenciaron a través de la realización de cateos la existencia de tres depósitos, hallándose material como cerámica o lítica sólo en los dos primeros.

Debido a la gran cantidad de materiales recuperados durante la obra, se tomó la decisión de iniciar con este proyecto en toda el área que se vería afectada para generar la mayor información posible que se sumase a la ya existente, y con ello tener una mejor visión del pasado prehispánico quiteño.

Primera fase

El espacio destinado a los trabajos de excavación se sitúa en el barrio de La Dolorosa en la parroquia de Llano Chico en Quito., a 2597 m.s.n.m., en un clima templado seco. Se trata un barrio con viviendas cuyos habitantes poseen cultivos y crían animales principalmente para consumo.



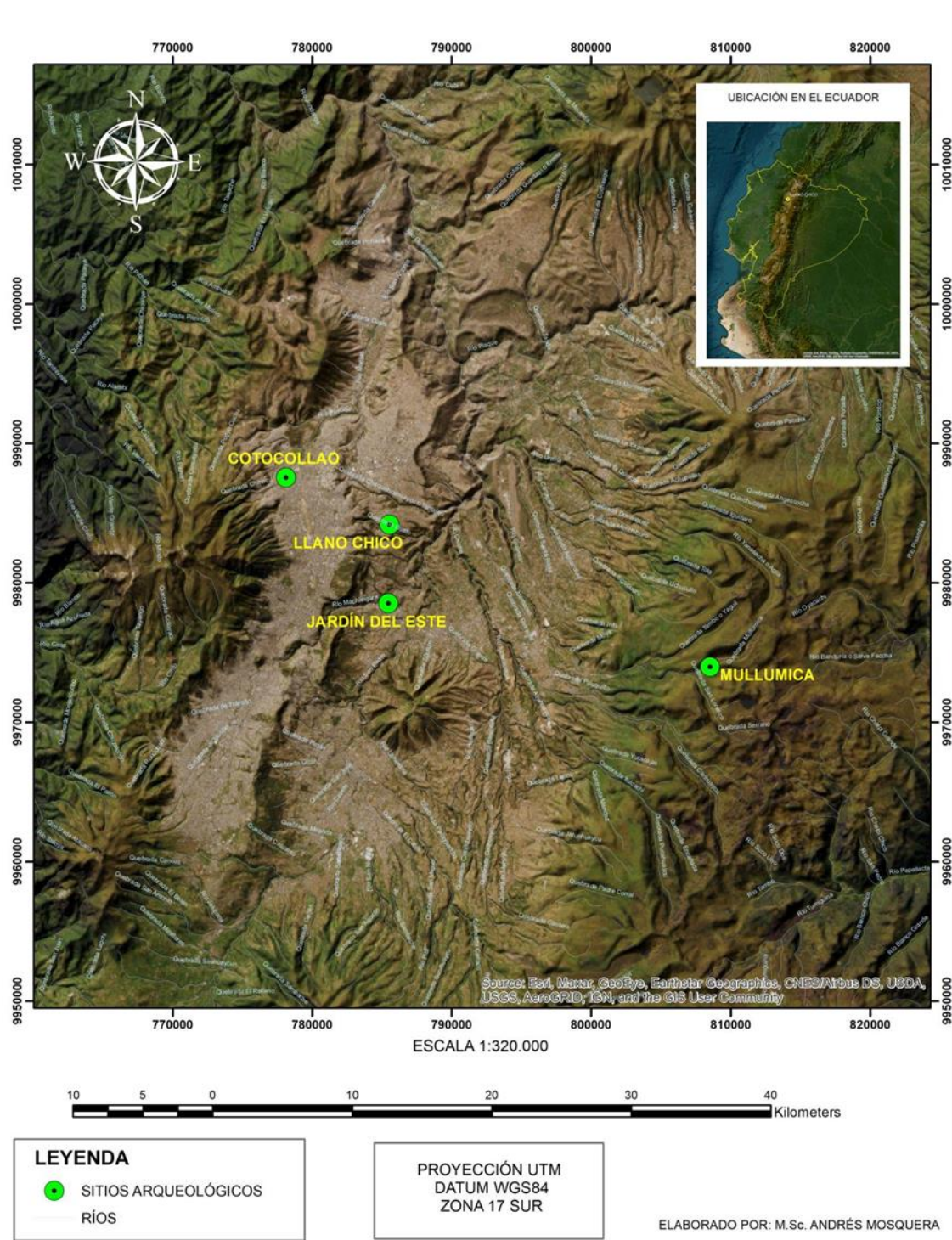


Imagen. Ubicación de Llano Chico en el entorno de Quito en relación a otros yacimientos significativos. Tomado de Mosquera *et al.*, en preparación. Basemap ESRI. Instituto Metropolitano de Patrimonio.



Las calles elegidas para la prospección fueron a las asignadas al proyecto, calle 2 de agosto, Feliciano Checa, Manuela Cañizares, Manuela Sáenz y Rosa Vélez. Una primera aproximación a los terrenos secos y previo a la llegada de lluvias, permitió evidenciar materiales en superficie atribuibles a diferentes periodos.



Imagen. Materiales hallados en superficie (tomado de Soria, 2021)

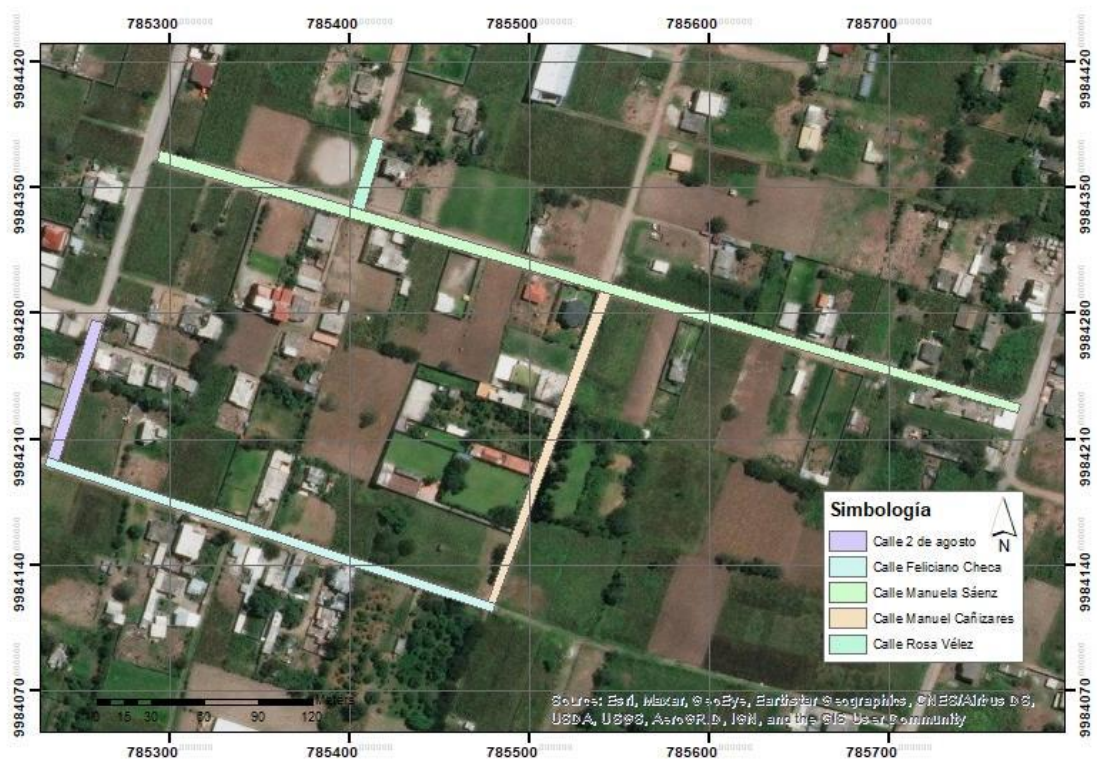


Imagen. Mapa de área de prospección (tomado de Soria, 2021).

Sumado a los hallazgos iniciales, la conversación con los moradores del lugar, el avanzado estado de ciertos trabajos en las aceras, en las calles, así como la pavimentación de tramos, una prospección magnética llevada a cabo por el Lic. Vázquez del Instituto Nacional del Patrimonio



Cultural, donde se observaron varias mediciones interesantes así como la buena predisposición del señor Morales para llevar a cabo trabajos en su propiedad donde se hallaban hundimientos en el terreno así como restos óseos en un pozo inconcluso destinado a desechos, permitieron la elección de los lugares destinados a los cateos y a los cortes.

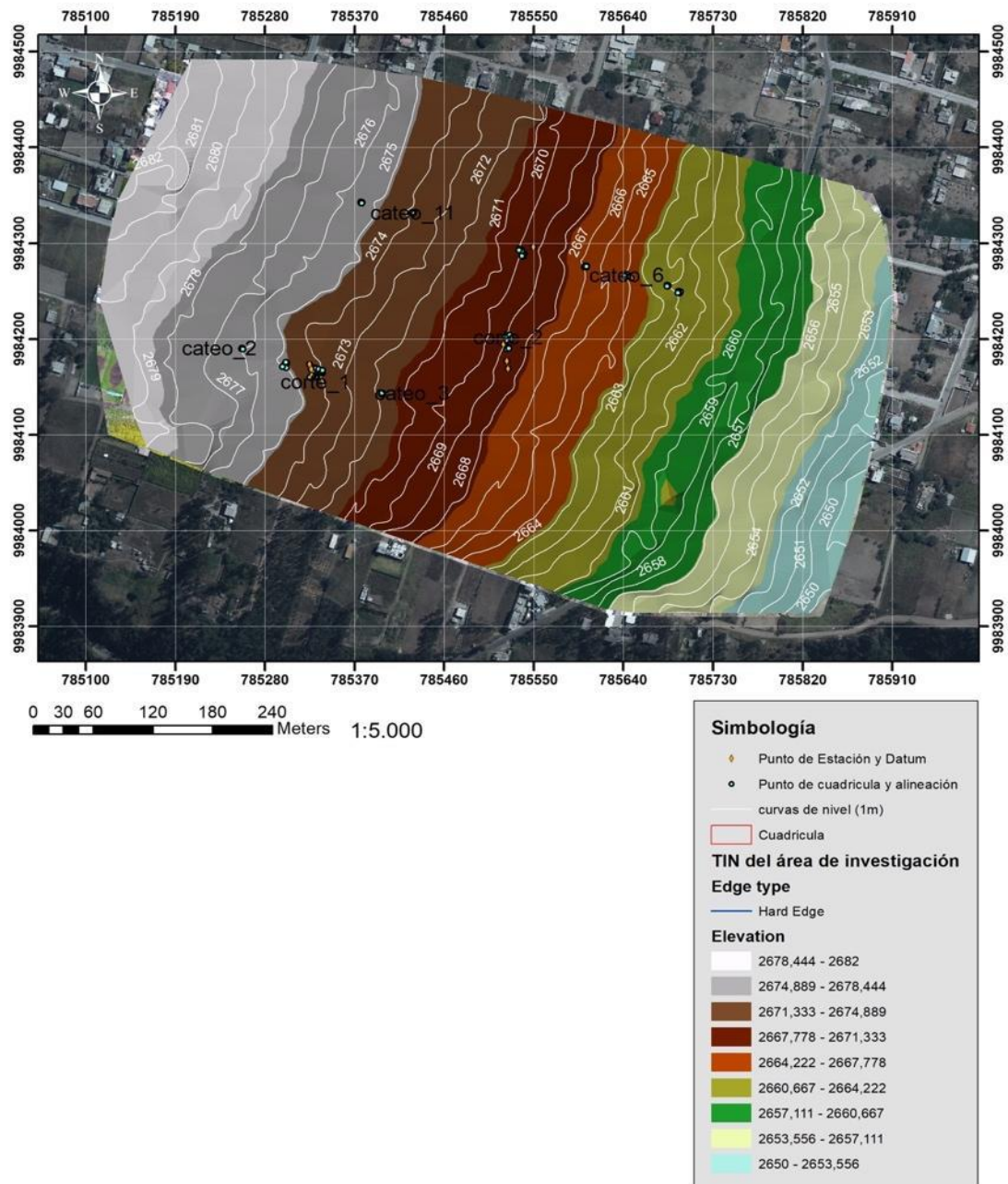


Imagen. Mapa de Levantamiento Topográfico con los puntos de estación, puntos de cuadrícula y alineación, y curvas de nivel (1m). Tomada de Soria, 2021.

Segunda Fase.

La segunda fase de excavación es el resultado de un monitorio arqueológico realizada en el mismo espacio que la primera, como parte del proyecto de alcantarillado que quedó inconcluso al hallarse los restos en 2018, donde igualmente se han evidenciado tumbas, pozos de almacenamiento y basureros. Se analizaron los principales contextos, al igual que los materiales recuperados como ceniza, elementos botánicos, restos humanos y fáunicos, cerámicas, líticas, entre otros.

Campañas de Excavación. Sistema de recogida y excavación.

La campaña de excavación de la fase 1 inició en octubre de 2020, contando con el equipo multidisciplinar mencionado cuyos nombres se pueden consultar en el informe entregado en el IMPQ. Con base a los datos obtenidos se definieron tres cortes y 13 cateos, alguno de los cuales se incorporó a los cortes o se unió a otro contiguo.

#### Corte 1

Tiene la dimensión de 5m x 5m, y se instaló en las siguientes coordenadas WGS84:

N	E
785327,687	9984161,42
785329,277	9984166,14
785332,429	9984159,81
785334,013	9984164,53

Tabla. Coordenadas del Corte 1.

Fue dividido en 9 unidades que variaron entre 1m x 1m, 2m x 1m y 2m x 2m. según el croquis.

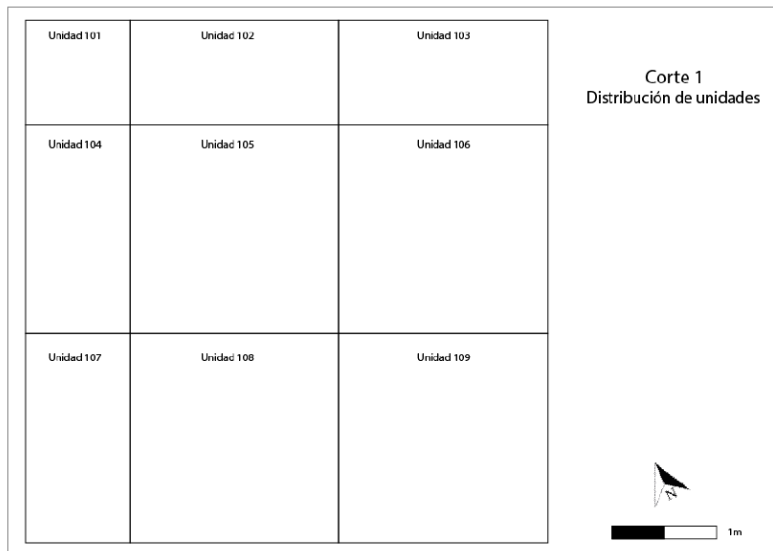


Imagen. Distribución de unidades de excavación en el Corte 1. Tomado de Soria, 2021.

Las características de este corte, así como de los demás espacios de excavación se pueden consultar en el informe final entregado. He seleccionado algunas imágenes que pueden ser utilidad al lector para conocer los espacios, pero el objetivo de este trabajo es el análisis fáunico.



Imagen. Superficie de rasgo CO01-R01 con presencia de material cultural. Tomado de Soria, 2021.



Imagen. Muestra rasgo CO01-R03. Tomado de Soria, 2021.



Imagen. Muestra fragmento de cerámica Cosanga en rasgo CO01-R06 en la unidad 108 del corte 1. Tomado de Soria, 2021.



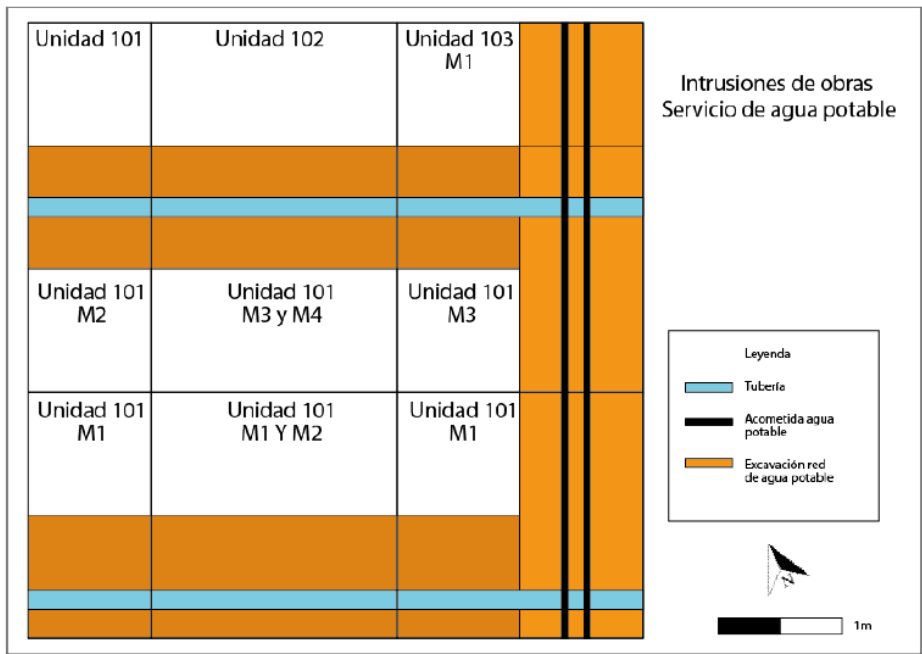


Imagen. Ubicación de redes de agua potable en corte 1. Tomado de Soria, 2021.

Corte 2

Ubicado en la calle Manuela Cañizares, se inició con un cateo denominado 8 de 2x2 para corroborar que los datos magnetométricos fueran correctos. Se estableció dentro de la propiedad del señor Morales y dado los buenos resultados se amplió igualmente a 5x5 m.

N	E
785522,649	9984198,67
785521,227	9984202,41
785525,99	9984204,09
785527,346	9984200,3

Tabla. Coordenadas del Corte 2. Tomado de Soria, 2021.

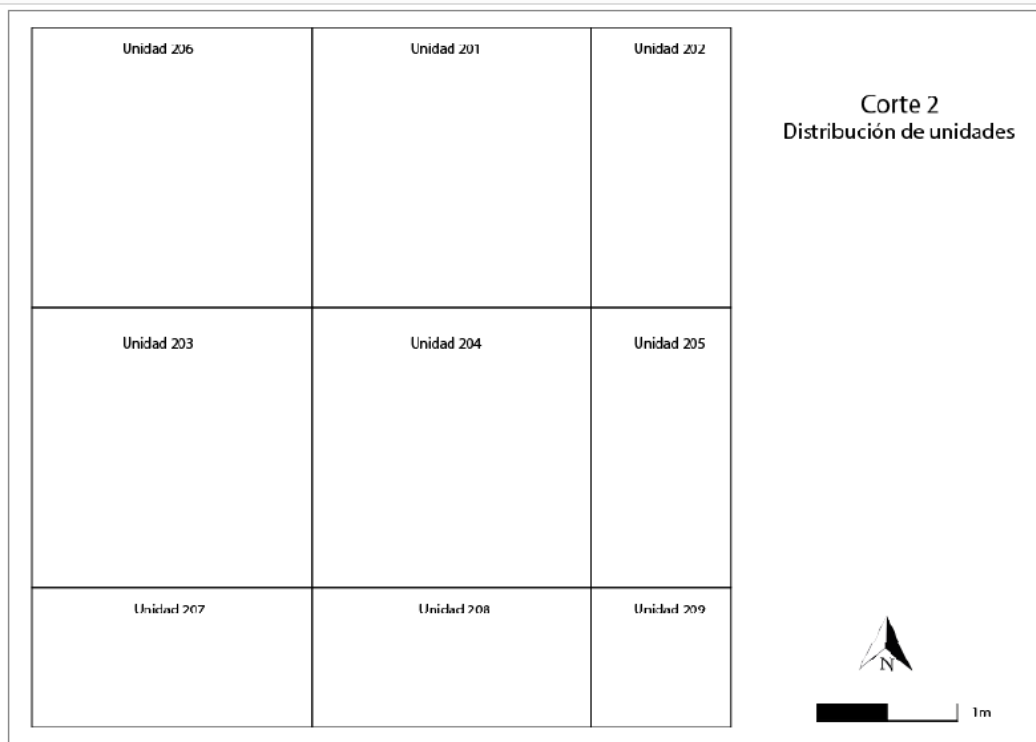


Imagen. Distribución de unidades en el Corte 2. Tomado de Soria, 2021.



Imagen. Rasgo COO2-R08. Tomado de Soria, 2021.



Imagen. Rasgo COO2-R010. Tomado de Soria, 2021.



Imagen. RASGO CO02-R014. Tomado de Soria, 2021.

### Corte 3

Este corte también se ubica en el terreno del Sr. Morales, gracias a la evidencia de materiales óseos en un pozo inconcluso para acumulación de desechos modernos, así como cerámica, lítica y obsidiana. Su profundidad es de 206 cm y tiene un diámetro de 130 cm, que sirven de guía para la ampliación de las unidades de excavación.





Imagen. Limpieza de perfil pozo. Tomado de Soria, 2021.



Imagen. Restos humanos de rasgo CO03-R02. Tomado de Soria, 2021.



Imagen. Rasgo CO03-R03. Tomado de Soria, 2021.

Se trata de un corte de 4x5 m. orientado en base al terreno disponible y ampliado desde el pozo hacia otras tumbas que se fueron evidenciando.

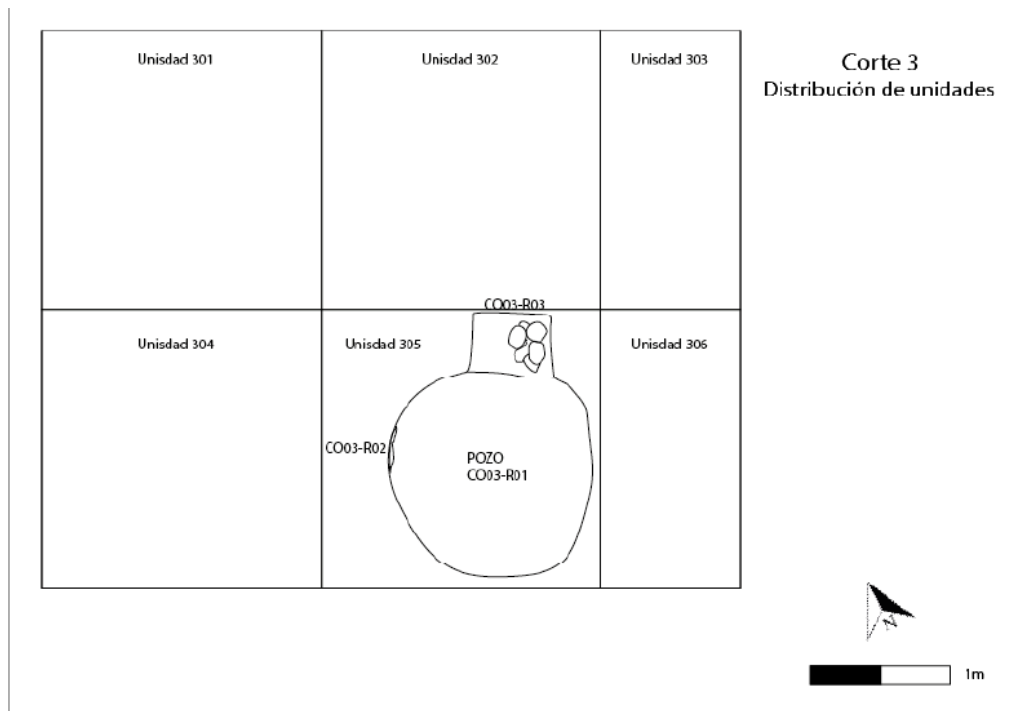


Imagen. Corte 3, presenta la ubicación del pozo y distribución de unidades. Tomado de Soria, 2021.





Imagen. RASGO CO03-R05 Tomado de Soria, 2021.



Imagen. CO03-R10. Tomado de Soria, 2021.

## Cateos

De la misma forma que con los cortes, y tomando como base las mismas evidencias, se establecieron una serie de cateos que abarcasen la mayor superficie posible. Su finalidad es confirmar las mediciones magnetométricas, así como los datos proporcionados por los materiales en superficie. La abundancia o escasez de materiales derivó en su ampliación o no a la entidad de corte.

Se excavaron trece cateos. El 1,2 y 3 en la calle Feliciano Checa, 4,5,6,7,9,10 y 11 en la Manuela Sáenz, y los restantes 8, 12 y 13, en la Manuela Cañizares. Algunos de los cateos resultaron prácticamente estériles, mezclados con abundante material moderno, pero otros proporcionaron valiosísima información con diversidad de materiales que se pueden consultar en el informe de Soria (2021). De la misma, su composición estratigráfica, ha llegado ha variar enormemente en algunos casos fruto de las características del lugar y su gradiente.

### Cateo 1

Cateo de 1m x 1m situado en el centro de la calle Feliciano Checa, hacia la acera norte, fue evidenciar diferencias estratigráficas, diferenciando lo moderno de lo antiguo y siguiendo niveles arbitrarios de excavación.



Imagen. Suelo café oscuro compacto. Tomado de Soria, 2021.

### Cateo 2

Cateo de 1m x 1m realizado al inicio oeste de la calle Feliciano Checa. Se establece con el objetivo de corroborar los datos magnetométricos y constatar la secuencia estratigráfica en esta sección del área de investigación. La metodología de excavación fue por niveles arbitrarios, basados en la evidencia previa obtenida en el primer cateo y el corte 1.



Imagen. Suelo Café oscuro. Tomado de Soria, 2021.

### Cateo 3

Cateo de 1m x 1m realizado al final de la calle Feliciano Checa, zona este. El objetivo de este cateo fue el de abarcar el extremo este del conjunto de datos magnetométricos altos para esta calle, además de evidenciar la continuidad estratigráfica en esta área. La metodología utilizada fue de excavación por niveles naturales basados en la información obtenida del primer corte y de los cateos 1 y 2, ubicados hacia el oeste.





Imagen. Lentas de arena gris. Tomado de Soria, 2021.

#### Cateo 4

Cateo de 2m x 2m realizado en el tramo este de la calle Manuela Saénz. Se estableció al de las intervenciones realizadas por el EPMAPS en el 2018 y en las que se encontraron vestigios arqueológicos. El objetivo de este cateo fue evidenciar el estado de este tramo de calle y rescatar la evidencia del posible asentamiento registrado en esta área. Los datos de prospección en este tramo mostraron concentraciones aisladas con altos niveles de remanentes magnetométricos en una amplia zona. Sin embargo, debido a los resultados negativos obtenidos en las intervenciones previamente mencionadas en la calle Feliciano Checa, se procedió a realizar un nuevo análisis de datos. En este sentido, se decidió establecer cateos con información, en extremos positivos y negativos de remanencia magnética. El cateo 4 fue parte del primer grupo mencionado. La metodología de excavación fue por niveles arbitrarios.



Imagen. Rasgo CA04-R02 y CA04-R03. Tomado de Soria, 2021.

#### Cateo 5

Cateo de 1m x 1m realizado en el primer tramo prospectado de la calle Manuela Saénz con la intención de constatar los niveles estratigráficos naturales. Se estableció con base en una acumulación de niveles altos de remanencia magnética. Se excavó por niveles naturales.



Imagen. CA05, café oscuro. Tomado de Soria, 2021.

#### Cateo 6

Cateo de 2m x 2m realizado en el primer tramo prospectado de la calle Manuela Saénz. Con la intención de constatar los resultados de la prospección magnética en contraste con los apuntes de campo, este cateo se estableció en un área con niveles bajos de remanencia. Este cateo es uno de los que inició con una intervención de 1m x 1m y luego se extendiera a las dimensiones finales. La metodología de excavación fue por niveles arbitrarios.





Imagen. Rasgo CA06-R02. Tomado de Soria, 2021.

#### Cateos 7 y 9

Cateos cercanos al 6, que partieron de un cateo 7, pero debido a la presencia de tuberías obligó a adaptar la metodología de excavación a las circunstancias, generando 4 metros cuadrados. Al oeste los pertenecientes al cateo 7 y al este los correspondientes al cateo 9, realizados al final del primer tramo prospectado de la calle Manuela Saénz. El cateo 7 se estableció con la intención de corroborar los datos negativos obtenidos de la prospección magnetométrica, con niveles nT por debajo de la media. Sin embargo, los resultados positivos proveen datos para una mejor calibración del magnetómetro a la vez que no brindaron datos para el análisis de los ya obtenidos para este proyecto, y establecer los nuevos cortes y cateos. La metodología de excavación fue por niveles arbitrarios.



Imagen. Rasgo CA07/09-R02 y Rasgo CA07/09-R03. Tomado de Soria, 2021.



Imagen. Huecos de poste en Rasgo CA07/09-R03. Tomado de Soria, 2021.

## Cateo 10

Cateo de 1m x 1m, realizado en el tercer tramo prospectado de la calle Manuela Saénz hacia el oeste. Se estableció con base en datos positivos de la prospección magnetométrica. La metodología utilizada fue por niveles naturales.



Imagen. Suelo compacto. Tomado de Soria, 2021.



### Cateo 11

Cateo de 1m x 1m realizado en el tramo oeste de la calle Manuela Saénz. Se estableció con base en datos positivos de la prospección magnetométrica. Se excavó por niveles naturales.



Imagen. Tierra amarilla arenosa. Tomado de Soria, 2021.

### Cateo 12

Cateo de 2m x 2m, se ubicó en una propiedad privada sobre la calle Manuela Cañizares. El objetivo de este cateo fue verificar la posible presencia de contextos intactos y contrastar los resultados con los obtenidos en otras áreas del proyecto. Para ello, se estableció el cateo a partir de un hundimiento de superficie sin causa moderna aparente y que en las tomas de datos magnetométricos presentaron niveles altos de nT. Para la optimizar el registro de estos contextos la metodología de excavación fue de niveles arbitrarios.



Imagen. CA12-R02. Tomado de Soria, 2021.



Imagen. Vasija hallada en el Rasgo CA12-R01 Procedencia 12 nivel 8. Tomado de Soria, 2021.

### Cateo 13

Cateo de 1m x 1m, se ubicó en la calle Manuela Cañizares. Este cateo se realizó con la intención de constatar los niveles estratigráficos naturales y verificar si existen alteraciones antrópicas y presencia de material cultural. Se ubicaba al oeste del Corte 2 y del cateo 12. La metodología de excavación fue por niveles arbitrarios.

### Fase II. Monitoreo.

Para el monitoreo llevado a cabo con la dirección de Mosquera (2023), se tomaron en cuenta las áreas de mayor sensibilidad arqueológicas definidas por Soria (2021) y atendiendo al proyecto de alcantarillado definido por la EPMAPS, con los mismos objetivos trazados durante la Fase I. Aportar al conocimiento sobre las ocupaciones prehispánicas, definir cronologías, caracterizar estratigrafía, realizar cartografía (Mosquera, 2023). Además, para facilitar los trabajos y las codificaciones se dividieron por tramos las calles ya mencionadas.



ELABORADO POR: M.Sc. ANDRÉS MOSQUERA

Imagen. Propuesta de monitoreo arqueológico en la parroquia Llano Chico. Tomado de Mosquera (2023).

En la calle Manuela Sáenz se encontraron multitud de Rasgos, 19 en el tramo 1 y 6 en el tramo 2, de diferentes tipologías, durante el monitoreo con gran cantidad de material de toda índole incluidos restos humanos. Igualmente, en la calle Manuela Cañizares, en los tramos 3, 10 rasgos y en el 4 fueron 14 en total. Para la calle Feliciano Checa 5, y finalmente para la 2 de agosto 2.



Además, dada la concentración de material en la calle Manuela Cañizares, se realizó un rescate por medio de dos cortes. El corte 1 en las coordenadas: 9884327N / 785558 N, cota 2604 m.s.n.m. En el sector se trazó una cuadrícula de 4X1 metros hacia el norte del rasgo 9, siguiendo niveles arbitrarios y hallando 7 rasgos con multitud de materiales.

El corte 2 de 4 m X 1m, cuya finalidad fue identificar otros rasgos asociados a los pozos del corte 1. La excavación se subdividió en dos cuadrículas a las que se les denominó como A y B (Mosquera, 2023). En este caso se excavó siguiendo niveles naturales hallando un total de 5 rasgos.



Imagen. Enterramiento primario en corte 2. Tomada de Mosquera (2023).

Todos los rasgos mencionados se encuentran distribuidos en las calles y terrenos de la siguiente manera.

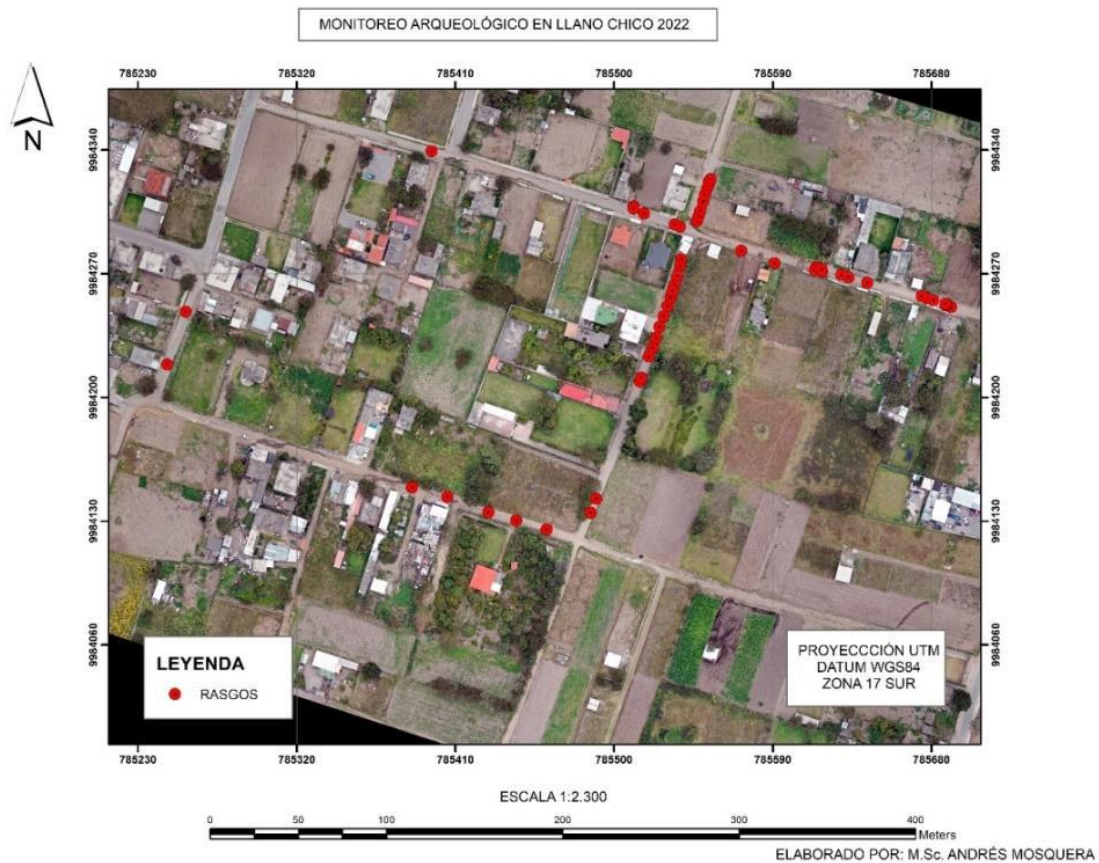


Imagen. Ubicación de los rasgos en Llano Chico. Tomada de Mosquera 2023.

#### Importancia del Yacimiento.

En el territorio de Quito se han evidenciado yacimientos cuyas cronologías abarcan desde el periodo Arcaico (Bell, 1965; Bonifaz 1978; Salazar 1979: 23; Lippi 1988; Villalba y Alvarado 1998: 89; Domínguez 2008a; Domínguez 2008b; Constantine 2012; Ugalde 2012; Ugalde 2013; Montalvo 2018; Ugalde 2019; Ugalde, 2020; Soria 2023), con materiales no solo propios de este lugar, sino que han aparecido restos tanto de Amazonía como de Costa, por lo que se le entiende como un lugar importante para el intercambio de bienes (Vásquez, 1999; Villalba, 1988). Sin embargo, en lo concerniente al periodo Desarrollo Regional, las evidencias son escasas, debido a eventos catastróficos como la erupción del volcán Pululahua en el 2300 a.C. (Hall y Mothes 1994: 53), que provocó desplazamientos poblacionales y dificultades para asentarse en determinadas zonas. La magnitud de este evento fue evidenciada en lugares como Cotocollao (Villalba, 1988), Rancho Bajo (Ugalde, M.F., 2013) y Tagshima (Ugalde, M.F., Dyr Dahl, E., 2020) provocando que para el Desarrollo Regional los pocos yacimiento conocidos se hayan localizado hacia el sur y en los valles bajos cercanos a Quito, como Cumbayá, Tumbaco y Los Chillos (Vásquez, J., 1999) con Jardín del Este como lugar de referencia por su volumen de información y materiales como los fáunicos (Buys, J., Camino, B., Santamaría, A., 1994).

El sitio de Llano Chico es muy importante dado a que pertenece al Desarrollo Regional y se ubica sobre la meseta de Quito en el norte, siendo el lugar más cercano hasta el momento, con un evidente asentamiento de larga duración, con dos momentos de ocupación entre entre de 43



a.E.C al 200 E.C para el primer momento y de 250 al 243 E.C. para el segundo y que posiblemente se haya extendido a Integración (Soria, 2021).

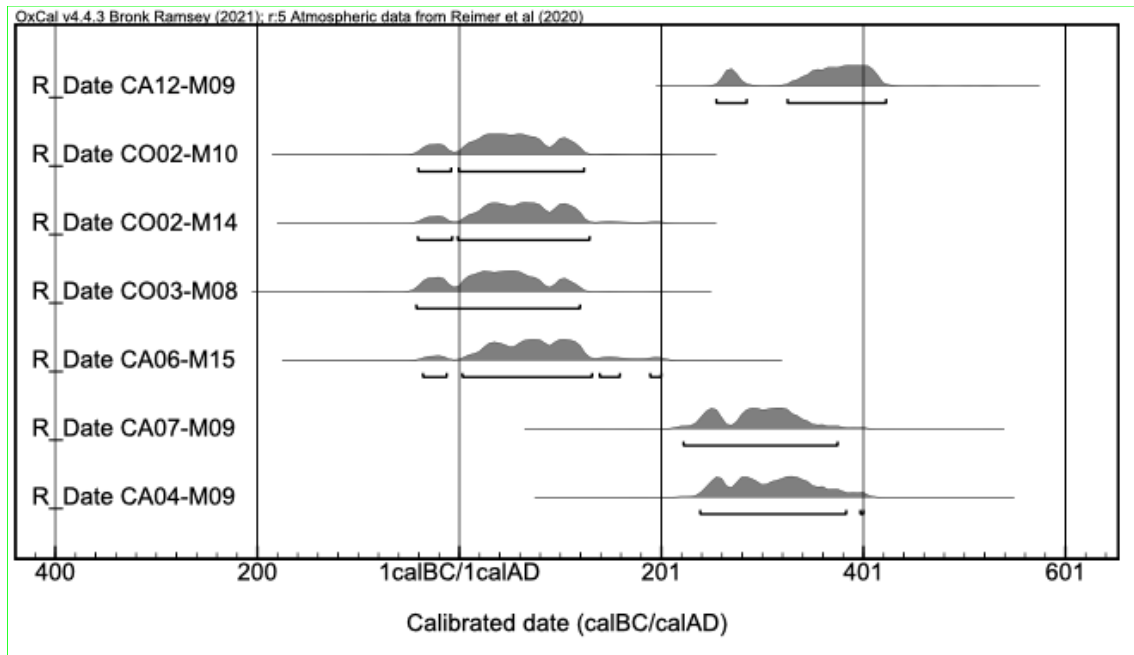


Imagen. Rango de influencia de dataciones radiocarbónicas. Tomado de Soria, 2021.

Con la presencia de pozos y enterramientos, se pudo establecer que se trataría de un espacio destinado a cementerio, con otros asignados como lugares de almacenaje y posteriores basureros, y posiblemente algunos hayan tenido la doble funcionalidad. La alteración de la superficie por terrenos de cultivo y asentamientos urbanos, por ahora no ha permitidos evidenciar zonas de vivienda. Incluso en el corte 3 se han identificado una serie de enterramiento secundarios mucho más cercano a la superficie y sin estar asociados a pozo.

Material cultural.

Se han hallado restos de todo tipo de materiales como cerámica, obsidiana, lítica restos humanos y fáunicos, elementos vegetales, entre otros, cuyo análisis puede ser consultado en el informe de Soria (2021) a excepción de los restos fáunicos que aquí se detallan.

Estratigrafía y sedimentología.

La estratigrafía de este yacimiento está condicionada por el área urbana donde se encuentra, con grandes alteraciones no sólo en superficie, sino también a varios centímetros de profundidad, dadas las características de la zona, al crear pozos para desechos, tuberías de agua entre otros, que ha provocado que se mezclen materiales antiguos y modernos, lo que ha venido en denominarse Depósito 1 y que ha sido definido en otras investigaciones en el lugar (Domínguez, 2003; Erazo, 2012). Un suelo limo arcilloso menos perturbado que el Depósito 1, es el que se asignó como Depósito 2, donde ya se evidencia material cultural sin alteración, pero

que no está presente en todos los contextos excavados, y cuenta con intrusiones en forma de pozo. Finalmente, el Depósito 3 es una sección de suelo gris arenoso mezclado con ceniza. Bajo este, niveles naturales.

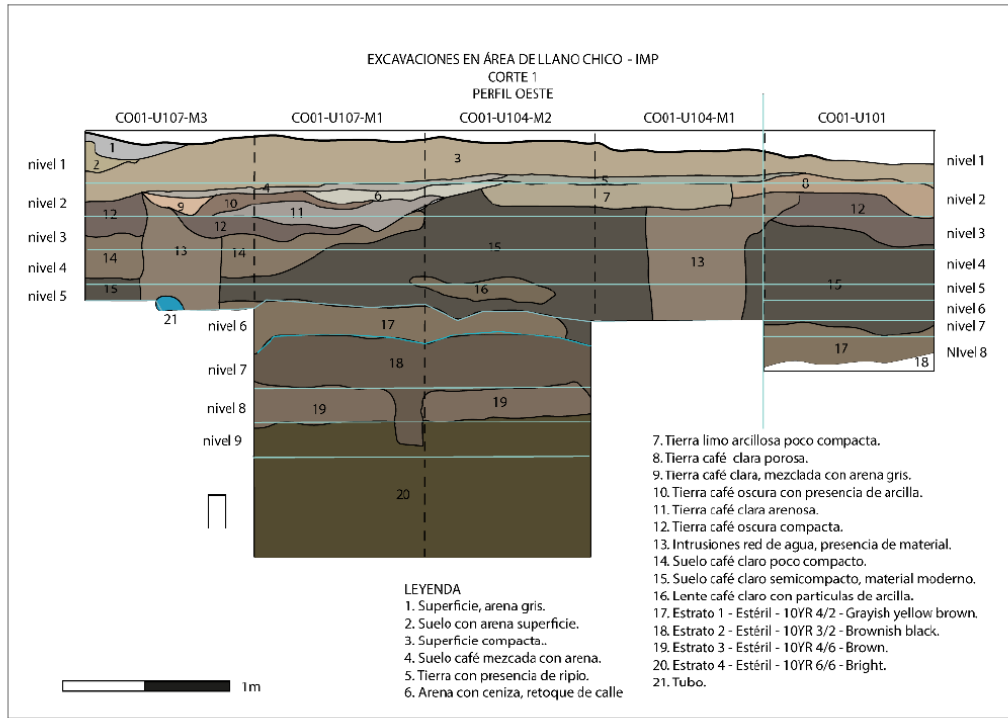


Imagen. Perfil oeste del Corte 1. Tomado de Soria, 2021.

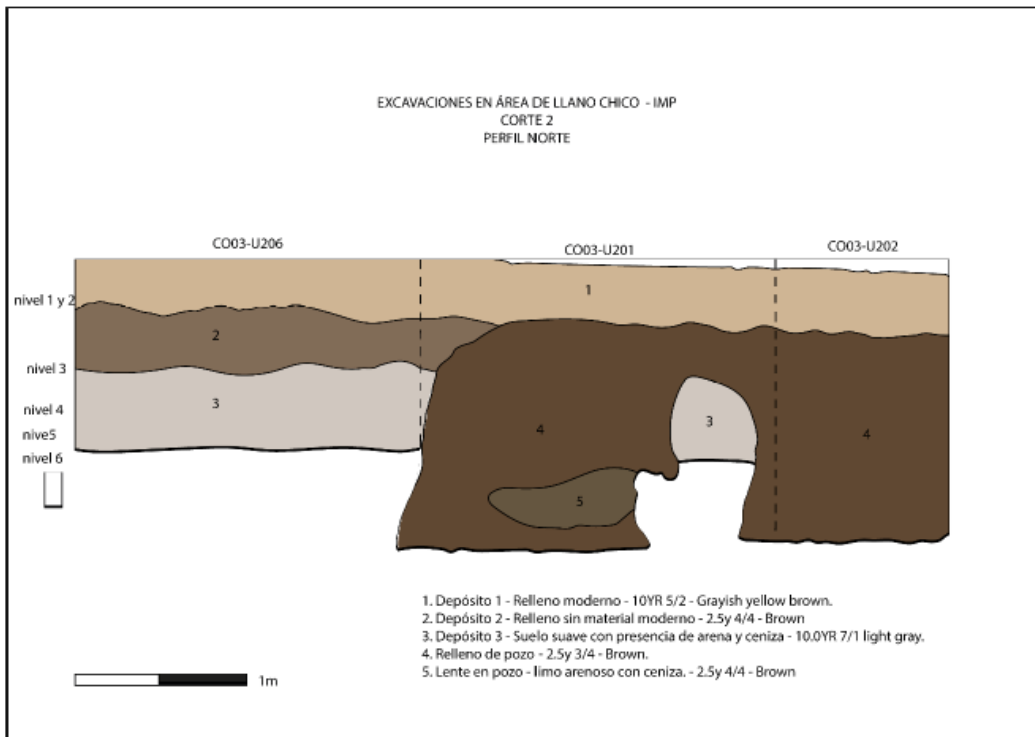


Imagen. Perfil norte del Corte 2. Tomado de Soria, 2021.

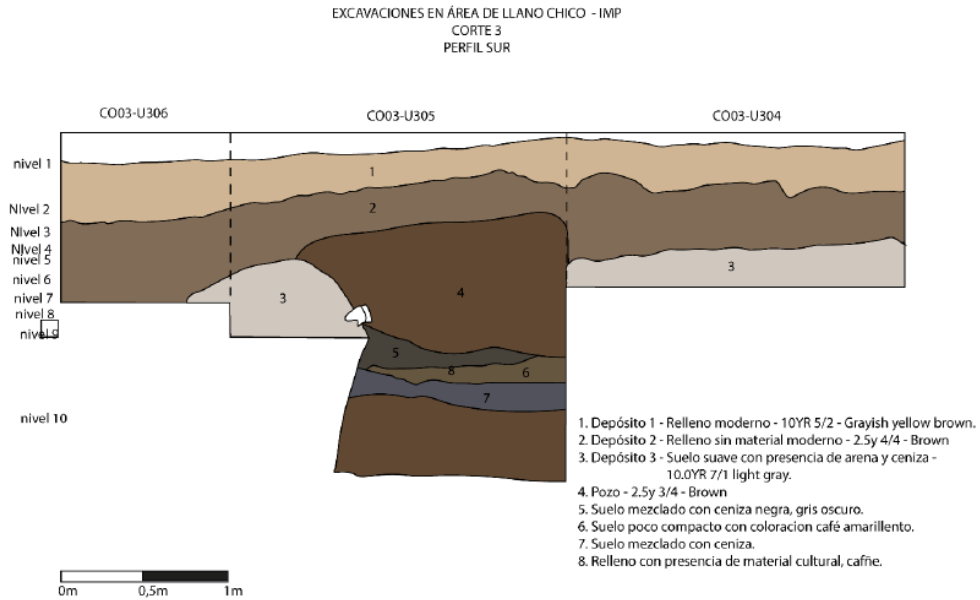


Imagen. Perfil sur del Corte 3. Tomado de Soria, 2021.

Para entender mejor las secuencias se divide las zonas de trabajo por áreas. No todas las áreas excavadas han proporcionado el mismo nivel de información en cuanto a volumen de materiales, debido a su cercanía a las viviendas y ser parte de las mismas calles. Aquellos lugares destinados a cultivos proporcionaron mucha más información, debido a su menor nivel de alteración como se aprecia en la siguiente imagen.



Imagen. Distribución de áreas por frecuencia de material en el Proyecto Llano Chico. Tomado de Soria, 2021.

Para el área 1, la secuencia es la siguiente:

- S: Suelo compacto con presencia de material cultural. Entre 5 y 10 cm de espesor.
- D1: Relleno moderno. Suelo limo arenoso con presencia de material cultural y presencia de basura moderna. Coloración 10YR 5/2, espesor de 30 cm. En el corte 1, este depósito se compone de varias capas de retoque de calle con lentes de arena.

93

- Estrato 1: Suelo limo arcilloso, color 10.0 YR 4/2 grayish yellow brown. Culturalmente estéril y espesor de 30 cm.
- Estrato 2: Suelo arcilloso de color 10.0 YR 3/2 brownish black. Culturalmente estéril y 40 cm de espesor.
- Estrato 3: Suelo arcilloso de color 10.0 YR 4/6 brown. Culturalmente estéril y 25cm de espesor.
- Estrato 4: Suelo arcilloso de color 10.0 YR 6/6 yellowish. Culturalmente estéril y 70 cm de espesor.
- Estrato 5: Suelo arcilloso de color 10.0 YR 5/6 yellowish. Culturalmente estéril con 1m de espesor.

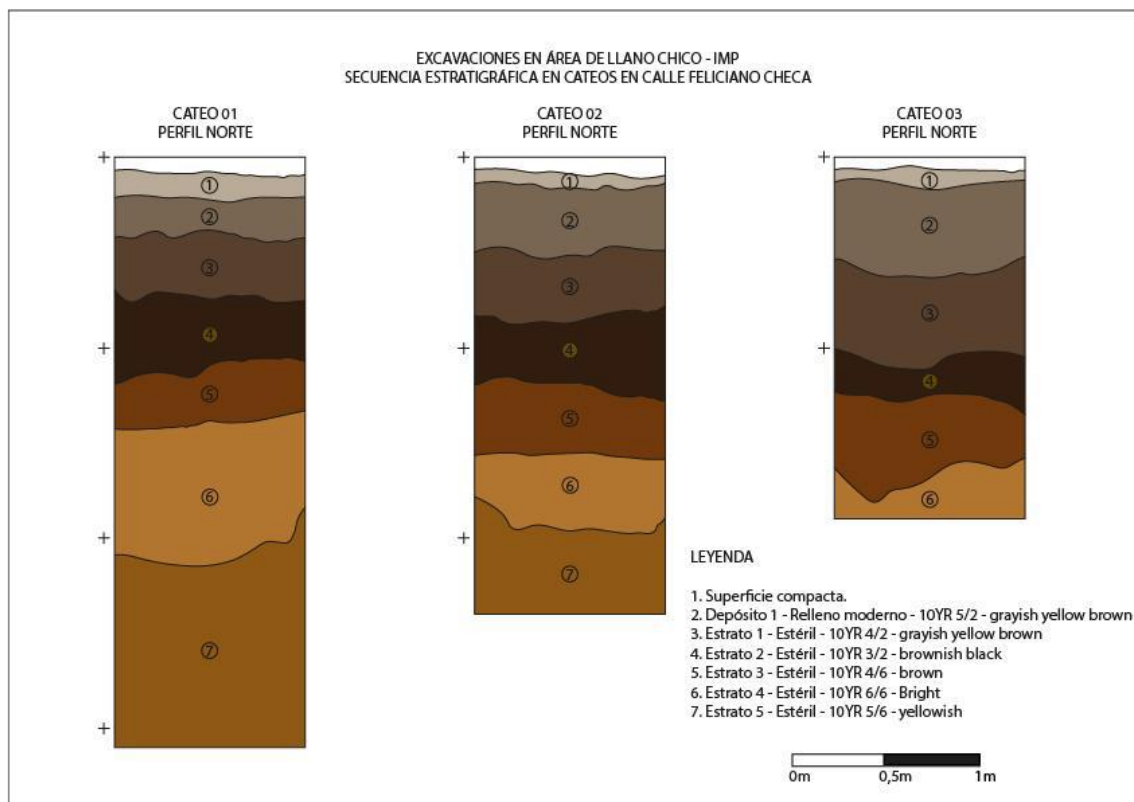


Imagen. Perfiles estratigráficos de cateos 1, 2 y 3. Tomado de Soria, 2021.

EXCAVACIONES EN ÁREA DE LLANO CHICO - IMP  
SECUENCIA ESTRATIGRÁFICA EN CATEOS EN CALLE MABUELA SÁENZ- ESTE 1

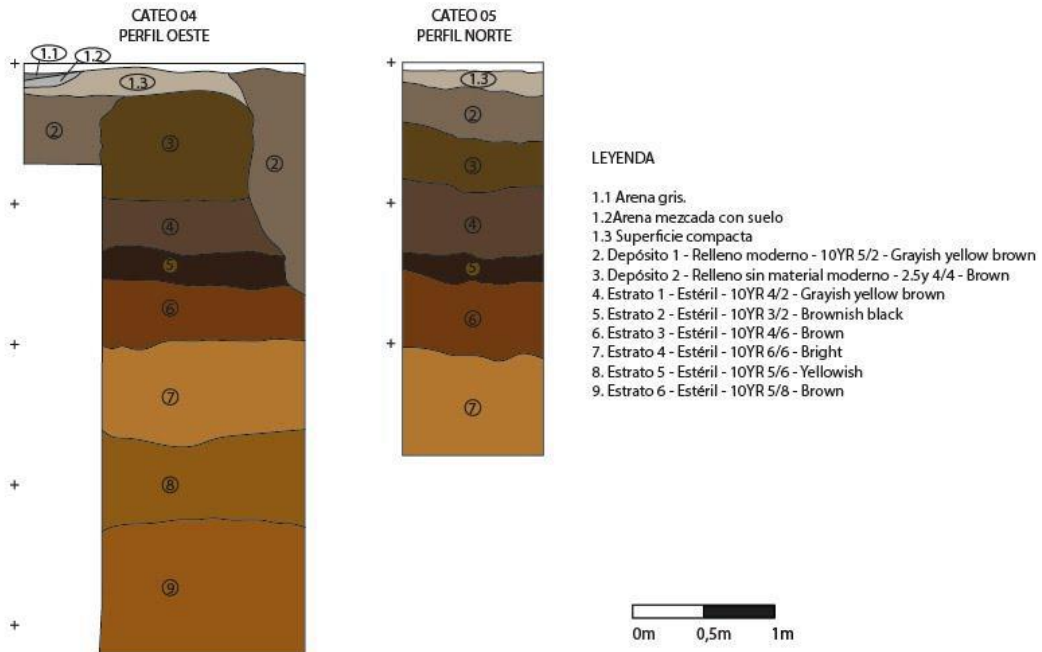


Imagen. Perfiles estratigráficos de cateos 4 y 5. Tomado de Soria, 2021.

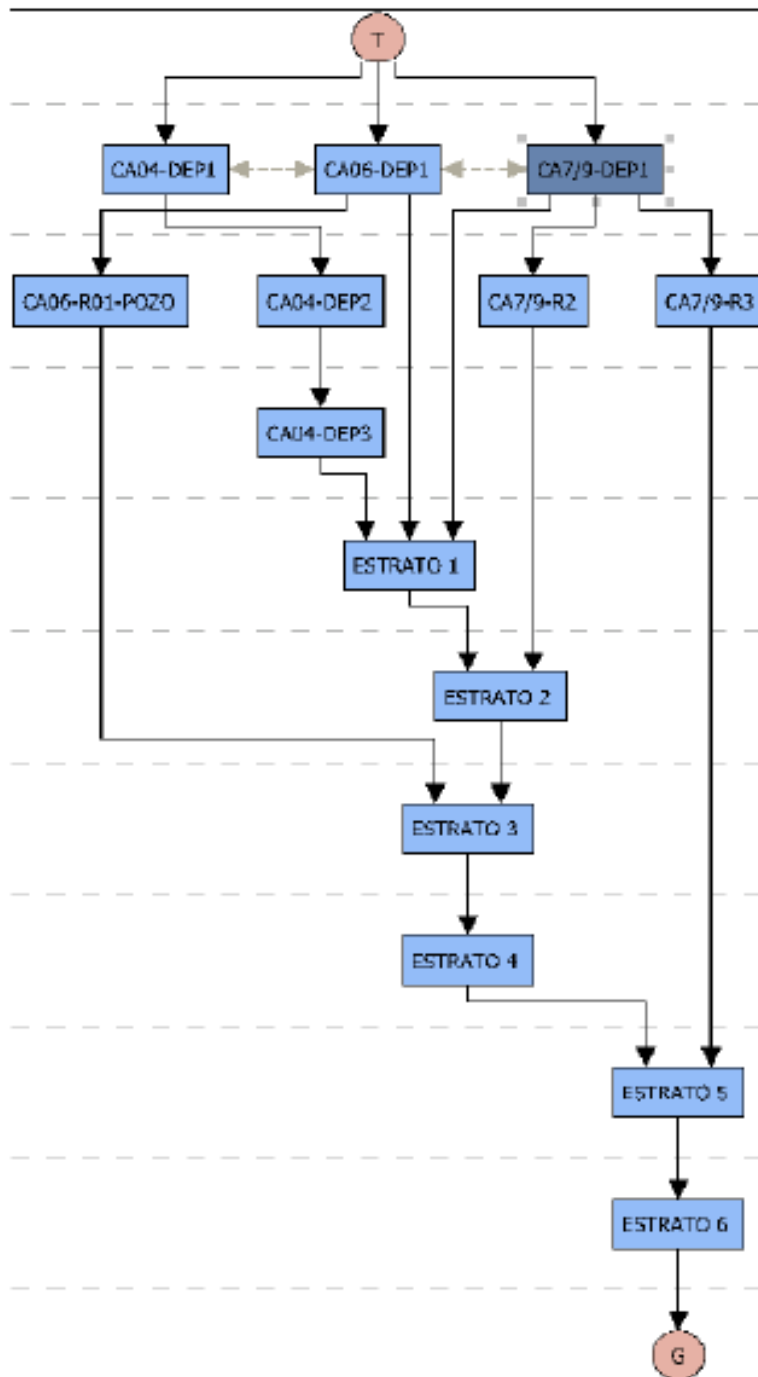


Imagen. Relación estratigráfica de los cateos 4, 6 y 7/9 en los que se evidenciaron pozos con abundante material cultural. Tomado de Soria, 2021.

Se presenta a continuación la descripción estratigráfica de estas intervenciones en el área 2:

- S: Suelo compacto con presencia de material cultural. Entre 5 y 10 cm de espesor.
- Depósito 1: Relleno moderno. Suelo limo arenoso con presencia de material cultural y presencia de basura moderna. Coloración 10.0YR 5/2, espesor de 30 cm. En el corte 1, este depósito se compone de varias capas de retoque de calle con lentes de arena.
- Depósito 2: Relleno limo arenoso con presencia de material cultural de color 10.0YR 4/1 brownish gray. Con espesor de 15cm.
- Depósito 3: Suelo suave con presencia de arena y ceniza de color 10.0YR 7/1 light gray.
- Estrato 1: Suelo limo arcilloso, color 10.0 YR 4/2 grayish yellow brown. Culturalmente estéril y espesor de 30 cm.
- Estrato 2: Suelo arcilloso de color 10.0 YR 3/2 brownish black. Culturalmente estéril y 40 cm de espesor.
- Estrato 3: Suelo arcilloso de color 10.0 YR 4/6 brown. Culturalmente estéril y 25cm de espesor.
- Estrato 4: Suelo arcilloso de color 10.0 YR 6/6 yellowish. Culturalmente estéril y 70 cm de espesor.
- Estrato 5: Suelo arcilloso de color 10.0 YR 5/6 yellowish. Culturalmente estéril con 1m de espesor.

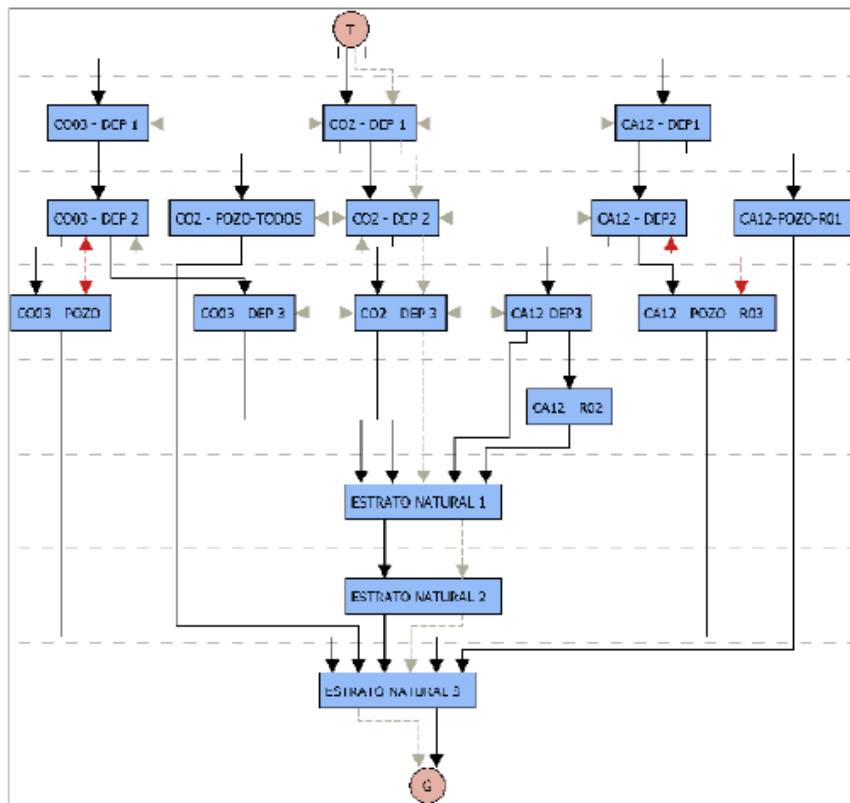


Imagen. Relación estratigráfica del Cateo 12 y cortes 2 y 3, en los que se evidenciaron pozos con abundante material cultural y enterramientos. Tomado de Soria, 2021.

#### Secuencia estratigráfica del área 3:

- S: Suelo compacto con presencia de material cultural. Entre 5 y 10 cm de espesor.
- Depósito 1: Relleno moderno. Suelo limo arenoso con presencia de material cultural y presencia de basura moderna. Coloración 10YR 5/2, espesor de 30 cm. En el corte 1, este depósito se compone de varias capas de retoque de calle con lentes de arena.
- Depósito 2: Relleno limo arenoso con presencia de material cultural de color 10.0YR 4/1 brownish gray. Con espesor de 15cm.
- Depósito 3: Suelo suave con presencia de arena y ceniza de color 10.0YR 7/1 light gray.
- Estrato 1: Suelo limo arcilloso, color 10.0 YR 4/2 grayish yellow brown. Culturalmente estéril y espesor de 30 cm.
- Estrato 2: Suelo arcilloso de color 10.0 YR 3/2 brownish black. Culturalmente estéril y 40 cm de espesor.
- Estrato 3: Suelo arcilloso de color 10.0 YR 4/6 brown. Culturalmente estéril y 25cm de espesor.
- Estrato 4: Suelo arcilloso de color 10.0 YR 6/6 yellowish. Culturalmente estéril y 70 cm de espesor.



- Estrato 5: Suelo arcilloso de color 10.0 YR 5/6 yellowish. Culturalmente estéril con 1m de espesor.

Durante la Fase II también se definió la estratigrafía según sus hallazgos.

Según Mosquera (2023), esta es la estratigrafía general de los rasgos de la calle Manuela Cañizares que se encuentran asociados a D2 que es una capa de tefra asociada a la erupción del Guagua Pichincha.

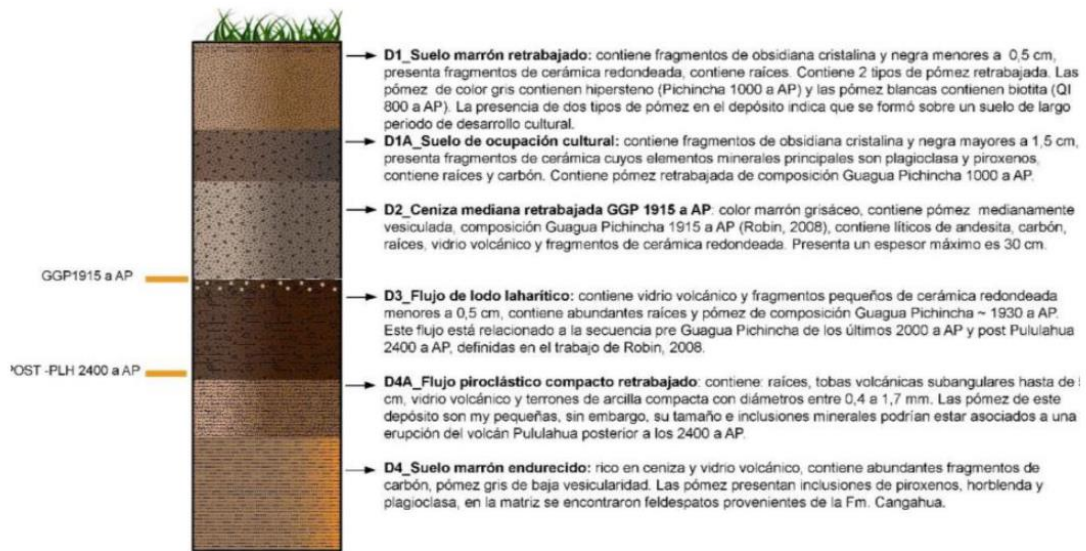


Imagen. Columna estratigráfica de Llano Chico. Tomada de Mosquera (2023)

En el sector del corte 2 según Mosquera (2023) la estratigrafía sería esta:

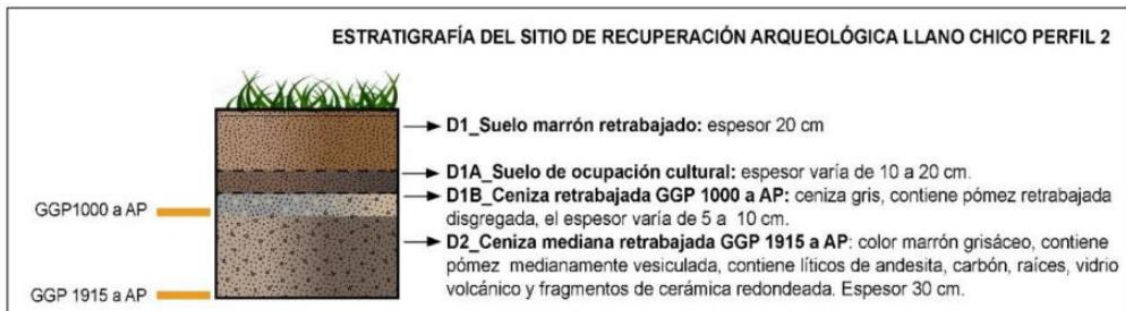


Imagen. Columna estratigráfica del corte 2. Tomada de Mosquera (2023).

Siendo las correlaciones estratigráficas de los perfiles analizados las siguientes:

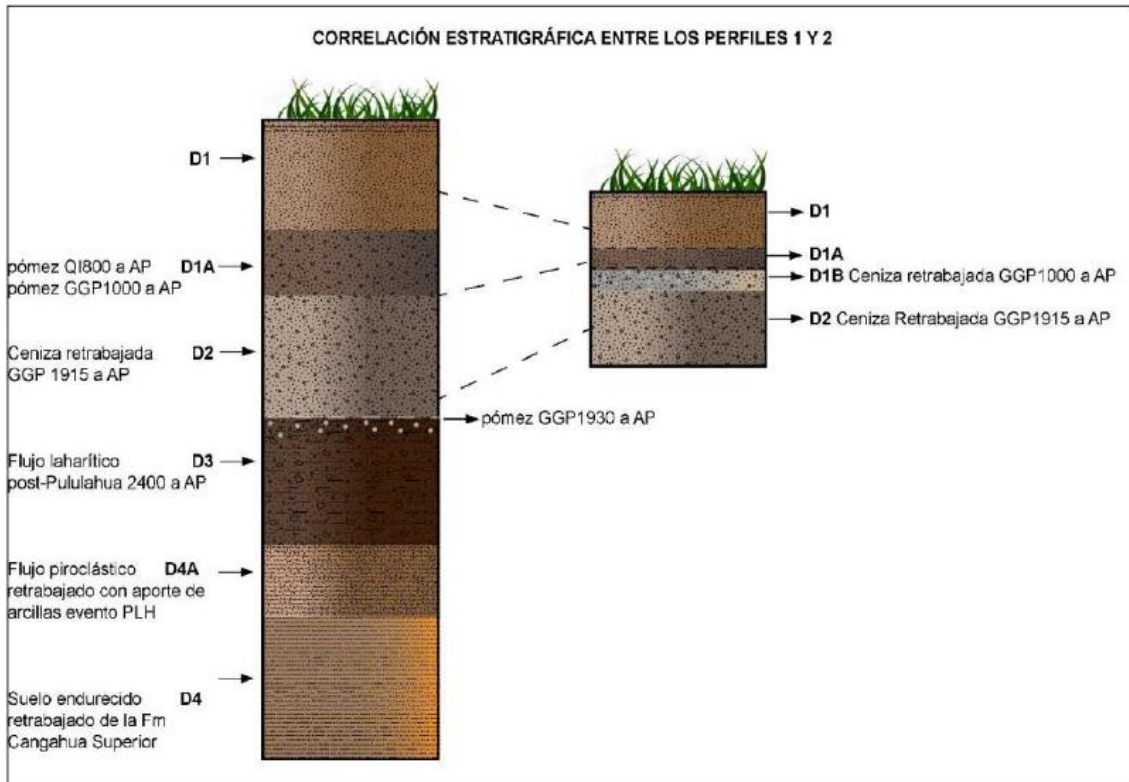


Imagen. Correlación estratigráfica. Tomada de Mosquera (2023).

### Cronología

Según la cronología establecida en la Fase I, Llano Chico pertenece al Desarrollo Regional que corresponder según Ontaneda (2010:157) al arco comprendido entre el 300 a.C. y el 400 d.C. Para su datación se emplearon tres técnicas: el análisis estilístico cerámico, muestras de ceniza volcánica y las dataciones AMS 14C. Las siete muestras seleccionadas provienen de pozos y depósitos no alterados y dieron como resultados que la ocupación del sitio se sitúa entre el 43 cal. a.C. y el 423 d.C. agrupados en dos periodos de 200 años, con un vacío de 50 años. Esto puede suponer dos periodos de ocupación o que, dada la limitación de las muestras, sí haya podido haber una continuidad.

Muestra	Corte / Cateo	Unidad	Asociación	Procedencia	cal AD	cal BP
CA12-MO9	CA12	CA12	CA12-RO1	CA12-P17	255 AL 423	1695 - 1527
CA04-MO9	CA04	CA04	CA04-R02	CA04-P07	239 AL 401	1711 - 1549
CA07-MO9	CA07/09	M1	CA07-R03	CA07-P05	223 AL 375	1727 - 1575
CA06-M15	CA06	CA06	CA06-RO1	CA06-P03	-37 AL 201	1987 - 1749
CO02-M10	CO02	201	CO02-R10	CO02-P14	-41 AL 124	1991 - 1826
CO02-M14	CO02	201	CO02-R13	CO02-P20	-42 AL 130	1992 - 1820
CO03-M08	CO03	302-M4	CO03-R10	CO03-P22	-43 AL 129	1993 - 1821

Tabla. Dataciones Radiocarbónicas. Tomado de Soria, 2021.

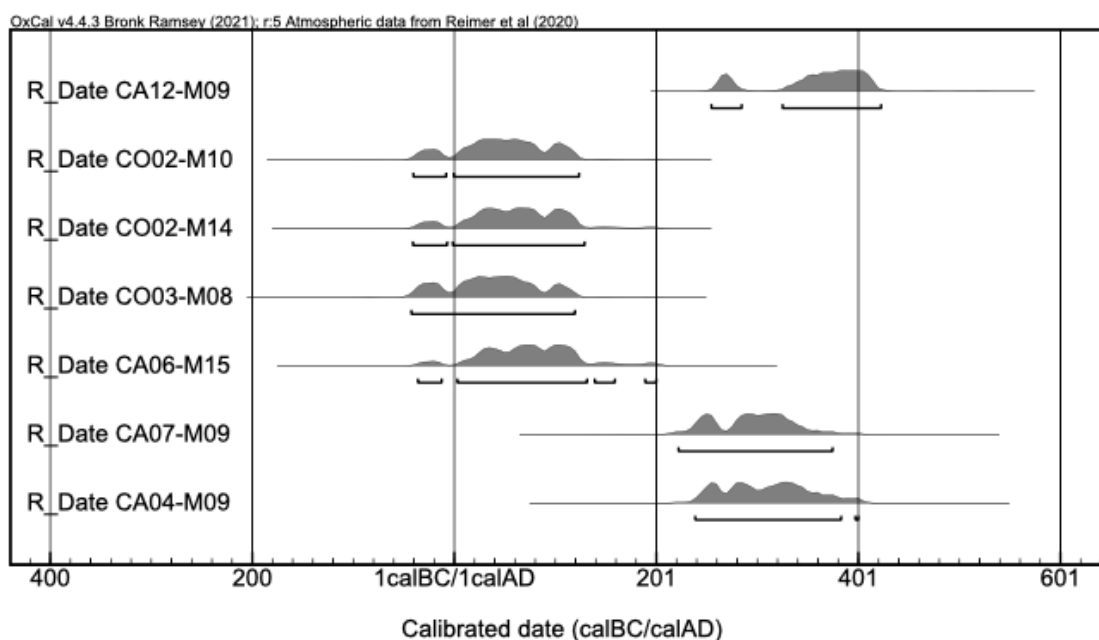


Imagen. Relación de dataciones radiocarbónicas. Tomado de Soria, 2021.

Las muestras de ceniza analizadas por la Dra. Mothes evidencian que la ceniza del Depósito 3 se corresponde con la erupción del Guagua Pichincha hace 2000 años, mientras que la muestra del Rasgo 7 del Corte 2, se corresponde con ceniza del Quilotoa, 800 años atrás, lo que podría sugerir una ocupación adentradas en Integración.

En la Fase II se diferenciaron las cronologías relativa y absoluta. Principalmente la estratigrafía relativa la marca la ceniza del Guagua Pichincha, a la que están asociados el inicio de los pozos, denominado Depósito 2. Se correspondería con el 1915 A.P. (Mosquera, 2023).

Las dataciones absolutas se llevaron a cabo bajo la gestión del Dr. Montalvo en base a 11 muestras de carbón vegetal y dientes humanos. Fueron enviadas a la Universidad de Georgia, Estados Unidos.

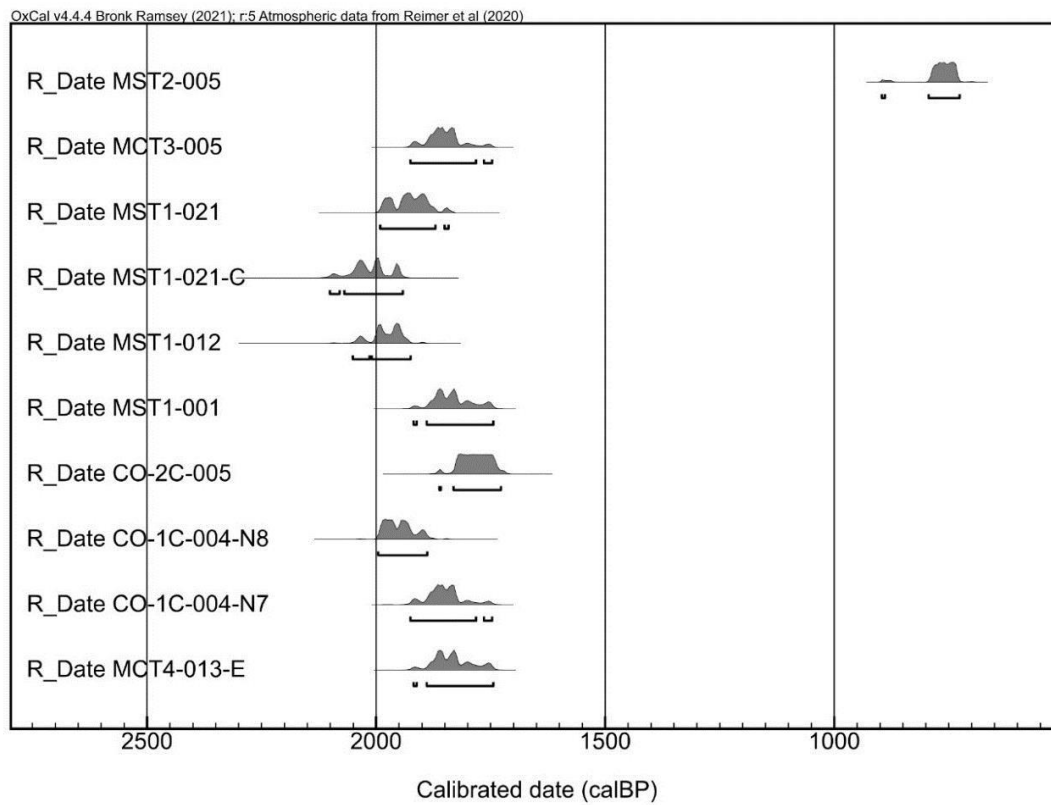


Imagen. Edades Calibradas. Tomada de Mosquera (2023).

Código	Muestra	Rasgo	Contexto	AC/AD		%
				Desde	Hasta	
MST2-005	Pieza dental	6	Tumba	1054	1224	95.4
*CA07-M09	Carbón	3	Pozo	131	336	95.4
CO-2C-005	Pieza dental	3	Tumba	88	223	95.4
*CA04-M09	Sedimento	3	Pozo	76	231	95.4
MST1-001	Pieza dental	7	Pozo de almacenamiento	32	206	95.4
MCT4-013	Pieza dental	11	Tumba	32	206	95.4
MCT3-005	Carbón	9	Tumba	25	203	95.4
CO-1C-004-7	Pieza dental	7	Tumba	25	203	95.4
*CO02-M10	Carbón		Tumba	10	204	95.4
*CA12-M09	Carbón	3	Pozo	-37	201	95.4
*CO02-M14	Carbón		Tumba	-43	120	95.4
*CA06-M15	Carbón	2	Pozo	-43	120	95.4
*CO03-M08	Carbón		Tumba	-46	117	95.4
MST1-021	Pieza dental	18	Tumba	-42	108	95.4
CO-1C-004-8	Pieza dental	7	Tumba	-47	62	95.4
MST1-012	Carbón	7	Tumba	-102	26	95.4
MST1-021-C	Carbón	18	Tumba	-152	9	95.4

Elaborado por el autor en base a los resultados de la Universidad de Georgia y Beta Analytic.

Imagen. Sistematización de todas las dataciones calibradas del sitio Llano Chico. En asterisco las correspondientes a la Fase I. Tomado de Mosquera (2023).

Se puede observar que hay una datación que se corresponde con el periodo de Integración, pero su ubicación se encuentra alejada de los otros rasgos.

Procedencia de los restos fáunicos.

Luego de terminada las fases I y II de campo, se procedió al traslado del material arqueológico recuperado al laboratorio ubicado en la Casa Hacienda del Parque Arqueológico Rumipamba. El equipo de investigación se dividió por áreas asignadas a cada material, donde los restos fáunicos se agruparon desde todas sus procedencias del proyecto sin excepción, incluyendo los materiales modernos superficiales que han proporcionado valiosa información.

Selección del material fáunico.

Debido a la importancia del material recuperado no se ha hecho ningún tipo de selección específica en el caso del yacimiento de Llano Chico en esta fase de actuación.

¿Qué es la arqueozoología?

La Arqueología es una disciplina científica que obtiene sus datos a través de su irrupción con otra serie de especialidades. En el caso de los estudios derivados de la recuperación de restos óseos fáunicos, a través de los cuales reconstruir el pasado, no ya de la especie en sí y en su ambiente, sino principalmente conocer su relación con el ser humano, surge la arqueozoología (Chaix y Méniel, 2005). Ese es su principal diferencia, no ya la metodológica que si es similar, con la Paleontología. Sus análisis buscan conocer sobre el ser humano y no sobre el animal en sí (Davis, 1989).

Identificación de elementos, especies, edades y sexos donde sea posible, y alteraciones por procesos pre y post enterramiento, ya sean de carácter antrópico o no, son quizás los procesos más reconocidos (Marín Arroyo, 2010). Con todo, los objetivos son amplios, partiendo del ser humano como base, se puede inferir información sobre ecosistemas, medioambiente, desarrollo de especies, estrategias de subsistencia, entre muchos otros (Yravedra, 2006). Todo ello empleando una metodología específica sabiendo que los restos óseos asociados a la actividad antrópica son fruto de una acción pensada que deja marcas que debemos saber interpretar (Marín Arroyo, 2004).

No hay límites en cuanto a especies, todo dependerá de la formación del investigador y del acceso a colecciones comparativas y buena bibliografía. Desde los grandes mamíferos, pasando por peces (ictiofauna), moluscos (malacofauna), hasta microscópicas bacterias presentes en cuerpos momificados.

Esta disciplina se desarrolla en el siglo XIX, con el reconocimiento de los animales como ente fundamental para conocer el pasado y establecer unas primeras cronologías para el origen del hombre. Lartet o Mortillet asociaron periodos con la presencia de determinado tipo de animales como el oso, el reno, el bisonte o el uro (Yravedra, 2006). A finales de siglo, se desarrollará el primer trabajo íntegramente sobre fauna firmado por Rüttimeyer. El objetivo, separar faunas salvajes de domésticas a través de la diferenciación ósea (Moreno García, 2013) basándose en el principio en el que profundizaría Duerst (Davis, 1989) de que la domesticación conlleva reducción de tamaño por parte de las especies.

Con la Nueva Arqueología y el desarrollo de la transdisciplinariedad, sus preocupaciones paleoeconómicas, se dará el salto hacia la madurez (Binford, 1972, 1983; Estévez, 1991)

En Ecuador no será hasta la década de los sesenta cuando Edward Lanning llevó a cabo unos estudios de reconstrucción paleoclimática sirviéndose del empleo de conchas de carácter arqueológico. En los setenta, estudiantes llegados de la Universidad de Florida, realizan una cuantificación de datos fáunicos procedentes de yacimientos de la costa. No se producirá mayor avance hasta la década de los ochenta, puesto que cualquier trabajo se limitaba a meras listas de especies sin mayor discusión o inclusión en el conjunto del trabajo. En los ochenta, se producirá la explosión de trabajos que ofrecían valiosa información sobre hábitat, especies, estrategias de subsistencia, apoyados en la multidisciplinariedad. Trabajos como los de Nicholson, Reitz, Stahl, Miller y Gill, y la ecuatoriana (Sánchez, 2004). Recientemente el número de jóvenes investigadores en este campo ha crecido, gente como Gabriela Juape, Daniel Soria, Ibis Mery, han continuado la labor que iniciaron otros, yendo a la vanguardia con el progreso

que la técnica marca y que permite llegar a obtener información de los restos que hace décadas era impensable.

Metodología.

El arqueozoólogo se sirve de la metodología de recuperación arqueológica, basada en cuadrículas, donde los materiales se clasifican por tipologías, y los más pequeños se recogen del tamizado. Una buena recuperación es fundamental para llevar a cabo un buen análisis y por ello la experiencia del excavador cobra un papel importante. Hay restos sencillos se separar, aunque a veces se confunda con humanos, y otros más pequeños que se pueden escapar a alguien no familiarizado (Estévez, 1991).

Clasificación de los restos.

Los materiales aquí estudiados proceden de dos yacimientos y varias campañas de excavación. Los restos de Las Orquídeas se encuentran almacenados en el laboratorio de arqueología de la Pontificia Universidad Católica del Ecuador, y fueron cedidos por sus directores Montalvo y Dyr Dahl, y los restos de Llano Chico son parte de la reserva del Instituto Metropolitano de Patrimonio de Quito. Ambos yacimientos se conocen de primero mano al formar de parte del equipo de excavación.

La información de recogida es muy importante, principalmente el etiquetado y el siglado de las bolsas. En este caso consta la unidad, cateo, corte, metro, niveles, procedencias, rasgos, depósitos, y una primera cuantificación de su contenido. Fechas y nombres de los yacimientos también son muy importantes para el investigador en caso de necesitar una consulta sobre los diarios de excavación.

La selección del material se hace en base a los objetivos y al conocimiento de la fiabilidad de la muestra. Mientras que en Llano Chico se seleccionó todo el material, en Las Orquídeas se desechan primeros niveles y se busca unidades con una mayor continuidad estratigráfica. Una primera aproximación y una vez lavado el material, permite diferenciar entre restos con información taxonómica o anatómica reconocible, o aquellos que solo aportan a nivel tafonómico.



Identificación taxonómica y anatómica.

Primero se define a nivel anatómico (partes de elemento, elementos, grupos) y luego se define el taxón, para lo cual nos apoyamos en atlas de referencia internacionales y algunos más específicos según la muestra como Barone (1976), Schmid (1972), Baumel (1979) Pales & García (1981), Altamirano (1983) Callou (1997) Hillson (2005) Sierpe (2015) entre otros. Además, es fundamental apoyarse en colecciones de referencia como la del Museo de Zoología QCAZ de la Pontificia Universidad Católica del Ecuador o colecciones virtuales que actualmente constan de muy buenas fotografías y que han servido para suplir las falencias causadas por la pandemia.

Se parte de la premisa de que cada taxón cuenta con características distintas a nivel osteológico que permiten diferenciar unas especies de otras. Estas vienen marcadas por los modos de vida que tiene la especie en vida (Dobney y Rielly, 1988). No es necesario tener un esqueleto completo o si quiera un hueso, existen partes diagnósticas exclusivas que diferencian especies. Y en aquellas donde no es posible llegar a ese punto, se aproxima lo máximo que se pueda, por ejemplo, por tallas similares. Un caballo se corresponde con una talla grande, mientras que un venado es medio, y conejos y roedores son pequeños o muy pequeños (Blasco, 2011). También, para agilizar la recogida de datos, se codifican las especies y los huesos, empleando iniciales de la nomenclatura científica como por ejemplo ODVI para *Odocoileus virginianus* o TI para tibia. Son facilidades que permiten avanzar más rápido en los análisis.

Cálculo de edad e identificación sexual.

Para determinar la edad los taxones de la muestra o su sexo, los cuales proporcionen valiosa información sobre la intención de los grupos humanos y su selección (Davis, 1989), se emplean varios métodos.

Para la edad se recurre a la fusión de las epífisis de los huesos largos y a la erupción y desgaste dentario (O'Connor, 2000). Se parte de la base de que cuando se nace el número de huesos es mayor al no estar fusionados como en la etapa adulta. Esa fusión se produce durante un tiempo determinado. Hallar restos que no estén fusionados o parcialmente y teniendo unos buenos datos sobre las fechas de fusión de esas especies, nos permite dar con una edad muy aproximada del individuo. No todas las fusiones son simultáneas, y algunas se producen en la edad adulta. Por lo que un hueso sin fusionar no implica necesariamente un individuo infantil y viceversa. Otros huesos fusionan muy rápido y según las especies.

El otro método es la erupción y desgaste dentario. Se sigue un principio similar. Según la especie los dientes deciduales erupción a determinar edad al igual que a otra son sustituidos por los

definitivos. El desgaste dependerá de muchos factores propios de la alimentación, pero unos dientes muy desgastados o perdidos tienden a indicar individuos de edad avanzada.

No siempre se cuenta con las tablas necesarias para aplicar estas comparaciones, entonces en vez de seguir edades absolutas, se intenta estimar en base a lo relativo, estableciendo cohortes de edad como por ejemplo FET (fetal), INF (infantil), JUV (juvenil), SUB (subadulto), ADU (adulto), SEN (senil) (Fernández, 2003).

Estudio biométrico.

Se basa en establecer mediciones sobre los huesos para comparar tallas entre individuos de un mismo periodo, o con fauna más reciente, para ver su evolución. Las tallas se redujeron con la domesticación, e igualmente durante la Revolución Industrial aumentaron de tamaño. Unas mediciones de los huesos nos pueden dar información sobre estos procesos (Driesch, 1976). En este estudio no se ha aplicado porque no estaba entre los objetivos.

Remontajes y rearticulaciones.

Los remontajes y rearticulaciones consisten en recuperar la unión de un mismo ya quebrado o de un hueso con otro. Nos sirve para cálculos cuantitativos.

Estudio tafonómico.

Tafonomía es una palabra de origen griego que hace referencia a las leyes del enterramiento. Fue introducida en los años 40 del siglo pasado por el ruso Efremov para describir los procesos que alteran un hueso durante su proceso de enterramiento (Marín-Arroyo, 2010). Los procesos previos desde la muerte al entierro se denominan bioestrinomía. Se hablaría de alteraciones de carácter antrópico principalmente, aunque determinado tipo de animales también pueden incidir sobre el resto. Y los procesos que le siguen hasta su recuperación por parte del arqueólogo es la diagénesis. Toda esta información acumulada, nos proporciona valiosa información sobre la conformación de la muestra y la ausencia y alteración de determinados elementos.

Alteraciones antrópicas.

Este tipo de alteraciones son llevadas a cabo por el ser humano. Se relacionan con la obtención del animal y los procesos de carnicería, fracturado, impactos y quemados. Son procesos intencionados (Binford, 1981; Pérez Ripoll, 1992). Se pueden clasificar en surcos, rascados, incisiones, etc (Mengoni, 2010). Las marcas de corte se asocian con el despellejado, desarticulado y descarnado. Según la posición en que se encuentren se relacionan con uno de esos tres procesos.

Las percusiones tienen como finalidad acceder al interior del hueso o partirlo. Son características las microestrías que generan los golpes y se pueden definir diferentes tipologías.

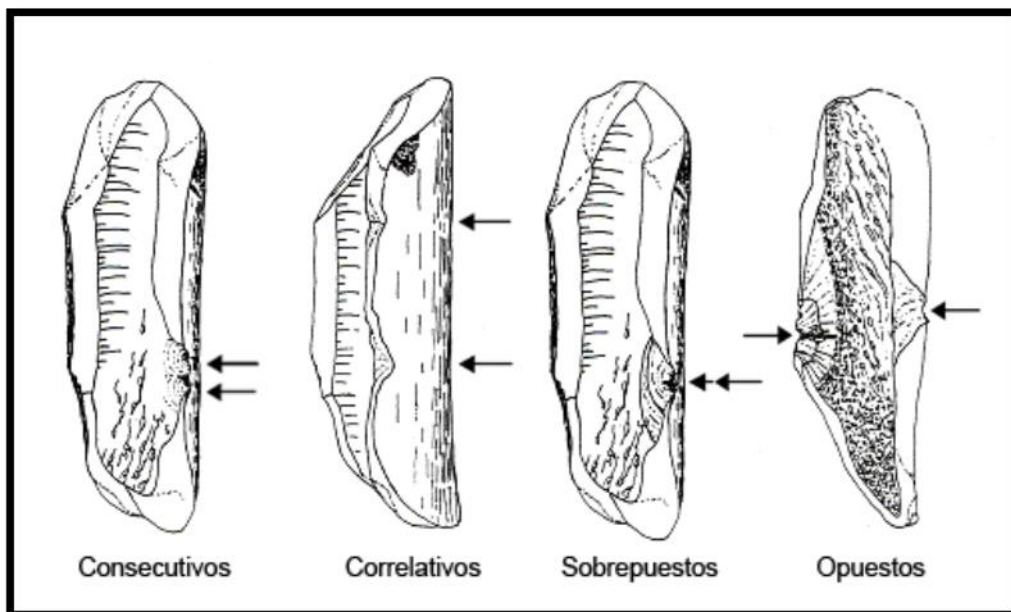


Imagen. Tipos de percusión a partir de Blasco (2011)

La fractura también permite acceder al interior y dividir el hueso. Es de carácter consciente. Y la acción antrópica frente a la natural es característica. Fracturas oblicuas tienden a asociarse a lo humano, al igual que una circunferencia de fractura que tenga más de la mitad de integridad. Un borde liso implica fractura en fresco, mientras que el rugoso habrá sido en seco (Villa y Mahieu, 1991).

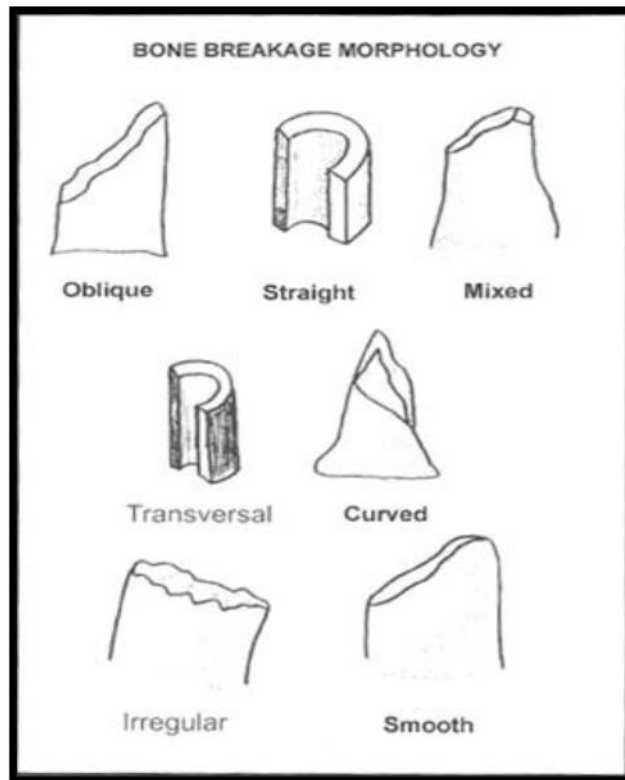


Imagen. Representación de los tipos de fracturas a partir de Villa y Mahieu (1991)

Por último, los quemados o termoalteraciones. Estos transforman la superficie del hueso. La coloración cambia con la temperatura y con la afectación sobre la estructura ósea. Color marrón no supera los 200 °C. El negro es la destrucción del colágeno. Y cuando se llega al gris y al blanco se ha producido la calcinación por encima de los 900 °C (Blasco, 2011). El cambio de color es progresivo, y siempre habrá una superficie más afectada que la otra. Es por ello que también se describen estadios intermedios.

Alteraciones naturales (bióticas y abióticas).

No sólo el ser humano genera alteraciones en los restos. Las denominadas modificaciones de carácter natural pueden ser causadas por agentes bióticos o abióticos. Los bióticos son carnívoros, roedores, herbívoros, plantas u hongos, mientras que los abióticos están más relacionados con los agentes atmosféricos, como el viento, el sol, el agua... Todos ellos tienen la capacidad de reducir y eliminar cualquier rastro de huesos (Lyman, 1994a; Yravedra, 2006).

Las marcas de carnívoros se producen por el consumo de carne y mordisqueo de los huesos. Se pueden clasificar en *pits*, que son pequeñas depresiones fruto de la impronta del diente, marcas de arrastre o *scores*, puntuaciones cuando se atraviesa el tejido y mordisqueos (Yravedra, 2006). Las marcas de roedores sobre los huesos son el resultado de la necesidad de limar sus dientes

en continuo crecimiento. Estas con anchas y cortas con estrías paralelas. Las vermiculaciones o marcas de raíces se evidencian en ramificaciones sobre la superficie. Los hongos dejan pequeñas cuencas que se superponen.

Por otro lado, como marcas abióticas nos hemos centrado en disolución, abrasión/pulido, concreciones y presiones. La presión y la abrasión actúan de forma física sobre la superficie del hueso. La presión pueden ser fruto del peso del sedimento que a su vez puede estar pisoteado por seres humanos. La disolución es la reacción química con el agua y la concreción sobre capas de materiales que se adhieren al hueso en parte por la acción del agua (Lyman, 1994a) (Olsen y Shipman, 1988).

#### Unidades de Cuantificación

El análisis cuantitativo es fundamental para poder interpretar bien los datos. De acuerdo a los objetivos marcados podemos utilizar una serie de unidades y relaciones u otras. Entre las unidades más comunes y que son empleadas en este trabajo están el Número de Restos (NR), el Number of Identified Specimens (NISP), el Número Mínimo de Elementos (NME) y el Número Mínimo de Individuos (NMI).

El NR cuantifica los restos individualmente sin aportar mayor información. Incluso puede dar resultados abultados cuando la fragmentación es muy grande (Grayson, 1984). En contraposición el NISP también cuantifica, pero tiene en cuenta especies, tallas... (Marín-Arroyo, 2010). El NME (Número Mínimo de Elementos) cuantifica elementos esqueléticos en base a un número mínimo, teniendo en cuenta aquellos que estén completos o los que conformen varios fragmentos para un mismo individuo, por lo que se tiene en cuenta sexo, edad, talla y se salva el fragmentado (Lyman, 1994b). El paso siguiente es obtener el NMI (Número Mínimo de Individuos) ateniendo a las unidades anteriores, donde se tiene en cuenta talla, lateralidad, especie, sexo, edad, eliminando los errores producidos por el NR (Lyman, 2008).

Aunque existan otras unidades de cuantificación y análisis como la tasa de fragmentación, que relaciona NISP con NME, no se ha visto necesario su empleo en este caso por las características de los yacimientos (Marín-Arroyo, 2010).

Base de Datos.

Finalmente, con todo lo descrito anteriormente se genera una base de datos empleando el programa de recogida que más satisfaga nuestras necesidades. Se busca recoger la información de la manera más estandarizada posible mediante el uso de los códigos ya mencionados.

La tabla, sus variables y códigos y una breve explicación de los mismos, es la siguiente:

<b>VARIABLE</b>	<b>CÓDIGO</b>	<b>EXPLICACIÓN DE CÓDIGO</b>
<i>YACIMIENTO</i>	LAS ORQUÍDEAS / LLANO CHICO	Nombre del yacimiento estudiado
<i>DEPÓSITO</i>	1, 2, 3 ...	Depósito asociado a la excavación.
<i>UNIDAD</i>	1, 2, ...	Unidades de la excavación.
<i>METRO</i>	1,2,3,4	Metros que dividen a la unidad.
<i>PROCEDENCIA</i>	1,2...	
<i>RASGO</i>	1,2...	
<i>NIVEL</i>	1,2...	Nivel de la excavación
<i>IDENTIFICACIÓN EN LA EXCAVACIÓN</i>	H. RECO/ H. NO RECO	Primera identificación realizada por el excavador del material faunístico
<i>NR</i>		Número de restos
<i>NÚMERO DE REGISTRO</i>		Número de registro de la excavación
<i>DETERMINACIÓN</i>	Identificable/No Identificable	Definición de los restos en relación a la información que pueden aportar
<i>TAMAÑO FRAGMENTO</i>		Tamaño del fragmento estudiado medido en cm
<i>COLORACIÓN</i>	Blanco, Marrón Claro, Marrón, Marrón Oscuro, Negro	Color del resto
<i>ESPECIE</i>	ODVI...	Nombre de la especie abreviado en cuatro siglas correspondientes a las dos primeras letras de la especie y la subespecie
<i>TALLA</i>	MG, MM, MP, M MP ...	Rango de tamaño de la especie analizada: mamífero grande (MG),



		mamífero medio (MM), mamífero pequeño (MP) y mamífero muy pequeño (MMP)
<i>GRUPO ANATÓMICO</i>	CR, AX, EP, EA, EX, IND	Grupo anatómico del resto analizado: craneal (CR), axial (AX), extremidad posterior (EP), extremidad anterior (EA), extremidad (EX), indeterminado (IND)
<i>ELEMENTO</i>	Listado en Anexo	Elemento anatómico del resto estudiado
<i>LATERALIDAD</i>	IZQ, DER, CEN, IND	Lateralidad del resto respecto al eje de simetría del cuerpo: izquierdo (IZQ), derecho (DER), central (CEN), indeterminado (IND)
<i>PARTE ELEMENTO</i>	Listado en Anexo	Partes diagnósticas de los elementos esqueléticos.
<i>SEXO</i>	M,H,IND	Sexo de los taxones: macho (M), hembra (H), indeterminado (I)
<i>FUSIONES</i>	SF,PF,F	Estado de fusión de las epífisis: sin fusionar (SF), proceso de fusión (PF), fusionando (F)
<i>DESGASTE DENTAL</i>	SD,LG,G,MG,EG,E,SE,GE	Estado de desgaste dentario: sin desgaste (SD), ligeramente gastado (LG), gastado (G), muy gastado (MG), extremadamente gastado (EG), erupcionando (E), sin erupcionar (SE), germen (GE)
<i>EDAD CUALITATIVA</i>	FET, INF, JUV, SUB, ADU, SEN, IND	Rango de edad asignado a los taxones: fetal (FET), infantil (INF), juvenil (JUV), adulto (ADU), senil (SEN), indeterminado (IND)
<i>PRESENCIA</i>	1,2,3,4	Volumen del elemento: completo (1), casi completo (2), algo menos de la mitad (3), ínfimo (4)
<i>MODIFICACIÓN ANTRÓPICA</i>	SI/NO	Existencia de modificación antrópica
<i>FRACTURA ANTRÓPICA</i>	SI/NO	Existencia de fractura antrópica

<i>PUNTOS IMPACTO</i>	SI/NO	
<i>TRAZAS DE CORTE</i>	SI/NO	Presencia de marcas de corte
<i>TERMOALTERACIÓN</i>	M, N, MN, NB, G, B	Coloración según la intensidad de la termoalteración: marrón (M), negro (N), marrón-negro (MN), negro-blanco (NB), gris (G), blanco (B)
<i>MODIFICACIÓN NATURAL</i>	SI/NO	Presencia de modificaciones naturales
<i>DISOLUCIÓN</i>	SI/NO	Presencia de disolución
<i>ABRASIÓN/PULIDO</i>	SI/NO	Presencia de abrasión/pulido
<i>VERMICULACIONES</i>	SI/NO	Presencia de raíces
<i>CARNÍVOROS</i>	SI/NO	Presencia de acción de carnívoros
<i>ROEDORES</i>	SI/NO	Presencia de actividad de roedores
<i>INVERTEBRADOS</i>	SI/NO	Presencia de actividad de invertebrados
<i>CONCRECIÓN</i>	0,1,2,3	Presencia de concreción y diferentes niveles de afectación
<i>PRESIÓN</i>	SI/NO	Presencia del efecto de la presión del sedimento sobre el resto
<i>HONGOS</i>	SI/NO	Actividad de hongos
<i>OBSERVACIONES</i>		Observaciones que complementan la información aportada en la base de datos

Tabla. Base de datos empleada.

Resultados del Análisis Arqueozoológico de Las Orquídeas.

El yacimiento de Las Orquídeas se divide estratigráficamente en cuatro fases de las que se ha analizado una muestra significativa.

La fase I es la más profunda y cuenta con menor número de restos. Se ha identificado la presencia de un venado, así como de 2 posibles individuos definidos como mamíferos de talla media que igualmente podrían ser venados.

Especie	NISP	NME	NMI
<i>Odocoileus virginianus</i>	3	2	1
Mamífero Medio	13	11	2

Tabla. Análisis cuantitativo de los restos de la Fase 1.

El venado está representando por elementos craneales y axiales, evidenciado el traslado del espécimen completo al yacimiento. De los mamíferos tallados se presentan elementos de las extremidades.

Especie	NISP	CR	AX	EA	EP	EX	IND
<i>Odocoileus virginianus</i>	3	2	1				
Mamífero Medio	13					11	2

Tabla. Distribución anatómica de los restos de la Fase 1.

Se ha podido definir que el venado es un adulto que ha sufrido la acción de un fuego muy intenso alcanzando el color blanco, al igual que los restos de mamífero medio. Estas temperaturas solo se alcanzan bajo condiciones controladas y ya destruyen la estructura ósea del hueso.

Especie	NMI	AD	SUB	JUV	INF	NEO	IND
<i>Odocoileus virginianus</i>	1	1					
Mamífero Medio	2						2

Tabla. Edades relativas de los restos de la Fase 1.

Especie	NISP	Fracturas	Termoalteración	Pulido	Cortes	Impactos
<i>Odocoileus virginianus</i>	3		2 (B)			
Mamífero Medio	13		11 (M) 2 (B)			

Tabla. Alteraciones antrópicas de los restos de la Fase 1.



Imagen. Restos óseos que han alcanzado el color blanco.

En cuanto a las alteraciones naturales se presentan marcas por raíces.

Especie	NISP	Disolución	Abrasión	Carnívoros	Vermiculaciones	Concreción	Presión
<i>Odocoileus virginianus</i>	1				1		

Tabla. Alteraciones naturales de los restos de la Fase 1.

En la Fase II predomina la explotación del venado y animales de talla similar. Siendo los que mayor aporte energético proporcionan.

Especie	NISP	NME	NMI
<i>Odocoileus virginianus</i>	78	43	8
<i>Pudu mephistophelis</i>	1	1	1
Lama glama	1	1	1
<i>Cavia Porcellus</i>	16	13	4
<i>Sylvilagus brasiliensis</i>	7	6	4
Rodentia	15	11	5
Felidae			
Carnívoro pequeño			
Ave media	1	1	1
Ave p.	1	1	1
Reptil			
Mamífero Medio	190	25	6
Mamífero pequeño	17	8	2
Mamífero muy pequeño	3	1	1
	NR		
Indeterminado	330		

Tabla. Análisis cuantitativo de los restos de la Fase 2.



Imagen. Mandíbula de venado de cola blanca presente en el nivel 9, rasgo 6 de la unidad 49.

Tanto el venado como los especímenes de talla media se encuentran completamente representados en toda su anatomía, por lo que los animales son trasladados al lugar para su completa explotación.

Especie	NISP	CR	AX	EA	EP	EX	IND
<i>Odocoileus virginianus</i>	78	7	40	8	5	18	
<i>Pudu mephistophelis</i>	1					1	
<i>Lama glama</i>	1			1			
<i>Cavia Porcellus</i>	16		5	2		9	
<i>Sylvilagus brasiliensis</i>							
<i>Rodentia</i>	15	2	5	3	5		
<i>Felidae</i>							
Carnívoro pequeño							
Ave media	1			1			
Ave p.	1			1			
Mamífero Medio	190	8	11			6	165
Mamífero pequeño	17		16		1		
Mamífero muy pequeño	3						3
Reptil							
	NR						
Indeterminado	330						

Tabla. Distribución anatómica de los restos de la Fase 2.

No parece haber una selección específica de especímenes adultos, puesto que han aparecido numerosos restos de juveniles.

Especie	NMI	AD	SUB	JUV	INF	NEO	IND
<i>Odocoileus virginianus</i>	8	3	2	3			
<i>Pudu mephistophilis</i>	1			1			
<i>Lama glama</i>	1	1					
<i>Cavia Porcellus</i>	3	2					1
<i>Sylvilagus brasiliensis</i>	4	4					
Rodentia	5	3					2
Felidae							
Carnívoro pequeño							
Ave media	1						1
Ave p.	1						1
Mamífero Medio							
Mamífero pequeño	2				1		1
Reptil							

Tabla. Edades relativas de los restos de la Fase 2.

Igualmente, las principales alteraciones antrópicas se da sobre estas especies, ya sea modo de fracturas o quemados.

Especie	NISP	Fracturas	Termoalteración	Pulido	Cortes	Impactos
<i>Odocoileus virginianus</i>	78	4	30 (M) 1 (N)			
<i>Pudu mephistophilis</i>	1					
<i>Lama glama</i>	1	1	1 (B)		1	
<i>Sylvilagus brasiliensis</i>	7		3 (M)			
<i>Cavia Porcellus</i>	16		2 (M)			
Rodentia	15	3	1 (M)			
Carnívoro p.						
Mamífero Medio	190	35	1 (B) 8 (G) 113 (M)			
Mamífero pequeño	17		3 (M) 1 (B)			
Ave m.	1	1				



Ave p.						
Indeterminado						

Tabla. Alteraciones antrópicas de los restos de la Fase 2.

Especie	NISP	Disolución	Abrasión	Carnívoros	Vermiculaciones	Concreción	Presión
<i>Odocoileus virginianus</i>	78				1		
<i>Pudu mephistophelis</i>							
<i>Cavia Porcellus</i>							
Rodentia							
Felidae							
Carnívoro p.							
Ave m.							
Mamífero medio							
Mamífero pequeño							
Indeterminado							

Tabla. Alteraciones naturales de los restos de la Fase 2.

En la Fase III se produce una disminución notable de la presencia de venados y de animales de semejantes características frente a lagomorfos y roedores.

Especie	NISP	NME	NMI
<i>Odocoileus virginianus</i>	32	28	4
<i>Pudu mephistophelis</i>			
<i>Cavia Porcellus</i>	10	9	4
<i>Sylvilagus brasiliensis</i>	11	7	4
Rodentia	44	19	7
Felidae			
Carnívoro pequeño			
Ave media			
Ave p.			
Reptil			
Mamífero Medio	66	23	4

Mamífero pequeño	51	10	3
Mamífero muy pequeño	4	4	1
	NR		
Indeterminado	217		

Tabla. Análisis cuantitativo de los restos de la Fase III.

Pese a ello, la representación anatómica continua sin ser selectiva.

Especie	NISP	CR	AX	EA	EP	EX	IND
<i>Odocoileus virginianus</i>	32	2	17	1		12	
<i>Pudu mephistophelis</i>							
<i>Cavia Porcellus</i>	10	8		2			
<i>Sylvilagus brasiliensis</i>	11			2	9		
<i>Rodentia</i>	44	1	14	8	6	9	
<i>Rodentia mmp.</i>							
<i>Felidae</i>							
Carnívoro pequeño							
Ave media							
Ave p.							
Mamífero Medio	66		2				64
Mamífero pequeño	51						51
Mamífero muy pequeño	4		4				
Reptil							
	NR						
Indeterminado	217		6				211

Tabla. Distribución anatómica de los restos de la Fase III.

Dada la fuerte alteración de los restos, no se han podido definir edades.

Especie	NMI	AD	SUB	JUV	INF	NEO	IND
<i>Odocoileus virginianus</i>	4						4
<i>Pudu mephistophelis</i>							
<i>Cavia Porcellus</i>	4						4
<i>Sylvilagus brasiliensis</i>	7						7
<i>Rodentia</i>	7						7

<i>Rodentia p.</i>							
<i>Felidae</i>							
Carnívoro pequeño							
Ave media							
Ave p.							
Mamífero Medio	4						4
Mamífero pequeño	51						51
Mamífero muy pequeño	4						4
Reptil							

Tabla. Edades relativas de los restos restos de la Fase III.

Es muy destacable la gran cantidad de termoalteraciones que se dan esta fase, alterando totalmente el registro fáunico frente a lo observado en otras fases.

Especie	NISP	Fracturas	Termoalteración	Pulido	Cortes	Impactos	Pulido
<i>Odocoileus virginianus</i>	32	8	1 (G) 4 (M) 10 (M)				
<i>Pudu mephistophelis</i>							
<i>Sylvilagus brasiliensis</i>	11		9(N) 2 (M)				11
<i>Cavia Porcellus</i>	10		2 (N)				
<i>Rodentia</i>	44	6	13 (N)				
Carnívoro p.							
Mamífero Medio	66	6	6 (G) 13 (M) 24 (N)				
Mamífero pequeño	51		51 (N)				
Mamífero muy pequeño	4						
Ave m.							
Ave p.							
	NR						
Indeterminado	217	4	14 (G) 92 (M) (98) N	1			

Tabla. Alteraciones antrópicas de los restos de la Fase III.

Especie	NISP	Disolución	Abrasión	Carnívoros	Vermiculaciones	Concreción	Presión
<i>Odocoileus virginianus</i>	32	1					

<i>Pudu mephistophelis</i>							
<i>Cavia Porcellus</i>	10						
<i>Sylvilagus brasiliensis</i>	11						
<i>Rodentia</i>	44					1	
<i>Felidae</i>							
Carnívoro p.							
Ave m.							
Mamífero medio	66						
Mamífero pequeño							
	NR						
Indeterminado	217						

Tabla. Alteraciones naturales de los restos de la Fase III.



Imagen. Evidencias de concreción sobre un resto óseo de esta fase.

En la Fase IV se recobra cierta normalidad en cuanto a la distribución de especies.

Especie	NISP	NME	NMI
<i>Odocoileus virginianus</i>	7	7	2
<i>Pudu mephistophelis</i>			
<i>Cavia Porcellus</i>	1	1	1
<i>Sylvilagus brasiliensis</i>			
Rodentia	30	24	3
Rodentia mp.			
Felidae			
Carnívoro pequeño			
Ave media			
Ave p.			
Reptil			
Mamífero Medio	18	10	2
Mamífero pequeño	1	1	1
Mamífero muy pequeño	17	8	1
	NR		
Indeterminado	45		

Tabla. Análisis cuantitativo de los restos de la Fase IV.

El venado y similares siguen aportando la mayor cantidad de energía al lugar.

Especie	NISP	CR	AX	EA	EP	EX	IND
<i>Odocoileus virginianus</i>	7			4		3	
<i>Pudu mephistophelis</i>							
<i>Cavia Porcellus</i>	1	1					
<i>Sylvilagus brasiliensis</i>							
Rodentia	30	1	1		2	26	
Rodentia mmp.							
Felidae							
Carnívoro pequeño							
Ave media							
Ave p.							
Mamífero Medio	18		2			6	10

Mamífero pequeño	1		1				
Mamífero muy pequeño	17						17
Reptil							
	NR						
Indeterminado	45						

Tabla. Distribución anatómica de los restos de la Fase IV.

Se observa la presencia de individuos adultos entre los venados.

Especie	NMI	AD	SUB	JUV	INF	NEO	IND
<i>Odocoileus virginianus</i>	2	1	1				
<i>Pudu mephistophelis</i>							
<i>Cavia Porcellus</i>							
<i>Sylvilagus brasiliensis</i>	1						1
Rodentia	3						3
Rodentia p.							
Felidae							
Carnívoro pequeño							
Ave media							
Ave p.							
Mamífero Medio	2						2
Mamífero pequeño	1						1
Mamífero muy pequeño	1						1
Reptil							

Tabla. Edades relativas de los restos de la Fase IV.

Siendo estos los más afectados a nivel entrópico junto a los roedores.

Especie	NISP	Fracturas	Termoalteración	Pulido	Cortes	Impactos
<i>Odocoileus virginianus</i>	7	7	1 (N)			
<i>Pudu mephistophelis</i>						
<i>Sylvilagus brasiliensis</i>						
<i>Cavia Porcellus</i>						
Rodentia	30		19 (N) 1 (G)			



Carnívoro p.						
Mamífero Medio	18		1 (G) 2 (M) 13 (N)		1	
Mamífero pequeño	1	1				
Mamífero muy pequeño						
Ave m.						
Ave p.						
	NR					
Indeterminado	45					

Tabla. Alteraciones antrópicas de los restos de la Fase IV.



Imagen. Húmero con evidencias de fracturación antrópica.

Cabe mencionar que en determinados restos se han observado concreciones, posiblemente fruto de la ceniza en el lugar.

Especie	NISP	Disolución	Abrasión	Carnívoros	Vermiculaciones	Concreción	Presión
<i>Odocoileus virginianus</i>	7	1					1
<i>Pudu mephistophelis</i>							
<i>Cavia Porcellus</i>							
<i>Rodentia</i>	30					8	
<i>Felidae</i>							
Carnívoro p.							

Ave m.							
Mamífero medio	18						
Mamífero pequeño							
Mamífero muy pequeño							
	NR						
Indeterminado	45						

Tabla. Alteraciones naturales de los restos de la Fase IV.

Estrategias de Subsistencias en Las Orquídeas durante el Formativo Tardío.

Las Orquídeas es un yacimiento correspondiente al periodo Formativo Tardío ubicado en la sierra norte del Ecuador, cercano a la población de San Antonio de Ibarra. Su estratigrafía se caracteriza por estar conformada por cuatro eventos denominados fases que son corroborables a través de la cronología estratigráfica y que refleja la clasificación cerámica (Montalvo 2016; Dyrdaahl 2017; Dyrdaahl et al. 2017; Dyrdaahl y Montalvo 2021; Dyrdaahl 2022; Ugalde y Dyrdaahl 2021).

En cuanto a los resultados del análisis faunístico de los restos, las fases I, II y IV se comportan de una manera muy similar, donde el venado de cola blanca y especímenes de talla semejante es el principalmente elemento de consumo, siendo representado en todos sus elementos anatómicos, por lo que la explotación es máxima. No sólo se trataría de consumo, sino también elaboración de artefactos y diversidad útiles, para uso propio intercambio. No existe una predilección clara por las edades de caza del venado, apareciendo en el registro individuos juveniles y puede que infantiles, al igual que subadultos y adultos.

Las alteraciones antrópicas como fracturas y quemados, inciden profusamente sobre esta especie, aunque en otras presentes en el yacimiento como conejo, cuy y diversos roedores también son elementos de consumo y alteración.

Por otro lado, la fase III difiere de lo observado en las otras. Se produce una disminución muy notoria de la presencia de venados en el yacimiento, cogiendo fuerza la presencia de conejo, cuyes y diversos roedores. Por el momento no se puede expresar una causa clara, pero el aumento de alteraciones térmicas, alcanzando grandes temperaturas, guarda una relación directa con lo acontecido.

## Resultado del Análisis Arqueozoológico en Llano Chico.

Se ha analizado un total de 3385 restos fúnicos correspondientes a los Cortes 1, 2 y 3 y a los Cateos 4, 6, 7-9, 12 y 13, de los cuales se ha podido identificar a nivel de especie, orden o tamaño a un total de 1659 restos (NISP). Como se puede apreciar a continuación, los datos expuestos se dividen por cortes y cateos, y dentro de los mismos, en orden numeral el análisis de las procedencias asociadas a los diferentes depósitos, así como de los rasgos como sus diferentes procedencias asociadas.

Se han generado diferentes tablas de cuantificación, distribución de grupos anatómicos, edades, sexo, alteraciones de carácter antrópico y natural, que permiten una mejor comprensión de los datos extraídos de la muestra.

### Corte 1 (NR 19)

El Corte 1 ubicado en la calle Feliciano Checa no arrojó una gran cantidad de restos fúnicos, además se pudo apreciar durante la excavación un alto grado de alteración del suelo por acciones modernas. Aquí se muestran los restos hallados tanto en la Procedencia 1, asociada al primer depósito, como del Rasgo 3, Procedencia 5.

### Depósito 1

#### Procedencia 1 (Niveles 1,2,3): NR 18

Especie	NISP	NME	NMI
Mamífero Grande	9	2	1
Mamífero Medio	5	1	1
Mamífero Pequeño	1	1	1
	NR		
Indeterminado	3		

Tabla. Análisis cuantitativo de los restos de la Procedencia 1 del Corte 1.

Especie	NISP	CR	AX	EA	EP	EX	IND
Mamífero Grande	9				4	3	2
Mamífero Medio	5						5
Mamífero Pequeño	1					1	
	NR						
Indeterminado	3						3

Tabla. Distribución anatómica de los restos de la Procedencia 1 del Corte 1.

Especie	NMI	INF	IND
Mamífero Grande	1		1
Mamífero Medio	1		1
Mamífero Pequeño	1	1	

Tabla. Edades relativas de los restos de la Procedencia 1 del Corte 1.

Especie	NISP	Fracturas	Cortes
Mamífero Grande	9	7	7
	NR		
Indeterminado	3	1	

Tabla. Alteraciones antrópicas de los restos de la Procedencia 1 del Corte 1.

Especie	NISP	Disolución	Vermiculación	Presión
Mamífero Grande	9	6	4	2
Mamífero Medio	5	5		5

Tabla. Alteraciones naturales de los restos de la Procedencia 1 del Corte 1.

La Procedencia 1 está presente en los tres primeros niveles excavados. En ella se han encontrado en la extensión de todas las unidades un total de 18 restos de los cuales, 9 pertenecen a mamífero grandes, 5 a medio, 1 a pequeño y 3 indeterminados, asociados a tres individuos uno de cada porte.

En cuanto a los grupos anatómicos que se han podido identificar los restos corresponden principalmente a elementos de las extremidades, apreciando a través de las fusiones de las epífisis que al menos existe un individuo infantil entre los mamíferos de pequeña talla, sin que haya sido posible identificar el sexo en ninguno de ellos.

Las alteraciones de carácter antrópico evidencian acciones modernas sobre los restos de mamífero grande, posiblemente *Bos Taurus*, mediante fracturas y cortes. Igualmente se cuantifica una fractura en uno de los restos indeterminados, no apreciándose ninguna alteración en lo concerniente a mamíferos de talla media y pequeña.

Las alteraciones de naturales presentes evidencian la acción del agua y el crecimiento de raíces, así como una fuerte presión sufrida por los huesos.



Rasgos:

Rasgo 3 Procedencia 5 (Nivel 5): NR 1

Especie	NISP	NME	NMI
Mamífero Medio	1	1	1

Tabla. Análisis cuantitativo de los restos del Rasgo 3 de la Procedencia 5 del Corte 1.

Solo se evidencia la presencia de un resto correspondiente a mamífero medio sin alteraciones de carácter antrópico o natural.

Corte 2 (NR 489)

El Corte 2, ubicado al norte del terreno del señor Víctor Morales, presenta varios pozos con abundancia de material.

Depósito 1

Procedencia 2 (Nivel 2): NR 4

Especie	NISP	NME	NMI
<i>Odocoileus virginianus</i>	1	1	1
Mamífero Medio	2	1	1
	NR		
Indeterminado	1		

Tabla. Análisis cuantitativo de los restos de la Procedencia 2 del Corte 2.

Especie	NISP	CR	AX	EA	EP	EX	IND
<i>Odocoileus virginianus</i>	1					1	
Mamífero Medio	2	1					1
	NR						
Indeterminado	1						1

Tabla. Distribución anatómica de los restos de la Procedencia 2 del Corte 2.

Especie	NISP	Fracturas	Termoalteración
<i>Odocoileus virginianus</i>	1		
Mamífero Medio	2	1	1 (NB)
	NR		
Indeterminado	1	1	

Tabla. Alteraciones antrópicas de los restos de la Procedencia 2 del Corte 2.

La Procedencia 2, asociada con el primer depósito, contiene restos de venado y mamífero medio, así como de elemento indeterminados, con presencia de cráneo y extremidades. Aunque no se ha podido estimar edades o sexo, entre las alteraciones antrópicas se presentan fracturas y quemados de alta intensidad.

Depósito 2

Procedencia 3 (Nivel 3): NR 149

Especie	NISP	NME	NMI
<i>Odocoileus virginianus</i>	5	5	1
<i>Rodentia</i>	4	4	1
Mamífero Medio	7	2	1
	NR		
Indeterminado	133		

Tabla. Análisis cuantitativo de los restos de la Procedencia 3 del Corte 2.

Especie	NISP	CR	AX	EA	EP	EX	IND
<i>Odocoileus virginianus</i>	5	1		1	1	2	
<i>Rodentia</i>	4			2	2		
Mamífero Medio	7	1				5	1
	NR						
Indeterminado	133					3	130

Tabla. Distribución anatómica de los restos de la Procedencia 3 del Corte 2.

Especie	NMI	AD	SUB	JUV	INF	NEO	IND
<i>Odocoileus virginianus</i>	1	1					
<i>Rodentia</i>	1				1		
Mamífero Medio	1						1

Tabla. Edades relativas de los restos de la Procedencia 3 del Corte 2.

Sexo: 1 macho identificado por la presencia de un resto de asta.

Especie	NISP	Fracturas	Termoalteración
<i>Odocoileus virginianus</i>	5	2	
Mamífero Medio	7	6	
	NR		
Indeterminado	133	4	4 (M), 1 (MN), 1 (N)

Tabla. Alteraciones antrópicas de los restos de la Procedencia 3 del Corte 2.

Especie	NISP	Disolución	Abrasión	Carnívoros
<i>Odocoileus virginianus</i>	5			1
	NR			
Indeterminado	133	1	1	

Tabla. Alteraciones naturales de los restos de la Procedencia 3 del Corte 2.



Imagen. Efectos de la acción del agua sobre un hueso.



Imagen. Asta de venado con mordisqueo.

La Procedencia 3 contiene un total de 149 restos en su mayoría indeterminados, pero con presencia de un venado, un roedor, y siete restos asociados a mamífero de porte medio. Mientras que de roedor se aprecian restos de las extremidades, los restos de venado representan también a elementos craneales.

Las edades se asocian con un venado adulto, un roedor infantil y los restos de mamífero medio no han podido estimarse.

Están presentes fracturas en el venado, el mamífero de talla media y los indeterminados, y estos últimos han sido termoalterados. En cuanto a las modificaciones de carácter natural se aprecia mordisqueo por carnívoros en el venado, así como efectos de la acción del agua en los indeterminados.

Depósito 3

Procedencia 4 (Nivel 4): NR 40

Especie	NISP	NME	NMI
Mamífero Medio	8	2	1
	NR		
Indeterminado	32		

Tabla. Análisis cuantitativo de los restos de la Procedencia 4 del Corte 2.

Especie	NISP	CR	AX	EA	EP	EX	IND
Mamífero Medio	8		1			7	
	NR						
Indeterminado	32						

Tabla. Distribución anatómica de los restos de la Procedencia 4 del Corte 2.

Especie	NISP	Fracturas
Mamífero Medio	8	7
	NR	
Indeterminado	32	21

Tabla. Alteraciones antrópicas de los restos de la Procedencia 4 del Corte 2.

La Procedencia 4 posee un total de 40 restos de los cuales 32 pertenecen a restos indeterminados y 8 a un individuo de mamífero medio. Están fracturados en su mayoría.

Procedencia 11 (Niveles 5,6): NR 12

Especie	NISP	NME	NMI
<i>Odocoileus virginianus</i>	3	2	1
<i>Rodentia</i>	1	1	1
	NR		
Indeterminado	8		

Tabla. Análisis cuantitativo de los restos de la Procedencia 11 del Corte 2.

Especie	NISP	CR	AX	EA	EP	EX	IND
<i>Odocoileus virginianus</i>	3					3	
<i>Rodentia</i>	1				1		
	NR						
Indeterminado	8						

Tabla. Distribución anatómica de los restos de la Procedencia 11 del Corte 2.

Especie	NMI	SUB
<i>Odocoileus virginianus</i>	1	1
<i>Rodentia</i>	1	1

Tabla. Edades relativas de los restos de la Procedencia 11 del Corte 2.

Especie	NISP	Fracturas
<i>Rodentia</i>	1	1

Tabla. Alteraciones antrópicas de los restos de la Procedencia 11 del Corte 2.

En la Procedencia 11 se registran 12 restos entre venado, roedores e indeterminados, con un individuo subadulto representado en cada grupo. Solo un resto de roedor está fracturado.

Procedencia 15 (Nivel 5): NR 17

Especie	NISP	NME	NMI
Mamífero Medio	2	2	1
	NR		
Indeterminado	15		

Tabla. Análisis cuantitativo de los restos de la Procedencia 15 del Corte 2.

Especie	NISP	CR	AX	EA	EP	EX	IND
Mamífero Medio	2			1	1		
	NR						
Indeterminado	15						

Tabla. Distribución anatómica de los restos de la Procedencia 15 del Corte 2.



Especie	NMI	JUV
Mamífero Medio	1	1

Tabla. Edades relativas de los restos de la Procedencia 15 del Corte 2.

Especie	NISP	Fracturas
Mamífero Medio	2	2

Tabla. Alteraciones antrópicas de los restos de la Procedencia 15 del Corte 2.

17 restos se han hallado en la Procedencia 15, de los cuales solo 2 han podido asignarse a un individuo juvenil de mamífero medio y sus extremidades que se encuentran fracturadas.

Procedencia 17 (Nivel 6): NR 38

Especie	NISP	NME	NMI
<i>Odocoileus virginianus</i>	22	2	1
Carnívoros	2	2	1
Mamífero Pequeño	4	1	1
	NR		
Indeterminado	12		

Tabla. Análisis cuantitativo de los restos de la Procedencia 17 del Corte 2.

Especie	NISP	CR	AX	EA	EP	EX	IND
<i>Odocoileus virginianus</i>	22				21	1	
Carnívoros	2	2					
Mamífero Pequeño	4					4	
	NR						
Indeterminado	12						12

Tabla. Distribución anatómica de los restos de la Procedencia 17 del Corte 2.

Especie	NMI	INF	IND
<i>Odocoileus virginianus</i>	1	1	
Carnívoros	1		1
Mamífero Pequeño	1		1

Tabla. Edades relativas de los restos de la Procedencia 17 del Corte 2.

Especie	NISP	Fracturas
Mamífero Pequeño	4	4

Tabla. Alteraciones antrópicas de los restos de la Procedencia 17 del Corte 2.

La Procedencia 17 cuenta con 38 restos asociados principalmente a venado, junto con 2 restos de carnívoros y 4 de mamíferos pequeño. Se trataría de un individuo de cada grupo además de 12 restos indeterminados. Los restos de carnívoro se corresponden con elementos craneales, mientras que son extremidades los restos identificados para un venado infantil y mamífero pequeño, en este último caso fracturados

#### Rasgos del Corte 2

Rasgo 5, Procedencia 7 (Nivel 3): NR 38

Especie	NISP	NME	NMI
Carnívoros	2	2	1
	NR		
IND	36		

Tabla. Análisis cuantitativo de los restos del Rasgo 5 de la Procedencia 7 del Corte 2.

Especie	NISP	CR	AX	EA	EP	EX	IND
Carnívoros	2	2					

Tabla. Distribución anatómica de los restos del Rasgo 5 de la Procedencia 7 del Corte 2.

Especie	NMI	INF	IND
Carnívoros	1		1

Tabla. Edades relativas de los restos del Rasgo 5 de la Procedencia 7 del Corte 2.

En el Rasgo 5, Procedencia 7 se cuantifican 38 restos de los cuales solo 2 se pueden asociar a elementos craneales de carnívoros.

Rasgo 6, Procedencia 5 (Niveles 3,4): NR 13

Especie	NISP	NME	NMI
<i>Rodentia</i>	7	2	1
Carnívoro pequeño	5	2	1
Mamífero Medio	1	1	1

Tabla. Análisis cuantitativo de los restos del Rasgo 6 de la Procedencia 5 del Corte 2.

Especie	NISP	CR	AX	EA	EP	EX	IND
<i>Rodentia</i>	7	2			5		
Carnívoro pequeño	5	5					
Mamífero Medio	1						1

Tabla. Distribución anatómica de los restos del Rasgo 6 de la Procedencia 5 del Corte 2.

En el Rasgo 6, Procedencia 5 se han hallado 13 restos, principalmente de roedor (7), carnívoro pequeño (5) y uno de mamífero pequeño, asociados al cráneo y en el caso del roedor a extremidades posteriores igualmente.

Rasgo 7, Procedencia 8 (Nivel 4): NR 11

Especie	NISP	NME	NMI
Mamífero Medio	10	1	1
	NR		
Indeterminado	1		

Tabla. Análisis cuantitativo de los restos del Rasgo 7 de la Procedencia 8 del Corte 2.

Especie	NISP	CR	AX	EA	EP	EX	IND
Mamífero Medio	10				1		9
	NR						
Indeterminado	1						1

Tabla. Distribución anatómica de los restos del Rasgo 7 de la Procedencia 8 del Corte 2.

Especie	NISP	Fracturas
Mamífero Medio	10	1

Tabla. Alteraciones antrópicas de los restos del Rasgo 7 de la Procedencia 8 del Corte 2.

11 restos pertenecen al Rasgo 7, Procedencia 8, de los cuales 10 se relacionan con mamífero de talla media, en total un individuo con al menos uno de los restos perteneciente a las extremidades posteriores encontrándose fracturado.

Rasgo 8, Procedencia 9 (Niveles 4,5,6,7): NR 80

Especie	NISP	NME	NMI
<i>Odocoileus virginianus</i>	15	9	2
<i>Rodentia</i>	13	13	5
Ave media	2	2	1
Mamífero medio	26	12	1
Mamífero pequeño	2	2	1
	NR		
Indeterminado	22		

Tabla. Análisis cuantitativo de los restos del Rasgo 8 de la Procedencia 9 del Corte 2.

Especie	NISP	CR	AX	EA	EP	EX	IND
<i>Odocoileus virginianus</i>	15	12				3	
<i>Rodentia</i>	13	10	2	1			
Ave media	2	2					
Mamífero medio	26				1	25	
Mamífero pequeño	2					2	
	NR						
Indeterminado	22					3	19

Tabla. Distribución anatómica de los restos del Rasgo 8 de la Procedencia 9 del Corte 2.

Especie	NMI	AD	JUV	IND
<i>Odocoileus virginianus</i>	2	1	1	
<i>Rodentia</i>	5	2		3

Tabla. Edades relativas de los restos del Rasgo 8 de la Procedencia 9 del Corte 2.

Sexo: 7 restos de asta de venado correspondientes a machos.

Especie	NISP	Fracturas	Pulido	Termoalteración
<i>Odocoileus virginianus</i>	15		1	
Mamífero medio	26	25		1(M), 1 (B)
Mamífero pequeño	2	2		
	NR			
Indeterminado	22	3		

Tabla. Alteraciones antrópicas de los restos del Rasgo 8 de la Procedencia 9 del Corte 2.

Especie	NISP	Disolución	Abrasión	Vermiculación
Mamífero medio	26	9		1
Mamífero pequeño	2	2		
	NR			
Indeterminado	22	3	3	

Tabla. Alteraciones naturales de los restos del Rasgo 8 de la Procedencia 9 del Corte 2.

En el Rasgo 8, Procedencia 9, se han encontrado 80 restos. 15 pertenecen a 2 individuos de venado (un adulto y un juvenil), 13 a roedores a 5 roedores entre los cuales 2 adultos, y el resto se divide entre aves de talla media, mamíferos medios y pequeños e indeterminados. Se han identificado 7 restos de asta de venado que dan información sobre el sexo de esta especie, con uno de ellos pulido.

Las demás alteraciones antrópicas se corresponden con fracturas principalmente en los mamíferos medios y pequeños, así como 3 restos indeterminados. Solo dos quemados en la talla media de coloración marrón y blanca.

Las alteraciones naturales se producen por efecto del agua, 14 en total, y una por acción de las raíces.

Rasgo 9, Procedencia 19 (Niveles 5,6,7): NR 75

Especie	NISP	NME	NMI
<i>Odocoileus virginianus</i>	3	2	1
<i>Rodentia</i>	38	37	2
<i>Felidae</i>	1	1	1
Mamífero medio	18	7	1
	NR		
Indeterminado	15		

Tabla. Análisis cuantitativo de los restos del Rasgo 9 de la Procedencia 19 del Corte 2

Especie	NISP	CR	AX	EA	EP	EX	IND
<i>Odocoileus virginianus</i>	3	2				1	
<i>Rodentia</i>	38	19	1	9	6	3	
<i>Felidae</i>	1	1					
Mamífero medio	18		5			2	9
	NR						
Indeterminado	15						15

Tabla. Distribución anatómica de los restos del Rasgo 9 de la Procedencia 19 del Corte 2.

Especie	NMI	AD	JUV	IND
<i>Odocoileus virginianus</i>	1	1		
<i>Rodentia</i>	2	1	1	
<i>Felidae</i>	1			1
Mamífero medio	1			1

Tabla. Edades relativas de los restos del Rasgo 9 de la Procedencia 19 del Corte 2.

Sexo: dos restos de asta pertenecientes a venado macho.



Especie	NISP	Fracturas	Pulido	Termoalteración
<i>Odocoileus virginianus</i>	3		2	
<i>Rodentia</i>	38	5		1 (M)
Mamífero medio	18	6		1 (MN)

Tabla. Alteraciones antrópicas de los restos del Rasgo 9 de la Procedencia 19 del Corte 2.

Se han contabilizado 75 restos en el Rasgo 9 Procedencia 19, principalmente pertenecientes a roedor con todos los grupos anatómicos representados, aunque asociados a 2 individuos. Igualmente, 1 individuos de venado, 1 felino y 1 asociado a mamífero de talla media, aunque el número de restos de estos sea menor.

Las edades se corresponden con 1 venado adulto macho, 1 adulto y 1 juvenil entre los roedores, y no se ha podido identificar al resto.

Las alteraciones antrópicas se asocian con pulidos en el caso de las astas de venado, y fracturas y termoalteraciones en el caso de los roedores y mamíferos medios.

Rasgo 10, Procedencia 14 (Niveles 5,6,7): NR 66

Especie	NISP	NME	NMI
<i>Odocoileus virginianus</i>	7	7	3
<i>Rodentia</i>	4	4	2
Mamífero medio	24	8	2
Mamífero pequeño	5	2	1
	NR		
Indeterminado	30		

Tabla. Análisis cuantitativo de los restos del Rasgo 10 de la Procedencia 14 del Corte 2.

Especie	NISP	CR	AX	EA	EP	EX	IND
<i>Odocoileus virginianus</i>	7		1		1	5	
<i>Rodentia</i>	4	3		1			
Mamífero medio	24	6	1	2		13	2
Mamífero pequeño	5			1	2	1	1
	NR						
Indeterminado	30						30

Tabla. Distribución anatómica de los restos del Rasgo 10 de la Procedencia 14 del Corte 2.

Especie	NMI	AD	SUB	JUV	INF
<i>Odocoileus virginianus</i>	3	1	1		1
<i>Rodentia</i>	2	2			
Mamífero medio	2	1		1	
Mamífero pequeño	1	1			

Tabla. Edades relativas de los restos del Rasgo 10 de la Procedencia 14 del Corte 2.

Especie	NISP	Fracturas	Cortes
<i>Odocoileus virginianus</i>	7	1	1
<i>Rodentia</i>	4	1	
Mamífero medio	24	12	
Mamífero pequeño	5	4	
	NR		
Indeterminado	30	1	

Tabla. Alteraciones antrópicas de los restos del Rasgo 10 de la Procedencia 14 del Corte 2.

Especie	NISP	Disolución	Carnívoros	Concreción	Presión
<i>Odocoileus virginianus</i>	7	2		5	
<i>Rodentia</i>	5				5
Mamífero medio	24	23	1		
Mamífero pequeño	3			1	

Tabla. Alteraciones naturales de los restos del Rasgo 10 de la Procedencia 14 del Corte 2.

66 restos en el Rasgo 10, Procedencia 14, distribuidos entre 3 venados (un adulto, un subadulto, 1 juvenil), 2 roedores adultos, 2 mamíferos de talla media (un adulto y un juvenil) y 1 de pequeña, en gran medida fracturados y con un resto de venado con evidencias de corte. Entre las alteraciones naturales, efectos del agua sobre los restos de venado y mamífero pequeño y acción de carnívoros en un resto de mamífero medio.

Rasgo 11, Procedencia 13 (Nivel 5): NR 4

Especie	NISP	NME	NMI
Mamífero medio	1	1	1
	NR		
Indeterminado	3		

Tabla. Análisis cuantitativo de los restos del Rasgo 11 de la Procedencia 13 del Corte 2.

Especie	NISP	Fracturas
Mamífero medio	1	1
	NR	
Indeterminado	3	3

Tabla. Alteraciones antrópicas de los restos del Rasgo 11 de la Procedencia 13 del Corte 2.

Especie	NR	Disolución
Indeterminado	3	3

Tabla. Alteraciones naturales de los restos del Rasgo 11 de la Procedencia 13 del Corte 2.

Apenas 4 restos en el Rasgo 11, Procedencia 13, correspondiente uno de ellos a un mamífero de talla media. Todos se encuentran fracturados, los indeterminados afectados por disolución.

Rasgo 13, Procedencia 16 (Niveles 5,6): NR 14

Especie	NISP	NME	NMI
<i>Odocoileus virginianus</i>	5	4	1
<i>Rodentia</i>	1	1	1
Mamífero Medio	2	1	1
	NR		
Indeterminado	6		

Tabla. Análisis cuantitativo de los restos del Rasgo 13 de la Procedencia 16 del Corte 2.

Especie	NISP	CR	AX	EA	EP	EX	IND
<i>Odocoileus virginianus</i>	5			1		4	
<i>Rodentia</i>	1				1		
Mamífero Medio	2						2
	NR						
Indeterminado	6	5					1

Tabla. Distribución anatómica de los restos del Rasgo 13 de la Procedencia 16 del Corte 2.

Especie	NMI	AD	INF	IND
<i>Odocoileus virginianus</i>	1	1		
<i>Rodentia</i>	1		1	
Mamífero Medio	1			1

Tabla. Edades relativas de los restos del Rasgo 13 de la Procedencia 16 del Corte 2.

Especie	NISP	Fracturas
<i>Odocoileus virginianus</i>	5	4
<i>Rodentia</i>	1	
Mamífero Medio	2	2
	NR	
Indeterminado	6	1

Tabla. Alteraciones antrópicas de los restos del Rasgo 13 de la Procedencia 16 del Corte 2.

Especie	NISP	Abrasión	Vermiculación	Presión
<i>Odocoileus virginianus</i>	5			1
<i>Rodentia</i>	1	1		
Mamífero Medio	2		2	2
	NR			
Indeterminado	6	1		

Tabla. Alteraciones naturales de los restos del Rasgo 13 de la Procedencia 16 del Corte 2.

En el Rasgo 13, Procedencia 16 se contabilizan 14 restos relacionado con 1 individuo adulto de venado, 1 infantil de roedor, 1 indeterminado de mamífero de talla media, además de 6 restos sin identificar. Las fracturas afectan a los restos de venado y tallas medias. Entre las alteraciones

naturales, presión sobre el venado y mamífero medio, así como acción de raíces en estos últimos. Se constata abrasión sobre un resto indeterminado.

Rasgo 13, Procedencia 20 (Nivel 7): NR 9

Especie	NISP	NME	NMI
Mamífero Medio	4	3	1
	NR		
Indeterminado	5		

Tabla. Análisis cuantitativo de los restos del Rasgo 13 de la Procedencia 20 del Corte 2.

Especie	NISP	CR	AX	EA	EP	EX	IND
Mamífero Medio	4				3	1	
	NR						
Indeterminado	5						

Tabla. Distribución anatómica de los restos del Rasgo 13 de la Procedencia 20 del Corte 2.

Especie	NMI	AD
Mamífero Medio	1	1

Tabla. Edades relativas de los restos del Rasgo 13 de la Procedencia 20 del Corte 2.

Especie	NISP	Fracturas
Mamífero Medio	4	2
	NR	
Indeterminado	5	5

Tabla. Alteraciones antrópicas de los restos del Rasgo 13 de la Procedencia 20 del Corte 2.

9 restos en el Rasgo 13, Procedencia 20, asociados 4 a un mamífero medio adulto y sus extremidades. 7 de los 9 restos se encuentran fracturados.

Corte 3 (NR 1728)

El Corte 3 también se halla en el terreno del señor Víctor Morales. Ha presentado varias tumbas antiguas, así como un pozo de carácter reciente. Se han hallado en él 1728 restos.

Depósito 1

Procedencia 1 (Niveles 1,2): NR 17

Especie	NISP	NME	NMI
<i>Odocoileus virginianus</i>	1	1	1
<i>Rodentia</i>	4	2	1
Mamífero Grande	1	1	1
Mamífero Medio	8	2	1
Mamífero Pequeño	1	1	1
	NR		
Indeterminado	2		

Tabla. Análisis cuantitativo de los restos de la Procedencia 1 del Corte 3.

Especie	NISP	CR	AX	EA	EP	EX	IND
<i>Odocoileus virginianus</i>	1					1	
<i>Rodentia</i>	4	3			1		
Mamífero Grande	1					1	
Mamífero Medio	8			1		7	
Mamífero Pequeño	1					1	
	NR						
Indeterminado	2						2

Tabla. Distribución anatómica de los restos de la Procedencia 1 del Corte 3.

Especie	NMI	AD	INF	IND
<i>Odocoileus virginianus</i>	1	1		
<i>Rodentia</i>	1			1
Mamífero Grande	1			1
Mamífero Medio	1		1	
Mamífero Pequeño	1			1

Tabla. Edades relativas de los restos de la Procedencia 1 del Corte 3.

Especie	NISP	Fracturas	Cortes	Termoalteración
Mamífero Grande	1	1	1	
Mamífero Medio	8	5		3 (MN)
Mamífero Pequeño	1			1 (N)
	NR			
Indeterminado	2			1 (N)

Tabla. Alteraciones antrópicas de los restos de la Procedencia 1 del Corte 3.

Especie	NISP	Disolución	Abrasión	Vermiculación	Carnívoros
Mamífero Grande	1	1	1	1	
Mamífero Medio	8	3	3	1	1

Tabla. Alteraciones naturales de los restos de la Procedencia 1 del Corte 3.

La Procedencia cuenta con 17 restos repartidos entre 1 venado adulto, 1 de talla media infantil y 1 roedor, 1 mamífero grande, 1 pequeño indeterminados, principalmente asociados todos ellos con extremidades.

Se presentan fracturas en los restos de mamífero grande y pequeño, así como corte en el primero. 4 termoalteraciones divididas entre mamífero medio, pequeño e indeterminados, con coloraciones entre marrón y negro. Las alteraciones naturales presentes constatan la acción del agua, las raíces y mordisqueo de carnívoros en este caso sobre restos de mamífero medio y grande



Procedencia 2 (Niveles 2,3): NR 3

Especie	NISP	NME	NMI
Mamífero Grande	1	1	1
Mamífero Medio	2	1	1

Tabla. Análisis cuantitativo de los restos de la Procedencia 2 del Corte 3.

Especie	NISP	CR	AX	EA	EP	EX	IND
Mamífero Grande	1		1				
Mamífero Medio	2					2	

Tabla. Distribución anatómica de los restos de la Procedencia 2 del Corte 3.

Especie	NISP	Fracturas
Mamífero Medio	2	2

Tabla. Alteraciones antrópicas de los restos de la Procedencia 2 del Corte 3.

Especie	NISP	Disolución	Abrasión
Mamífero Grande	1	2	2

Tabla. Alteraciones naturales de los restos de la Procedencia 2 del Corte 3.

Solo 3 restos en la Procedencia 2, asociados a 1 individuo de talla grande y otro media, estos últimos fracturados, mientras que los de mayor talla han sido alterados por el agua.

Procedencia 4 (Nivel 3): NR 2

Especie	NISP	NME	NMI
Mamífero Medio	1	1	1
Mamífero Pequeño	1	1	1

Tabla. Análisis cuantitativo de los restos de la Procedencia 4 del Corte 3.

Especie	NISP	CR	AX	EA	EP	EX	IND
Mamífero Medio	1					1	
Mamífero Pequeño	1			1			

Tabla. Distribución anatómica de los restos de la Procedencia 4 del Corte 3.

Especie	NMI	AD
Mamífero Medio	1	1
Mamífero Pequeño	1	1

Tabla. Edades relativas de los restos de la Procedencia 4 del Corte 3.

En la Procedencia 4, 2 restos de dos individuos adultos de mamífero medio y pequeño.

Depósito 2

Procedencia 7 (Nivel 4): NR 75

Especie	NISP	NME	NMI
<i>Odocoileus virginianus</i>	3	3	1
<i>Rodentia</i>	3	2	1
Mamífero Medio	31	3	1
Mamífero Pequeño	5	2	1
	NR		
Indeterminado	33		

Tabla. Análisis cuantitativo de los restos de la Procedencia 7 del Corte 3.

Especie	NISP	CR	AX	EA	EP	EX	IND
<i>Odocoileus virginianus</i>	3			2		1	
<i>Rodentia</i>	3	2		1			
Mamífero Medio	31					30	1
Mamífero Pequeño	5					5	
	NR						
Indeterminado	33						33

Tabla. Distribución anatómica de los restos de la Procedencia 7 del Corte 3.

Especie	NMI	JUV	IND
<i>Odocoileus virginianus</i>	1	1	
<i>Rodentia</i>	1		1
Mamífero Medio	1		1
Mamífero Pequeño	1		1

Tabla. Edades relativas de los restos de la Procedencia 7 del Corte 3.

Especie	NISP	Fracturas	Termoalteración
<i>Odocoileus virginianus</i>	3	1	
Mamífero Medio	31	30	1 (MN)
Mamífero Pequeño	5	5	1 (MN), 3 (N)

Tabla. Alteraciones antrópicas de los restos de la Procedencia 7 del Corte 3.

En la Procedencia 7 se contabilizan 75 restos de los cuales 1 venado juvenil, y 1 roedor, 1 mamífero medio y 1 pequeños todos ellos indeterminados a nivel edad. 1 resto de venado se encuentra fracturado, al igual que 30 de mamífero medio y 5 pequeños. Las termoalteraciones afectan a 1 restos de mamífero medio y 4 pequeños con coloraciones transicionales entre marrón y negro y negro pleno.

Procedencia 8 (Nivel 5, Unidades 302 M3 y M4, 303 M2, 305 y 306 M1): NR 101

Especie	NISP	NME	NMI
<i>Rodentia</i>	10	7	1
<i>Rodentia mmp.</i>	1	1	1
Ave m.	2	1	1
Mamífero Medio	2	2	1
	NR		
Indeterminado	86		

Tabla. Análisis cuantitativo de los restos de la Procedencia 8 del Depósito 2 del Corte 3.

Especie	NISP	CR	AX	EA	EP	EX	IND
<i>Rodentia</i>	10	2		3	4	1	
<i>Rodentia mmp.</i>	1	1					
Ave m.	2					1	1
Mamífero Medio	2		1			1	
	NR						
Indeterminado	86						

Tabla. Distribución anatómica de los restos de la Procedencia 8 del Depósito 2 del Corte 3.

Especie	NMI	JUV	INF	IND
<i>Rodentia</i>	1		1	

Tabla. Edades relativas de los restos de la Procedencia 8 del Depósito 2 del Corte 3.

Especie	NISP	Fracturas	Termoalteración
<i>Rodentia</i>	11	3	1(N)
Ave m.	2	1	
Mamífero Medio	2	1	1(N)

Tabla. Alteraciones antrópicas de los restos de la Procedencia 8 del Depósito 2 del Corte 3.

101 restos en la Procedencia 8 asociada al Depósito 2. Se dividen en 1 roedor pequeño infantil y 1 roedor muy pequeño, 1 ave de talla media y 1 mamífero medio de los cuales no se identifica la edad. Se contabilizan 5 fracturas y 2 termoalteraciones.

Procedencia 10 (Nivel 6): NR 1

Especie	NISP	NME	NMI
<i>Rodentia</i>	1	1	1

Tabla. Análisis cuantitativo de los restos de la Procedencia 10 del Corte 3.

Especie	NISP	CR	AX	EA	EP	EX	IND
<i>Rodentia</i>	1				1		

Tabla. Distribución anatómica de los restos de la Procedencia 10 del Corte 3.

En la Procedencia 10 solo 1 resto de roedor perteneciente a las extremidades posteriores.

Procedencia 11 (Nivel 5): NR 13

Especie	NISP	NME	NMI
<i>Odocoileus virginianus</i>	1	1	1
	NR		
Indeterminado	12		

Tabla. Análisis cuantitativo de los restos de la Procedencia 11 del Corte 3.

Especie	NISP	CR	AX	EA	EP	EX	IND
<i>Odocoileus virginianus</i>	1	1					
	NR						
Indeterminado	12						

Tabla. Distribución anatómica de los restos de la Procedencia 11 del Corte 3.

13 restos en la Procedencia 11 relacionado con 1 elemento craneal de venado.

Procedencia 12 (Niveles 6,7, Unidades 303 M3 y M4, 306 M1): NR 42

Especie	NISP	NME	NMI
<i>Odocoileus virginianus</i>	2	2	1
<i>Rodentia</i>	7	7	1
Mamífero Medio	5	3	1
Mamífero Pequeño	3	2	1
	NR		
Indeterminado	25		

Tabla. Análisis cuantitativo de los restos de la Procedencia 12 del Depósito 2 del Corte 3.

Especie	NISP	CR	AX	EA	EP	EX	IND
<i>Odocoileus virginianus</i>	2			1		1	
<i>Rodentia</i>	7	6			1		
Mamífero Medio	5		1			1	3
Mamífero Pequeño	3		1	2			
	NR						
Indeterminado	25						

Tabla. Distribución anatómica de los restos de la Procedencia 12 del Depósito 2 del Corte 3.

Especie	NMI	AD	JUV	INF	IND
<i>Odocoileus virginianus</i>	1		1		
<i>Rodentia</i>	1				1
Mamífero Medio	1		1		
Mamífero Pequeño	1				1

Tabla. Edades relativas de los restos de la Procedencia 12 del Depósito 2 del Corte 3.

Especie	NISP	Fracturas	Cortes	Termoalteración
<i>Odocoileus virginianus</i>	2		1	
Mamífero Medio	5	4		1(N)
Mamífero Pequeño	3	2		1(M)

Tabla. Alteraciones antrópicas de los restos de la Procedencia 12 del Depósito 2 del Corte 3.

En la Procedencia 12 asociada al Depósito 2 existen 42 restos divididos entre 1 venado juvenil, 1 mamífero medio igualmente juvenil, y 1 roedor y 1 mamífero pequeño indeterminados.

Entre las alteraciones antrópicas fracturas y termoalteraciones tanto en mamíferos medios como pequeños y cortes en venado.

Depósito 3

Procedencia 8 (Nivel 5, Unidad 304 M2 y M3): NR 23

Especie	NISP	NME	NMI
<i>Odocoileus virginianus</i>	2	1	1
<i>Rodentia</i>	3	1	1
Mamífero Medio	14	1	1
Mamífero Pequeño	4	1	1

Tabla. Análisis cuantitativo de los restos de la Procedencia 8 del Depósito 3 del Corte 3.

Especie	NISP	CR	AX	EA	EP	EX	IND
<i>Odocoileus virginianus</i>	2					2	
<i>Rodentia</i>	1	1					
Mamífero Medio	14					14	
Mamífero Pequeño	4					4	

Tabla. Distribución anatómica de los restos de la Procedencia 8 del Depósito 3 del Corte 3.

Especie	NMI	AD	JUV	INF	IND
<i>Odocoileus virginianus</i>	1	1			

Tabla. Edades relativas de los restos de la Procedencia 8 del Depósito 3 del Corte 3.

Especie	NISP	Fracturas
<i>Odocoileus virginianus</i>	2	1
Mamífero Medio	14	14
Mamífero Pequeño	4	1

Tabla. Alteraciones antrópicas de los restos de la Procedencia 8 del Depósito 3 del Corte 3.

En la Procedencia 8 asociada al Depósito 3 un total de 23 restos de los cuales 1 venado adulto, e indeterminados 1 roedor, 1 mamífero medio y 1 pequeño. Las fracturas se concentran sobre los restos de venado y talla media.

Procedencia 12 (Niveles 4,6, Unidades 304 M3 Y M4, 305): NR 104

Especie	NISP	NME	NMI
<i>Odocoileus virginianus</i>	1	1	1
Rodentia	77	71	3
Ave m.	3	2	1
Mamífero Pequeño	3	1	1
	NR		
Indeterminado	20		

Tabla. Análisis cuantitativo de los restos de la Procedencia 12 del Depósito 3 del Corte 3.

Especie	NISP	CR	AX	EA	EP	EX	IND
<i>Odocoileus virginianus</i>	1	1					
Rodentia	77	44		7	18	8	
Ave m.	3			1		2	
Mamífero Pequeño	3			1		2	
	NR						
Indeterminado	20						

Tabla. Distribución anatómica de los restos de la Procedencia 12 del Depósito 3 del Corte 3.

Especie	NMI	AD	JUV	INF	IND
<i>Odocoileus virginianus</i>	1				1
Rodentia	3	2		1	
Ave m.	1				1
Mamífero Pequeño	1				1

Tabla. Edades relativas de los restos de la Procedencia 12 del Depósito 3 del Corte 3.

Sexo: un resto de asta de venado.

Especie	NISP	Fracturas	Termoalteración
<i>Odocoileus virginianus</i>	1		1 (MN)
Mamífero Pequeño	3	2	

Tabla. Alteraciones antrópicas de los restos de la Procedencia 12 del Depósito 3 del Corte 3.





Imagen. Resto quemado marrón-negro.

Un total de 104 restos en la Procedencia 12 asociada al Depósito 3. Se asocian a 1 venado macho indeterminado, 3 restos de roedor (2 adultos y 1 infantil), 1 ave media y 1 mamífero pequeños ambos indeterminados. Solo 2 fracturas asociadas con mamífero pequeño.

Procedencia 15 (Nivel 7): NR 1

Especie	NISP	NME	NMI
Mamífero Medio	1	1	1

Tabla. Análisis cuantitativo de los restos de la Procedencia 15 del Corte 3.

Especie	NISP	CR	AX	EA	EP	EX	IND
Mamífero Medio	1					1	

Tabla. Distribución anatómica de los restos de la Procedencia 15 del Corte 3.

Especie	NISP	Fracturas
Mamífero Medio	1	1

Tabla. Alteraciones antrópicas de los restos de la Procedencia 15 del Corte 3.

En la Procedencia 15 solo 1 resto de mamífero medio fracturado.

Procedencia 17 (Nivel 8): NR 17

Especie	NISP	NME	NMI
<i>Rodentia</i>	1	1	1
	NR		
Indeterminado	16		

Tabla. Análisis cuantitativo de los restos de la Procedencia 17 del Corte 3.

Especie	NISP	CR	AX	EA	EP	EX	IND
<i>Rodentia</i>	1					1	
	NR						
Indeterminado	16						16

Tabla. Distribución anatómica de los restos de la Procedencia 17 del Corte 3.

Especie	NMI	IND
<i>Rodentia</i>	1	1

Tabla. Edades relativas de los restos de la Procedencia 17 del Corte 3.

Especie	NISP	Fracturas	Termoalteración
<i>Rodentia</i>	1		1 (N)
	NR		
Indeterminado	16	8	

Tabla. Alteraciones antrópicas de los restos de la Procedencia 17 del Corte 3.

En la Procedencia 17 de los 17 restos solo identificado uno perteneciente a roedor que se encuentra quemado de color negro, mientras que 8 restos indeterminados se cuentan con fracturación.

Procedencia 20 (Nivel 9): NR 42

Especie	NISP	NME	NMI
<i>Odocoileus virginianus</i>	1	1	1
<i>Rodentia</i>	16	16	2
Mamífero Medio	4	2	1
Mamífero Pequeño	13	2	1
	NR		
Indeterminado	8		

Tabla. Análisis cuantitativo de los restos de la Procedencia 20 del Corte 3.

Especie	NISP	CR	AX	EA	EP	EX	IND
<i>Odocoileus virginianus</i>	1	1					
<i>Rodentia</i>	16	1		7	4	4	
Mamífero Medio	4				1	3	
Mamífero Pequeño	13	6				1	6
	NR						
Indeterminado	8						

Tabla. Distribución anatómica de los restos de la Procedencia 20 del Corte 3.

Especie	NMI	AD	IND
<i>Odocoileus virginianus</i>	1		1
<i>Rodentia</i>	2	1	1
Mamífero Medio	1		1
Mamífero Pequeño	1		1

Tabla. Edades relativas de los restos de la Procedencia 20 del Corte 3.



Imagen. Ulna de roedor fracturada sin quemado.

Sexo: un resto de asta perteneciente a venado.

Especie	NISP	Fracturas	Termoalteración
<i>Odocoileus virginianus</i>	1	1	
Rodentia	16	2	1 (M)
Mamífero Medio	4	3	1 (M) 1 (N)
Mamífero Pequeño	13	1	1 (M)

Tabla. Alteraciones antrópicas de los restos de la Procedencia 20 del Corte 3.

Especie	NISP	Vermiculación
Mamífero Medio	4	1

Tabla. Alteraciones naturales de los restos de la Procedencia 20 del Corte 3.

42 restos encontrados en la Procedencia 20, relacionados con 1 venado, 2 roedores de los cuales 1 adulto, y 1 mamífero medio y otro pequeño indeterminado a nivel de edad. Uno de los restos de venado es una asta. Entre las alteraciones antrópicas fracturas presentes en todos los especímenes y termoalteraciones en roedores, mamíferos medio y pequeño. En el caso de la talla media se presenta una alteración por raíces.

Procedencia 21 (Nivel 10): NR 8

Especie	NISP	NME	NMI
<i>Rodentia</i>	4	4	1
Ave m.	2	2	1
	NR		
Indeterminado	2		

Tabla. Análisis cuantitativo de los restos de la Procedencia 21 del Corte 3.

Especie	NISP	CR	AX	EA	EP	EX	IND
<i>Rodentia</i>	4	1		2		1	
Ave m.	2			1	1		
	NR						
Indeterminado	2					1	1

Tabla. Distribución anatómica de los restos de la Procedencia 21 del Corte 3.

Especie	NISP	Fracturas
<i>Rodentia</i>	4	1
Ave m.	2	1
	NR	
Indeterminado	2	1

Tabla. Alteraciones antrópicas de los restos de la Procedencia 21 del Corte 3.

En la Procedencia 21 un total de 8 restos entre roedor y ave de talla media, así como 2 indeterminado. En un resto de cada grupo se presenta fracturación antrópica.

Procedencia 26 (Nivel 11): NR 10

Especie	NISP	NME	NMI
<i>Rodentia</i>	5	5	2
Ave m.	1	1	1
Mamífero Medio	2	2	1
Mamífero Pequeño	2	2	1

Tabla. Análisis cuantitativo de los restos de la Procedencia 26 del Corte 3.

Especie	NISP	CR	AX	EA	EP	EX	IND
<i>Rodentia</i>	5	3		2			
Ave m.	1			1			
Mamífero Medio	2		2				
Mamífero Pequeño	2		1				1

Tabla. Distribución anatómica de los restos de la Procedencia 26 del Corte 3.

Especie	NMI	AD	JUV	IND
<i>Rodentia</i>	2	1		1
Ave m.	1			1
Mamífero Medio	1		1	
Mamífero Pequeño	1			1

Tabla. Edades relativas de los restos de la Procedencia 26 del Corte 3.

Especie	NISP	Cortes	Termoalteración
Ave m.	1	1	
Mamífero Pequeño	2		1 (N)

Tabla. Alteraciones antrópicas de los restos de la Procedencia 26 del Corte 3.

10 restos en la Procedencia 26 de los cuales 2 roedores (1 adulto, 1 indeterminado), 1 mamífero medio juvenil y dos individuos de ave media y mamífero pequeño indeterminados. Se constata un corte sobre resto de ave media y quemado negro en mamífero pequeño.

#### Rasgos del Corte 3

Rasgo 1, Procedencia 6 (Niveles 11, Pozo): NR 1000

Especie	NISP	NME	NMI
<i>Odocoileus virginianus</i>	1	1	1
<i>Rodentia</i>	3	3	1
<i>Felis catus</i>	987		5
Mamífero Grande	1	1	1
Mamífero Medio	7	3	1
Mamífero Pequeño	1	1	1

Tabla. Análisis cuantitativo de los restos del Rasgo 1 de la Procedencia 6 del Corte 3.

Especie	NISP	CR	AX	EA	EP	EX	IND
<i>Odocoileus virginianus</i>	1	1					
<i>Rodentia</i>	3	1			2		
<i>Felis catus</i>	987	TODOS					
Mamífero Grande	1			1			
Mamífero Medio	7	1	1			1	4
Mamífero Pequeño	1		1				

Tabla. Distribución anatómica e los restos del Rasgo 1 de la Procedencia 6 del Corte 3.

Especie	NMI	AD	INF	IND
<i>Odocoileus virginianus</i>	1			1
<i>Rodentia</i>	1	1		
<i>Felis catus</i>	5		5	
Mamífero Grande	1	1		
Mamífero Medio	1			1
Mamífero Pequeño	1		1	

Tabla. Edades relativas de los restos del Rasgo 1 de la Procedencia 6 del Corte 3.

Sexo: un resto de asta de venado.

Especie	NISP	Fracturas	Termoalteración
<i>Odocoileus virginianus</i>	1		1 (MN)
<i>Rodentia</i>	3	1	
Mamífero Medio	7	1	
Mamífero Pequeño	1		1(N)

Tabla. Alteraciones antrópicas de los restos del Rasgo 1 de la Procedencia 6 del Corte 3.

Especie	NISP	Disolución	Abrasión	Vermiculación
<i>Felis catus</i>	987	987	987	987
Mamífero Medio	7	1	1	1

Tabla. Alteraciones naturales de los restos del Rasgo 1 de la Procedencia 6 del Corte 3.

En el Rasgo 1, Procedencia 6 (el pozo) se analizan restos de 1 venado indeterminado, 1 roedor adulto, 5 gatos modernos infantiles, 1 adulto de mamífero grande, 1 un indeterminado de medio y un infantil de pequeño. En cuanto al sexo 1 resto de asta de venado. Fracturas en roedor y mamífero medio, así como quemados en venado y mamífero pequeño. Acción del agua y raíces sobre los restos de gato y en uno de mamífero medio.

Rasgo 2, Procedencia 14 (Niveles 6,8,9,10,11): NR 46

Especie	NISP	NME	NMI
<i>Rodentia</i>	23	13	2
Ave m.	7	7	1
Mamífero Medio	2	1	1
Mamífero Pequeño	5	5	1
	NR		
Indeterminado	9		

Tabla. Análisis cuantitativo de los restos del Rasgo 2 de la Procedencia 14 del Corte 3.

Especie	NISP	CR	AX	EA	EP	EX	IND
<i>Rodentia</i>	23	16	2	2	2		
Ave m.	7		3	1	1	2	
Mamífero Medio	2					2	
Mamífero Pequeño	5		5				
	NR						
Indeterminado	9						

Tabla. Distribución anatómica de los restos del Rasgo 2 de la Procedencia 14 del Corte 3.



Especie	NMI	AD	INF	IND
<i>Rodentia</i>	2	1	1	
Ave m.	1			1
Mamífero Medio	1	1		
Mamífero Pequeño	1			1

Tabla. Edades relativas de los restos del Rasgo 2 de la Procedencia 14 del Corte 3.

Especie	NISP	Fracturas	Termoalteración
<i>Rodentia</i>	23	5	1 (MN)
Mamífero Pequeño	5	5	

Tabla. Alteraciones antrópicas de los restos del Rasgo 2 de la Procedencia 14 del Corte 3.

Especie	NISP	Disolución	Abrasión	Presión
<i>Rodentia</i>	23	11	11	1

Tabla. Alteraciones naturales de los restos del Rasgo 2 de la Procedencia 14 del Corte 3.

En la Rasgo 2 Procedencia 14 se contabilizan 46 restos asociados con 2 roedores (1 adulto y otro infantil), 1 mamífero medio adulto y 1 ave media y un mamífero pequeño indeterminados. Las fracturas presentes se encuentran en los restos de roedor y mamífero pequeño, así como un quemado marrón negro sobre un resto de roedor. Han sido afectados por el agua 23 restos de estos últimos.

Rasgo 3, Procedencia 24 (Niveles 9,10): NR 8

Especie	NISP	NME	NMI
<i>Rodentia</i>	3	3	1
Ave m.	1	1	1
Ave p.	4	1	1

Tabla. Análisis cuantitativo de los restos del Rasgo 3 de la Procedencia 24 del Corte 3.

Especie	NISP	CR	AX	EA	EP	EX	IND
<i>Rodentia</i>	3	1	1	1			
Ave m.	1				1		
Ave p.	4					4	

Tabla. Distribución anatómica de los restos del Rasgo 3 de la Procedencia 24 del Corte 3.

Especie	NISP	Disolución	Abrasión
<i>Rodentia</i>	3	1	1

Tabla. Alteraciones naturales de los restos del Rasgo 3 de la Procedencia 24 del Corte 3.

Solo 8 restos en el Rasgo 3 Procedencia 24, de los cuales 1 roedor, 1 ave media y otra pequeña. Mientras que los restos de roedor presentan todos los grupos anatómicos, de aves solo extremidades. Uno de los restos de roedor ha sufrido la acción del agua.

Rasgo 5, Procedencia 5 (Nivel 5): NR 18

Especie	NISP	NME	NMI
<i>Rodentia</i>	10	8	1
	NR		
Indeterminado	8		

Tabla. Análisis cuantitativo de los restos del Rasgo 5 de la Procedencia 5 del Corte 3.

Especie	NISP	CR	AX	EA	EP	EX	IND
<i>Rodentia</i>	10	6		1		3	
	NR						
Indeterminado	8						8

Tabla. Distribución anatómica de los restos del Rasgo 5 de la Procedencia 5 del Corte 3.

Especie	NMI	AD
<i>Rodentia</i>	1	1

Tabla. Edades relativas de los restos del Rasgo 5 de la Procedencia 5 del Corte 3.

En el Rasgo 5 Procedencia 5 un total de 18 restos pertenecientes principalmente a 1 roedor adulto.

Rasgo 7, Procedencia 13 (Nivel 6): NR 4

Especie	NISP	NME	NMI
<i>Odocoileus virginianus</i>	1	1	1
<i>Rodentia</i>	1	1	1
	NR		
Indeterminado	2		

Tabla. Análisis cuantitativo de los restos del Rasgo 7 de la Procedencia 13 del Corte 3.

Especie	NISP	CR	AX	EA	EP	EX	IND
<i>Odocoileus virginianus</i>	1				1		
<i>Rodentia</i>	1				1		
	NR						
Indeterminado	2				1		1

Tabla. Distribución anatómica de los restos del Rasgo 7 de la Procedencia 13 del Corte 3.

Especie	NISP	Fracturas	Termoalteración
<i>Odocoileus virginianus</i>	1	1	
	NR		
Indeterminado	2	1	1 (N)

Tabla. Alteraciones antrópicas de los restos del Rasgo 7 de la Procedencia 13 del Corte 3.

4 restos en el Rasgo 7 Procedencia 13, pertenecientes a 1 venado, 1 roedor y 2 restos indeterminados. Fracturas sobre el venado y los indeterminados que además presentan un resto quemado negro.

Rasgo 9, Procedencia 16 (Nivel 6): NR 6

Especie	NISP	NME	NMI
<i>Odocoileus virginianus</i>	1	1	1
Ave m.	2	1	1
Mamífero Medio	3	3	1

Tabla. Análisis cuantitativo de los restos del Rasgo 9 de la Procedencia 16 del Corte 3.

Especie	NISP	CR	AX	EA	EP	EX	IND
<i>Odocoileus virginianus</i>	1	1					
Ave m.	2				1	1	
Mamífero Medio	3	2	1				

Tabla. Distribución anatómica de los restos del Rasgo 9 de la Procedencia 16 del Corte 3.

Especie	NMI	AD	SUB	JUV	INF	NEO	IND
<i>Odocoileus virginianus</i>	1						1
Ave m.	1						1
Mamífero Medio	1			1			

Tabla. Edades relativas de los restos del Rasgo 9 de la Procedencia 16 del Corte 3.

Sexo: un resto de asta de venado macho.

Especie	NISP	Termoalteración
Ave m.	2	1 (N)

Tabla. Alteraciones antrópicas de los restos del Rasgo 9 de la Procedencia 16 del Corte 3.

En el Rasgo 9, Procedencia 16 un total de 6 restos asociados a 1 venado y a 1 ave media sin determinar y 1 individuo mamífero medio juvenil. Uno de los elementos de ave está quemado de color negro.

Rasgo 10, Procedencia 22 (Nivel 10): NR 26

Especie	NISP	NME	NMI
<i>Rodentia</i>	12	4	1
Mamífero Medio	9	3	1

Tabla. Análisis cuantitativo de los restos del Rasgo 10 de la Procedencia 22 del Corte 3.

Especie	NISP	CR	AX	EA	EP	EX	IND
<i>Rodentia</i>	12	11				1	
Mamífero Medio	9	2				7	
	NR						
Indeterminado	5						5

Tabla. Distribución anatómica de los restos del Rasgo 10 de la Procedencia 22 del Corte 3.

Especie	NISP	Fracturas	Termoalteración
Mamífero Medio	9	6	1 (M)

Tabla. Alteraciones antrópicas de los restos del Rasgo 10 de la Procedencia 22 del Corte 3.

26 restos en el Rasgo 10 Procedencia 22, pertenecientes a 1 roedor y 1 mamífero de talla media. 6 de los restos de este último se encuentra fracturados, así como uno quemado de color marrón.

Rasgo 11-12, Procedencia 23 (Niveles 10,11): NR 95

Especie	NISP	NME	NMI
<i>Odocoileus virginianus</i>	1	1	1
<i>Rodentia</i>	69	62	3
Ave m.	4	4	1
Mamífero Pequeño	3	2	1
	NR		
Indeterminado	18		

Tabla. Análisis cuantitativo de los restos del Rasgo 11-12 de la Procedencia 23 del Corte 3.

Especie	NISP	CR	AX	EA	EP	EX	IND
<i>Odocoileus virginianus</i>	1	1					
<i>Rodentia</i>	69	19	3	20	18	9	
Ave m.	4			3	1		
Mamífero Pequeño	3		1			2	
	NR						
Indeterminado	18					1	17

Tabla. Distribución anatómica de los restos del Rasgo 11-12 de la Procedencia 23 del Corte 3.

Especie	NMI	AD	INF	IND
<i>Odocoileus virginianus</i>	1			1
<i>Rodentia</i>	3	2	1	
Ave m.	1			1
Mamífero Pequeño	1			1

Tabla. Edades relativas de los restos del Rasgo 11-12 de la Procedencia 23 del Corte 3.

Sexo: un resto de asta de venado.

Especie	NISP	Fracturas	Pulido	Termoalteración
<i>Odocoileus virginianus</i>	1		1	
<i>Rodentia</i>	69	17		2 (M) 1 (MN) 8 (N) 1 (NB) 2 (B)
Ave m.	4	4		
Mamífero Pequeño	3			1 (N)
	NR			
Indeterminado	18	1		1 (M) 2 (B)

Tabla. Alteraciones antrópicas de los restos del Rasgo 11-12 de la Procedencia 23 del Corte 3.

En el Rasgo 11-12 Procedencia 23, un total de 95 restos. De ellos 1 venado indeterminado macho, 1 o 2 roedores adultos y 1 infantil, 1 ave media indeterminada, así como un mamífero pequeño. La asta de venado se encuentra pulida, las fracturas se presentan en los restos de roedor y ave y los quemados en roedor, mamífero pequeño e indeterminado, alcanzado la calcinación.

Rasgo 11-12 Procedencia 27 (Nivel 11): NR 58

Especie	NISP	NME	NMI
<i>Rodentia</i>	26	26	2
Ave m.	2	2	1
Mamífero Medio	1	1	1
Mamífero Pequeño	22	22	2
	NR		
Indeterminado	7		

Tabla. Análisis cuantitativo de los restos del Rasgo 11-12 de la Procedencia 27 del Corte 3.

Especie	NISP	CR	AX	EA	EP	EX	IND
<i>Rodentia</i>	26	16		3	7		
Ave m.	2					2	
Mamífero Medio	1		1				
Mamífero Pequeño	22	15		4	3		
	NR						
Indeterminado	7						

Tabla. Distribución anatómica de los restos del Rasgo 11-12 de la Procedencia 27 del Corte 3.

Especie	NMI	AD	INF	IND
<i>Rodentia</i>	2			2
Ave m.	1			1
Mamífero Medio	1		1	
Mamífero Pequeño	2	1	1	

Tabla. Edades relativas de los restos del Rasgo 11-12 de la Procedencia 27 del Corte 3.

Especie	NISP	Fracturas	Termoalteración
Mamífero Pequeño	22	3	1 (MN)
	NR		
Indeterminado	7	7	

Tabla. Alteraciones antrópicas de los restos del Rasgo 11-12 de la Procedencia 27 del Corte 3.

58 restos asociados al Rasgo 11-12 Procedencia 27. Entre ellos 2 roedores y 1 ave de talla media indeterminado, 1 mamífero medio infantil y 2 pequeños (un adulto y un infantil). Las fracturas se presentan en los restos de mamífero pequeño y los restos indeterminados. Uno de los huesos de mamífero pequeño se encuentra quemado en color marrón negro.

Rasgo 13 Procedencia 28 (Nivel 12): NR 6

Especie	NISP	NME	NMI
Ave m.	1	1	1
Mamífero Pequeño	5	4	1

Tabla. Análisis cuantitativo de los restos del Rasgo 13 de la Procedencia 28 del Corte 3.

Especie	NISP	CR	AX	EA	EP	EX	IND
Ave m.	1		1				
Mamífero Pequeño	5	1		2		2	

Tabla. Distribución anatómica de los restos del Rasgo 13 de la Procedencia 28 del Corte 3.

Especie	NISP	INF	IND
Ave m.	1		1
Mamífero Pequeño	1	1	

Tabla. Edades relativas de los restos del Rasgo 13 de la Procedencia 28 del Corte 3.

Especie	NISP	Fracturas	Termoalteración
Mamífero Pequeño	5	1	1 (MN)

Tabla. Alteraciones antrópicas de los restos del Rasgo 13 de la Procedencia 28 del Corte 3.



Imagen. Hueso fracturado con coloración marrón-negro.

En el Rasgo 13 Procedencia 28 un total de 6 restos correspondientes a 1 ave media y 1 mamífero pequeño infantil que encuentra fracturado y quemado en marrón negro.

Cateos

Cateo 4 (NR 65)

El Cateo 4 se encuentra al este de la calle Manuela Sáenz y en él se han encontrado un total de 65 restos.

Depósito 2

Procedencia 2 (Nivel 2): NR 6

Especie	NISP	NME	NMI
Mamífero Medio	3	1	1
	NR		
Indeterminado	3		

Tabla. Análisis cuantitativo de los restos de la Procedencia 2 del Cateo 4.

Especie	NISP	CR	AX	EA	EP	EX	IND
Mamífero Medio	3					3	

Tabla. Distribución anatómica de los restos de la Procedencia 2 del Cateo 4.



Especie	NISP	Fracturas
Mamífero Medio	3	3

Tabla. Alteraciones antrópicas de los restos de la Procedencia 2 del Cateo 4.

Especie	NR	Disolución	Abrasión	Presión
Indeterminado	3	3	3	3

Tabla. Alteraciones naturales de los restos de la Procedencia 2 del Cateo 4.

6 restos en la Procedencia 2 asociados principalmente a mamífero medio con fracturas y marcas de la acción del agua y la presión.

Procedencia 4 (Niveles 4,5,6,8): NR 34

Especie	NISP	NME	NMI
<i>Rodentia</i>	3	1	1
Mamífero Medio	2	2	1
Mamífero Pequeño	11	6	1
	NR		
Indeterminado	18		

Tabla. Análisis cuantitativo de los restos de la Procedencia 4 del Cateo 4.

Especie	NISP	CR	AX	EA	EP	EX	IND
<i>Rodentia</i>	3	3					
Mamífero Medio	2					2	
Mamífero Pequeño	11		11				
	NR						
Indeterminado	18						18

Tabla. Distribución anatómica de los restos de la Procedencia 4 del Cateo 4.

Especie	NISP	Fracturas
Mamífero Medio	2	2
	NR	
Indeterminado	18	10

Tabla. Alteraciones antrópicas de los restos de la Procedencia 4 del Cateo 4.

En la Procedencia 4 un total de 34 restos relacionados 1 roedor, 1 mamífero de talla media y 1 pequeño. Los restos de mamífero medio se encuentran fracturados al igual que 10 de los indeterminados.

Procedencia 11 (Nivel 15): NR 18

Especie	NISP	NME	NMI
Mamífero Medio	18	1	1

Tabla. Análisis cuantitativo de los restos de la Procedencia 11 del Cateo 4.

Especie	NISP	CR	AX	EA	EP	EX	IND
Mamífero Medio	18					18	

Tabla. Distribución anatómica de los restos de la Procedencia 11 del Cateo 4.

Especie	NISP	Fracturas	Impactos
Mamífero Medio	18	1	1

Tabla. Alteraciones antrópicas de los restos de la Procedencia 11 del Cateo 4.

Especie	NISP	Concreción
Mamífero Medio	18	18

Tabla. Alteraciones naturales de los restos de la Procedencia 11 del Cateo 4.

En la Procedencia 11, 18 restos de mamífero medio, pertenecientes a extremidades, uno de ellos fracturado y con impactos, además todos presentan concreción relacionado con el sustrato.

Rasgos

Rasgo 2 Procedencia 6 (Niveles 3,5,6): NR 7

Especie	NISP	NME	NMI
Mamífero Pequeño	1	1	1
	NR		
Indeterminado	6		

Tabla. Análisis cuantitativo de los restos del Rasgo 2 de la Procedencia 6 del Cateo 4.

En el Rasgo 2, Procedencia 6, 7 restos de los cuales 1 pertenece a mamífero medio.

Cateo 6 (NR 349)

El Cateo 6 se encuentra al este de la calle Manuela Saénz, al oeste del cateo 4. Se han encontrado 349 restos.

Depósito 1

Procedencia 1 (Nivel 2): NR 19

Especie	NISP	NME	NMI
<i>Rodentia</i>	8	8	2
	NR		
Indeterminado	11		

Tabla. Análisis cuantitativo de los restos de la Procedencia 1 del Cateo 6.

Especie	NISP	CR	AX	EA	EP	EX	IND
<i>Rodentia</i>	8	1	1	1	3	2	
	NR						
Indeterminado	11						

Tabla. Distribución anatómica de los restos de la Procedencia 1 del Cateo 6.

Especie	NISP	Fracturas
<i>Rodentia</i>	8	1
	NR	
Indeterminado	11	11

Tabla. Alteraciones antrópicas de los restos de la Procedencia 1 del Cateo 6.

Especie	NISP	Disolución
<i>Rodentia</i>	8	7
	NR	
Indeterminado	11	11

Tabla. Alteraciones naturales de los restos de la Procedencia 1 del Cateo 6.

19 restos en la Procedencia 1 de los cuales 2 pertenecen a roedor. Las alteraciones antrópicas se evidencian en 1 resto de roedor, así como en los 11 restos indeterminados. Salvo en uno, en todos los huesos se encuentra la acción del agua.

Rasgos

Rasgo 1, Procedencia 3 (Niveles 2,3,4): NR 330

Especie	NISP	NME	NMI
<i>Odocoileus virginianus</i>	2	2	1
<i>Rodentia m.</i>	41	41	2
<i>Rodentia mp.</i>	20	20	3
Ave m.	5	5	1
Ave p.	3	3	1
Carnívoro p.	1	1	1
Reptil	1	1	1
Mamífero Medio	26	1	1
Mamífero Pequeño	3	3	1
	NR		
Indeterminado	228		

Tabla. Análisis cuantitativo de los restos del Rasgo 1 de la Procedencia 3 del Cateo 6.

Especie	NISP	CR	AX	EA	EP	EX	IND
<i>Odocoileus virginianus</i>	2	1		1			
<i>Rodentia m.</i>	41	10	5	6	10	10	
<i>Rodentia p.</i>	20	6			14		
Ave m.	5			1	4		
Ave p.	3			2	1		
Carnívoro p.	1	1					
Reptil	1	1					
Mamífero Medio	26		24			1	1
Mamífero Pequeño	3			1		2	
	NR						
Indeterminado	228						

Tabla. Distribución anatómica de los restos del Rasgo 1 de la Procedencia 3 del Cateo 6.

Especie	NMI	AD	INF	IND
<i>Odocoileus virginianus</i>	1	1		
Rodentia m.	2	1	1	
Rodentia p.	3	2	1	
Ave m.	1			1
Ave p.	1			1
Carnívoro p.	1			1
Reptil	1			1
Mamífero Medio	1			1
Mamífero Pequeño	1	1		

Tabla. Edades relativas de los restos del Rasgo 1 de la Procedencia 3 del Cateo 6.

Sexo: un resto de asta de venado.

Especie	NISP	Fracturas	Termoalteración
<i>Odocoileus virginianus</i>	2	1	
Rodentia m.	41	4	2 (M)
Ave m.	5		1 (M)
Ave p.	3		1 (N)
Carnívoro p.	1		1 (NB)
Mamífero Medio	26		1 (N)
	NR		
Indeterminado	228		13 (N) 1 (B)

Tabla. Alteraciones antrópicas de los restos del Rasgo 1 de la Procedencia 3 del Cateo 6.

Especie	NISP	Disolución	Vermiculación
<i>Odocoileus virginianus</i>	2		1
Rodentia m.	41		1
Carnívoro p.	1	1	
Mamífero Medio	26	1	
	NR		
Indeterminado	228	1	

Tabla. Alteraciones naturales de los restos del Rasgo 1 de la Procedencia 3 del Cateo 6.

En el Rasgo 1, Procedencia 3 se contabilizan 330 restos distribuidos entre 1 venado adulto macho, 2 roedores de talla media (1 adulto y 1 infantil) y 3 de talla pequeña (2 adultos y 1

infantil), 1 ave media y 1 pequeña, 1 carnívoro pequeño, 1 reptil, 1 mamífero medio y otro pequeño todos ellos sin poder definir la edad, además de 228 restos indeterminados.

Las alteraciones antrópicas se presentan a nivel de fractura en los restos de venado y roedor medio, sin embargo, termoalteraciones las encontramos en todos sus estadios en restos de roedor medio, las aves, el carnívoro, el mamífero medio y los restos indeterminados.

Las alteraciones naturales son escasas. Efectos del agua en el carnívoro, en un resto de mamífero medio y en un indeterminado, y acción de las raíces en dos restos, uno de venado y otro de roedor de talla media.

#### Cateo 7-9 (NR 306)

El Cateo 7-9 se encuentra hacia la intersección entre las calles Manuela Saénz y Manuela Cañizares. Cuenta con 306 restos.

#### Depósito 1

#### Procedencia 1 (Nivel 2): NR 18

Especie	NISP	NME	NMI
<i>Rodentia</i>	1	1	1
	NR		
Indeterminado	17		

Tabla. Análisis cuantitativo de los restos de la Procedencia 1 del Cateo 7-9.

Especie	NISP	CR	AX	EA	EP	EX	IND
<i>Rodentia</i>	1			1			
	NR						
Indeterminado	17						17

Tabla. Distribución anatómica de los restos de la Procedencia 1 del Cateo 7-9.

Especie	NISP	IND
<i>Rodentia</i>	1	1

Tabla. Edades relativas de los restos de la Procedencia 1 del Cateo 7-9.

Especie	NISP	Fracturas
<i>Rodentia</i>	1	1

Tabla. Alteraciones antrópicas de los restos de la Procedencia 1 del Cateo 7-9.

En la Procedencia 1 asociado con el primer depósito existen un total de 18 restos de los cuales solo se asocia 1 con extremidad anterior de roedor, el cual se encuentra fracturado.

Procedencia 2 (Nivel 2): NR 23

Especie	NISP	NME	NMI
<i>Odocoileus virginianus</i>	1	1	1
<i>Rodentia</i>	1	1	1
Mamífero Medio	10	5	1
Mamífero Pequeño	2	1	1
	NR		
Indeterminado	9		

Tabla. Análisis cuantitativo de los restos de la Procedencia 2 del Cateo 7-9.

Especie	NISP	CR	AX	EA	EP	EX	IND
<i>Odocoileus virginianus</i>	1				1		
<i>Rodentia</i>	1				1		
Mamífero Medio	10		3			2	5
Mamífero Pequeño	2				1	1	
	NR						
Indeterminado	9						

Tabla. Distribución anatómica de los restos de la Procedencia 2 del Cateo 7-9.

Especie	NISP	Fracturas	Termoalteración
Mamífero Medio	10	4	1 (N) 1 (BN)
Mamífero Pequeño	2	1	1 (N)
	NR		
Indeterminado	9	7	2(N) 1 (BN)

Tabla. Alteraciones antrópicas de los restos de la Procedencia 2 del Cateo 7-9.

23 restos en la Procedencia 2, asociados con 1 venador, 1 roedor, 1 mamífero medio y otro pequeño. Prácticamente la mitad de la muestra se encuentra fracturada y en todos ellos existen restos quemados entre negro y su transición al blanco.

Rasgos

Rasgo 2, Procedencia 4 (Niveles 2,3,4,5): NR 187

Especie	NISP	NME	NMI
<i>Odocoileus virginianus</i>	10	10	1
<i>Rodentia</i>	13	12	1
Mamífero Medio	36	11	1
Mamífero Pequeño	9	2	1
	NR		
Indeterminado	119		

Tabla. Análisis cuantitativo de los restos del Rasgo 2 de la Procedencia 4 del Cateo 7-9.

Especie	NISP	CR	AX	EA	EP	EX	IND
<i>Odocoileus virginianus</i>	10	1	2		1	6	
<i>Rodentia</i>	13	3	1	4	2	3	
Mamífero Medio	36		3	1		12	20
Mamífero Pequeño	9					2	7
	NR						
Indeterminado	119						

Tabla. Distribución anatómica de los restos del Rasgo 2 de la Procedencia 4 del Cateo 7-9.

Especie	NMI	AD	IND
<i>Odocoileus virginianus</i>	1	1	
<i>Rodentia</i>	1	1	
Mamífero Medio	1	1	
Mamífero Pequeño	1		1

Tabla. Edades relativas de los restos del Rasgo 2 de la Procedencia 4 del Cateo 7-9.



Especie	NISP	Fracturas	Impactos	Cortes	Termoalteración
<i>Odocoileus virginianus</i>	10	1			
<i>Rodentia</i>	13	7			1 (MN)
Mamífero Medio	36	31	1		1 (B)
Mamífero Pequeño	9	8			
	NR				
Indeterminado	119	31			2 (MN)

Tabla. Alteraciones antrópicas de los restos del Rasgo 2 de la Procedencia 4 del Cateo 7-9.



Imagen. Resto de mamífero medio fracturado y con evidencias de percusión.

En el Rasgo 2, Procedencia 4, 187 restos. 1 venado, 1 roedor, 1 mamífero medio y otro pequeño, todos adultos salvo este último que no se pudo determinar. Alta fracturación de los restos y en uno correspondiente a mamífero medio se observa impacto. Quemados en un resto de roedor, mamífero medio y dos de los indeterminados con coloraciones marrón, negro y blanco.

Rasgo 3, Procedencia 5 (Niveles 3,6): NR 77

Especie	NISP	NME	NMI
<i>Rodentia</i>	8	8	1
Mamífero Medio	25	7	1
Mamífero Pequeño	1	1	1
	NR		
Indeterminado	43		

Tabla. Análisis cuantitativo de los restos del Rasgo 3 de la Procedencia 5 del Cateo 7-9.

Especie	NISP	CR	AX	EA	EP	EX	IND
<i>Rodentia</i>	8	3		2	2	1	
Mamífero Medio	25			2		5	19
Mamífero Pequeño	1		1				
	NR						
Indeterminado	43						

Tabla. Distribución anatómica de los restos del Rasgo 3 de la Procedencia 5 del Cateo 7-9.

Especie	NMI	AD	JUV	INF
<i>Rodentia</i>	1	1		
Mamífero Medio	1			1
Mamífero Pequeño	1		1	

Tabla. Edades relativas de los restos del Rasgo 3 de la Procedencia 5 del Cateo 7-9.

Especie	NISP	Fracturas	Termoalteración
<i>Rodentia</i>	8	1	
Mamífero Medio	25	22	3 (N)
	NR		
Indeterminado	43	15	2 (N)

Tabla. Alteraciones antrópicas de los restos del Rasgo 3 de la Procedencia 5 del Cateo 7-9.

77 restos en el Rasgo 3, Procedencia 5, relacionados con 1 roedor adulto, 1 mamífero medio indeterminado y otro pequeño juvenil. La práctica totalidad de los restos de mamífero medio se encuentran fracturados, mientras que solo 1 de roedor y 15 de indeterminados. 5 restos quemados de color negro.

Cateo 12 (NR: 376)

Este cateo se encuentra en el terreno del señor Víctor Morales entre los cortes 2 y 3. En él se encontraron 376 restos.

Depósito 1

Procedencia 1 (Niveles 2): NR 1

Especie	NISP	NME	NMI
Mamífero Medio	1	1	1

Tabla. Análisis cuantitativo de los restos de la Procedencia 1 del Cateo 12.

Especie	NISP	CR	AX	EA	EP	EX	IND
Mamífero Medio	1						1

Tabla. Distribución anatómica de los restos de la Procedencia 1 del Cateo 12.

Especie	NISP	Fracturas	Cortes
Mamífero Medio	1	1	1

Tabla. Alteraciones antrópicas de los restos de la Procedencia 1 del Cateo 12.

Especie	NISP	Disolución	Abrasión	Pulido	Presión
Mamífero Medio	1	1	1	1	1

Tabla. Alteraciones naturales de los restos de la Procedencia 1 del Cateo 12.

En la Procedencia 1 asociada al Depósito 1 solo un resto asociado a mamífero medio con fractura y corte, además de sufrir los efectos del agua y la presión.

Depósito 2

Procedencia 6 (Niveles 4): NR 10

Especie	NISP	NME	NMI
<i>Odocoileus virginianus</i>	1	1	1
<i>Rodentia</i>	2	2	1
Mamífero Medio	7	1	1

Tabla. Análisis cuantitativo de los restos de la Procedencia 6 del Cateo 12.

Especie	NISP	CR	AX	EA	EP	EX	IND
<i>Odocoileus virginianus</i>	1					1	
<i>Rodentia</i>	2	1			1		
Mamífero Medio	7						7

Tabla. Distribución anatómica de los restos de la Procedencia 6 del Cateo 12.

Especie	NMI	AD	IND
<i>Odocoileus virginianus</i>	1	1	
<i>Rodentia</i>	1	1	
Mamífero Medio	1		1

Tabla. Edades relativas de los restos de la Procedencia 6 del Cateo 12.

Especie	NISP	Fracturas	Termoalteración
<i>Odocoileus virginianus</i>	1		1 (MN)
<i>Rodentia</i>	2	1	

Tabla. Alteraciones antrópicas de los restos de la Procedencia 6 del Cateo 12.

Especie	NISP	Carnívoros
Mamífero Medio	7	1

Tabla. Alteraciones naturales de los restos de la Procedencia 6 del Cateo 12.

En la Procedencia 6 un total de 10 restos, asociados a 1 venado, 1 roedor ambos adultos y 1 mamífero medio indeterminado. Un resto de venado se encuentra quemado levemente y mordisqueado por carnívoros mientras que uno de roedor está fracturado.

Procedencia 9 (Niveles 5,6): NR 88

Especie	NISP	NME	NMI
<i>Odocoileus virginianus</i>	3	1	1
<i>Rodentia</i>	4	4	1
<i>Felidae</i>	2	2	1
Mamífero Medio	9	1	1
	NR		
Indeterminado	70		

Tabla. Análisis cuantitativo de los restos de la Procedencia 9 del Cateo 12.

Especie	NISP	CR	AX	EA	EP	EX	IND
<i>Odocoileus virginianus</i>	3					3	
<i>Rodentia</i>	4			3	1		
<i>Felidae</i>	2	2					
Mamífero Medio	9		3			4	2
	NR						
Indeterminado	70						70

Tabla. Distribución anatómica de los restos de la Procedencia 9 del Cateo 12.

Especie	NMI	AD	JUV	IND
<i>Odocoileus virginianus</i>	1		1	
<i>Rodentia</i>	1	1		
<i>Felidae</i>	1			1
Mamífero Medio	1		1	

Tabla. Edades relativas de los restos de la Procedencia 9 del Cateo 12.

Especie	NISP	Fracturas	Cortes	Termoalteración
<i>Rodentia</i>	4	2		1 (M)
Mamífero Medio	9	5	3	2 (MN)
	NR			
Indeterminado	70	5		2 (N)

Tabla. Alteraciones antrópicas de los restos de la Procedencia 9 del Cateo 12.

Especie	NISP	Vermiculación
<i>Felidae</i>	1	1

Tabla. Alteraciones naturales de los restos de la Procedencia 9 del Cateo 12.

88 restos en la Procedencia 9, divididos entre 1 venado juvenil, 1 roedor adulto, 1 felino indeterminado y 1 mamífero medio juvenil. Los restos de roedor y de mamífero medio, así como alguno indeterminados presentan fracturas y quemados, aunque solo los de mamífero de talla media evidencian cortes. El felino por su parte presenta acción de raíces.

Rasgos

Rasgo 1, Procedencia 10 (Niveles 6,7): NR 51

Especie	NISP	NME	NMI
<i>1</i>	1	1	1
<i>Rodentia</i>	3	3	1
Mamífero Medio	39	1	1
Mamífero Pequeño	8	1	1

Tabla. Análisis cuantitativo de los restos del Rasgo 1 de la Procedencia 10 del Cateo 12.

Especie	NISP	CR	AX	EA	EP	EX	IND
<i>Syvilagus brasiliensis</i>	1		1				
<i>Rodentia</i>	3	1			2		
Mamífero Medio	39		18	3		8	10
Mamífero Pequeño	8					2	6

Tabla. Distribución anatómica de los restos del Rasgo 1 de la Procedencia 10 del Cateo 12.

Especie	NISP	AD	JUV	IND
<i>Syvilagus brasiliensis</i>	1	1		
<i>Rodentia</i>	1	1		
Mamífero Medio	1		1	
Mamífero Pequeño	1			1

Tabla. Edades relativas de los restos del Rasgo 1 de la Procedencia 10 del Cateo 12.

Especie	NISP	Fracturas	Termoalteración
<i>Rodentia</i>	3		1 (M)
Mamífero Medio	39	8	17 (M)
Mamífero Pequeño	8	2	

Tabla. Alteraciones antrópicas de los restos del Rasgo 1 de la Procedencia 10 del Cateo 12.

Especie	NISP	Disolución	Abrasión
Mamífero Medio	39	4	4

Tabla. Alteraciones naturales de los restos del Rasgo 1 de la Procedencia 10 del Cateo 12.

El Rasgo 1 Procedencia 10 cuenta con 51 restos, de los cuales 1 de conejo adulto, 1 roedor adulto, 1 mamífero medio juvenil y 1 pequeño indeterminado. Los quemados se presentan de color marrón sobre un resto de roedor y 17 de mamífero, estando fracturados 8 de ellos y 2 mamífero pequeño. Los efectos del agua se evidencian en 4 restos de mamífero medio.

Rasgo 1, Procedencia 12 (Niveles 8,9): NR 35

Especie	NISP	NME	NMI
<i>Odocoileus virginianus</i>	1	1	1
<i>Rodentia</i>	3	2	1
Mamífero Medio	8	¿?	1
Mamífero Pequeño	18	¿?	1
	NR		
Indeterminado	5		

Tabla. Análisis cuantitativo de los restos del Rasgo 1 de la Procedencia 12 del Cateo 12.

Especie	NISP	CR	AX	EA	EP	EX	IND
<i>Odocoileus virginianus</i>	1	1					
<i>Rodentia</i>	3	2	1				
Mamífero Medio	8		6			2	
Mamífero Pequeño	18		2			16	
	NR						
Indeterminado	5						5

Tabla. Distribución anatómica de los restos del Rasgo 1 de la Procedencia 12 del Cateo 12.

Especie	NMI	AD	IND
<i>Odocoileus virginianus</i>	1		1
<i>Rodentia</i>	1	1	
Mamífero Medio	1		1
Mamífero Pequeño	1		1

Tabla. Edades relativas de los restos del Rasgo 1 de la Procedencia 12 del Cateo 12.

Especie	NISP	Fracturas	Termoalteración
Mamífero Medio	8	1	1 (MN)
Mamífero Pequeño	18		1 (M)

Tabla. Alteraciones antrópicas de los restos del Rasgo 1 de la Procedencia 12 del Cateo 12.

Un total de 35 restos se contabilizan en el Rasgo 1 Procedencia 12. Se relacionan con 1 venado indeterminado, 1 roedor adulto, y 1 mamífero medio y otro pequeño también indeterminado. Solo un resto de mamífero medio fractura y 1 quemado marrón negro, y otro marrón de mamífero pequeño.

Rasgo 1, Procedencia 16 (Nivel 10): NR 37

Especie	NISP	NME	NMI
<i>Rodentia</i>	2	2	1
Mamífero Medio	9	¿?	1
	NR		
Indeterminado	26		

Tabla. Análisis cuantitativo de los restos del Rasgo 1 de la Procedencia 16 del Cateo 12.

Especie	NISP	CR	AX	EA	EP	EX	IND
<i>Rodentia</i>	2			2			
Mamífero Medio	9		5	2		2	
	NR						
Indeterminado	26						

Tabla. Distribución anatómica de los restos del Rasgo 1 de la Procedencia 16 del Cateo 12.



Especie	NMI	AD
<i>Rodentia</i>	1	1
Mamífero Medio	1	1

Tabla. Edades relativas de los restos del Rasgo 1 de la Procedencia 16 del Cateo 12.

Especie	NISP	Fracturas	Termoalteración
<i>Rodentia</i>	2		1 (M)
Mamífero Medio	9	2	
	NR		
Indeterminado	26		25 (M)

Tabla. Alteraciones antrópicas de los restos del Rasgo 1 de la Procedencia 16 del Cateo 12.

Especie	NISP	Disolución	Abrasión	Presión
Mamífero Medio	9	1	1	1

Tabla. Alteraciones naturales de los restos del Rasgo 1 de la Procedencia 16 del Cateo 12.

En el Rasgo 1 Procedencia 16, 37 restos relacionados con 1 roedor y un mamífero medio adulto. Quemados se hayan 1 resto de roedor y 25 de los indeterminados y solo 2 fracturas en los restos de mamífero medio. Sobre un resto de mamífero medio se aprecia la acción del agua.

Rasgo 1, Procedencia 17 (Niveles 10,11,12): NR 66

Especie	NISP	NME	NMI
<i>Odocoileus virginianus</i>	2	2	1
<i>Sylvilagus brasiliensis</i>	2	2	1
<i>Rodentia</i>	14	1	1
<i>Rodentia mmp</i>	1	1	1
Ave m.	1	1	1
Ave. p.	4	4	1
Mamífero Medio	21	1	1
Mamífero Pequeño	21	1	1

Tabla. Análisis cuantitativo de los restos del Rasgo 1 de la Procedencia 17 del Cateo 12.

Especie	NISP	CR	AX	EA	EP	EX	IND
<i>Odocoileus virginianus</i>	2				1	1	
<i>Sylvilagus brasiliensis</i>	2		2				
<i>Rodentia</i>	14	4	1	3	5	1	
<i>Rodentia mmp</i>	1	1					
Ave m.	1		1				
Ave. p.	4		2			2	
Mamífero Medio	21	1	7		2	8	3
Mamífero Pequeño	21	1	1	1	1	6	11

Tabla. Distribución anatómica de los restos del Rasgo 1 de la Procedencia 17 del Cateo 12.

Especie	NMI	AD	JUV	IND
<i>Odocoileus virginianus</i>	1	1		
<i>Sylvilagus brasiliensis</i>	1			1
<i>Rodentia</i>	1	1		
<i>Rodentia mmp</i>	1			1
Ave m.	1			1
Ave. p.	1			1
Mamífero Medio	1		1	
Mamífero Pequeño	1	1		

Tabla. Edades relativas de los restos del Rasgo 1 de la Procedencia 17 del Cateo 12.

Especie	NISP	Fracturas	Impactos	Cortes	Termoalteración
<i>Sylvilagus brasiliensis</i>	2	2			1 (B)
<i>Rodentia</i>	14	1			1 (M) 1 (N)
Ave. p.	4	1			
Mamífero Medio	21	9	2	2	1 (MN) 1 (N)
Mamífero Pequeño	21	2		2	1 (MN) 1 (N) 1(G) 1(B)

Tabla. Alteraciones antrópicas de los restos del Rasgo 1 de la Procedencia 17 del Cateo 12.

66 restos en el Rasgo 1 Procedencia 17 asociados con 1 venado adulto, 1 roedor adulto, un mamífero medio juvenil un mamífero pequeño adulto y sin determinar la edad 1 conejo, 1 roedor muy pequeño, 1 ave media y otra pequeña. El conejo, el roedor pequeño, el ave pequeña y los mamíferos medio y pequeño presentan fracturas, igualmente todos ellos quemados salvo el ave pequeña y además 2 restos de mamífero medio presentan percusión y otros tantos cortes.

Rasgo 1, Procedencia 18 (Nivel 12): NR 3

Especie	NISP	NME	NMI
Ave m.	1	1	1
Mamífero Medio	1	1	1
	NR		
Indeterminado	1		

Tabla. Análisis cuantitativo de los restos del Rasgo 1 de la Procedencia 18 del Cateo 12.

Especie	NISP	CR	AX	EA	EP	EX	IND
Ave m.	1		1				
Mamífero Medio	1		1				
	NR						
Indeterminado	1						

Tabla. Distribución anatómica de los restos del Rasgo 1 de la Procedencia 18 del Cateo 12.

Especie	NISP	Fracturas	Pulido	Cortes
Mamífero Medio	1	1	1	1

Tabla. Alteraciones antrópicas de los restos del Rasgo 1 de la Procedencia 18 del Cateo 12.

El Rasgo 1 Procedencia 18 cuenta con 3 restos asociados a ave y mamífero medios. Un resto de mamífero medio se encuentra fracturado, pulido y con cortes.

Rasgo 1, Procedencia 19 (Nivel 13): NR 77

Especie	NISP	NME	NMI
<i>Odocoileus virginianus</i>	2	2	1
<i>Rodentia</i>	20	20	1
<i>Rodentia mmp.</i>	5	5	1
Ave m.	5	3	1
Ave p.	1	1	1
Mamífero Medio	20	2	2
Mamífero Pequeño	20	1	1
	NR		
Indeterminado	4		

Tabla. Análisis cuantitativo de los restos del Rasgo 1 de la Procedencia 19 del Cateo 12.

Especie	NISP	CR	AX	EA	EP	EX	IND
<i>Odocoileus virginianus</i>	2		2				
<i>Rodentia</i>	20	14	3	3			
<i>Rodentia mmp.</i>	5	5					
Ave m.	5			2		3	
Ave p.	1			1			
Mamífero Medio	20		10		1		9
Mamífero Pequeño	20		4		1	1	14
	NR						
Indeterminado	4						

Tabla. Distribución anatómica de los restos del Rasgo 1 de la Procedencia 19 del Cateo 12.

Especie	NMI	AD	SUB	JUV	INF	IND
<i>Odocoileus virginianus</i>	1			1		
<i>Rodentia</i>	1	1				
<i>Rodentia mmp.</i>	1				1	
Ave m.	1	1				
Ave p.	1					1
Mamífero Medio	2	1	1			
Mamífero Pequeño	1					1

Tabla. Edades relativas de los restos del Rasgo 1 de la Procedencia 19 del Cateo 12.

Especie	NISP	Fracturas	Cortes	Termoalteración
<i>Rodentia</i>	20	1		
Ave m.	5	2		
Mamífero Medio	20	8	2	1 (B)
Mamífero Pequeño	20	6		2 (M) 3 (N)

Tabla. Alteraciones antrópicas de los restos del Rasgo 1 de la Procedencia 19 del Cateo 12.

Especie	NISP	Carnívoros	Presión
Ave m.	5	1	
Mamífero Medio	20	1	

Tabla. Alteraciones naturales de los restos del Rasgo 1 de la Procedencia 19 del Cateo 12.

77 restos en el Rasgo 1 Procedencia 19 relacionados con 1 venado juvenil, 1 roedor adulto, 1 roedor muy pequeño infantil, 1 ave de talla media adulta y otra pequeña sin definir, 2 mamíferos medios de los cuales 1 adulto y 1 subadulto y 1 mamífero pequeño sin determinar. Tanto los roedores, como las aves de talla media, como los mamíferos medios y pequeños presentan fracturas, quemados en estos dos últimos y cortes solo 2 restos de mamífero medio. En cuanto a las alteraciones naturales se evidencian carnívoros en un resto de ave media y en otro de mamífero medio.

Rasgo 2 Procedencia 13 (Nivel 8): NR 1

Especie	NISP	NME	NMI
Mamífero Pequeño	1	1	1

Tabla. Análisis cuantitativo de los restos del Rasgo 2 de la Procedencia 13 del Cateo 12.

Especie	NISP	CR	AX	EA	EP	EX	IND
Mamífero Pequeño	1	1					

Tabla. Distribución anatómica de los restos del Rasgo 2 de la Procedencia 13 del Cateo 12.

Solo un resto de mamífero pequeño en este Rasgo.

Rasgo 2 Procedencia 15 (Nivel 9): NR 1

Especie	NISP	NME	NMI
<i>Rodentia</i>	1	1	1

Tabla. Análisis cuantitativo de los restos del Rasgo 2 de la Procedencia 15 del Cateo 12.

Especie	NISP	CR	AX	EA	EP	EX	IND
<i>Rodentia</i>	1				1		

Tabla. Distribución anatómica de los restos del Rasgo 2 de la Procedencia 15 del Cateo 12.

Especie	NISP	Termoalteración
<i>Rodentia</i>	1	1 (M)

Tabla. Alteraciones antrópicas de los restos del Rasgo 2 de la Procedencia 15 del Cateo 12.

Un resto de extremidad posterior de roedor quemado de color marrón.

Rasgo 3, Procedencia 14 (Nivel 10): NR 5

Especie	NISP	NME	NMI
Mamífero Medio	2	1	1
Mamífero Pequeño	3	1	1

Tabla. Análisis cuantitativo de los restos del Rasgo 3 de la Procedencia 14 del Cateo 12.

Especie	NISP	CR	AX	EA	EP	EX	IND
Mamífero Medio	2					2	
Mamífero Pequeño	3	3					

Tabla. Distribución anatómica de los restos del Rasgo 3 de la Procedencia 14 del Cateo 12.

En esta Procedencia 2 restos de extremidades de mamífero medio y 3 restos craneales de mamífero pequeño.

Rasgo 3, Procedencia 19 (Nivel 8): NR 1

Especie	NISP	NME	NMI
Mamífero Medio	1	1	1

Tabla. Análisis cuantitativo de los restos del Rasgo 3 de la Procedencia 19 del Cateo 12.

Especie	NISP	CR	AX	EA	EP	EX	IND
Mamífero Medio	1					1	

Tabla. Distribución anatómica de los restos del Rasgo 3 de la Procedencia 19 del Cateo 12.

Especie	NISP	Fracturas	Termoalteración
Mamífero Medio	1	1	1 (M)

Tabla. Alteraciones antrópicas de los restos del Rasgo 3 de la Procedencia 19 del Cateo 12.

Tan solo 1 resto de extremidad de mamífero medio quemado de color marrón.

Cateo 13 (NR 5)

Situado en sobre la calle Manuela Cañizares, próximo al Corte 2. Se cuantificación 5 restos.

Depósito 1

Procedencia 1 (Nivel 2): NR 5

Especie	NISP	NME	NMI
Mamífero Medio	5	2	1

Tabla. Análisis cuantitativo de los restos de la Procedencia 1 del Cateo 13.

Especie	NISP	CR	AX	EA	EP	EX	IND
Mamífero Medio	5	2					3

Tabla. Distribución anatómica de los restos de la Procedencia 1 del Cateo 13.

Especie	NISP	Disolución	Abrasión
Mamífero Medio	5	5	5

Tabla. Alteraciones naturales de los restos de la Procedencia 1 del Cateo 13.

5 restos de mamífero medio afectados por la acción del agua.

a. Resultados e interpretación.

Una vez analizada la muestra correspondiente a los 3 cortes excavados, así como a los diferentes cateos donde se han hallado los diferentes restos fáunicos, organizados de acuerdo con su presencia en los diferentes depósitos, rasgos y procedencias, se ha llegado a una serie de conclusiones que paso a desarrollar.

Existen diferencias evidentes entre la cantidad de materiales hallados en los rasgos frente a los diferentes depósitos, siendo mayor en los primeros. Además, en los cortes 2 y 3 y el cateo 12, es evidente una menor alteración en los niveles superficiales, así como una mayor presencia de materiales antiguos mezclados con modernos, en contraposición a aquellas zonas de excavación ubicadas en la calle principalmente elementos recientes, lo que muestra una alteración mucho menor en esos espacios.

Entre las especies presentes destacamos la presencia de venado de cola blanco, conejo, tres especies de roedores, dos de tamaño pequeño y uno muy pequeño, así como aves de diferente porte y cuyos restos son escasos, y reptiles y carnívoros testimoniales, a excepción de cinco gatos infantiles modernos completos presentes en el pozo del corte 3.

Gran parte de los restos se han definido a través de la talla, pudiendo asociarse los restos no identificados a nivel de especie, pero sí con un tamaño medio, con venado, y los correspondientes a mamíferos pequeños y muy pequeños posiblemente asociados a roedores, siendo respaldada tal afirmación por el análisis cuantitativo relacionado con las edades de los individuos presentes concordando, por ejemplo, el NMI de venado y tallas medias con el desarrollo anatómico de los restos.

Todas se tratarían de especies más relacionadas con la caza que con la existencia de espacios domésticos.

En cuanto al tema cuantitativo, si bien muchas veces nos encontramos con un mayor número de restos asociados a roedor frente a venado o mamíferos de talla media, en el momento de llevar a cabo el conteo del NMI este resulta ser similar, lo cual se debe a que muchos de estos roedores no han sido elementos de consumo, sino que las causas de su muerte posiblemente sean naturales, hallándose la mayor parte de sus restos en acumulaciones.

Además, no se puede obviar que, a un mismo número de individuos entre roedor y venado, el mayor aporte energético, y por ello principal elemento de consumo, sería el del segundo por su mayor tamaño. También se debe mencionar que la tasa de fragmentación de los roedores es mucho menor que la de los venados, con lo cual, el procesado para consumo de estos es mucho más evidente, siendo representados todos los grupos anatómicos en la muestra, aunque mayoritariamente las extremidades, con lo que se podría afirmar que, si bien si existe presencia de animales enteros para consumo en el lugar, hay mayor preferencia por las patas, sin diferenciar entre edades de la presa a excepción de recién nacidos que no se encuentran presentes. A nivel de sexo solo podemos mencionar que se han identificado machos por la presencia de astas.

En relación con las alteraciones de carácter antrópico sí se evidencian fracturas en fresco en los huesos, pero no es tal la cantidad para poder afirmar que el lugar estuviera destinado a un procesado y consumo intensivo de la fauna. De igual manera, los cortes presentes en venado y



aves son escasos, al igual que las percusiones. En cuanto a los quemados, son escasos igualmente, de diferente intensidad, desde marrones pasando por diferentes estadios hasta alcanzar el blanco de la calcinación, lo que implica la posibilidad de alcanzar altas temperaturas que puedan estar asociadas al desarrollo cerámico, pero dada la escasa presencia en relación con la muestra total se afirma una vez más que no se está dando una alteración para consumo muy intensiva sobre los restos.

Cabe mencionar el número reseñable de astas de venado presentes en los diferentes espacios, entre los que se ha podido evidenciar alteraciones como pulidos para posiblemente realizar diferentes manufacturas.

En cuanto a las alteraciones naturales se han identificado escasas marcas de carnívoros en los restos, pero sí abundantes ejemplos de la acción del agua y la presión del sedimento, concentrados estos en los niveles superiores, principalmente asociados al Depósito 1, lo que parece indicar que los huesos más modernos han estado expuesto a la intemperie, al igual que a la presión de elementos como vehículos que circulan por las calles o tractores en la finca siendo menos evidente en esta última, mientras que los huesos correspondientes a los Depósitos 2 y 3, especialmente en niveles alejados de la superficie actual, parecería que al ser depositados han sido simultáneamente cubiertos por tierra, suponiendo con ello, que en gran medida fueron empleados en el relleno de los pozos.

#### Análisis Fase II de Llano Chico

Se ha analizado un total de 473 restos fáunicos correspondientes a los Cortes 1 y 2 y a los tramos excavados en las calles Manuela Sáenz y Manuela Cañizares, de los cuales se ha podido identificar a nivel de especie, orden o tamaño a prácticamente el total de la muestra. Como se puede apreciar a continuación, los datos expuestos se dividen por zonas de excavación, depósitos, rasgos y procedencias.

Se han generado diferentes tablas de cuantificación, distribución de grupos anatómicos, edades, sexo, alteraciones de carácter antrópico y natural, que permiten una mejor comprensión de los datos extraídos de la muestra.



Imagen . Identificación del material en el laboratorio de Rumipamba.

### Zona de excavación: Corte 1A (NR 25)

Del espacio excavado denominado 1A se han localizado un total de 25 restos pertenecientes a las procedencias 4 y 7, que se corresponden a los depósitos 1A y 3. La procedencia 7 pertenece al Rasgo 6.

Procedencia CO-1A-004

- Depósito 1A

Especie	NR	NME	NMI
Indeterminado	24	1	1

Tabla. Distribución de los restos de la Procedencia CO-1A-004.

Especie	NR	Coloración
Indeterminado	24	24 (AM)

Tabla. Alteraciones antrópicas de los restos de la Procedencia CO-1A-004.

Rasgo 6

- Depósito 3
  - o Procedencia CO-1A-007

Especie	NISP	NME	NMI
ROD	1	1	1

Tabla. Distribución de los restos de la Procedencia CO-1A-007 del Rasgo 6.

Especie	NISP	EP
ROD	1	1

Tabla. Distribución anatómica de los restos de la Procedencia CO-1A-007 del Rasgo 6.

Especie	NMI	AD
<i>Rodentia</i>	1	1

Tabla. Edades relativas de los restos de la Procedencia CO-1A-007 del Rasgo 6.

Especie	NR	Coloración
Indeterminado	1	1 (M)

Tabla. Alteraciones antrópicas de los restos de la Procedencia CO-1A-007 del Rasgo 6.

La zona de excavación CO-1A cuenta con 25 restos, de los cuales 24 corresponden con la Procedencia 4 del Depósito 1A. Estos restos se encuentran muy fragmentados con una media de 1 cm de longitud, que no permiten su identificación ni anatómica ni taxonómica. Podemos mencionar que su coloración es amarilla, pero sin poder precisar si esta coloración se pueda deber a alteraciones de carácter antrópico. Por otro lado, en el Rasgo 6 – Procedencia 7, pese a haber aparecido un único resto, este pertenece a una tibia izquierda de roedor no determinado asociada a un individuo adulto. Su coloración es más oscura que la de los otros restos, y sí podría tratarse de una termoalteración leve de carácter antrópico.

Zona de excavación: Corte 1B (NR 9)

Procedencia CO-1B-002

- Depósito de Superficie

Especie	NISP	NME	NMI
MG	1	1	1

Tabla. Distribución de los restos de la Procedencia CO-1B-002.

Especie	NISP	AX
MG	1	1

Tabla. Distribución anatómica de los restos de la Procedencia Procedencia CO-1B-002.

Especie	NISP	Trazas	Disolución
MG	1	1	1

Tabla. Alteraciones de los restos de la Procedencia CO-1B-002.

Rasgo 4

- Depósito 2
  - o Procedencia CO-1B-008

Especie	NISP	NME	NMI
MM	6	1	1

Tabla. Distribución de los restos de la Procedencia CO-1B-008 del Rasgo 4.

Especie	NISP	AX
MM	6	6

Tabla. Distribución anatómica de los restos de la Procedencia CO-1B-008 del Rasgo 4.

Especie	NMI	AD
MM	1	1

Tabla. Edades relativas de los restos de la Procedencia CO-1B-008 del Rasgo 4.

Especie	NISP	Termoalteración	Vermiculaciones
MM	6	6 (M)	6

Tabla. Alteraciones de los restos de la Procedencia CO-1B-008 del Rasgo 4.

○ Procedencia CO-1B-009

Especie	NISP	NME	NMI
MM	2	1	1

Tabla. Distribución de los restos de la Procedencia CO-1B-009 del Rasgo 4.

Especie	NISP	AX
MM	2	2

Tabla. Distribución anatómica de los restos de la Procedencia CO-1B-009 del Rasgo 4.

Especie	NMI	AD
MM	1	1

Tabla. Edades relativas de los restos de la Procedencia CO-1B-009 del Rasgo 4.

Especie	NISP	Termoalteración	Vermiculaciones
MM	2	2 (N)	2

Tabla. Alteraciones de los restos de la Procedencia CO-1B-009 del Rasgo 4.

Especie	NISP	NME	NMI
MM	8	2	2

Tabla. Distribución taxomómica del Rasgo 4.

Especie	NISP	AX
MM	8	8

Tabla. Distribución anatómica del Rasgo 4.

Especie	NMI	AD
MM	2	2

Tabla. Distribución de edades relativas del Rasgo 4.

Especie	NISP	Termoalteración	Vermiculaciones
MM	8	6 (M) 2 (N)	8

Tabla. Alteraciones tafonómicas del Rasgo 4.

En el Corte 1B se han encontrado un total de 9 restos. En el correspondiente a la procedencia CO-1B-002 encontramos un resto de costilla de unos 6 cm de largo, asociado con un mamífero grande moderno. Se evidencian marcas de cortes, así como la acción del agua sobre el hueso. Mientras que en el Rasgo 4, asociado al depósito 2, con las procedencias 8 y 9 se encuentran restos de vértebras torácicas fácilmente asociables con dos mamíferos adultos de talla media. Sufren de la acción de raíces y de termoalteraciones, siendo más aguda la acción del fuego sobre las más profundas.

Zona de excavación: Corte 1C (NR 151)

En la zona de excavación denominada Corte 1C se han contabilizado 151 restos que se encuentra divididos entre la procedencia 2 asociada al depósito 1A y a las procedencias 4,5 y 6 del Rasgo 7.

Procedencia CO-1C-002

- Depósito 1A

Especie	NISP	NME	NMI
CARNIVORO	1	1	1

Tabla. Distribución de los restos de la Procedencia CO-1C-002.

Especie	NISP	CR
CARNIVORO	1	1

Tabla. Distribución anatómica de los restos de la Procedencia Procedencia CO-1C-002.

Especie	NMI	AD
CARNÍVORO	1	1

Tabla. Edades relativas de los restos de la Procedencia CO-1C-002.

En la procedencia 2 aparece un resto de carnívoro, concretamente del grupo craneal y que pertenece a un adulto.

## Rasgo 7

### - Depósito 2

#### ○ Procedencia CO-1C-004

Especie	NISP	NME	NMI
MM	26	1	1
MP	18	1	1
ROD	98	2	2

Tabla. Distribución de los restos de la Procedencia CO-1C-004 del Rasgo 7.

Especie	NISP	CR	EA	EX	IND
MM	26			1	25
MP	18				18
ROD	98	95	2		

Tabla. Distribución anatómica de los restos de la Procedencia CO-1C-004 del Rasgo 7.

Especie	NMI	AD	IND
MM	1		1
MP	1		1
ROD	2	2	

Tabla. Edades relativas de los restos de la Procedencia CO-1C-004 del Rasgo 7.

Especie	NISP	Disolución
MP	1	18

Tabla. Alteraciones de los restos de la CO-1C-004 del Rasgo 7.

La procedencia 4 del rasgo 7 cuenta con una gran cantidad de material, principalmente relacionado con roedores, aunque es notoria el número de restos de mamíferos tanto medio como pequeño. Sin embargo, en el análisis taxonómico, este releva que sólo corresponderían a 2 roedores adultos, principalmente elementos craneales, 1 mamífero medio y otro pequeño indeterminado cuyos restos al encontrarse muy astillados no se puede evidenciar su asociación anatómica, aunque es muy probable que se relacionen con extremidades y huesos largos. En el mamífero medio se observan alteraciones por disolución.

#### ○ Procedencia CO-1C-005

Especie	NISP	NME	NMI
MM	1	1	1
MP	4	1	1
ROD	2	1	1

Tabla. Distribución de los restos de la Procedencia CO-1C-005 del Rasgo 7.

Especie	NISP	CR	EX
MM	1	1	
MP	4		4
ROD	2		2

Tabla. Distribución anatómica de los restos de la Procedencia CO-1C-005 del Rasgo 7.

Especie	NMI	AD	IND
MM	1	1	
MP	1		1
ROD	1		1

Tabla. Edades relativas de los restos de la Procedencia CO-1C-005 del Rasgo 7.

Especie	NISP	Disolución
MM	1	1
MP	4	4

Tabla. Alteraciones de los restos de la Procedencia CO-1C-005 del Rasgo 7.

En la procedencia 5 se observan los restos de 3 animales, 1 roedor (extremidades), 1 mamífero medio adulto (elemento craneal) y otro pequeño (extremidades), estos dos últimos con evidencias de alteración por disolución.

- Procedencia CO-1C-006

Especie	NISP	NME	NMI
ROD	1	1	1

Tabla. Distribución de los restos de la Procedencia CO-1C-006 del Rasgo 7.

Especie	NISP	EP
ROD	1	1

Tabla. Distribución anatómica de los restos de la Procedencia CO-1C-006 del Rasgo 7..

Especie	NMI	AD
ROD	1	1

Tabla. Edades relativas de los restos de la Procedencia CO-1C-006 del Rasgo 7.

Especie	NISP	Disolución
ROD	1	1

Tabla. Alteraciones de los restos de la Procedencia CO-1C-006 del Rasgo 7.

En la procedencia siete solo está presente un resto de extremidad posterior de roedor adulto con evidencias de disolución.

Especie	NISP	NME	NMI
MM	27	2	2
MP	22	2	2
ROD	101	4	4

Tabla. Resumen taxonómico del Rasgo 7 del Corte 1C.

Especie	NISP	CR	EA	EP	EX	IND
MM	27	1			1	25
MP	22				4	18
ROD	101	95	2	1	2	

Tabla. Resumen anatómico del Rasgo 7 del Corte 1C.

Especie	NMI	AD	IND
MM	2	1	1
MP	2		2
ROD	4	3	1

Tabla. Resumen de edades del Rasgo 7 del Corte 1C.

Especie	NISP	Disolución
MM	1	1
MP	5	22
ROD	1	1

Tabla. Resumen tafonómico del Rasgo 7 del Corte 1C.

Zona de excavación: Corte 2A (NR 7)

Rasgo 4

- Depósito 2

o Procedencia CO-2A-006

Especie	NISP	NME	NMI
ROD	7	1	1

Tabla 50. Distribución de los restos de la Procedencia CO-2A-006 del Rasgo 4.

Especie	NISP	CR
ROD	7	7

Tabla 51. Distribución anatómica de los restos de la Procedencia CO-2A-006 del Rasgo 4.

Especie	NMI	IND
---------	-----	-----



ROD	1	1
-----	---	---

Tabla. Edades relativas de los restos de la Procedencia CO-2A-006 del Rasgo 4.

En la procedencia 6 del rasgo 4 del Corte 2A se han encontrado 7 restos craneales de roedor pertenecientes a un individuo indeterminado.

Zona de excavación: Corte 2C (NR 50)

Depósito 1A

- Procedencia CO-2C-002

Especie	NISP	NME	NMI
MP	45	1	1

Tabla. Distribución de los restos de la Procedencia CO-2A-006 del Rasgo 4.

Especie	NISP	EX
MP	45	45

Tabla. Distribución anatómica de los restos de la Procedencia CO-2A-006 del Rasgo 4.

Especie	NMI	IND
MP	1	1

Tabla. Edades relativas de los restos de la Procedencia CO-2A-006 del Rasgo 4.

La procedencia 2 del corte 2C asociada con el depósito 1A cuenta con 45 restos de mamíferos de talla pequeña, correspondientes a un solo individuo, con todos los materiales relacionados con extremidades y huesos largos más concretamente.

Rasgo 5

- Depósito 2
  - o Procedencia CO-2C-003

Especie	NISP	NME	NMI
MM	1	1	1
ROD	1	1	1

Tabla. Distribución de los restos de la Procedencia CO-2C-003 del Rasgo 5.

Especie	NISP	CR	AX
MM	1		1
ROD	1	1	

Tabla. Distribución anatómica de los restos de la Procedencia CO-2C-003 del Rasgo 5.

Especie	NMI	AD	IND
MM	1	1	
ROD	1		1

Tabla. Edades relativas de los restos de la Procedencia CO-2C-003 del Rasgo 5.

Especie	NISP	Termoalteración
ROD	1	1 (M)

Tabla. Alteraciones de los restos de la Procedencia CO-2C-003 del Rasgo 5.

La procedencia 3 del rasgo 5 del Corte 2C presenta solo 2 restos. Un resto axial de un mamífero de talla media adulto, y un elemento craneal de un roedor indeterminado que se encuentra termoalterado.

- Procedencia CO-2C-004

Especie	NISP	NME	NMI
ROD	1	1	1

Tabla. Distribución de los restos de la Procedencia CO-2C-004 del Rasgo 5.

Especie	NISP	EP
ROD	1	1

Tabla. Distribución anatómica de los restos de la Procedencia CO-2C-004 del Rasgo 5.

Especie	NMI	IND
ROD	1	1

Tabla. Edades relativas de los restos de la Procedencia CO-2C-004 del Rasgo 5.

Especie	NISP	Termoalteración
ROD	1	1 (M)

Tabla. Alteraciones de los restos de la Procedencia CO-2C-004 del Rasgo 5.

En esta procedencia 4 solo un resto de la extremidad posterior de un roedor indeterminado y termoalterado.

- Procedencia CO-2C-005

Especie	NISP	NME	NMI
ROD	1	1	1

Tabla. Distribución de los restos de la Procedencia CO-2C-005 del Rasgo 5.

Especie	NISP	EP
ROD	1	1

Tabla. Distribución anatómica de los restos de la Procedencia CO-2C-005 del Rasgo 5.

Especie	NMI	IND
ROD	1	1

Tabla. Edades relativas de los restos de la Procedencia CO-2C-005 del Rasgo 5.

Especie	NISP	Termoalteración
ROD	1	1 (M)

Tabla. Alteraciones de los restos de la Procedencia CO-2C-006 del Rasgo 5.

Igualmente, en esta procedencia 5 solo un resto de la extremidad posterior de un roedor indeterminado y termoalterado.

- Procedencia CO-2C-006

Especie	NISP	NME	NMI
ROD	1	1	1

Tabla. Distribución de los restos de la Procedencia CO-2C-006 del Rasgo 5.

Especie	NISP	EP
ROD	1	1

Tabla. Distribución anatómica de los restos de la Procedencia CO-2C-006 del Rasgo 5.

Especie	NMI	IND
ROD	1	1

Tabla. Edades relativas de los restos de la Procedencia CO-2C-006 del Rasgo 5.

Especie	NISP	Termoalteración
ROD	1	1 (M)

Tabla. Alteraciones de los restos de la Procedencia CO-2C-006 del Rasgo 5.

Y para cerrar el rasgo mismo datos que en las dos anteriores procedencias.

Especie	NISP	NME	NMI
MM	1	1	1
ROD	4	4	4

Tabla. Resumen taxonómico del Rasgo 5 del Corte 2C.

Especie	NISP	CR	AX	EP
MM	1		1	
ROD	4	1		3

Tabla. Resumen anatómico del Rasgo 5 del Corte 2C.

Especie	NMI	AD	IND
MM	1	1	
ROD	4		4

Tabla. Resumen de edades del Rasgo 5 del Corte 2C.

Especie	NISP	Termoalteración
ROD	4	4 (M)

Tabla. Resumen tafonómico del Rasgo 5 del Corte 2C.

Zona de excavación: Manuela Cañizares Tramo 4 (NR 117)

- Rasgo 3

o Depósito Indeterminado / Superficie

▪ Procedencia MCT4-003

Especie	NISP	NME	NMI
CAPO	1	1	1

Tabla. Distribución de los restos de la Procedencia MCT4-003 del Rasgo 3.

Especie	NISP	EP
CAPO	1	1

Tabla. Distribución anatómica de los restos de la Procedencia MCT4-003 del Rasgo 3.

Especie	NMI	IND
CAPO	1	1

Tabla. Edades relativas de los restos de la Procedencia MCT4-003 del Rasgo 3.

Especie	NISP	Fractura
CAPO	1	1

Tabla. Alteraciones de los restos de la Procedencia MCT4-004 del Rasgo 3.

En esta procedencia nos encontramos con único resto de extremidad posterior de cuy fracturado.



Imagen. Hueso largo de cuy con evidencias de fracturas para consumo.

- Procedencia MCT4-004

Especie	NISP	NME	NMI
CAPO	3	1	1

Tabla. Distribución de los restos de la Procedencia MCT4-004 del Rasgo 3.

Especie	NISP	EX
CAPO	3	3

Tabla. Distribución anatómica de los restos de la Procedencia MCT4-004 del Rasgo 3.

Especie	NMI	IND
CAPO	1	1

Tabla. Edades relativas de los restos de la Procedencia MCT4-004 del Rasgo 3.

Especie	NISP	Termoalteración	Fractura
CAPO	3	3 (M)	1

Tabla. Alteraciones de los restos de la Procedencia MCT4-004 del Rasgo 3.

Se analizan 3 restos de cuy, correspondientes a las extremidades de un solo individuo. Presentan fractura y termoalteración.

- Procedencia MCT4-005

Especie	NISP	NME	NMI
CAPO	1	1	1

Tabla. Distribución de los restos de la Procedencia MCT4-005 del Rasgo 3.

Especie	NISP	CR
CAPO	1	1

Tabla. Distribución anatómica de los restos de la Procedencia MCT4-005 del Rasgo 3.

Especie	NMI	IND
CAPO	1	1

Tabla. Edades relativas de los restos de la Procedencia MCT4-005 del Rasgo 3.

Especie	NISP	Termoalteración
CAPO	1	1 (M)

Tabla. Alteraciones de los restos de la Procedencia MCT4-005 del Rasgo 3.

Un resto craneal de cuy quemado.

- Procedencia MCT4-006

Especie	NISP	NME	NMI
CAPO	1	1	1

Tabla. Distribución de los restos de la Procedencia MCT4-006 del Rasgo 3.

Especie	NISP	EP
CAPO	1	1

Tabla. Distribución anatómica de los restos de la Procedencia MCT4-006 del Rasgo 3.

Especie	NMI	IND
CAPO	1	1

Tabla. Edades relativas de los restos de la Procedencia MCT4-006 del Rasgo 3.

Especie	NISP	Termoalteración	Fractura
CAPO	1	1 (M)	1

Tabla. Alteraciones de los restos de la Procedencia MCT4-006 del Rasgo 3.

Un solo resto de extremidad posterior de cuy termoalterado y fracturado.

Especie	NISP	NME	NMI
CAPO	6	4	4

Tabla. Resumen taxonómico del Rasgo 3 del tramo 4 de la calle Manuela Cañizares.

Especie	NISP	CR	AX	EP	EX
CAPO	6	1		2	3

Tabla. Resumen anatómico del Rasgo 3 del tramo 4 de la calle Manuela Cañizares.

Especie	NMI	AD	IND
CAPO	4		4

Tabla. Resumen de edades del Rasgo 3 del tramo 4 de la calle Manuela Cañizares.

Especie	NISP	Termoalteración	Fractura
CAPO	6	5 (M)	3

Tabla. Resumen tafonómico del Rasgo 3 del tramo 4 de la calle Manuela Cañizares.

- Rasgo 4

○ Depósito Indeterminado / Superficie

▪ Procedencia MCT4-004

Especie	NISP	NME	NMI
MM	3	1	1

Tabla. Distribución de los restos de la Procedencia MCT4-004 del Rasgo 4.

Especie	NISP	CR
MM	3	3

Tabla. Distribución anatómica de los restos de la Procedencia MCT4-004 del Rasgo 4.

Especie	NMI	IND
MM	1	1

Tabla. Edades relativas de los restos de la Procedencia MCT4-004 del Rasgo 4.

Especie	NISP	Termoalteración
---------	------	-----------------

MM	3	3 (M)
----	---	-------

Tabla. Alteraciones de los restos de la Procedencia MCT4-004 del Rasgo 4.

Aquí se evidencian 3 restos craneales de un mamífero medio de edad indeterminada y termoalterados con coloración marrón.

- Rasgo 5

- Depósito Indeterminado / Superficie
  - Procedencia MCT4-001

Especie	NISP	NME	NMI
MM	1	1	1

Tabla. Distribución de los restos de la Procedencia MCT4-001 del Rasgo 5.

Especie	NISP	EP
MM	1	1

Tabla. Distribución anatómica de los restos de la Procedencia MCT4-001 del Rasgo 5.

Especie	NMI	SUB
MM	1	1

Tabla. Edades relativas de los restos de la Procedencia MCT4-001 del Rasgo 5.

Especie	NISP	Termoalteración
MM	1	1 (AM)

Tabla. Alteraciones de los restos de la Procedencia MCT4-001 del Rasgo 5.

Un único resto de extremidad posterior de mamífero subadulto de talla media con una leve termoalteración.

- Depósito 1
  - Procedencia MCT4-005

Especie	NISP	NME	NMI
AP	2	1	1

Tabla. Distribución de los restos de la Procedencia MCT4-005 del Rasgo 5.

Especie	NISP	EX
AP	2	2

Tabla. Distribución anatómica de los restos de la Procedencia MCT4-005 del Rasgo 5.

Especie	NMI	IND
AP	1	1

Tabla. Edades relativas de los restos de la Procedencia MCT4-005 del Rasgo 5.



Especie	NISP	Termoalteración
AP	1	2 (M)

Tabla. Alteraciones de los restos de la Procedencia MCT4-005 del Rasgo 5.

Dos restos de ave de talla pequeña correspondientes a las extremidades de un único individuo que se encuentra termoalterados.

- Procedencia MCT4-006

Especie	NISP	NME	NMI
AP	1	1	1

Tabla. Distribución de los restos de la Procedencia MCT4-006 del Rasgo 5.

Especie	NISP	EP
AP	1	1

Tabla. Distribución anatómica de los restos de la Procedencia MCT4-006 del Rasgo 5.

Especie	NMI	IND
AP	1	1

Tabla. Edades relativas de los restos de la Procedencia MCT4-006 del Rasgo 5.

Especie	NISP	Termoalteración
AP	1	1 (M)

Tabla. Alteraciones de los restos de la Procedencia MCT4-006 del Rasgo 5.

Un resto de ave pequeña relacionado con la extremidad anterior de un solo individuo. Se encuentra termoalterado en color marrón.

Especie	NISP	NME	NMI
MM	1	1	1
AP	3	2	2

Tabla. Resumen taxonómico del Rasgo 5 del tramo 4 de la calle Manuela Cañizares.

Especie	NISP	EP	EX
MM	1	1	
AP	3	1	2

Tabla. Resumen anatómico del Rasgo 5 del tramo 4 de la calle Manuela Cañizares.

Especie	NMI	SUB	IND
MM	1	1	
AP	2		2

Tabla. Resumen de edades del Rasgo 5 del tramo 4 de la calle Manuela Cañizares.

Especie	NISP	Termoalteración
MM	1	1 (AM)
AP	3	3 (M)

Tabla. Resumen tafonómico del Rasgo 5 del tramo 4 de la calle Manuela Cañizares.

## Rasgo 6

- Depósito 1
  - Procedencia MCT4-006

Especie	NISP	NME	NMI
ODVI	1	1	1

Tabla. Distribución de los restos de la Procedencia MCT4-006 del Rasgo 6.

Especie	NISP	EX
ODVI	1	1

Tabla. Distribución anatómica de los restos de la Procedencia MCT4-006 del Rasgo 6.

Especie	NMI	SUB
ODVI	1	1

Tabla. Edades relativas de los restos de la Procedencia MCT4-006 del Rasgo 6.

Un resto de venado. En concreto forma parte de la extremidad de un subadulto.

- Procedencia MCT4-007

Especie	NISP	NME	NMI
ODVI	1	1	1

Tabla. Distribución de los restos de la Procedencia MCT4-007 del Rasgo 6.

Especie	NISP	EX
ODVI	1	1

Tabla. Distribución anatómica de los restos de la Procedencia MCT4-007 del Rasgo 6.

Especie	NMI	SUB
ODVI	1	1

Tabla. Edades relativas de los restos de la Procedencia MCT4-007 del Rasgo 6.

Especie	NISP	Termoalteración	Fractura
ODVI	1	1 (M)	1

Tabla. Alteraciones de los restos de la Procedencia MCT4-007 del Rasgo 6.

Otro resto de la extremidad de un venado subadulto. En este caso presenta fractura y termoalteración.

▪ Procedencia MCT4-008

Especie	NISP	NME	NMI
PUME	1	1	1

Tabla. Distribución de los restos de la Procedencia MCT4-008 del Rasgo 6.

Especie	NISP	EP
PUME	1	1

Tabla. Distribución anatómica de los restos de la Procedencia MCT4-008 del Rasgo 6.

Especie	NMI	AD
PUME	1	1

Tabla. Edades relativas de los restos de la Procedencia MCT4-008 del Rasgo 6.

Especie	NISP	Trazas	Termoalteración
PUME	1	1	1 (N)

Tabla. Alteraciones de los restos de la Procedencia MCT4-008 del Rasgo 6.

Posible resto de extremidad posterior de Pudu adulto con marcas de corte y quemado intenso.

▪ Procedencia MCT4-009

Especie	NISP	NME	NMI
MM	1	1	1

Tabla. Distribución de los restos de la Procedencia MCT4-009 del Rasgo 6.

Especie	NISP	EX
MM	1	1

Tabla. Distribución anatómica de los restos de la Procedencia MCT4-009 del Rasgo 6.

Especie	NMI	IND
MM	1	1

Tabla. Edades relativas de los restos de la Procedencia MCT4-009 del Rasgo 6.

Especie	NISP	Fractura	Termoalteración
MM	1	1	1 (N)

Tabla. Alteraciones de los restos de la Procedencia MCT4-009 del Rasgo 6.

Un resto de mamífero de talla media, perteneciente a las extremidades, con fractura y quemado intenso.

- Procedencia MCT4-011

Especie	NISP	NME	NMI
MG	3	1	1

Tabla. Distribución de los restos de la Procedencia MCT4-011 del Rasgo 6.

Especie	NISP	EX
MG	3	1

Tabla. Distribución anatómica de los restos de la Procedencia MCT4-011 del Rasgo 6.

Especie	NMI	IND
MG	1	1

Tabla. Edades relativas de los restos de la Procedencia MCT4-011 del Rasgo 6.

Especie	NISP	Termoalteración
MG	3	1 (M)

Tabla. Alteraciones de los restos de la Procedencia MCT4-011 del Rasgo 6.

Restos de mamífero grande. Tres restos termoalterados. Posible llama.

- Procedencia MCT4-012

Especie	NISP	NME	NMI
MM	10	1	1

Tabla. Distribución de los restos de la Procedencia MCT4-012 del Rasgo 6.

Especie	NISP	IND
MM	10	10

Tabla. Distribución anatómica de los restos de la Procedencia MCT4-012 del Rasgo 6.

Especie	NMI	IND
MM	1	1

Tabla. Edades relativas de los restos de la Procedencia MCT4-012 del Rasgo 6.

Especie	NISP	Termoalteración
MM	10	10 (M)

Tabla. Alteraciones de los restos de la Procedencia MCT4-012 del Rasgo 6.

10 restos de mamífero de talla media termoalterados.

- Procedencia MCT4-013

Especie	NISP	NME	NMI
ROD	1	1	1

Tabla. Distribución de los restos de la Procedencia MCT4-013 del Rasgo 6.

Especie	NISP	EA
ROD	1	1

Tabla. Distribución anatómica de los restos de la Procedencia MCT4-013 del Rasgo 6.

Especie	NMI	IND
ROD	1	1

Tabla. Edades relativas de los restos de la Procedencia MCT4-013 del Rasgo 6.

Un resto de la extremidad anterior de un roedor indeterminado.

- Procedencia MCT4-014

Especie	NISP	NME	NMI
MP	1	1	1

Tabla. Distribución de los restos de la Procedencia MCT4-014 del Rasgo 6.

Especie	NISP	IND
MP	1	1

Tabla. Distribución anatómica de los restos de la Procedencia MCT4-014 del Rasgo 6.

Especie	NMI	IND
MP	1	1

Tabla. Edades relativas de los restos de la Procedencia MCT4-014 del Rasgo 6.

Un resto de mamífero de talla pequeña sin presencia de alteraciones tafonómicas.

Especie	NISP	NME	NMI
ODVI	2	2	2
PUME	1	1	1
MG	3	1	1
MM	11	2	2
MP	1	1	1
ROD	1	1	1

Tabla. Resumen taxonómico de los restos del rasgo 6 del tramo 4 de la calle Manuela Cañizares.

Especie	NISP	EA	EP	EX	IND
ODVI	2			2	
PUME	1		1		
MG	3			3	
MM	11			1	10
MP	1				1
ROD	1	1			

Tabla. Resumen anatómico de los restos del rasgo 6 del tramo 4 de la calle Manuela Cañizares.

Especie	NMI	AD	SUB	IND
ODVI	2		2	
PUME	1	1		
MG	1			1
MM	2			2
MP	1			1
ROD	1			1

Tabla. Resumen de edades de los restos del rasgo 6 del tramo 4 de la calle Manuela Cañizares.

Especie	NISP	Termodalteración	Fractura	Trazas
ODVI	1	1 (M)	1	
PUME	1	1 (N)		1
MG	3	1 (M)		
MM	11	1 (N) 10 (M)	1	

Tabla. Resumen tafonómico de los restos del rasgo 6 del tramo 4 de la calle Manuela Cañizares.

#### Rasgo 7

- Depósito 1
  - o Procedencia MCT4-007

Especie	NISP	NME	NMI
MM	16	1	1

Tabla. Distribución de los restos de la Procedencia MCT4-007 del Rasgo 7.

Especie	NISP	EX
MM	16	16

Tabla. Distribución anatómica de los restos de la Procedencia MCT4-007 del Rasgo 7.

Especie	NMI	SUB
---------	-----	-----

MM	1	1
----	---	---

Tabla. Edades relativas de los restos de la Procedencia MCT4-007 del Rasgo 7.

Especie	NISP	Termoalteración	Pulido	Fractura
MM	1	1 (N)	1	1

Tabla. Alteraciones de los restos de la Procedencia MCT4-007 del Rasgo 7.

16 restos de mamífero medio correspondientes a las extremidades. Se trataría de un subadulto que ha sufrido quemados, fracturas y pulidos, posiblemente con miras a la elaboración de algún artefacto óseo.

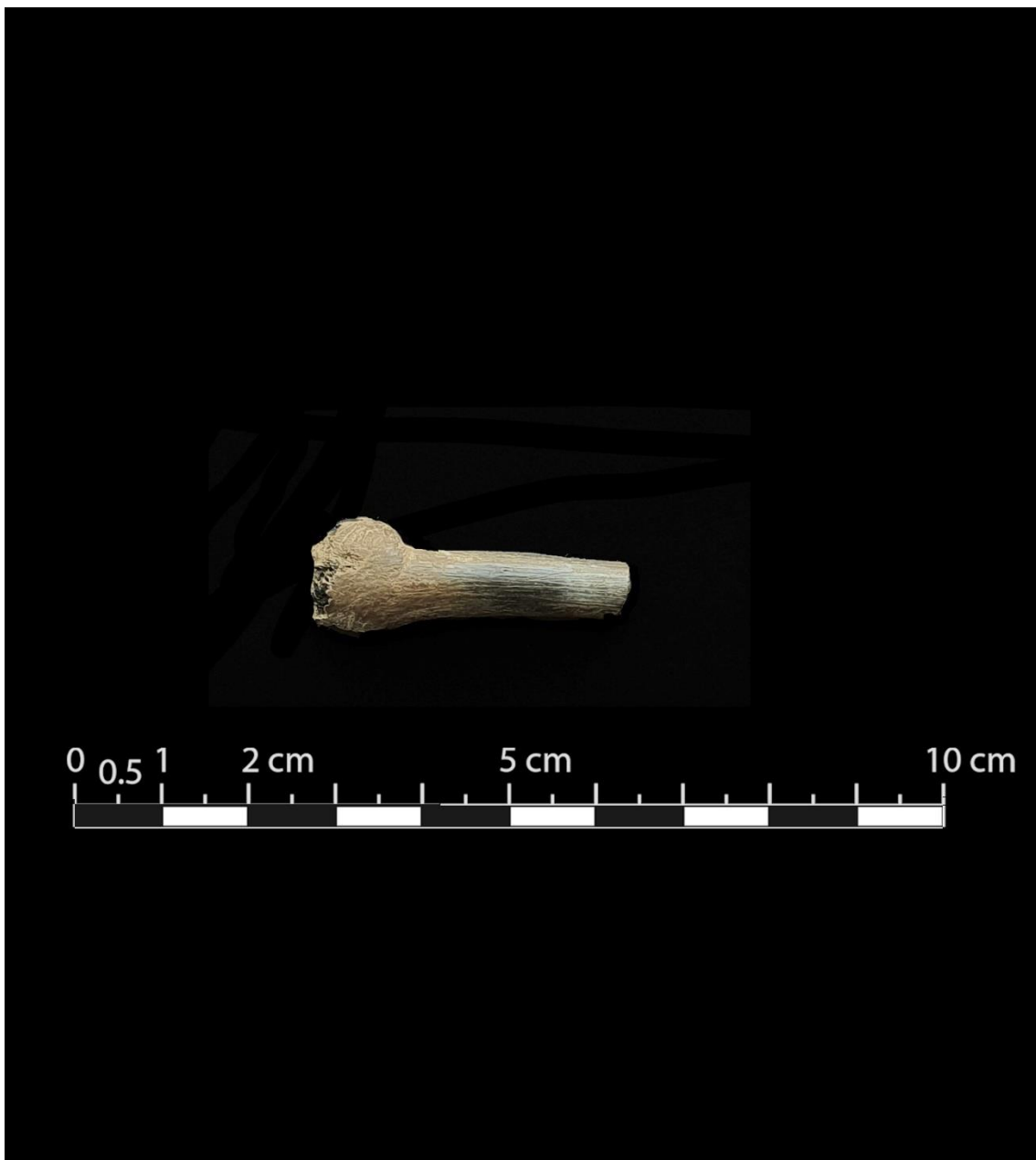


Imagen. Elemento con evidencias de pulido para manufactura.

○ Procedencia MCT4-008

Especie	NISP	NME	NMI
ODVI	1	1	1
MM	1	1	1

Tabla. Distribución de los restos de la Procedencia MCT4-008 del Rasgo 7.

Especie	NISP	EA	IND
ODVI	1	1	
MM	1		1

Tabla. Distribución anatómica de los restos de la Procedencia MCT4-008 del Rasgo 7.

Especie	NMI	AD
ODVI	1	1
MM	1	1

Tabla. Edades relativas de los restos de la Procedencia MCT4-008 del Rasgo 7.

Especie	NISP	Termoalteración
ODVI	1	1 (M)
MM	1	1 (M)

Tabla. Alteraciones de los restos de la Procedencia MCT4-008 del Rasgo 7.

Dos restos. Uno pertenece a la extremidad anterior de un venado de cola blanca adulto con termoalteración y el otro a un mamífero adulto de talla media, posiblemente un venado también, que ha sido igualmente quemado.

○ Procedencia MCT4-009

Especie	NISP	NME	NMI
ODVI	1	1	1
MM	1	1	1

Tabla. Distribución de los restos de la Procedencia MCT4-009 del Rasgo 7.

Especie	NISP	EA	EX
ODVI	1	1	
MM	1		1

Tabla. Distribución anatómica de los restos de la Procedencia MCT4-009 del Rasgo 7.

Especie	NMI	IND
ODVI	1	1
MM	1	1



Tabla. Edades relativas de los restos de la Procedencia MCT4-009 del Rasgo 7.

Especie	NISP	Termoalteración	Trazas	Otros
ODVI	1	1 (M)		
MM	1	1 (N)	1	Pulido y trabajado.

Tabla. Alteraciones de los restos de la Procedencia MCT4-009 del Rasgo 7.

Igualmente, un resto de extremidad anterior de venado y otro de extremidad de mamífero de porte medio. Ambos han sido termoalterados y el de mamífero de talla media se observa pulido y trabajado.

- Procedencia MCT4-010

Especie	NISP	NME	NMI
ODVI	2	1	1

Tabla. Distribución de los restos de la Procedencia MCT4-010 del Rasgo 7.

Especie	NISP	EX
ODVI	2	2

Tabla. Distribución anatómica de los restos de la Procedencia MCT4-010 del Rasgo 7.

Especie	NMI	IND
ODVI	1	1

Tabla. Edades relativas de los restos de la Procedencia MCT4-010 del Rasgo 7.

Especie	NISP	Termoalteración
ODVI	2	2 (N)

Tabla. Alteraciones de los restos de la Procedencia MCT4-010 del Rasgo 7.

Dos restos de venado correspondiente a un individuo. Se trata de elementos de las extremidades quemados.

- Procedencia MCT4-011

Especie	NISP	NME	NMI
ODVI	2	1	1

Tabla. Distribución de los restos de la Procedencia MCT4-011 del Rasgo 7.

Especie	NISP	EX
ODVI	2	2

Tabla. Distribución anatómica de los restos de la Procedencia MCT4-011 del Rasgo 7.

Especie	NMI	IND

ODVI	1	1
------	---	---

Tabla. Edades relativas de los restos de la Procedencia MCT4-011 del Rasgo 7.

Especie	NISP	Termoalteración	Fractura
ODVI	2	2 (M)	2

Tabla. Alteraciones de los restos de la Procedencia MCT4-011 del Rasgo 7.

Dos restos de extremidades de venado, relacionados con un individuo de edad indeterminada que se encuentran quemado y fracturados.

○ Procedencia MCT4-012

Especie	NISP	NME	NMI
ODVI	1	1	1

Tabla. Distribución de los restos de la Procedencia MCT4-012 del Rasgo 7.

Especie	NISP	AX
ODVI	1	1

Tabla. Distribución anatómica de los restos de la Procedencia MCT4-012 del Rasgo 7.

Especie	NMI	AD
ODVI	1	1

Tabla. Edades relativas de los restos de la Procedencia MCT4-012 del Rasgo 7.

Especie	NISP	Termoalteración	Vermiculaciones
ODVI	1	1 (M)	1

Tabla. Alteraciones de los restos de la Procedencia MCT4-012 del Rasgo 7.

Un elemento axial de venado adulto con termoalteraciones y marcas de raíces.

Especie	NISP	NME	NMI
ODVI	7	5	5
MM	18	3	3

Tabla. Resumen taxonómico de los restos del rasgo 7 del tramo 4 de la calle Manuela Cañizares.

Especie	NISP	AX	EA	EP	EX	IND
ODVI	7	1	2		4	
MM	18				17	1

Tabla. Resumen anatómico de los restos del rasgo 7 del tramo 4 de la calle Manuela Cañizares.

Especie	NMI	AD	SUB	IND
ODVI	5	2		3
MM	3	1	1	1

Tabla. Resumen por edades de los restos del rasgo 7 del tramo 4 de la calle Manuela Cañizares.

Especie	NISP	Termoalteración	Fractura	Pulido	Trazas	Raíces
ODVI	7	5 (M) 2 (N)	2			1
MM	3	2 (M) 1 (N)	1	1	1	

Tabla. Resumen tafonómico de los restos del rasgo 7 del tramo 4 de la calle Manuela Cañizares.

## Rasgo 9

### - Depósito 2-3

#### o Procedencia MCT4-010

Especie	NISP	NME	NMI
MM	4	1	1

Tabla. Distribución de los restos de la Procedencia MCT4-010 del Rasgo 9.

Especie	NISP	AX
MM	4	4

Tabla. Distribución anatómica de los restos de la Procedencia MCT4-010 del Rasgo 9.

Especie	NMI	AD
MM	1	1

Tabla. Edades relativas de los restos de la Procedencia MCT4-010 del Rasgo 9.

Especie	NISP	Termoalteración	Disolución
MM	4	4 (M)	4

Tabla. Alteraciones de los restos de la Procedencia MCT4-010 del Rasgo 9.

4 restos axiales de un individuo adulto de talla media quemados y con muestras de disolución.

#### o Procedencia MCT4-011

Especie	NISP	NME	NMI
ODVI	1	1	1

Tabla. Distribución de los restos de la Procedencia MCT4-011 del Rasgo 9.

Especie	NISP	EX
ODVI	1	1

Tabla. Distribución anatómica de los restos de la Procedencia MCT4-011 del Rasgo 9.

Especie	NMI	AD
ODVI	1	1

Tabla. Edades relativas de los restos de la Procedencia MCT4-011 del Rasgo 9.

Especie	NISP	Termoalteración
ODVI	1	1 (M)

Tabla. Alteraciones de los restos de la Procedencia MCT4-011 del Rasgo 9.

Un resto de extremidad de un venado adulto quemado.

Especie	NISP	NME	NMI
ODVI	1	1	1
MM	4	1	1

Tabla. Resumen taxonómico del rasgo 9 del tramo 4 de la calle Manuela Cañizares.

Especie	NISP	AX	EX
ODVI	1		1
MM	4	4	

Tabla. Resumen anatómico del rasgo 9 del tramo 4 de la calle Manuela Cañizares.

Especie	NMI	AD
ODVI	1	1
MM	1	1

Tabla. Resumen de edades del rasgo 9 del tramo 4 de la calle Manuela Cañizares.

Especie	NISP	Termoalteración	Disolución
ODVI	1	1 (M)	
MM	4	4 (M)	4

Tabla. Resumen tafonómico del rasgo 9 del tramo 4 de la calle Manuela Cañizares.

#### Rasgo 11

- Depósito 2
  - o Procedencia MCT4-013

Especie	NISP	NME	NMI
CAPO	2	1	1
SYBR	2	1	1

Tabla. Distribución de los restos de la Procedencia MCT4-013 del Rasgo 11.

Especie	NISP	CR	EP
CAPO	2		2
SYBR	2	2	

Tabla. Distribución anatómica de los restos de la Procedencia MCT4-013 del Rasgo 11.

Especie	NMI	AD	IND
CAPO	1	1	
SYBR	1		1

Tabla. Edades relativas de los restos de la Procedencia MCT4-013 del Rasgo 11.

Especie	NISP	Termoalteración
CAPO	2	2 (M)

Tabla. Alteraciones de los restos de la Procedencia MCT4-013 del Rasgo 11.

Dos restos de cuy y otros dos de conejo, ambos asociados a sendos individuos. El cuy es adulto y presenta quemado.



Imagen . Hueso fáunico con evidencia de marcas de corte y fractura.



Imagen. Hueso fáunico con evidencia de marcas de corte y fractura.

- Procedencia MCT4-014

Especie	NISP	NME	NMI
CAPO	1	1	1

Tabla. Distribución de los restos de la Procedencia MCT4-014 del Rasgo 11.

Especie	NISP	EP
CAPO	1	1

Tabla. Distribución anatómica de los restos de la Procedencia MCT4-014 del Rasgo 11.

Especie	NMI	AD
CAPO	1	1

Tabla. Edades relativas de los restos de la Procedencia MCT4-014 del Rasgo 11.

Especie	NISP	Termoalteración
CAPO	1	1 (M)

Tabla. Alteraciones de los restos de la Procedencia MCT4-014 del Rasgo 11.

Un resto de extremidad posterior de cuy adulto quemado.

- Procedencia MCT4-015

Especie	NISP	NME	NMI
CAPO	1	1	1

Tabla. Distribución de los restos de la Procedencia MCT4-015 del Rasgo 11.

Especie	NISP	CR
CAPO	1	1

Tabla. Distribución anatómica de los restos de la Procedencia MCT4-015 del Rasgo 11.

Especie	NMI	AD
CAPO	1	1

Tabla. Edades relativas de los restos de la Procedencia MCT4-015 del Rasgo 11.

Especie	NISP	Termoalteración
CAPO	1	1 (M)

Tabla. Alteraciones de los restos de la Procedencia MCT4-015 del Rasgo 11.

Un elemento craneal de cuy adulto quemado.

- Procedencia MCT4-016

Especie	NISP	NME	NMI
ODVI	1	1	1

Tabla. Distribución de los restos de la Procedencia MCT4-016 del Rasgo 11.

Especie	NISP	CR
ODVI (ASTA)	1	1

Tabla. Distribución anatómica de los restos de la Procedencia MCT4-016 del Rasgo 11.



Especie	NMI	IND
ODVI	1	1

Tabla. Edades relativas de los restos de la Procedencia MCT4-016 del Rasgo 11.

Especie	NISP	Termoalteración
ODVI (ASTA)	1	1 (M)

Tabla. Alteraciones de los restos de la Procedencia MCT4-016 del Rasgo 11.

Un resto de asta de venado termoalterada.

Especie	NISP	NME	NMI
ODVI	1	1	1
CAPO	4	3	3
SYBR	2	1	1

Tabla. Resumen taxonómico de los restos del rasgo 11 del tramo 4 de la calle Manuela Cañizares.

Especie	NISP	CR	EP
ODVI	1	1	
CAPO	4	1	3
SYBR	2	2	

Tabla. Resumen anatómico de los restos del rasgo 11 del tramo 4 de la calle Manuela Cañizares.

Especie	NMI	AD	IND
ODVI	1		1
CAPO	3	3	
SYBR	1		1

Tabla. Resumen de edades de los restos del rasgo 11 del tramo 4 de la calle Manuela Cañizares.

Especie	NISP	Termoalteración	Disolución
ODVI	1	1 (M)	
CAPO	4	4 (M)	

Tabla. Resumen tafonómico de los restos del rasgo 11 del tramo 4 de la calle Manuela Cañizares.

## Rasgo 13A

- Depósito 1
  - o Procedencia MCT4-016

Especie	NISP	NME	NMI
ROD	2	1	1

Tabla. Distribución de los restos de la Procedencia MCT4-016 del Rasgo 13A.

Especie	NISP	EP
ROD	2	2

Tabla. Distribución anatómica de los restos de la Procedencia MCT4-016 del Rasgo 13A.

Especie	NMI	IND
ROD	1	1

Tabla. Edades relativas de los restos de la Procedencia MCT4-016 del Rasgo 13A.

Dos restos de extremidad posterior de roedor.

## Rasgo 15

- Depósito Indeterminado / Superficie
  - o Procedencia MCT4-001

Especie	NISP	NME	NMI
MM	1	1	1

Tabla. Distribución de los restos de la Procedencia MCT4-001 del Rasgo 15.

Especie	NISP	EX
MM	1	1

Tabla. Distribución anatómica de los restos de la Procedencia MCT4-001 del Rasgo 15.

Especie	NMI	IND
MM	1	1

Tabla. Edades relativas de los restos de la Procedencia MCT4-001 del Rasgo 15.

Especie	NISP	Termoalteración	Carnívoros
MM	1	1 (M)	1

Tabla. Alteraciones de los restos de la Procedencia MCT4-001 del Rasgo 15.

Un resto de extremidad de mamífero de talla media con signos de quemado y marcas de carnívoros.



Imagen 3. Diáfisis con evidencias de percusión y fractura.



Imagen. Porción de costilla con evidencias de marcas de corte.

- Procedencia MCT4-002

Especie	NISP	NME	NMI
MM	1	1	1

Tabla. Distribución de los restos de la Procedencia MCT4-002 del Rasgo 15.

Especie	NISP	EX
MM	1	1

Tabla. Distribución anatómica de los restos de la Procedencia MCT4-002 del Rasgo 15.

Especie	NMI	IND

MM	1	1
----	---	---

Tabla. Edades relativas de los restos de la Procedencia MCT4-002 del Rasgo 15.

Especie	NISP	Termoalteración	Fracturas	Impactos
MM	1	1 (M)	1	1

Tabla. Alteraciones de los restos de la Procedencia MCT4-002 del Rasgo 15.

Un resto de extremidad de mamífero de talla media con evidentes signos de quemado, fracturado e impactos de percusión antrópica.

○ Procedencia MCT4-003

Especie	NISP	NME	NMI
MM	1	1	1

Tabla. Distribución de los restos de la Procedencia MCT4-003 del Rasgo 15.

Especie	NISP	EX
MM	1	1

Tabla. Distribución anatómica de los restos de la Procedencia MCT4-003 del Rasgo 15.

Especie	NMI	IND
MM	1	1

Tabla. Edades relativas de los restos de la Procedencia MCT4-003 del Rasgo 15.

Especie	NISP	Vermiculaciones
MM	1	1

Tabla. Alteraciones de los restos de la Procedencia MCT4-003 del Rasgo 15.

Un resto de extremidad de mamífero de talla media con marcas de raíces.

○ Procedencia MCT4-004

Especie	NISP	NME	NMI
MM	1	1	1

Tabla. Distribución de los restos de la Procedencia MCT4-004 del Rasgo 15.

Especie	NISP	EX
MM	1	1

Tabla. Distribución anatómica de los restos de la Procedencia MCT4-004 del Rasgo 15.

Especie	NMI	IND
MM	1	1

Tabla. Edades relativas de los restos de la Procedencia MCT4-004 del Rasgo 15.

Especie	NISP	Fractura	Impactos	Disolución	Vermiculación
MM	1	1	1	1	1

Tabla. Alteraciones de los restos de la Procedencia MCT4-004 del Rasgo 15.

Un resto de extremidad de mamífero de talla media con evidentes signos de fracturación, percusión, disolución y marcas de raíces.

- Procedencia MCT4-005

Especie	NISP	NME	NMI
MM	1	1	1

Tabla. Distribución de los restos de la Procedencia MCT4-005 del Rasgo 15.

Especie	NISP	EX
MM	1	1

Tabla. Distribución anatómica de los restos de la Procedencia MCT4-005 del Rasgo 15.

Especie	NMI	IND
MM	1	1

Tabla. Edades relativas de los restos de la Procedencia MCT4-005 del Rasgo 15.

Un resto de extremidad de mamífero de talla media.

- Procedencia MCT4-006

Especie	NISP	NME	NMI
MM	1	1	1

Tabla. Distribución de los restos de la Procedencia MCT4-006 del Rasgo 15.

Especie	NISP	EX
MM	1	1

Tabla. Distribución anatómica de los restos de la Procedencia MCT4-006 del Rasgo 15.

Especie	NMI	IND
MM	1	1

Tabla. Edades relativas de los restos de la Procedencia MCT4-006 del Rasgo 15.

Especie	NISP	Impactos	Fractura
MM	1	1	1

Tabla. Alteraciones de los restos de la Procedencia MCT4-006 del Rasgo 15.

Un resto fracturado y con impactos de mamífero de talla media.

- Procedencia MCT4-007

Especie	NISP	NME	NMI
MM	1	1	1

Tabla. Distribución de los restos de la Procedencia MCT4-007 del Rasgo 15.

Especie	NISP	CR
MM	1	1

Tabla. Distribución anatómica de los restos de la Procedencia MCT4-007 del Rasgo 15.

Especie	NMI	IND
MM	1	1

Tabla. Edades relativas de los restos de la Procedencia MCT4-007 del Rasgo 15.

Un elemento craneal de mamífero de talla media.

- Procedencia MCT4-008

Especie	NISP	NME	NMI
MM	1	1	1

Tabla. Distribución de los restos de la Procedencia MCT4-008 del Rasgo 15.

Especie	NISP	AX
MM	1	1

Tabla. Distribución anatómica de los restos de la Procedencia MCT4-008 del Rasgo 15.

Especie	NMI	IND
MM	1	1

Tabla. Edades relativas de los restos de la Procedencia MCT4-008 del Rasgo 15.

Especie	NISP	Fractura	Trazas	Termoalteración
MM	1	1	1	1 (M)

Tabla. Alteraciones de los restos de la Procedencia MCT4-008 del Rasgo 15.

Un elemento axial de mamífero de talla media fracturado, con marcas de corte y quemado.

Especie	NISP	NME	NMI
---------	------	-----	-----

MM	8	8	8
----	---	---	---

Tabla. Resumen taxonómico de los restos del rasgo 15 del tramo 4 de la calle Manuela Cañizares.

Especie	NISP	CR	AX	EX
MM	8	1	1	6

Tabla. Resumen anatómico de los restos del rasgo 15 del tramo 4 de la calle Manuela Cañizares.

Especie	NMI	AD	IND
MM	8		8

Tabla. Resumen de edades de los restos del rasgo 15 del tramo 4 de la calle Manuela Cañizares.

Especie	NISP	Termoalteración	Carnívoros	Fracturas	Impactos	Trazas	Raíces
MM	5	3 (M)	1	3	2	1	1

Tabla. Resumen tafonómico de los restos del rasgo 15 del tramo 4 de la calle Manuela Cañizares.

### Zona de excavación: Manuela Sáenz Tramo 1 (NR 100)

#### Depósito 2-3

- Procedencia MST1-001

Especie	NISP	NME	NMI
MM	2	1	1

Tabla. Distribución de los restos de la Procedencia MST1-001.

Especie	NISP	CR
MM	2	2

Tabla Distribución anatómica de los restos de la Procedencia MST1-001.

Especie	NMI	IND
MM	1	1

Tabla. Edades relativas de los restos de la Procedencia MST1-001.

Dos restos craneales de mamífero de talla media.



- Rasgo 2

○ Procedencia MST1-003

Especie	NISP	NME	NMI
ODVI	1	1	1
MM	1	1	1

Tabla. Distribución de los restos de la Procedencia MST1-003 del Rasgo 2.

Especie	NISP	EA	EX
ODVI	1	1	
MM	1		1

Tabla. Distribución anatómica de los restos de la Procedencia MST1-003 del Rasgo 2.

Especie	NMI	IND
ODVI	1	1
MM	1	1

Tabla. Edades relativas de los restos de la Procedencia MST1-003 del Rasgo 2.

Especie	NISP	Termoalteración	Disolución
ODVI	1	1 (AM)	1
MM	1	1 (M)	

Tabla. Alteraciones de los restos de la Procedencia MST1-003 del Rasgo 2.

Un resto de extremidad anterior de venado con evidencias de quemado y disolución. Un resto de extremidad de mamífero de talla media quemado.

Rasgo 3

○ Procedencia MST1-004

Especie	NISP	NME	NMI
ODVI	11	1	1

Tabla. Distribución de los restos de la Procedencia MST1-004 del Rasgo 3.

Especie	NISP	CR
ODVI	11	11

Tabla. Distribución anatómica de los restos de la Procedencia MST1-004 del Rasgo 3.

Especie	NMI	IND
ODVI	1	1

Tabla. Edades relativas de los restos de la Procedencia MST1-004 del Rasgo 3.

Especie	NISP	Termoalteración
ODVI	11	11 (M)

Tabla. Alteraciones de los restos de la Procedencia MST1-004 del Rasgo 3.

11 restos craneales pertenecientes a un venado con evidencias de quemado.

#### Rasgo 4

- Procedencia MST1-005

Especie	NISP	NME	NMI
ODVI	24	1	1

Tabla. Distribución de los restos de la Procedencia MST1-005 del Rasgo 4.

Especie	NISP	CR
ODVI	24	24

Tabla. Distribución anatómica de los restos de la Procedencia MST1-005 del Rasgo 4.

Especie	NMI	IND
ODVI	1	1

Tabla. Edades relativas de los restos de la Procedencia MST1-005 del Rasgo 4.

Especie	NISP	Disolución	Abrasión
ODVI	24	24	24

Tabla. Alteraciones de los restos de la Procedencia MST1-005 del Rasgo 4.

24 restos craneales pertenecientes a un venado con evidentes signos de disolución y abrasión.

#### Rasgo 5

##### Depósito 1

- Procedencia MST1-006

Especie	NISP	NME	NMI
ODVI	1	1	1
MM	1	1	1

Tabla. Distribución de los restos de la Procedencia MST1-006 del Rasgo 5.

Especie	NISP	AX	EX
ODVI	1		1
MM	1	1	

Tabla. Distribución anatómica de los restos de la Procedencia MST1-006 del Rasgo 5.

Especie	NMI	IND
ODVI	1	1
MM	1	1

Tabla. Edades relativas de los restos de la Procedencia MST1-006 del Rasgo 5.

Especie	NISP	Termoalteración
ODVI	1	1 (G)
MM	1	1 (G)

Tabla. Alteraciones de los restos de la Procedencia MST1-006 del Rasgo 5.

Un resto de extremidad de venado quemada en color cris. Otro resto de mamífero de talla media igualmente quemado en gris.

- Depósito 2

o Procedencia MST1-007

Especie	NISP	NME	NMI
ODVI	1	1	1
PUME	5	3	1
MM	10	1	1
MP	10	2	1

Tabla. Distribución de los restos de la Procedencia MST1-007 del Rasgo 5.

Especie	NISP	AX	EA	EP	EX
ODVI	1				1
PUME	5	2	3		
MM	10				10
MP	10			3	7

Tabla. Distribución anatómica de los restos de la Procedencia MST1-007 del Rasgo 5.

Especie	NMI	IND
ODVI	1	1
PUME	1	1
MM	1	1
MP	1	1

Tabla. Edades relativas de los restos de la Procedencia MST1-006 del Rasgo 5.

Especie	NISP	Termoalteración	Fractura	Disolución
ODVI	1	1 (B)		
PUME	5	2 (B) 3 (M)	5	
MM	10	10 (M)	10	3
MP	10	10 (M)		

Tabla. Alteraciones de los restos de la Procedencia MST1-007 del Rasgo 5.

Un resto de extremidad de venado quemado en blanco. 5 restos de pudu pertenecientes al grupo axial y extremidad anterior con muestras de quemado y fracturas. 10 restos de extremidades de mamífero medio quemado, fracturados y uno de ellos con muestras de disolución. Y 10 restos de mamífero pequeño pertenecientes a un individuo quemados.

Especie	NISP	NME	NMI
ODVI	2	2	2
PUME	5	3	1
MM	11	2	2
MP	10	2	1

Tabla. Resumen taxonómico de los restos del rasgo 5 del tramo 1 de la calle Manuela Sáenz.

Especie	NISP	AX	EA	EP	EX
ODVI	2				2
PUME	5	2	3		
MM	11	1			10
MP	10			3	7

Tabla. Resumen anatómico de los restos del rasgo 5 del tramo 1 de la calle Manuela Sáenz.

Especie	NMI	IND
ODVI	2	2
PUME	1	1
MM	2	2
MP	1	1

Tabla. Resumen de edades de los restos del rasgo 5 del tramo 1 de la calle Manuela Sáenz.

Especie	NISP	Termoalteración	Fractura	Disolución
---------	------	-----------------	----------	------------

ODVI	2	1 (B) 1 (G)		
PUME	5	2 (B) 3 (M)	5	
MM	11	10 (M) 1 (G)	10	3
MP	10	10 (M)		

Tabla. Resumen tafonómico de los restos del rasgo 5 del tramo 1 de la calle Manuela Sáenz.

#### Rasgo 6

##### - Depósito 2

###### o Procedencia MST1-009

Especie	NISP	NME	NMI
IND	4	1	1

Tabla. Distribución de los restos de la Procedencia MST1-009 del Rasgo 6.

Especie	NISP	IND
IND	4	4

Tabla. Distribución anatómica de los restos de la Procedencia MST1-009 del Rasgo 6.

Especie	NMI	AD	SUB	JUV	INF	NEO	IND
IND	1						1

Tabla. Edades relativas de los restos de la Procedencia MST1-009 del Rasgo 6.

Especie	NISP	Termoalteración
IND	4	4 (N)

Tabla. Alteraciones de los restos de la Procedencia MST1-009 del Rasgo 6.

Cuatro restos indeterminados quemados.

##### - Depósito 3-4

###### o Procedencia MST1-0010

Especie	NISP	NME	NMI
ODVI	1	1	1
MM	5	2	1
MP	1	1	1

Tabla. Distribución de los restos de la Procedencia MST1-010 del Rasgo 6.

Especie	NISP	CR	EA	EX
ODVI	1			1
MM	5	2		3

MP	1		1	
----	---	--	---	--

Tabla. Distribución anatómica de los restos de la Procedencia MST1-010 del Rasgo 6.

Especie	NMI	IND
ODVI	1	1
MM	1	1
MP	1	1

Tabla. Edades relativas de los restos de la Procedencia MST1-010 del Rasgo 6.

Especie	NISP	Termoalteración	Fractura	Disolución
ODVI	1	1 (M)		1
MM	5	5 (M)	2	
MP	1	1 (M)		

Tabla. Alteraciones de los restos de la Procedencia MST1-010 del Rasgo 6.

Un resto de extremidad de venado quemado y disuelto. 5 restos craneal y de extremidades de mamífero de talla media quemados y 2 fracturados. Y un resto de extremidad anterior de mamífero pequeño quemado.

Especie	NISP	NME	NMI
ODVI	1	1	1
MM	5	2	1
MP	1	1	1
IND	4	1	1

Tabla. Resumen taxonómico del rasgo 6 del tramo 1 de la calle Manuela Sáenz.

Especie	NISP	CR	EA	EX	IND
ODVI	1			1	
MM	5	2		3	
MP	1		1		
IND	4				4

Tabla. Resumen anatómico del rasgo 6 del tramo 1 de la calle Manuela Sáenz.

Especie	NMI	IND
ODVI	1	1
MM	1	1
MP	1	1
IND	1	1

Tabla. Resumen de edades del rasgo 6 del tramo 1 de la calle Manuela Sáenz.

Especie	NISP	Termoalteración	Fractura	Disolución
ODVI	1	1 (M)		1
MM	5	5 (M)	2	
MP	1	1 (M)		
IND	4	4 (M)		

Tabla. Resumen tafonómico del rasgo 6 del tramo 1 de la calle Manuela Sáenz.

#### Rasgo 7

##### - Depósito 2

###### o Procedencia MST1-010

Especie	NISP	NME	NMI
CAPO	4	2	1

Tabla. Distribución de los restos de la Procedencia MST1-010 del Rasgo 7.

Especie	NISP	CR	EP
CAPO	4	3	1

Tabla. Distribución anatómica de los restos de la Procedencia MST1-010 del Rasgo 7.

Especie	NMI	AD
CAPO	1	1

Tabla. Edades relativas de los restos de la Procedencia MST1-010 del Rasgo 7.

Especie	NISP	Termoalteración	Disolución	Presión
CAPO	4	3 (M)	1	1

Tabla. Alteraciones de los restos de la Procedencia MST1-010 del Rasgo 7.

4 restos de cuy, 3 craneales y 1 de extremidad posterior pertenecientes a un adulto, con quemado, termoalteración y posible presión del sedimento.

#### Depósito 3-4

###### o Procedencia MST1-012

Especie	NISP	NME	NMI
CAPO	1	1	1

Tabla. Distribución de los restos de la Procedencia MST1-012 del Rasgo 7.

Especie	NISP	CR
CAPO	1	1

Tabla. Distribución anatómica de los restos de la Procedencia MST1-012 del Rasgo 7.

Especie	NMI	AD
CAPO	1	1

Tabla. Edades relativas de los restos de la Procedencia MST1-012 del Rasgo 7.

Especie	NISP	Termoalteración
CAPO	1	1 (M)

Tabla. Alteraciones de los restos de la Procedencia MST1-012 del Rasgo 7.

Un resto craneal de un cuy adulto quemado.

- Procedencia MST1-013

Especie	NISP	NME	NMI
CAPO	1	1	1

Tabla. Distribución de los restos de la Procedencia MST1-013 del Rasgo 7.

Especie	NISP	CR
CAPO	1	1

Tabla. Distribución anatómica de los restos de la Procedencia MST1-013 del Rasgo 7.

Especie	NMI	AD
CAPO	1	1

Tabla. Edades relativas de los restos de la Procedencia MST1-013 del Rasgo 7.

Especie	NISP	Termoalteración
CAPO	1	1 (M)

Tabla. Alteraciones de los restos de la Procedencia MST1-013 del Rasgo 7.

Un resto craneal de un cuy adulto quemado.

- Procedencia MST1-014

Especie	NISP	NME	NMI
CAPO	1	1	1

Tabla. Distribución de los restos de la Procedencia MST1-014 del Rasgo 7.

Especie	NISP	EP
CAPO	1	1

Tabla. Distribución anatómica de los restos de la Procedencia MST1-014 del Rasgo 7.

Especie	NMI	AD
---------	-----	----



CAPO	1	1
------	---	---

Tabla. Edades relativas de los restos de la Procedencia MST1-014 del Rasgo 7.

Especie	NISP	Termoalteración	Trazas
CAPO	1	1 (M)	1

Tabla. Alteraciones de los restos de la Procedencia MST1-014 del Rasgo 7.

Un resto de extremidad posterior de cuy adulto quemado y con marcas de corte.

- Procedencia MST1-015

Especie	NISP	NME	NMI
CAPO	1	1	1

Tabla. Distribución de los restos de la Procedencia MST1-015 del Rasgo 7.

Especie	NISP	EP
CAPO	1	1

Tabla. Distribución anatómica de los restos de la Procedencia MST1-015 del Rasgo 7.

Especie	NMI	AD
CAPO	1	1

Tabla. Edades relativas de los restos de la Procedencia MST1-015 del Rasgo 7.

Especie	NISP	Termoalteración	Trazas
CAPO	1	1 (M)	1

Tabla. Alteraciones de los restos de la Procedencia MST1-015 del Rasgo 7.

Un resto de extremidad posterior de cuy adulto quemado y con marcas de corte.

- Procedencia MST1-016

Especie	NISP	NME	NMI
MMP	1	1	1

Tabla. Distribución de los restos de la Procedencia MST1-016 del Rasgo 7.

Especie	NISP	CR
MMP	1	1

Tabla. Distribución anatómica de los restos de la Procedencia MST1-016 del Rasgo 7.

Especie	NMI	AD
MMP	1	1

Tabla. Edades relativas de los restos de la Procedencia MST1-016 del Rasgo 7.

Especie	NISP	Disolución	Hongos
MMP	1	1	1

Tabla. Alteraciones de los restos de la Procedencia MST1-016 del Rasgo 7.

Un resto craneal de mamífero muy pequeño adulto con evidencias de disolución y posibles marcas de hongos.

○ Procedencia MST1-017

Especie	NISP	NME	NMI
ROD	1	1	1

Tabla. Distribución de los restos de la Procedencia MST1-017 del Rasgo 7.

Especie	NISP	EP
ROD	1	1

Tabla. Distribución anatómica de los restos de la Procedencia MST1-017 del Rasgo 7.

Especie	NMI	AD
ROD	1	1

Tabla. Edades relativas de los restos de la Procedencia MST1-016 del Rasgo 7.

Especie	NISP	Disolución
ROD	1	1

Tabla. Alteraciones de los restos de la Procedencia MST1-017 del Rasgo 7.

Un resto de extremidad posterior de roedor adulto con marcas de disolución.

○ Procedencia MST1-018

Especie	NISP	NME	NMI
MMP	1	1	1

Tabla. Distribución de los restos de la Procedencia MST1-018 del Rasgo 7.

Especie	NISP	EX
MMP	1	1

Tabla. Distribución anatómica de los restos de la Procedencia MST1-018 del Rasgo 7.

Especie	NMI	IND
MMP	1	1

Tabla. Edades relativas de los restos de la Procedencia MST1-018 del Rasgo 7.

Especie	NISP	Termoalteración
MMP	1	1 (M)

Tabla. Alteraciones de los restos de la Procedencia MST1-018 del Rasgo 7.

Un resto de extremidad de mamífero muy pequeño quemado.

- Procedencia MST1-020

Especie	NISP	NME	NMI
ODVI	1	1	1

Tabla. Distribución de los restos de la Procedencia MST1-020 del Rasgo 7.

Especie	NISP	EA
ODVI	1	1

Tabla. Distribución anatómica de los restos de la Procedencia MST1-020 del Rasgo 7.

Especie	NMI	AD
ODVI	1	1

Tabla. Edades relativas de los restos de la Procedencia MST1-020 del Rasgo 7.

Especie	NISP	Termoalteración
ODVI	1	1 (M)

Tabla. Alteraciones de los restos de la Procedencia MST1-020 del Rasgo 7.

Un resto de extremidad anterior de venado adulto quemado.

- Procedencia MST1-021

Especie	NISP	NME	NMI
MMP	1	1	1

Tabla. Distribución de los restos de la Procedencia MST1-021 del Rasgo 7.

Especie	NISP	IND
MMP	1	1

Tabla. Distribución anatómica de los restos de la Procedencia MST1-021 del Rasgo 7.

Especie	NMI	IND
MMP	1	1

Tabla. Edades relativas de los restos de la Procedencia MST1-021 del Rasgo 7.

Especie	NISP	Trazas
---------	------	--------

MMP	1	1
-----	---	---

Tabla. Alteraciones de los restos de la Procedencia MST1-021 del Rasgo 7.

Un resto de mamífero muy pequeño con marcas de corte.

Especie	NISP	NME	NMI
ODVI	1	1	1
CAPO	8	6	5
ROD	1	1	1
MMP	3	3	3

Tabla. Resumen taxonómico de resto del rasgo 7 del tramo 1 de la calle Manuela Sáenz.

Especie	NISP	CR	EA	EP	EX	IND
ODVI	1		1			
CAPO	8	5		3		
ROD	1			1		
MMP	3	1			1	1

Tabla. Resumen anatómico de resto del rasgo 7 del tramo 1 de la calle Manuela Sáenz.

Especie	NMI	AD	IND
ODVI	1	11	
CAPO	5	5	
ROD	1	1	
MMP	3	1	2

Tabla. Resumen de edades de resto del rasgo 7 del tramo 1 de la calle Manuela Sáenz.

Especie	NISP	Termoalteración	Trazas	Disolución	Presión	Hongos
ODVI	1	1 (M)				
CAPO	8	7 (M)	2	1	1	
ROD	1			1		
MMP	3	1 (M)	1	1		1

Tabla. Resumen tafonómico de resto del rasgo 7 del tramo 1 de la calle Manuela Sáenz.

## Rasgo 8

### - Depósito 1

#### ○ Procedencia MST1-013

Especie	NISP	NME	NMI
MMP	1	1	1

Tabla. Distribución de los restos de la Procedencia MST1-013 del Rasgo 8.

Especie	NISP	EX
MMP	1	1

Tabla. Distribución anatómica de los restos de la Procedencia MST1-013 del Rasgo 8.

Especie	NMI	IND
MMP	1	1

Tabla. Edades relativas de los restos de la Procedencia MST1-013 del Rasgo 8.

Especie	NISP	Termoalteración
MMP	1	1 (MN)

Tabla. Alteraciones de los restos de la Procedencia MST1-013 del Rasgo 8.

Un resto de extremidad de mamífero muy pequeño quemado.

- Depósito 2

o Procedencia MST1-014

Especie	NISP	NME	NMI
CAPO	4	1	1

Tabla. Distribución de los restos de la Procedencia MST1-014 del Rasgo 8.

Especie	NISP	EX
CAPO	4	4

Tabla. Distribución anatómica de los restos de la Procedencia MST1-014 del Rasgo 8.

Especie	NMI	IND
CAPO	1	1

Tabla. Edades relativas de los restos de la Procedencia MST1-014 del Rasgo 8.

Especie	NISP	Termoalteración
CAPO	4	4 (N)

Tabla. Alteraciones de los restos de la Procedencia MST1-014 del Rasgo 8.

4 restos de extremidades de un cuy quemados.

o Procedencia MST1-015

Especie	NISP	NME	NMI
CAPO	1	1	1

Tabla. Distribución de los restos de la Procedencia MST1-015 del Rasgo 8.

Especie	NISP	CR
CAPO	1	1

Tabla. Distribución anatómica de los restos de la Procedencia MST1-015 del Rasgo 8.

Especie	NMI	AD
CAPO	1	1

Tabla. Edades relativas de los restos de la Procedencia MST1-015 del Rasgo 8.

Especie	NISP	Termoalteración
CAPO	1	1 (M)

Tabla. Alteraciones de los restos de la Procedencia MST1-015 del Rasgo 8.

Un resto craneal de cuy adulto quemado.

- Procedencia MST1-016

Especie	NISP	NME	NMI
CAPO	1	1	1

Tabla. Distribución de los restos de la Procedencia MST1-016 del Rasgo 8.

Especie	NISP	CR
CAPO	1	1

Tabla. Distribución anatómica de los restos de la Procedencia MST1-016 del Rasgo 8.

Especie	NMI	AD
CAPO	1	1

Tabla. Edades relativas de los restos de la Procedencia MST1-016 del Rasgo 8.

Especie	NISP	Termoalteración
CAPO	1	1 (M)

Tabla. Alteraciones de los restos de la Procedencia MST1-016 del Rasgo 8.

Un resto craneal de cuy adulto quemado.

- Procedencia MST1-017

Especie	NISP	NME	NMI
CAPO	1	1	1
ODVI	1	1	1

Tabla. Distribución de los restos de la Procedencia MST1-017 del Rasgo 8.

Especie	NISP	EP	EX
CAPO	1		1
ODVI	1	1	

Tabla. Distribución anatómica de los restos de la Procedencia MST1-017 del Rasgo 8.

Especie	NMI	AD
CAPO	1	1
ODVI	1	1

Tabla. Edades relativas de los restos de la Procedencia MST1-017 del Rasgo 8.

Especie	NISP	Termoalteración	Disolución
CAPO	1	1 (M)	
ODVI	1		1

Tabla. Alteraciones de los restos de la Procedencia MST1-017 del Rasgo 8.

Un resto de extremidad posterior de venado adulto con marca de disolución y otro resto de extremidad de cuy adulto quemado.

- Procedencia MST1-018

Especie	NISP	NME	NMI
CAPO	1	1	1

Tabla. Distribución de los restos de la Procedencia MST1-018 del Rasgo 8.

Especie	NISP	EA
CAPO	1	1

Tabla. Distribución anatómica de los restos de la Procedencia MST1-018 del Rasgo 8.

Especie	NMI	IND
CAPO	1	1

Tabla. Edades relativas de los restos de la Procedencia MST1-018 del Rasgo 8.

Especie	NISP	Termoalteración
CAPO	1	1 (M)

Tabla. Alteraciones de los restos de la Procedencia MST1-018 del Rasgo 8.

Un resto de extremidad anterior de cuy quemado.

Especie	NISP	NME	NMI
---------	------	-----	-----

ODVI	1	1	1
CAPO	8	5	5
MMP	1	1	1

Tabla. Resumen taxonómico del rasgo 8 del tramo 1 de la calle Manuela Sáenz.

Especie	NISP	CR	EA	EP	EX	IND
ODVI	1			1		
CAPO	8	2	1		5	
MMP	1				1	

Tabla. Resumen anatómico del rasgo 8 del tramo 1 de la calle Manuela Sáenz.

Especie	NMI	AD	IND
ODVI	1	1	
CAPO	4	2	2
MMP	1		1

Tabla. Resumen de edades del rasgo 8 del tramo 1 de la calle Manuela Sáenz.

Especie	NISP	Termoalteración	Trazas	Disolución	Presión	Hongos
ODVI	1			1		
CAPO	7	5 (N) 2 (M)				
MMP	1	1 (MN)				

Tabla. Resumen tafonómico del rasgo 8 del tramo 1 de la calle Manuela Sáenz.



Zona de excavación: Manuela Sáenz Tramo 2 (NR 14)

Depósito 2

- Rasgo 1

○ MST2-002

Especie	NISP	NME	NMI
ODVI	1	1	1
PUME	1	1	1
CAPO	2	2	1
ROD	2	2	1
MM	2	2	1
MP	2	2	1

Tabla. Distribución de los restos de la Procedencia MST2-002 del Rasgo 1.

Especie	NISP	CR	AX	EA	EP	EX
ODVI	1					1
PUME	1		1			
CAPO	2	1			1	
ROD	2			2		
MM	2	1				1
MP	2	1			1	

Tabla. Distribución anatómica de los restos de la Procedencia MST2-002 del Rasgo 1.

Especie	NMI	AD	INF	IND
ODVI	1			1
PUME	1	1		
CAPO	1	1		
ROD	2	1		
MM	1			1
MP	1		1	

Tabla. Edades relativas de los restos de la Procedencia MST2-002 del Rasgo 1.

Especie	NISP	Termoalteración	Disolución	Vermiculaciones	Presión
ODVI	1	1 (M)	1		
PUME	1		1		
CAPO	2			1	
ROD	2	2 (M)			
MM	2	1 (M)			
MP	2				1

Tabla. Alteraciones de los restos de la Procedencia MST2-002 del Rasgo 1.

Este rasgo es muy variado. En esta procedencia contamos con un resto de extremidad de venado con presencia de quemado y disolución. Un resto axial de pudu adulto con evidencia de disolución. Dos restos de cuy (cráneo y extremidad posterior) pertenecientes a un individuo adulto con marcas de raíces. Dos restos de extremidad anterior de roedor adulto quemados. Dos restos de un mamífero de talla media con quemado. Y dos restos de un mamífero pequeño infantil con evidencias de presión del sedimento.

○ MST2-003

Especie	NISP	NME	NMI
ODVI	2	2	2
CAPO	2	2	1

Tabla. Distribución de los restos de la Procedencia MST2-003 del Rasgo 1.

Especie	NISP	CR	EP	EX
ODVI	2	1	1	
CAPO	2		1	1

Tabla. Distribución anatómica de los restos de la Procedencia MST2-003 del Rasgo 1.

Especie	NMI	AD	JUV	IND
ODVI	2	1	1	
CAPO	1	1		

Tabla. Edades relativas de los restos de la Procedencia MST2-003 del Rasgo 1.

Especie	NISP	Termoalteración	Fractura	Impactos	Presión
ODVI	2	1 (M)	1	1	1
CAPO	2	2 (M)			1

Tabla. Alteraciones de los restos de la Procedencia MST2-003 del Rasgo 1.

Dos restos pertenecientes a dos venados, un adulto y un juvenil. Presentan quemado, fractura, impactos y presión del sedimento. Un cuy adulto representado por dos restos que se encuentran quemado y afectados por la presión del sedimento.

Especie	NISP	NME	NMI
ODVI	3	3	3
PUME	1	1	1
CAPO	4	4	2
ROD	2	2	1
MM	2	2	1
MP	2	2	1

Tabla. Resumen taxonómico de los restos del rasgo 1 del tramo 2 de la calle Manuela Sáenz.

Especie	NISP	CR	AX	EA	EP	EX
ODVI	3	1			1	1
PUME	1		1			
CAPO	3	1			2	
ROD	2			2		
MM	2	1				1
MP	2	1			1	

Tabla. Resumen anatómico de los restos del rasgo 1 del tramo 2 de la calle Manuela Sáenz.

Especie	NMI	AD	INF	IND
ODVI	1			1
PUME	1	1		
CAPO	1	1		
ROD	2	1		1
MM	1			1
MP	1		1	

Tabla. Resumen de edades de los restos del rasgo 1 del tramo 2 de la calle Manuela Sáenz.

Especie	NISP	Termoalteración	Disolución	Vermiculaciones	Fracturas	Impacto	Presión
ODVI	3	2 (M)	1		1	1	1

PUME	1		1				
CAPO	4	2 (M)		1			1
ROD	2	2 (M)					
MM	2	1 (M)					
MP	2						1

Tabla. Resumen tafonómico de los restos del rasgo 1 del tramo 2 de la calle Manuela Sáenz.

#### Tablas de Resumen de Restos Totales

Especie	NISP	NME	NMI
ODVI	55	18	18
PUME	7	7	7
CAPO	40	22	19
SYBR	2	1	1
MG	4	2	2
MM	102	29	28
MP	81	9	7
MMP	4	4	4
ROD	18	11	10
CARNÍVORO	1	1	1
AP	3	2	2
Indeterminado	29	2	2

Tabla. Resumen taxonómico del total de los restos.

Especie	NISP	CR	AX	EA	EP	EX	IND
ODVI	55	26	1	4	2	10	12
PUME	7		3	3	1		
CAPO	40	21		1	10	8	
SYBR	2	2					
MG	4		1			20	1
MM	102	11	14		1	23	35
MP	81	1		1	22	52	1
MMP	4	1				2	1
ROD	18	8		3	7		
CARNIVORO	1	1					
AP	3				1	2	
IND	29						29

Tabla. Resumen anatómico del total de los restos.

Especie	NMI	AD	SUB	INF	IND
ODVI	28	15	2		11
PUME	3	2			1
CAPO	17	11			6
SYBR	1				1
MG	2	1			1
MM	27	5	2		20
MP	6			1	5
MMP	4	1			3
ROD	15	3			12
CARNIVORO	1	1			1
AP	2				2
IND	1				1

Tabla. Resumen por edades del del total de los restos.

Especie	NISP	Trazas	Fracturas	Pulido	Impactos	Termoalteración	Vermiculaciones	Carnívoros	Disolución
ODVI	54		3		1	23 (M) 2 (N) 1 (AM) 1 (B) 1 (G)	1		28
PUME	7	1	5			1 (N) 2 (B) 3 (M)			1
CAPO	29		5			22 (M) 5 (N)			1
MG	4	1				1 (M)			1
MM	55	2	17	2	2	55 (M) 4 (N) 1 (AM) 1 (G)	9	1	8
MP	16	79	5			21 (M) 3(AM)	3		22
MMP	4	1				1 (M) 1 (MN)			1
ROD	8					6 (M)			2
AP	3					3 (M)			
Indeterminado	28					24 (AM) 4 (M)			

Tabla. Resumen tafonómico del total de los restos.

Una vez analizada la muestra correspondiente los cortes y tramos de las calles Manuela Sáenz y Manuela Cañizares del barrio La Dolorosa de la parroquia Llano Chico, donde se han hallado los diferentes restos fúnicos, organizados de acuerdo con su presencia en los diferentes depósitos, rasgos y procedencias, se ha llegado a una serie de conclusiones que paso a desarrollar.

Lo primeramente observable es el mayor número de rasgos y procedencias sobre las que se ha incidido en relación a la primera fase, pero al tratarse de una recuperación de urgencia debido

a las obras de alcantarillado sobre el terreno, el volumen de restos óseos hallados es menor y su integridad en muchos casos es mala, encontrándose muchos de los elementos seriamente dañados por los trabajos de maquinaria.

Siguen apareciendo, aunque escasos, restos de animales modernos en las cotas superiores de la excavación, con alteraciones fruto de los agentes climáticos tras haber sufrido la intemperie.

Entre las especies arqueológicas halladas predominan el venado de cola blanca y el cuy, y también se han hallado restos de pudu y conejo. Se han podido identificar restos de ave pequeña, mamíferos de talla grande, media, pequeña y muy pequeña que abarcarían los anteriores, así como roedores cuya especie no ha podido ser identificada, pero que no serían ni el conejo ni el cuy. La mayor parte de los animales donde se ha podido asociar de manera cualitativa la edad corresponden a adultos, seguidos de algún subadulto, y solo un infantil, definido por la ausencia de fusión de las epífisis de los huesos largos.

La ausencia de elementos diagnósticos de los restos llevó a la definición a través de la talla, pudiendo asociarse los restos no identificados a nivel de especie, pero sí con un tamaño medio, con venado, y los correspondientes a mamíferos pequeños y muy pequeños posiblemente asociados a roedores, siendo respaldada tal afirmación por el análisis cuantitativo relacionado con las edades de los individuos presentes concordando, por ejemplo, el NMI de venado y tallas medias con el desarrollo anatómico de los restos. Quizás, unos elementos asociados a mamífero de talla grande en niveles profundos pudieran asociarse con llama, pero es algo a revisar con mayor detenimiento.

En cuanto al análisis cuantitativo, si bien muchas veces nos encontramos con un mayor número de restos asociados a roedor o mamíferos pequeños o muy pequeños frente a venado o mamíferos de talla media, en el momento de llevar a cabo el conteo del NMI este resulta ser similar, lo cual implica que el mayor aporte energético podría venir del venado, que además proporciona materias primas óseas para el desarrollo de artefactos.

También se debe mencionar que la tasa de fragmentación de los roedores es mucho menor que la de los venados, con lo cual, el procesado para consumo de estos es mucho más evidente, siendo representados todos los grupos anatómicos en la muestra, aunque mayoritariamente las extremidades, con lo que se podría afirmar que, si bien si existe presencia de animales enteros para consumo en el lugar, hay mayor preferencia por las extremidades, seleccionando aquellos individuos adultos o subadultos. A nivel de sexo solo podemos mencionar que se han identificado machos por la presencia de astas.

En relación con las alteraciones de carácter antrópico se evidencian fracturas en fresco en los huesos, así como marcas de cortes y percusión. Son más abundantes en los animales de talla media y venados, pero también son evidentes en los roedores y cuyes. En todos los restos es muy evidente las marcas de quemado que oscilan desde el color amarillo o marrón, en su gran mayoría, hasta el negro, gris e incluso blanco en niveles más profundos, lo que evidencia la calcinación de los restos y la posibilidad de alcanzar grandes temperaturas de cocción, pudiendo ser asociadas con otro tipo de procesos que se pudieran estar desarrollando en la zona, como la elaboración de cerámica.

Cabe mencionar la existencia de astas de venado, entre las que se ha podido evidenciar alteraciones como pulidos muy notorios para posiblemente realizar diferentes manufacturas.

En cuanto a las alteraciones naturales se han identificado escasas marcas de carnívoros en los restos, pero sí son más abundantes las marcas de disolución o raíces, que sin estar al mismo nivel que las alteraciones antrópicas, sí evidencian la acción del agua al estar a la intemperie y el fácil crecimiento de las raíces en un suelo suelto donde apenas se aprecia evidencia de la acción de la presión del sedimento.

En resumen, estamos hablando de un espacio de consumo de venado o pudu, donde se realiza el despellejamiento, desarticulado y descarnado de sus diferentes elementos. Donde se prefiere para consumo las extremidades, pero aprovechando los restos óseos y las astas para la manufactura de otros elementos como pueden ser los ornamentales. Los cuyes, conejos y aves también se consumen, pero no he podido identificar con certeza que hayan sido usados para manufactura como los otros restos. Y también cabe destacar la presencia de roedores de menor tamaño que los ya citados, que posiblemente, al igual que se identificó en la primera fase, hayan pasado a formar parte de la muestra de manera accidental, no pudiendo evidenciarse esqueletos enteros por el tipo de recuperación de los restos.

Para establecer una continuidad en los análisis de las dos campañas de trabajo en Llano Chico, nos hemos servido de la asociación de los materiales excavados, dentro y fuera de los pazos, con sus respectivos depósitos. No todos los materiales han sido englobados, puesto que algunos pertenecen a pozos modernos con materiales mezclados y otros, por las características de su recuperación durante el monitorio, no se ha establecido bien esa asociación. Es muy valioso este resultado, ya que unifica y relaciona ambos trabajos y la información obtenida es más amplia para sustentar mejor las conclusiones.

En cuantos a los resultados para el Depósito 1 son los siguientes:

Se han analizado un total de 241 restos, correspondientes principalmente a venado o animales de talla similar, y a roedores o tamaños similares, como lagomorfos. El venado de cola blanca con 5 individuos, más el pudu con 1 sumado a los 11 mamíferos de talla media, suma un total de 17, frente a los 15 que se pueden asociar a roedores. No solo la cantidad es destacable, sino también el hecho del aporte energético diferencial que proporcionan los venados por su gran tamaño frente a los roedores. Otros taxones como carnívoros o aves son testimoniales. De todas formas, no se debe olvidar que en el depósito 1 hay mezcla con materiales modernos, por eso la presencia de mamíferos de talla grande perfectamente asociados con caballos.

Especie	NISP	NME	NMI
<i>Odocoileus virginianus</i>	13	8	5
<i>Pudu mephistophiles</i>	1	1	1
<i>Cavia porcellus</i>	4	1	1
<i>Rodentia</i>	17	14	8
Carnívoros	3	3	2



Ave p.	3	2	1
Mamífero Grande	15	7	4
Mamífero Medio	54	25	11
Mamífero Pequeño	51	6	5
Mamífero Muy Pequeño	1	1	1
	NR		
Indeterminado	79		

Tabla 1. Análisis cuantitativo de los restos del Depósito 1.

Especie	NISP	CR	AX	EA	EP	EX	IND
<i>Odocoileus virginianus</i>	13		2	2	1	8	
<i>Pudu mephistophiles</i>	1			1			
<i>Cavia porcellus</i>	4	3			1		
<i>Rodentia</i>	17	6	1	2	6	2	
Carnívoros	3	3					
Mamífero Grande	15		2		4	7	2
Mamífero Medio	54	3	4	1		15	31
Mamífero Pequeño	51			1	1	48	1
	NR						
Indeterminado	79						79

Tabla. Distribución anatómica de los restos del Depósito 1.

En cuanto a la distribución anatómica, no existe evidencia suficiente para confirmar con rotundidad la ausencia de un transporte diferencial al yacimiento, pero sí cabe esa posibilidad al hallarse elementos axiales de animales de talla grande y por ende seguro los cráneos, aprovechándose la pieza al máximo, no solo para consumo, sino también para generar herramientas para su uso y su intercambio.

Especie	NMI	AD	SUB	INF	IND
<i>Odocoileus virginianus</i>	6	2	1		3
<i>Pudu mephistophiles</i>	1	1			
<i>Cavia porcellus</i>	1	1			
<i>Rodentia</i>	6				6

Carnívoros	2	1			1
Mamífero Grande	4				4
Mamífero Medio	8	3		1	4
Mamífero Pequeño	5	1		1	3

Tabla. Edades relativas de los restos del Depósito 1.

Aunque no son muchos los individuos identificados, predomina la elección de adultos en los que se ha podido definir su talla de manera relativa en base a las fusiones de los huesos y la erupción dental.

Especie	NISP	Fracturas	Cortes	Termoalteración
<i>Odocoileus virginianus</i>	13	5		9 (M) 1 (G)
<i>Pudu mephistophiles</i>	1	1		1 (N)
<i>Cavia porcellus</i>	4			3 (M)
Rodentia	17	2		
Ave p.	3	1		1 (M)
Mamífero Grande	15	10	8	1 (NB) 1 (M)
Mamífero Medio	54	29	1	3 (MN) 3 (N) 1 (BN) 1 (G)
Mamífero Pequeño	51	1		1 (N)
Mamífero Muy Pequeño	1			1 (MN)
	NR			
Indeterminado	79	19		3 (N) 1 (BN)

Tabla. Alteraciones antrópicas del Depósito 1.

Las fracturas antrópicas son evidentes en los venados y animales de su porte, aunque en todos existe las marcas de fuego. Cabe destacar que el hecho de que el hueso se altere hasta llegar a coloraciones como el gris o blanco, implica un poder calorífico de la llama muy alto.

Especie	NISP	Disolución	Abrasión	Vermiculación	Presión	Carnívoros	Pulido
<i>Odocoileus virginianus</i>	13			2			
<i>Cavia porcellus</i>	4	1			1		

Mamífero Grande	15	10	3	5	2		
Mamífero Medio	54	25	9	1	6	1	1

Tabla. Alteraciones naturales de los restos del Depósito 1.

Asumiendo que en el depósito 1 existen materiales modernos, el hecho de la existencia de mamíferos grandes, ausentes en registros antiguos, y mamíferos medios que pueden ser equiparados a las ovejas y cabras comunes en el lugar, sumado a las alteraciones que estos han sufridos frente a los considerados antiguos como el venado de cola blanca, se puede observar su exposición a la intemperie, afectados por el agua que corre por las calles en pendiente, expresado en abrasiones, disoluciones o pulidos. El hecho de que existan marcas de carnívoros puede deberse perfectamente a los perros sueltos que merodean el barrio.

En el Depósito 2, libre de intrusiones modernas, se puede observar mucho más claramente la explotación de los venados que, aunque menores en números, mayores en tamaño, acompañados de conejos y cuyes, especies estas últimas domésticas. Es un total de 2086 restos, bastante fragmentados, lo que indirectamente implica un trabajo intensivo de explotación sobre los mismos.

Especie	NISP	NME	NMI
<i>Odocoileus virginianus</i>	107	78	24
<i>Pudu mephistophelis</i>	7	5	2
<i>Cavia Porcellus</i>	16	8	3
<i>Sylviagus brasiliensis</i>	4	4	3
<i>Rodentia</i>	432	322	45
<i>Rodentia mp.</i>	27	27	6
<i>Felidae</i>	3	3	2
Carnívoro pequeño	6	3	2
Ave media	22	21	9
Ave p.	8	8	3
Reptil	1	1	1
Mamífero Medio	400	102	15
Mamífero pequeño	167	60	21
	NR		
Indeterminado	886		

Tabla. Análisis cuantitativo de los restos del Depósito 2.

En este caso, la distribución anatómica muestra con claridad que el venado es transportado entero al asentamiento, para ser explotado en todas sus posibilidades, como así lo corrobora la

presencia de asta. Taxones no comunes en la muestra como reptiles o carnívoros, son meros testimoniales de lo que está aconteciendo.

Especie	NISP	CR	AX	EA	EP	EX	IND
<i>Odocoileus virginianus</i>	113	25	7	6	9	66	
<i>Pudu mephistophilis</i>	7		3	3	1		
<i>Cavia Porcellus</i>	16	4		1	5	6	
<i>Sylvilagus brasiliensis</i>	4	1	1				2
<i>Rodentia</i>	390	220	18	64	60	26	2
<i>Rodentia mmp.</i>	27	13				14	
<i>Felidae</i>	3	3					
Carnívoro pequeño	6	6					
Ave media	22	2	3	6	2	5	4
Ave p.	8		2	3	1	2	
Mamífero Medio	399	12	65	10	8	156	148
Mamífero pequeño	167	21	21	5	10	45	65
Reptil	1	1	1				
	NR						
Indeterminado	886	5			1	7	873

Tabla. Distribución anatómica de los restos del Depósito 2.

Además, existe una especialización hacia la captura de presas adultas, aunque sí es cierto que individuos más jóvenes se encuentran presentes en el registro, su número es menor.

Especie	NMI	AD	SUB	JUV	INF	NEO	IND
<i>Odocoileus virginianus</i>	24	11	2	6	1		4
<i>Pudu mephistophilis</i>	2	2					
<i>Syvilagus brasiliensis</i>	3	1					2
<i>Rodentia</i>	41	20		2	5		14
<i>Rodentia p.</i>	5	2			1	1	1
<i>Felidae</i>	2						2
Carnívoro pequeño	1						1
Ave media	6						6
Ave p.	2						2

Mamífero Medio	32	10	1	6	3		12
Mamífero pequeño	20	4		1	2		13
Reptil	1						1

Tabla. Edades relativas de los restos del Depósito 2.

Alteraciones antrópicas como fracturas y quemados nos dan información sobre el consumo, pero la presencia de pulidos sobre la superficie del hueso, también nos confirma que se va más allá y se están generando artefactos con los huesos y las astas. Los cortes son fruto de las actividades de despellejado, desarticulado y descarnado. Es evidente por las alteraciones que lo que consume son venados y roedores, lagomorfos, frente a otros taxones, que si bien están alterados por la acción antrópica, esta puede ser de manera indirecta en las acciones de consumo y manufactura. No todos los roedores se consumen, algunos se han hallado en conexión anatómica, fruto de muertes naturales en el asentamiento.

Especie	NISP	Fracturas	Termoalteración	Pulido	Cortes	Impactos
<i>Odocoileus virginianus</i>	107	47	1 (MN) 39 (M) 1 (B)	4	2	1
<i>Pudu mephistophelis</i>	7	6	5 (M) 1 (B)		1	
<i>Sylvilagus brasiliensis</i>	4	2	1 (B)			
<i>Cavia Porcellus</i>	16		12 (M) 2 (N)			
<i>Rodentia</i>	432	47	10 (M) 12 (N) 4 (MN) 1 (NB) 2 (B)		3	
Carnívoro p.	6		1 (NB)			
Mamífero Medio	400	183	19 (M), 3 (MN), 8(N), 3 (B)	1	5	4
Mamífero pequeño	167	47	14 (M), 3 (MN), 7 (N) 1(G) 1(B)		2	
Ave m.	22	7	2 (N)			
Ave p.	8	1	1 (N)			
	NR					
Indeterminado	886	82	30 (M), 3 (MN), 6 (N) 2 (B)			

Tabla. Alteraciones antrópicas de los restos del Depósito 2.

El análisis de la acción de los elementos bióticos y abióticos puede mostrarnos que los restos no han sido muy alterados por ellos. Si los huesos se dejasen a la intemperie la acción del agua sería mayor sobre ello, al igual que los mordisqueos por parte de los carnívoros del lugar. La poca incidencia de la presión en los mismo, fruto de pisoteos, permite intuir que estos se acumulaban en los basureros y se tapaban como posible medida de higiene.

Especie	NISP	Disolución	Abrasión	Carnívoros	Vermiculaciones	Concreción	Presión
<i>Odocoileus virginianus</i>	107	4		3	1	5	2
<i>Pudu mephistophelis</i>	7	1					
<i>Cavia Porcellus</i>	16	1					1
<i>Rodentia</i>	432	1	1		1		1
<i>Felidae</i>	1				1		
Carnívoro p.	6	1					
Ave m.	22			1			
Mamífero medio	400	45	16	2	15	18	11
Mamífero pequeño	167	33				1	1
	NR						
Indeterminado	886	8	5			3	

Tabla. Alteraciones naturales de los restos del Depósito 2.

Finalmente, el depósito 3, más profundo y con menos material que el 2, cuenta con 440 restos. De igual manera, el predominio del venado es notable, es asociación con un buen número de roedores y cuy.

Especie	NISP	NME	NMI
<i>Odocoileus virginianus</i>	32	10	8
<i>Cavia porcellus</i>	4	1	1
<i>Rodentia</i>	159	119	19
Carnívoros	2	2	1
Ave m.	20	17	8
Ave p.	4	1	1
Mamífero Medio	50	19	11
Mamífero Pequeño	37	17	8
	NR		
Indeterminado	132		

Tabla. Análisis cuantitativo de los restos del Depósito 3.

El transporte no se hace despiezando al animal al yacimiento, sino que se traslada para ser explotado al máximo. Especies domésticas, aun habiendo predominio de la caza, definen espacios que aún no se han encontrado.

Especie	NISP	CR	AX	EA	EP	EX	IND
<i>Odocoileus virginianus</i>	32	3		1	21	7	

<i>Cavia porcellus</i>	4	2			2		
<i>Rodentia</i>	159	85	3	23	26	21	1
Carnívoros	2	2					
Ave m.	20	2	5	5	3	4	1
Ave p.	4					4	
Mamífero Medio	48	4	3	1	2	37	1
Mamífero Pequeño	41	8	6	3		14	10
	NR						
Indeterminado	137					2	135

Tabla. Distribución anatómica de los restos del Depósito 3.

Explotación de individuos adultos principalmente, aunque existe la presencia de infantiles en el registro.

Especie	NMI	AD	SUB	JUV	INF	IND
<i>Odocoileus virginianus</i>	8	2	1		1	4
<i>Cavia porcellus</i>	1	1				
<i>Rodentia</i>	19	7	1		1	10
Ave m.	8			1		7
Carnívoros	1					1
Mamífero Medio	11	1		3		7
Mamífero Pequeño	8				1	7

Tabla. Edades relativas de los restos del Depósito 3.

Las alteraciones antrópicas son mucho más evidentes en venado y mamíferos de su porte, si bien la alteración la sufren también otros taxones, en estos es mucho mayor. Evidencias de cortes en aves proporcionan información sobre su consumo en el yacimiento. Estas no tienen gran porte, pudiendo asociarse con palomas o perdices, comunes en la zona hoy en día.

Especie	NISP	Fracturas	Termoalteración	Cortes
<i>Odocoileus virginianus</i>	32	3	1 (MN) 2(M)	
<i>Cavia porcellus</i>	4		4 (M)	1
<i>Rodentia</i>	159	9	1 (M) 1 (MN) 1 (N)	
Mamífero Medio	50	26	6 (M) 1 (N) 1 (MN)	
Mamífero Pequeño	37	14	2 (M) 1 (N)	

Ave p.	4		3 (MN) 1 (M)	3
Ave m.	20	1	1 (N)	1
	NR			
Indeterminado	50	30		

Tabla. Alteraciones antrópicas de los restos del Depósito 3.

Finalmente, las alteraciones bióticas y abióticas en este depósito son muchos menores que en el 2, aunque cabe destacar la única presencia de posible alteración por hongos.

Especie	NISP	Disolución	Abrasión	Presión	Vermiculación	Hongos
<i>Rodentia</i>	159	4	12	1		
Mamífero Medio	50				1	
Ave p	4	1				1

Tabla. Alteraciones naturales de los restos del Depósito 3.



Estrategia de subsistencia en Llano Chico durante el Desarrollo Regional.

Llano Chico en el asentamiento del Desarrollo Regional más cercano al foco de erupción volcánica que marcó la transición con el Formativo y que provocó movimientos poblacionales notorios y cambios en el modo de vida (Mosquera, 2023).

Nos encontramos ante un espacio repleto de tumbas y de basureros, con una posible continuidad de ocupación durante los primeros cuatros siglos de nuestra era y con gran cantidad de restos fáunicos (Soria, 2021). Predominan especies salvajes como el venado de cola blanca, cuyo número puede aumentar asociándolo con mamíferos de talla similar presentes en la muestra, o el muy esporádico pudu. Las otras especies predominantes son cuy o conejo, animales domésticos que permiten inferir espacios de asentamiento no identificados o que han podido ser removidos por las alteraciones modernas, e de igual manera su número aumenta al equiparlas con mamíferos no defines por taxón, pero sí con una talla similar.

Otros animales presentes, aunque esporádicos, son roedores de menor porte, muy probablemente no consumidos, aves de pequeña y mediana talla que si formaron parte de la dieta como pudieran ser perdices y palomas, carnívoros y reptiles. Existen cinco gatos infantiles modernos prácticamente completos, pero asociados a un pozo moderno, al igual que animales en niveles superficiales propios del barrio actual.

La mayor acumulación de restos se encuentra en los pozos y muy probablemente parte de ellos han podido formar parte directa de las tumbas.

El predominio de la caza del venado es evidente, ya que pese a existir un número similar con las especies domésticas, el aporte energético que proporciona su consumo es varias veces mayor. A ello se le suma que no se está haciendo transporte diferencial, eligiendo principalmente adultos o subadultos que se trasladan entero al yacimiento. Un macho adulto, además de carne para consumo, proporciona hueso y asta con los que manufactura herramientas que pueden servir para su empleo o intercambio con otras poblaciones.

La alteración antrópica de los restos de venado es mucho mayor que en el resto de taxones presentes. Su nivel de fracturación implicado un nivel de explotación máxima, al igual que la presencia de quemados y marcas de corte, propias del proceso de consumo, pero también del proceso de trabajado del hueso y la asta. Pulidos sobre los restos así lo atestiguan.

Además de las alteraciones antrópicas, elementos bióticos como marcas de carnívoros con escasas, al igual que la incidencia de raíces. La acción del agua en niveles no superficiales es menor, evidenciaba en procesos como disoluciones y abrasiones. Todo ello puede dilucidar que los restos consumidos y con los que no se trabajaba eran arrojados a los basureros y tapados, evitando la presencia habitual de carroñeros y el mal olor asociado a procesos de descomposición.

La presencia de animales domésticos se debe sumar a la coloración gris y blanca de algunos restos. Esta coloración no se alcanza fácilmente sin medios adecuados como un horno para cerámica. Lo que permite vislumbrar la existencia de espacios de habitación, que han podido ser destruidos por la acción moderna en el lugar, o que han aún no han sido encontrados.

La relación ser humano-fauna en los Andes Septentrionales del Ecuador durante los periodos Formativo Tardío y Desarrollo Regional.

El presente trabajo se marcó como objetivo principal realizar un pequeño aporte al conocimiento del pasado ecuatoriano a través de los estudios faunísticos. Dos han sido los yacimientos empleados para tal fin. Por un lado, Las Orquídeas en San Antonio de Ibarra, perteneciente al Formativo Tardío y por otro Llano Chico, enmarcado en el Desarrollo Regional, ubicado en Quito. Dos yacimientos en ecosistemas similares, y consecutivos en cuanto a cronología se refiere, que permiten ver la continuidad o no, en las estrategias de subsistencia desarrolladas por sus habitantes en este espacio particular perteneciente a los Andes septentrionales del Ecuador (Montalvo 2016; Dyrdaahl 2017; Dyrdaahl et al. 2017; Soria, 2021; Dyrdaahl y Montalvo 2021; Dyrdaahl 2022; Ugalde y Dyrdaahl 2021; Mosquera 2023).

Los resultados obtenidos del análisis de los restos óseos fáunicos de Las Orquídeas, han arrojado valiosa información. Su estratigrafía dividida en cuatro eventos denominados fases, ha marcado la agrupación de los análisis.

Las fases I, II y IV, se comportan de manera similar. El venado es la principal especie cazada y consumida, así como otros especímenes de similar tamaño. Aparentemente no existe una selección de edades específicas, pudiendo encontrarse en el registro tanto individuos adultos como juveniles, y de igual manera, el transporte no es selectivo. Los especímenes, al parecer, se trasladan enteros, lo que implica no solo unos fines para el consumo, sino también el aprovechamiento al máximo de otros elementos como el hueso o el asta para generar artefactos y herramientas que sirvan tanto para el uso propio, como también para la circulación e intercambio. Las alteraciones de carácter antrópico inciden principalmente sobre esta especie, a modo de fracturas y quemados, pero están también presentes en otras especies del yacimiento como cuy, conejo y roedores de diversa talla. La asociación salvaje-venado con doméstico-cuy y/o conejo, pese a la presencia de otras especies puntualmente consumidas que aparecen en el registro, es el binomio que hemos podido observar en otros yacimientos que nos han servido de referencia para el estudio de este.

Existe un hiato en la Fase III, donde se puede apreciar la considerable disminución de la presencia de venado, frente al conejo, cuy y mamíferos de pequeño tamaño, ya intuido por Mery (2020) en su tesis de licenciatura. La antes mencionada autora sugiere asociarlo a un cambio ambiental que haya podido afectar la presencia de venado y permitido el crecimiento exponencial del conejo (Mary 2020, pp-115-116). La evidencia analizada para este estudio, en cambio, apuntaría a una clara relación entre la ausencia de venado con el crecimiento en el número de termoalteraciones que alcanzan grandes temperaturas.

Yacimientos como La Chimba (Stahl, Athens, 2000) y Cotocollao (Villalba, 1988) han sido la referencia para este periodo. El aporte en sus definiciones de taxones ha servido para una mejor interpretación en este trabajo. El binomio mencionado, venado-conejo o cuy en algunos casos, es el predominante en ambos yacimientos (Stahl y Athens, 2001) (Villalba, 1988; Ziolkowski *et al.*, 1994:121-124), donde se produce una especialización en la explotación de los venados que son introducidos sin modificar previamente en los asentamientos. En sus investigaciones se infiere que no se trataría solo de un elemento de consumo, sino que se emplearían huesos y astas para la realización de productos manufacturados con los que poder intercambiar por otros productos (Stahl, Athens, 2000).

Con la excepción de lo acontecido en la Fase III, las otras fases se corresponden con lo definido para La Chimba y Cotocollao. Este análisis se suma a comprobar que durante el periodo Formativo Tardío se han especializado en la caza y gran explotación de venados en la Sierra norte del Ecuador, parejo al consumo de una segunda especie doméstica como pueden ser el conejo o el cuy.

El análisis no se limita al Formativo. Se ha estudiado el yacimiento de Llano Chico, perteneciente al Desarrollo Regional, y ubicado en un ecosistema similar a Las Orquídeas. Se trata una extensa área repleta de tumbas y basureros, con posible continuidad de ocupación en los primeros años de nuestra era (Soria, 2021; Mosquera 2023). Presenta gran cantidad de restos fáunicos, con el venado de cola blanca como elemento predominante en el registro y con presencia de cuy y conejo, animales que permiten evidenciar la existencia de unos espacios domésticos aún no localizados. Si bien estas son las especies principales, aves, reptiles y carnívoros también están presentes en la muestra.

El venado es predominante, existiendo una especialización en la caza de machos, y aun existiendo un número similar de otros especímenes, este aporta mayor energía a los grupos humanos. Y, además, su transporte al yacimiento no es diferencial, con lo cual se le aprovecha para producir artefactos a través de sus huesos y astas. También es el principal receptor de las alteraciones antrópicas, como fracturas y quemados. Estos últimos, alcanzan coloraciones grises y blancas, lo que indirectamente nos proporciona información sobre la posible existencia de hornos o estructuras pirotécnicas de carácter productivo (posiblemente para cocción de cerámica) en la zona como sucede en el yacimiento de Las Orquídeas (Montalvo 2016; Dyrdaahl 2017; Dyrdaahl et al. 2017; Dyrdaahl y Montalvo 2021).

Como se puede observar, la explotación de la fauna en los cuatro yacimientos considerados para las comparaciones, a los que se suma Jardín del Este (periodo de desarrollo Regional), que sigue un patrón similar que no muestra modificaciones evidentes en el tiempo y espacio. Pese a la presencia de otros animales poco comunes en el conjunto, Gutiérrez (2009, pp-517-525) observa que los taxones predominantes son el venado y el conejo.

Finalmente, y recordando los objetivos marcados al inicio, se ha podido reconocer las estrategias de subsistencia de los grupos humanos de Las Orquídeas y Llano Chico, con especial énfasis en la especialización de venado. Se han identificado los principales taxones, a saber, venado, conejo y cuy, y con ellos comparar especializaciones en Cotocollao, La Chimba y Jardín del Este, donde se aprecia un patrón común. Y el análisis tafonómico de los restos nos ha permitido identificar los principales agentes de transformación de los yacimientos; por un lado, el mismo ser humano, a través de fracturas y quemados y por otro el accionar del agua en restos, sobre todo, presentes en superficie.

Con este trabajo se ha podido aportar humildemente a vislumbrar ciertos patrones comunes entre yacimientos de un mismo ecosistema, aun cuando los periodos culturales cambien. Un cambio en el desarrollo cerámico o complejidad social, no tiene porqué ir a la parte con un cambio en las estrategias de subsistencia.

## Bibliografía

Altamirano, J. (1983) Guía osteológica de cérvidos andinos. Universidad Mayor de San Marcos. Serie Investigaciones 6. Lima. Perú.

Arellano, J. (1994) Análisis preliminar del material cultural lítico del sitio CHM-1, provincia de Chimborazo, Ecuador. Instituto Otavaleño de Antropología, Otavalo. Ecuador.

Athens, J. S. (1978). Formative Period Occupations in the Highlands of Northern Ecuador: A Comment on Myers. *American Antiquity*, 43(3), 493-496.

Athens, S. (1990). Pre-Hispanic agricultural expansion and population growth in northern highland Ecuador: Interim report for 1989 fieldwork (Informe Inédito). Quito: INPC.

Athens, J. S. (1995). Relaciones interregionales prehistóricas en el norte de los Andes: evidencia del sitio La Chimba en el Ecuador septentrional. In: *Perspectivas Regionales en la Arqueología del Suroccidente de Colombia y Norte del Ecuador*, C. Gnecco (Ed.): 3-29. Popayán: Editorial Universidad del Cauca.

Ayala Mora, E. (2008) Resumen de Historia del Ecuador, Corporación Editora Nacional, Quito. Ecuador.

Barone, R. (1976) *Anatomie compare des mammifères domestiques*. Vigot Frères Editeurs, Paris

Baumel, J. (1979) *Nomina Anatomica Avium*. An annotated anatomical dictionary of birds. Academic Press. London, New York, Sydney, Toronto.

Bell, R. (1965). Investigaciones arqueológicas en el sitio del Inga, Ecuador. Casa de la Cultura Ecuatoriana. Quito. Ecuador.

Berenguer, R., J., Echeverría, J. A. (1995). Excavaciones en Tababuela, Imbabura, Ecuador Area Septentrional Andina Norte: Arqueología y Etnohistoria (Ediciones Abya-Yala ed., Vol. 8, pp. 149-252). Quito: Banco Central del Ecuador and Instituto Otavaleño de Antropología.

Binford, L., (1972) *An Archaeological Perspective*, Seminar Press, New York

Binford, L. (1981). *Bones. Ancient men and modern myths*. New York: Academy Press INC.

Binford, L. (1983) *In Pursuit of the Past*, Thames and Hudson, New York

Bischof, H. (1982) La fase Engoroy--Períodos, cronología y relaciones. En Marcos, J. Norton, P., Primer simposio de correlaciones antropológicas andino-mesoamericano, 25-31 Guayaquil: Escuela Superior Politécnica del Litoral. pp. 135-176.

Blasdcó, R., (2011) La amplitud de la dieta cárnica en el Pleistoceno medio peninsular: una aproximación a partir de la Cova del Bolomor (Tavernes de la Valldigna, Valencia) y el subnivel TD10-1 de Gran Dolina (Sierra de Atapuerca, Burgos), Departament d'Història i Història de l'Art, Universitat Rovira i Virgili, Tarragona

Bonifaz, E. (1978). Obsidians del paleoindio de la región del Ilaló. Editorial Varela. Quito. Ecuador.

Bruhns, K. O. (2003). Social and Cultural Development in the Ecuadorian Highlands and Eastern Lowlands during the Formative. En Raymond J. S., Burger, R. L. (Eds.), *Archaeology of Formative Ecuador*. Washington DC: Dumbarton Oaks. pp. 125-174.

- Burke, E., N. Goldenson, T. Moon, and S. Po-Chedley (2010). *Climate and Climate Change in Ecuador: An Overview*. Atmospheric Sciences. University of Washington.
- Buys, J. (1994) *Arqueología de Rescate en "La Comarca", Cumbayá, Ecuador*. Instituto Nacional del Patrimonio Cultural, Quito, Ecuador.
- Buys, J., Camino, B. & Santamaría A. (1994). *La investigación arqueológica de Cumbaya*. Quito. Ecuador. final presentado al Instituto de Patrimonio Cultural, Quito.
- Buys, J., Camino, B., Santamaria, A. (1994). *Prospección Arqueológica en la Hoya del Guayllabamba*. Instituto Nacional del Patrimonio Cultural. Quito.Ecuador.
- Buys, J., & Domínguez, V. (1988). *Un Cementerio de hace 2000 años: Jardín del Este*. Quito antes de Benalcázar. Centro Cultural Artes, Quito. Ecuador. Pp. 31-50.
- Callou, C. (1997) *Fiches d'ostologie animale pour l'archéologie. Série b: mammifères*. Centre de Reserches Archéologiques du CNRS. APDCA. Francia.
- Camino, B. (1999). *Los Soles: Un caso de arqueología de Rescate: alcances y limitaciones* (Tesis inédita de grado). Quito: Universidad Politécnica Salesiana.
- Cañadas, L. (1983). *El mapa bioclimático y ecológico del Ecuador*. Quito: Banco Central del Ecuador.
- Chaix, L., Méniel, P. (2005). *Manual de Zooarqueología*. Barcelona: Ariel.
- Collier, D., Murra, J. V. (2007). *Reconocimientos y excavaciones en el austro ecuatoriano*. Casa de la Cultura. Cuenca, Azuay, Ecuador:
- Constantine, A. (2012). *Estudio de complementación de datos actualísticos Parque Arqueológico y Ecológico Rumipamba*. Informe final entregado al Instituto Nacional de Patrimonio Cultural. IMP. Quito. Ecuador.
- Davis, S., (1989) *La arqueología de los animales*, Ediciones Bellatera, Barcelona
- Delgado Espinosa, F. (2009). *Método y teoría de la Arqueología Ecuatoriana*. En Jaramillo, L.G. *Arqueología en Latinoamérica: historias, formación académica y perspectivas temáticas : memorias del Primer Seminario Internacional de Arqueología Uniandes* Edition: IChapter: 80-109. Universidad de los Andes
- Domínguez, V. (2008a). *Informe de la prospección en la construcción de una planta de conservas en la parroquia Puenbo – Provincia de Pichincha Cantón Quito, financiada por PRONACA*. Informe inédito presentado al INPC. Quito.Ecuador.
- Domínguez, V. (2008b). *Prospección intra-sitio, excavación y monitoreo en el área de Ciudad Bicentenario – Sitio Arqueológico Tajamar Z3B1-017 (lado sur)- Primera parte*. Informe inédito entregado al FONSAL. Quito. Ecuador.
- Domínguez, V., Mejía, F., Sánchez, F. y Alexia, Ibarra. (2003). *Identificación de zonas arqueológicas en el área urbana de Quito - Fondo de Salvamento del Patrimonio Cultural del Distrito Metropolitano de Quito*. informe final (inédito) entregado al Instituto Metropolitano de Patrimonio. Quito. Ecuador.
- Driesch, A. von der, (1976) *A guide to the measurement of animal bones from archaeological sites*. Peabody Museum Bulletin I

Dyrdahl, E., Montalvo, C. (2014a). Informe preliminar de las intervenciones realizadas en el yacimiento arqueológico "Las Orquídeas", Parroquia de San Antonio, Cantón Ibarra, Provincia del Imbabura. Quito: Instituto Nacional de Patrimonio Cultural.

Dyrdahl, E., Montalvo, C. (2014b). Informe Final de las intervenciones realizadas en el yacimiento arqueológico "Las Orquídeas", Parroquia de San Antonio, Cantón Ibarra, Provincia del Imbabura. Quito: Instituto Nacional de Patrimonio Cultural.

Dyrdahl, E., Montalvo, C. (2018a). Informe Final: Tercera temporada del proyecto. Avances proyecto arqueológico Las Orquídeas excavación 2016. Anexo Cerámico (Informe Inédito). Quito: INPC.

Dyrdahl, E., Montalvo, C. (2018b). Cuarta Temporada del Proyecto Arqueológico Las Orquídeas: Excavación de basurero y posibles extensiones de la ocupación Formativa. Quito: Instituto Nacional de Patrimonio Cultural.

Dyrdahl, E., Montalvo, C., Valverde, V. (2017). Una historia complicada: ceniza volcánica y su uso en el período Formativo en la Sierra Norte del Ecuador a través del caso del sitio Los Soles (sector Las Orquídeas). En M. Ugalde, Volcanes, cenizas y ocupaciones antiguas en perspectiva geoarqueológica en América Latina. Estudios de Antropología y Arqueología (Vol. 2, págs. 87-101). Quito: Centro de Publicaciones PUCE.

Dyrdahl, E. (2017) Interregional Interaction and Craft Production at Las Orquídeas, Imbabura, Ecuador, during the Late Formative (800 - 400 cal BC). The Pennsylvania State University. Estados Unidos.

Erazo, R. (2012). Informe: Prospección Arqueológica intra sitio San José de Cocotog. Ministerio de Patrimonio. Quito.Ecuador.

Estévez, J. (1991) Cuestiones de fauna en Arqueología. Arqueología. Nuevas tendencias. Madrid, pp. 57-81

Fernández, C., (2003) Ganadería, caza y animales de compañía en la Galicia romana: estudio arqueozoológico, Brigantium, vol. 15, Museo Arqueológico e Histórico, Castelo San Antón, A Coruña

Figueroa, S. P. (2015). Evidencia de complejidad social al final del Período Formativo Tardío, bajo la ceniza del Volcán Pululahua (2400 a A.P.). (Licenciatura), Pontificia Universidad Católica del Ecuador, Quito. Ecuador.

Ford, J. A. (1969). A Comparison of Formative Cultures in the Americas: Diffusion or the Psychic Unity of Man? Smithsonian Contributions to Anthropology 11. Washington, D. C.

Grayson, D., (1984) Quantitative Zooarcheology, Topics in the Analysis of Archaeological Faunas, Academic Press, Londres

Guillaume-Gentil, N. s. (2013). Cinco mil años de historia al pie de los volcanes. Implantación, población y cronología en Ecuador. Quito: FLACSO-Sede Ecuador, Abya- Yala, IFEA. Quito. Ecuador.

Gutiérrez, A. (2009). Dioses, símbolos y alimentación en los Andes. Interrelación hombre-fauna en el Ecuador prehispánico. Quito: Abya-Ayala.

- Hall, M & P. Mothes (1994). Tefroestratigrafía holocénica de los volcanes principales del valle interandino, Ecuador. En: El contexto geológico del espacio físico ecuatoriano. Estudios de Geografía. Vol. 6. René Marocco (Coord). 47 – 67. pp. Corporación Editora Nacional – Colegio de Geógrafos del Ecuador, Quito.Ecuador.
- Hall, M., and P. Mothes (1998). La actividad volcánica del Holoceno en el Ecuador y Colombia Austral. Impedimento al desarrollo de las civilizaciones pasadas. In: Actividad volcánica y pueblos precolombinos en el Ecuador, P. Mothes (Coord.): 11- 40. Quito: Ediciones Abya-Yala
- Hillson, S., (2005) Teeth, Cambridge, Manuals in Archaeology, Cambridge University Press, Cambridge
- Isaacson, J. S. and J. Zeidler (1998). Accidental History: Volcanic activity and the end of the Formative in Northwestern Ecuador. In: Actividad Volcánica y Pueblos Precolombinos en el Ecuador, P. Mothes (Comp.): 41-72. Quito: Ediciones Abya- Yala.
- Iturralde Sáenz, M. B. (2015). Análisis de patrones de enterramiento en el Distrito Metropolitano de Quito durante el periodo de integración. Pontificia Universidad Católica del Ecuador. Quito. Ecuador.
- Lippi, R. D. (1983). La Ponga and the Machalilla Phase of Coastal Ecuador. (Ph.D.), University of Wisconsin, Madison, University Microfilms, Ann Arbor.
- Lippi, R. (1998). Una Exploración Arqueológica del Pichincha Occidental, Ecuador. Museo Jacinto Jijón y Caamaño, Pontificia Universidad Católica del Ecuador, Quito, 1998.
- Lyman, R. L. (1994a). Vertebrate Taphonomy. Nueva York: Cambridge University Press.
- Lyman, R. L., (1994b) Quantitative Units and Terminology in Zooarchaeology, American Antiquity, Vol. 59, nº 1, pp. 36-71
- Lyman, R. L. (2008) Quantitative Paleozoology, Cambridge University Press, Cambridge
- Marcos, J. (2003) A Reassessment of the Ecuadorian Formative. In: Archaeology of Formative Ecuador, J. S. Raymond and R. L. Burger (Eds.): 7-32. Washington D.C.: Dumbarton Oaks Research Library and Collection.
- Marín, A.B. (2004), Análisis Arqueozoológico, Tafonómico y de Distribución Espacial de la Fauna de Mamíferos de la Cueva de la Fragua (Santoña-Cantabria, Ediciones TGD, Santander
- Marín, A.B. (2010) Arqueozoología en el Cantábrico Oriental durante la Transición Pleistoceno/Holoceno. La cueva de El Mirón. Publican Ediciones. Universidad de Cantabria.
- Masucci, M. A. (2008). Early Regional Polities of Coastal Ecuador. En Silverman. H., Isbell, W. H. (Eds.), The Handbook of South American Archaeology, New York: Springer. pp. 489-504
- Meggers, B., C. Evans, and E. Estrada (1965). Early Formative Period of Coastal Ecuador: The Valdivia and Machalilla Phases. Washington D.C.: Smithsonian Institution.
- Meggers, B. (1966). Ecuador. Ancient Peoples and Places Series. London: Thames and Hudson.
- Meggers, B., C. Evans, and E. Estrada (1965). Early Formative Period of Coastal Ecuador: The Valdivia and Machalilla Phases. Washington D.C.: Smithsonian Institution.
- Mengoni, L., (2010) Zooarqueología en la práctica: algunos temas metodológicos, Xama 19-23, Mendoza, Argentina, Pág 83-113

- Montalvo, C. (2016). Il sito de Las Orquídeas (Imbabura) nell'ambito del Periodo Formativo Tardo (800 –400 a.C.) nel Nord del Ecuador. Sequenza stratigrafica e Cronologia, Archeologia. Tesis Doctoral. Roma: Sapienza Universita Di Roma.
- Morán Muñoz, A. (1995) La Hoya de Ibarra. Orografía. Amigos de Ibarra. Ibarra. Ecuador.
- Moreno García, M., (2013) Arqueozoología. En García Diez, M, Zapata, L., Métodos y Técnicas de análisis y estudio en arqueología prehistórica, Departamento de Geografía, Prehistoria y Arqueología, Universidad del País Vasco, pp. 346-366
- Mosquera, A. (2023) Monitoreo arqueológico en el barrio La Dolorosa, parroquia Llano Chico, provincia Pichincha, Instituto Nacional del Patrimonio Cultural. Quito, Ecuador.
- O'Connor, T., (2000) The archeology of animal bones, Sutton Publishing, Sparkford
- Olsen, S., Shipman, P. (1988) Surface Modification on Bone: Trampling versus Butchery, Journal of Archaeological Science, 15, pp. 535-553
- Paladines, A. (1989) Zonificación Geotectónica y Metalogenia del Ecuador. Mañana editores. Quito. Ecuador.
- Pales, L., Gaercía, M. (1981) Atlas ostéologique pour servir à l'identification des Mammifères du quaternaire. Herbivores. Centre National de la Recherche Scientifique, Paris
- Pérez, G. (2013). La Produccion artesanal vista a través de los objetos de hueso en Teotihuacan (100 dC al 650 dC). Tesis Doctoral. Universidad Nacional Autónoma de México, México, D.F.
- Pérez Ripoll, M., (1992) Marcas de Carnicería, Fracturas Intencionadas y Mordeduras de Carnívoros en Huesos Prehistóricos del Mediterráneo Español, Instituto de Cultura "Juan Gil-Albert, Diputación Provincial de Alicante, Alicante
- Porras, P. (1980). Arqueología del Ecuador, Imp. Ed. Gallocapitán, Quito, Ecuador.
- Porras, P. (1982). Arqueología de Quito (Vol. 1): Centro de Investigaciones Arqueológicas, Pontificia Universidad Católica del Ecuador. Quito. Ecuador.
- Prümers, H., Ugalde, M.F., Dyr Dahl, E. (2022). Machalilla revisited - New data for the Early Formative Period of Coastal Ecuador. Joga.
- Raymond, J. S., Delgado, F. (2008). Rescuing Cerro Narrío, Cañar Province, Ecuador: Report on Investigations at Cerro Narrío, Ecuador, Dumbarton Oaks.
- Reitz, E., & Wing, E. (2008). Zooarchaeology. Nueva York: Cambridge University Press.
- Sarmiento, F., and L. Frolich (2002). Andean Cloud Forest Tree Lines: Naturalness, Agriculture and the Human Dimension. Mountain Research and Development 22 (3): 278-287.
- Salazar, E. (1979). El hombre temprano en la región del Ilaló, Sierra del Ecuador. Departamento de difusión cultural de la Universidad de Cuenca. Cuenca.Ecuador.
- Sánchez, A. (2004) El Desarrollo de la zooarqueología en Ecuador: situación actual y perspectivas. En Mengoni. G.L. Zooarcheology of South America. BAR International Series 1298. Pp 191-202
- Schmid, E (1972) Atlas of Animal Bones, Elsevier Publishing Company, Londres



- Sierpe, V. (2015) Atlas Osteológico del Guanaco, Lama guanicoe. Ediciones Universidad de Magallanes. Chile.
- Soria, D. *et al.* (2021) Excavaciones en Área de Llano Chico – IMP. Instituto Metropolitano de Patrimonio de Quito. Quito, Ecuador.
- Stahl, P. (2000). Archaeology Archaeofaunal Accumulation, Fragmented Forests, and Anthropogenic Landscape Mosaics in the Tropical Lowlands of Prehispanic Ecuador. *Latin American Antiquity*, 241-257. Obtenido de <http://www.jstor.org/stable/972176>
- Stahl, P. (2003). The Zooarchaeological record from Formative Ecuador. En J. Scott, R. Burguer, & J. Quilter, *Archaeology of Formative Ecuador* (págs. 176-212). Washington, D. C.: Dumbarton Oaks Research and Collection.
- Stahl, P., Athens, S. (2000). Aprovechamiento prehistórico de los animales y manufactura de utensillos de hueso en la parte de los Andes, al Norte del Ecuador. *Cuadernos de Historia y Arqueología*, 54(6)
- Stahl, P., Athens, S. (2001). A High elevation Zooarchaeological Assemblage from the Northern Andes of Ecuador. *Journal of Field Archaeology*, 28(1-2)
- Terán, K., Caicedo, O. (1999). Estudio de Alternativas de Manejo del Cerro Imbabura en la Parroquia de San Antonio de Ibarra. Ibarra: Gad-Ibarra.
- Torres, P. (2018) Carbon and Nitrogen Stable Isotope Analysis of Human and Faunal Skeletal Remains from the Formative Period of the Northern Highlands of Ecuador, Department of Anthropology University of Alberta.
- Torres Jiménez, K. (2017). Sistemas Socioecológicos en la Prehistoria del Valle de Quito: un estudio de escala temporal amplia. Tesis de licenciatura. Pontificia Universidad Católica del Ecuador. Quito. Ecuador.
- Ugalde, M. (2012). Rescate arqueológico de cementerio prehistórico en el Barrio El Condado de la Ciudad de Quito. Informe inédito entregado al Ministerio Coordinador de Patrimonio. Quito. Ecuador.
- Ugalde, M. F. (2013). Proyecto de prospección arqueológica Rancho Bajo. Provincia de Quito, informe final (inédito) entregado al Instituto Metropolitano de Patrimonio. Quito. Ecuador.
- Ugalde, M. (2019). Rancho Bajo: primeras evidencias del precerámico terminal en Quito. *Arqueología Iberoamericana* 42:14 – 27.
- Ugalde, M. (2020). Las alfareras rebeldes: una mirada desde la arqueología ecuatoriana a las relaciones de género, la opresión femenina y el patriarcado. *Antípoda. Revista de Antropología y Arqueología* 36: 33-56. <https://doi.org/10.7440/antipoda36.2019.03>.
- Ugalde, M. F., Dyrdaahl, E. (2020). Excavación arqueológica en el sitio Tagshima: Informe final. Instituto Nacional del Patrimonio Cultural. Quito. Ecuador.
- Ugalde, M.F., Dyrdaahl, E. (2021). Sedentism, Production, and Early Interregional Interaction in the Northern Sierra of Ecuador. En Bonomo, M., Archila, S. (Ed) *South American Contributions to World Archaeology*. Springer. pp.337-371

- Ugalde, M.F. *et al.* (2023) Novedades desde Machalilla: aportes al conocimiento de la economía en el Formativo Tardío en la Costa ecuatoriana. STRATA, Revista Ecuatoriana de Arqueología y Paleontología, 07-12, vol.1, nro2, e8
- Valdez, F. (2009). Primeras Sociedades de la Alta Amazonía: La Cultura Mayo Chinchipe - Marañón. Quito: Instituto Nacional del Patrimonio Cultural del Ecuador, Institut de Recherche pour le Développement.
- Valdez, Francisco. (2013). Primeras Sociedades de la Alta Amazonía. La Cultura Mayo-Chinchipe-Marañón. Instituto Nacional del Patrimonio Cultural, Institute of Research for Development, Quito. Ecuador.
- Vázquez J. (1999). El periodo de Desarrollo Regional en Quito: Análisis cerámico y a aproximación al proceso de Desarrollo Regional. Disertación de Grado. Pontificia Universidad Católica del Ecuador. Quito. Ecuador.
- Veintimilla, C. (1994). Análisis de restos arqueobotánicos de los sitios Jardín del Este y Santa Lucía, Parroquia Cumbayá, Provincia de Pichincha. Quito. Informe inédito presentado al proyecto Ecuabel.
- Villa, P, Mahieu, E. (1991) Breakage patterns of human long bones. *Journal of Human Evolution*, 21, pp. 27-48
- Villalba, F. (2014). Proyecto de Reconocimiento y Rescate Arqueológico en el sector Las Orquídeas, Parroquia San Antonio, Cantón Ibara, Provincia de Imbabura-Ecuador (Informe inédito). Quito: Instituto Nacional de Patrimonio Cultural.
- Villalba, M. (1988). Cotocollao: Una Aldea Formativa del Valle de Quito. Quito: Museo del Banco Central del Ecuador.
- Villalba, M; A, Alvarado (1998) La arqueología del valle de Quito en clave volcánica. En: *Actividad volcánica y pueblos precolombinos en el Ecuador*. Patricia Mothes (Coord). 73 -110. pp. Abya – Yala. Quito.
- Wiley, G. R. and P. Phillips (1958). *Method and Theory in American Archaeology*. Chicago: University of Chicago Press.
- Yravedra, J. (2006). *Tafonomía Aplicada a Zooarqueología*. Madrid: Universidad de Educación a Distancia.
- Zeidler, J. (2008). The Ecuadorian Formative. In: *Handbook of South American Archaeology*, H. Silverman and W. H. Isbell (Eds.): 459-488. New York: Springer.
- Ziolkowski, M. S., Mieczyslaw, P., Krzanowski, A., & Michczynsky, A. (1994). *Andes: Radiocarbon Database for Bolivia, Ecuador, and Peru*. Warszawa-Gliwice: Andean Archaeological Mission - Gliwice Radiocarbon Laboratory.

Anexos.

Código para la clasificación anatómica

<b>CRANEAL (CR)</b>	<b>ESQUELETO AXIAL (AX)</b>
Asta (AST) Cuerno (CU) Cráneo (CR) Premaxilar (PREMAX) Maxilar (MAX) Maxilar + dientes (MAX+D) Mandíbula (MD) Mandíbula + dientes (MD+D) Hyodes (HY) Dientes (D): decidua (d) Incisivo (I), Canino (C), Premolar (P), Molar (M)	Atlas (AT) Axis (AX) Vértebra cervical (VCE) Vértebra torácica (VT) Vértebra lumbar (VL) Vértebra caudal (VCA) Vértebra indeterminada (VND) Costilla (COS) Esternón (EST) Sacro (SA)
<b>EXTREMIDAD ANTERIOR (EA)</b>	<b>EXTREMIDAD POSTERIOR (EP)</b>
Escápula (SC) Húmero (HU) Radio (RA) Radio + ulna (RA+UL) Ulna (UL) Carpal 1 (CA1) Carpal 2+3 (CA2+3) Carpal radial (CAR) Carpal intermedio (CAI) Carpal ulnar (CAU) Carpal accesorio (CAA)	Pelvis (PEL) Fémur (FE) Rótula (RO) Tibia (TI) Maleolar (MALL) Tarsal 1 (TA1) Tarsal 2+3 (TA2+3) Centrotarsal (TACIV) Calcáneo (TCL) Astrágalo (TAL)
<b>EXTREMIDADES (EX)</b>	<b>HUESOS INDETERMINADOS (IND)</b>
Metápodo (MP) Metacarpo (MC) Metatarso (MT) Metápodo lateral (MPL) Falange 1 (FA1) Falange 2 (FA2) Falange 3 (FA3) Falange 3 lateral (FA3L) Falange lateral (FAL) Falange indeterminada (FAND) Sesamoideo grande (SEG) y pequeño (SEP)	Epífisis (EF) Diáfisis (DF) Hueso plano (HP) Hueso largo (HL) Hueso articular (HART) Húmero/Fémur (HF) Tejido esponjoso (TE)

<b>CRÁNEO</b>	<b>DIENTES</b>
Asta (AST) Bulla timpánica (BT) Cóndilo occipital (COC) Cornamenta (CUE) Maxilar (MX) Nasal (NA) Occipital (OC) Palatino (PAL) Parietal (PAR) Premaxilar (PREMAX) Zigomático (ZY) Proceso del Temporal (PT) Orbital (OR)	Corona (CO) Cuello (CU) Raíz (RA)
<b>MANDÍBULA</b>	<b>ESCÁPULA</b>
Ángulo (AN) Cóndilo (CON) Corpus (COR) Diastema (DIA) Proceso coronoide (PC)	Articulación (cavidad glenoidea) (ART) Cuello (CU) Corpus (COR) Espina (SP)
<b>PELVIS</b>	<b>COSTILLAS</b>
Acetábulo (AC) Íleon (IL) Isquion (IS) Pubis (PU)	Ángulo costal (AC) Articulación costo-condral (ACC) Cabeza (CA) Cuello (CU) Corpus (COR) Tubérculo costal (TC) Cartílago de unión con el sternum (CS)
<b>VÉRTEBRAS</b>	<b>ESTERNÓN</b>
Arco vertebral (ARC) Proceso articular (ART) Cuerpo vertebral (COR) Foramen vertebral (FV) Proceso transversal (PT) Proceso espinoso (PS) Disco vertebral (DIS)	Corpus (COR)
<b>CALCÁNEO</b>	<b>FALANGES</b>
Distal (DI) Proximal (PRO)	Epífisis proximal (EP) Epífisis Distal (ED) Corpus (COR)
<b>HUESOS LARGOS</b>	
Cabeza (FE) (CA) Metáfisis distal (MD) Metáfisis proximal (MP)	

Epífisis distal (ED)  
Epífisis proximal (EP)  
Epífisis (EF)  
Diáfisis (DF)

Tabla de Análisis Fase I Las Oquídeas.

Unidad	Nivel	NR	Coloración	Especie	Talla	Grupo_Anatómico	Elemento	Lateralidad	Parte_Elemento	Sexo	Fusiones	Edad_Cualitativa	Alt_Antrópicas	Fractura_Antró	Puntos_de_Impac to	Trazas_de_Corte	Termoalteración	Mod_Natural	Disolución	Abrasión/Pulido	Vermiculaciones	
C A 1	1 1	1 1	M	IND	M M	EX							X	X			M					
		2	B	IND	M M	IND							X	X			B					
		1	M	ODVI	M M	AX	VT			F	AD							X				X
		2	B	ODVI	M M	CR							X	X			B					

Tabla de Análisis Fase II Las Orquídeas.

Unidad	Nivel	NR	Coloración	Especie	Talla	Grupo_Anatómico	Elemento	Lateralidad	Parte_Elemento	Sexo	Fusiones	Edad_Cualitativa	Alt_Antrópicas	Fractura_Antró	Puntos_de_Impac to	Trazas_de_Corte	Termoalteración	Mod_Natural	Disolución	Abrasión/Pulido	Vermiculaciones	Carnívoros	Presión
4 9	6	2 0	M	IND	M M	IND							X				M						
4 9	6	1	M	IND	M M	EX	HL		DF				X				M						
4 9	6	1	B	L A G L	M G	EA	H U		EP		F	AD	X	X		X	B						
4 9	6	1 3	M	ODVI	M M	AX	VT			F	AD		X				M						
4 9	6	1	A M	ODVI	M M	EA	ES C	D		F	AD												
4 9	6	8	A M	ODVI	M M	AX	C O S																
4 9	6	2	A M	S Y B R	M P	EA	H U	D	EP		F	AD	X	X									
4 9	6	3	G	IND	M M	IND							X				G						
4 9	6	2	A M	R O D	R O D	AX	VT																
4 9	6	3	M	IND	M M	IND							X				M						
4 9	6	1	A M	P U D U	M M	EX	M T		DF		S F	JUV											
4 9	6	1	M	IND	M M	CR	M D						X	X			M						
4 9	6	1	B	IND	M M								X				B						
4 9	6	1	M	C A P O	M P	EP	PE L						X				M						
4 9	6	1	A M	R O D	M P	CR	M D																









Tabla Análisis Fase III Las Orquídeas.

Unidad	Nivel	NR	Coloración	Especie	Talla	Grupo_Anatómico	Elemento	Lateralidad	Parte_Elemento	Sexo	Fusiones	Edad_Cualitativa	Alt_Antrópicas	Fractura_Anthro	Puntos_de_Impacto	Trazas_de_Corte	Termoalteración	Mod_Natural	Disolución	Abrasión/Pulido
22	4	8	AM	ODV I	M M	AX	VT													
22	4	4	M	ODV I	M M	AX	VT						X				M			
22	4	2	AM	ODV I	M M	EX	FA2													
22	4	1	AM	CAPO	M P	CR	CR													
22	4	1	AM	CAPO	M P	CR	MD													
22	4	1	N	CAPO	M P	CR	MD						X				N			
22	4	1	N	ODV I	M M	CR	MD						X	X			N			
22	4	1	AM	ODV I	M M	AX	COS													
22	4	1	AM	ODV I	M M	EX	TAR													
22	4	1	N	ODV I	M M	CR	AS						X				N			
22	4	5	AM	ROD	M P	AX	VT													
22	4	1	N	ROD	M P	AX	VT						X				N			
22	4	1	AM	IND	M M P	AX	VT													
22	4	3	N	ODV I	M M	EX	FA2						X	X			N			
22	4	1	AM	ODV I	M M	EX	AST											X	X	
22	4	1	AM	CAPO	M P	CR	MD													
22	4	3	AM	IND	M M P	AX	VT													
22	4	1	N	IND	M M								X				N			
22	4	1	M	ROD	M P	CR	MX													
22	4	1	N	ROD	M P	AX	ESC						X				N			
22	4	6	N	ROD	M P	EP	FE						X	X			N			
22	4	9	N	SYBR	M P	EP	FE						X	X			N	X		
22	4	5	N	ROD	M P	AX	VT						X				N			
22	4	4	AM	ROD	M P	EA	UL													
22	4	4	AM	IND	M M															
22	4	10	N	IND	M M								X				N			
22	4	17	N	IND	M P								X				N			
22	4	20	N	IND	M P								X				N			
22	4	1	G	IND	M M								X				G			
22	4	14	N	IND	M P								X				N			
22	4	18	N	IND									X				N			
22	4	3	G	IND	M M								X				G			



Tabla de Análisis Fase IV Las Orquídeas.

Unidad	Nivel	NR	Coloración	Especie	Talla	Grupo_Anatómico	Elemento	Lateralidad	Parte_Elemento	Sexo	Fusiones	Edad_Cualitativa	Alt_Antrópicas	Fractura_Antró	Puntos_de_Impac to	Trazas_de_Corte	Termoalteración	Mod_Natural	Disolución
28	2	1	AM	OD VI	M M	EA	HU	D	ED				X	X					
28	2	1	AM	OD VI	M M	EX	MT	D					X	X				X	
28	2	1	AM	OD VI	M M	EA	UL	D			F	AD							
28	2	3	N	IN D	M M								X	X			N		
19	2	18	N	RO D	M P	EX							X				N		
19	2	1	AM	IN D	M P	AX	COS						X	X					
19	2	1	N	RO D	M P	EP	PEL						X				N		
19	2	1	N	IN D	M M	AX	COS						X	X			N		
28	2	1	AM	OD VI	M M	EA	RA						X	X					
28	3	1	AM	OD VI	M M	EX	MT				SF	SUB	X	X					
28	3	1	AM	IN D	M M	EX	HL		D				X	X					
28	3	1	AM	IN D	M M	EX	HL		D				X	X		X			
28	3	1	N	IN D	M M	EX	HL		D				X	X			N		
22	3	1	N	OD VI	M M	EA	RA		D				X	X			N		
22	3	1	N	IN D	M M	EX	HL		D				X	X			N		
22	3	2	M	IN D	M M	EX	HL		D				X	X			M		
22	3	1	G	RO D	M P	EP	FE		EP				X	X			G		
22	3	1	G	IN D	M M	AX	COS						X	X			G		
22	3	7	N	IN D	M M								X	X			N		
22	2	45	AM	IN D															
22	2	1	G	OD VI	M M	EX	FA1						X	X				X	X
22	2	8		RO D	M P	EX	HL		D										
22	2	1		RO D	M P	AX	VT												
22	2	1		RO D	M P	CR													
22	2	1		CA PO	M P	CR	MD		D										
22	2	17		IN D	M M P														

Análisis taxonómico de restos fúnicos de la primera fase de Llano Chico.

Unidad	Nivel	Rasgo	Procede.	Identif. Excav.	NR	Tamaño Fragn.	Color	Especie	Talla	Grupo_ Anat.	Elemento	Laterali.	Parte_ Elemento	Sexo	Fusiones	Edad Cualli.	Presencia
CO01 todas	SU P 1		1	H. no Reco	3	2 cm	Marrón Claro	IND	MM								
CO01 todas	SU P 1		1	H. no Reco	3	2 cm	Marrón Claro	IND	MM								
CO01 todas	SU P 1		1	H. no Reco	3	2 cm	Marrón Claro	IND	MM								
CO01 todas	SU P 1		1	H. no Reco	3	2 cm	Marrón Claro	IND	MM								
CO01 todas	SU P 1		1	H. no Reco	3	2 cm	Marrón Claro	IND	MM								
CO01 todas	2		1	H. Reco	3	3 cm	Amarillo Claro		MG	EX							
102	3		1	H. no Reco	1	3 cm	Marrón Claro										
105	3		1	H. Reco	1	3 cm	Marrón Claro	IND	MP	EX			DF+E D		SF	INF	3
105	3		1	H. Reco	4	7 cm	Amarillo Claro	IND	MG	EP	PEL VIS		IL				1
105	5	3	5	H. Reco	1	1 cm	Marrón Claro		MM	IND							
107	3		1	H. no Reco	2	2 cm	Amarillo Claro		IND	IND							
201	3	6	5	H. Reco	5	3 cm	Marrón Claro	ROD	MP	EP	PEL						2
201	3	6	5	H. Reco	2	2 cm	Marrón Claro	ROD	MP	CR	MA ND+ D						2
201	5	10	14	H. Reco	2	2 cm	Marrón Claro	ROD	MP	CR	MD +D					ADU	2
201	5	10	14	H. Reco	1	1 cm	Marrón	IND	MM	EX	SES						4
201	5	10	14	H. Reco	1	4 cm	Marrón Claro	IND	MP	EP	HL		DF				3
201	5	10	14	H. Reco	1	2 cm	Amarillo Claro	IND	MP	IND							
201	5	13	16	H. no Reco	5	1 cm	Amarillo Claro	IND	IND	CR							
201	6		11	H. no Reco	6	2 cm	Marrón Claro	IND	IND								
201	6	10	14	H. Reco	1	4 cm	Marrón Claro	ODVI	MM	EX	FA1	DER			F	ADU	4
201	6	10	14	H. Reco	1	3 cm	Marrón Claro	ODVI	MM	EX	FA3	DER			F	ADU	4
201	6	10	14	H. Reco	1	2 cm	Marrón Claro	IND	MM	EX	CAR						
201	6	10	14	H. Reco	8	4 cm	Marrón Claro	IND	MM	EX	HL		DF				
201	6	10	14	H. Reco	5	3 cm	Marrón Claro	IND	MM	CR							
201	6	13	16	H. Reco	2	3 cm	Amarillo Claro	ODVI	MM	EX	MT		ED				1
201	6	13	16	H. no Reco	1	3 cm	Amarillo Claro	IND	IND								
201	6	13	16	H. Reco	1	6 cm	Marrón	ODVI	MM	EX	MT		DF-ED				2
201	6	15	16	H. Reco	1	6 cm	Marrón Claro	ODVI	MM	EA	UL	IZQ	EP		F	ADU	2
201	6	15	16	H. Reco	1	4 cm	Marrón Claro	ODVI	MM	EX	FA1	DER			F	ADU	4
201	6	15	16	H. Reco	2	2 cm	Marrón Claro	IND	MM								
201	6	15	16	H. Reco	1	4 cm	Marrón Claro	ROD	MP	EP	FE	DER			SF	INF	4
201	6		17	H. Reco	2	4 cm	Marrón Claro	IND	MP	EX	HL		DF				
201	7	13	20	H. Reco	5	3 cm	Marrón	IND	IND								
201	7	13	20	H. Reco	1	3 cm	Marrón	IND	MM	EX	HL		EP		F	ADU	1
201	7	13	20	H. Reco	1	4 cm	Marrón	IND	MM	EP	FE		CON				1

201	7	13	20	H. Reco	1	4 cm	Marrón Claro	IND	MM	EP	PEL		IL					1
201	7	13	20	H. Reco	1	5 cm	Marrón Oscuro	IND	MM	EP	HL		DF					
201-206	6	10	14	H. no Reco	4	1 cm	Marrón Claro	IND	IND									
201-206	6	10	14	H. Reco	1	4 cm	Marrón Claro	IND	MM	EA	ESC		CU					
201-206	6	10	14	H. Reco	1	5 cm	Marrón	IND	MM	EX	HL		DF					
201-206	6	10	14	H. Reco	1	2 cm	Marrón Claro	ODVI	MM	EX	FA2				F	ADU	4	
201-206	6	10	14	H. no Reco	1	2 cm	Marrón Claro	IND	MM									
201-206	6	10	14	H. Reco	1	2 cm	Marrón Claro	IND	MM	EA	ESC		TAPA		SF	JUV	4	
201-206	6	10	14	H. Reco	1	1 cm	Marrón Claro	IND	MM	CR	D	P						
202	3		3	H. no Reco	7	2 cm	Marrón Claro	IND	IND									
202	3		3	H. no Reco	1	1 cm	Marrón Oscuro	IND	IND									1
202	3		3	H. Reco	1	3 cm	Marrón Claro	ODVI	MM	CR	AST			M				
202	4		4	H. no Reco	2	2 cm	Marrón Claro	IND	IND	EX	HL		DF					1
202	4		4	H. Reco	1	3 cm	Marrón Claro	IND	MM	AX	VER							3
202	4		4	H. Reco	1	3 cm	Marrón Claro	IND	MM	EX	HL		DF					1
202	4	8	9	H. Reco	4	5 cm	Marrón	IND	MM	EX	HL		DF					
202	4	8	9	H. Reco	1	4 cm	Marrón	ODVI	MM	CR	AST			M				1
202	4	8	9	H. no Reco	5	1 cm	Marrón Claro	IND	IND									
202	5	8	9	H. Reco	9	3 cm	Marrón	IND	MM	EX	HL		DF					
202	5	8	9	H. Reco	4	2 cm	Marrón Claro	ODVI	MM	CR	D		M					2
202	5	8	9	H. Reco	1	2 cm	Marrón Claro	ODVI	MM	EX	FA2	DER	EP		SF	JUV	1	
202	5	8	9	H. Reco	1	2 cm	Marrón Claro	ODVI	MM	EX	FA1	DER	EP		SF	JUV	1	
202	5	8	9	H. no Reco	1	2 cm	Blanco	IND	MM	EX	HL		DF					1
202	5	8	9	H. Reco	1	13	Marrón Oscuro	IND	MM	EP	TI		DF					2
202	5	8	9	H. Reco	4	3 cm	Marrón	ROD	MP	CR	MD +D							3
202	5	8	9	H. Reco	1	6 cm	Marrón Claro	ODVI	MM	CR	AST			M				2
202	5	8	9	H. Reco	1	4 cm	Marrón Claro	ODVI	MM	CR	CR							1
202	5	8	9	H. Reco	9	4 cm	Marrón Claro	IND	MM	EX	HL		DF					
202	5	8	9	H. Reco	3	4 cm	Marrón Claro	IND	IND	EX	HL		DF					
202	5		11	H. no Reco	2	3 cm	Marrón Claro	IND	IND	CR	CR							
202	5		15	H. no Reco	1	2 cm	Marrón Claro	IND	IND									
202	5		15	H. Reco	1	4 cm	Marrón	IND	MM	EP	FE	DER	EP		PF	JUV	1	
202	6	8	9	H. no Reco	1	2 cm	Marrón	IND	IND									
202	6	8	9	H. Reco	1	12	Amarillo Claro	IND	MM	EX	HL		DF					
202	6	8	9	H. Reco	1	3 cm	Marrón Claro	ROD	MP	EA	UL		EP+DF					3
202	6	8	9	H. Reco	2	5 cm	Marrón Claro	ROD	MP	AX	COS		CA+CU		F	ADU	3	
202	6	8	9	H. Reco	1	2 cm	Marrón Claro	IND	MM	EX	MT		ED					1
202	6	8	9	H. Reco	1	1 cm	Marrón Claro	ROD	MP	CR	MD							1
202	6	8	9	H. Reco	1	3 cm	Marrón Claro	ODVI	MM	EX	FA3	DER			F	ADU	4	
202	6		17	H. Reco	2	1 cm	Marrón Claro	ODVI	MM	EP	TI	DER	DF					1

202	6		17	H. Reco	1	5 cm	Marrón Claro	ODVI	MM	EP	TI	DER	EP+DF		PF	INF	1
202	6		17	H. Reco	2	3 cm	Marrón	IND	MP	EX	HL		DF				
202	6		17	H. no Reco	1 2	1 cm	Marrón Claro	IND	IND								
202	6		17	H. Reco	1	3 cm	Marrón Claro	ODVI	MM	EX	MT		ED				1
202	7	8	9	H. Reco	5	3 cm	Marrón Claro	ROD	MP	CR	MD +D						2
202	7	8	9	H. no Reco	2	3 cm	Marrón Claro	IND	MP	EX	HL		DF				
202	7	8	9	H. Reco	2	3 cm	Marrón Claro	AVE	AM	EA	HU		DF+EP				3
202	7	8	9	H. Reco	5	25	Marrón	ODVI	MM	CR	AST			M			
203	3		3	H. Reco	1	3 cm	Marrón Claro	ODVI	MM	EX	FA3	IZQ			F	ADU	4
203	3		3	H. Reco	1	3 cm	Marrón Claro	IND	MM	CR	CR						
203	3		3	H. no Reco	2 3	1 cm	Marrón Claro	IND	IND								
203	3		3	H. Reco	1	4 cm	Marrón Claro	ODVI	MM	EX	FA1	DER			F	ADU	3
203	3		3	H. no Reco	3	4 cm	Marrón Claro	IND	MM	EX	HL	DF					
203	3		3	H. Reco	1	4 cm	Marrón Claro	ROD	MP	EP	FE	IZQ			SF	INF	3
203 204 207 208	4	7	8	H. Reco	9	4 cm	Marrón Claro	IND	MM								
203 204 207 208	4	7	8	H. Reco	1	6 cm	Marrón	IND	MM	EP	TI		DF				2
203 204 207 208	4	7	8	H. no Reco	1	1 cm	Marrón Claro	IND	IND								
203- 204	5	10	14	H. no Reco	2 5	2 cm	Amarillo Claro	IND	IND								
203- 204	5	10	14	H. Reco	1	3 cm	Amarillo Claro	IND	MM	EX	MT		ED				1
203- 204	5	10	14	H. Reco	1	4 cm	Marrón Claro	ODVI	MM	EX	FA1				SF	INF	4
203- 204	5	10	14	H. Reco	1	2 cm	Marrón Claro	IND	MM	EX	HL		DF				
203- 204	6	10	19	H. Reco	1	5 cm	Marrón Oscuro	ODVI	MM	AX	VT				F	ADU	3
203- 204	6	10	19	H. Reco	1	3 cm	Amarillo Claro	IND	MP	EP	PEL						2
203- 204	6	10	19	H. Reco	1	3 cm	Marrón Claro	IND	MP	EX	HL		DF				
203- 204	6	10	19	H. Reco	1	6 cm	Marrón	ODVI	MM	EP	PEL	DER	ACE				2
203 206	3		17	H. Reco	2	1 cm	Marrón Claro	CARNIVOROS	MP	CR	D		I				1
204	3		3	H. Reco	1	6 cm	Marrón	ODVI	MM	EP	TI	DER	EP		F	ADU	1
204	3		3	H. no Reco	1 7	2 cm	Marrón	IND	IND								
204	3		3	H. Reco	1	4 cm	Marrón Claro	IND	MM	EX	HL		DF				
204	3		3	H. Reco	1	1 cm	Marrón Claro	ROD	MP	EP	AST						3
204	3		3	H. no Reco	1	3 cm	Negro	IND	IND								
204	3		3	H. Reco	1	5 cm	Marrón Claro	ODVI	MM	EA	HU	IZQ	ED				1
204	3	6	5	H. Reco	2	2 cm	Marrón Claro	CARNIVOROS	MP	CR	D		M				3
204	3	6	5	H. Reco	3	2 cm	Marrón Claro	CARNIVOROS	MP	CR	D		I+M				3
204	4		4	H. Reco	3	4 cm	Marrón Claro	IND	MM	EX	HL		DF				1
204	5		11	H. Reco	1	4 cm	Marrón Claro	ROD	MP	EP	TI	DER	EP+DF		F	ADU	2

204	5	9	19	H. Reco	1	3 cm	Marrón Claro	ROD	MP	CR	MD +D	DER						
204	5	9	19	H. Reco	1	4 cm	Marrón Claro	ROD	MP	EX	HL		D					
204	5	9	19	H. Reco	9	4 cm	Amarillo Claro	IND	MM	IND								
204	5	9	19	H. Reco	3	3 cm	Marrón Claro	IND	MM	AX	cos							
204	5	9	19	H. Reco	1	3 cm	Marrón Claro	ODVI	MM	EX	FA3	IZQ			F	ADU	4	
204	6	10	14	H. Reco	1	2 cm	Amarillo Claro	ROD	MP	CR	MD +D							1
204	6	10	14	H. Reco	1	1 cm	Amarillo Claro	ROD	MP	EA	HU		EP		F	ADU	2	
204	6	10	14	H. no Reco	1	3 cm	Amarillo Claro	IND	IND									
204	6	10	14	H. Reco	1	3 cm	Marrón	IND	MP	EA	RA		EP		F	ADU	1	
204	6	10	14	H. Reco	1	3 cm	Marrón Oscuro	IND	MM									
204	7	9	19	H. Reco	1	2 cm	Marrón Claro	ROD	MP	AX	VL				SF	JUV	3	
204	7	9	19	H. Reco	1	3 cm	Marrón Claro	ROD	MP	CR	MD +D	DER						3
204	7	9	19	H. Reco	1	3 cm	Marrón Claro	ROD	MP	CR	MD +D	IZQ						3
204	7	9	19	H. Reco	2	4 cm	Marrón Claro	ROD	MP	EA	ESC	IZQ			F	ADU	3	
204	7	9	19	H. Reco	1	4 cm	Marrón Claro	ROD	MP	EA	ESC	DER			F	ADU	3	
204	7	9	19	H. Reco	1	5 cm	Marrón Claro	ROD	MP	EA	HU	IZQ			F	ADU	4	
204	7	9	19	H. Reco	1	4 cm	Marrón Claro	ROD	MP	EA	HU	DER			F	ADU	3	
204	7	9	19	H. Reco	1	6 cm	Marrón Claro	ROD	MP	EP	TI	DER			F	ADU	3	
204	7	9	19	H. Reco	1	5 cm	Marrón Claro	ROD	MP	EP	TI	IZQ						2
204	7	9	19	H. Reco	1	1 cm	Amarillo Claro	ROD	MP	CR	D		M					
204	7	9	19	H. Reco	1	1 cm	Marrón	IND	IND									
204	7	9	19	H. Reco	1	3 cm	Marrón	IND	MM	AX	COS		CU					1
204	7	9	19	H. Reco	2	2 cm	Marrón	ROD	MP	CR	CR							
204	7	9	19	H. Reco	2	4 cm	Marrón Claro	ODVI	MM	CR	AST			M				
204	7	9	19	H. Reco	1	4 cm	Marrón Oscuro	IND	MM	EX	MT		DF					2
204	7	9	19	H. Reco	5	2 cm	Marrón Claro	IND	IND									
204	7	9	19	H. Reco	2	3 cm	Negro	IND	MM									
204	7	9	19	H. Reco	1	5 cm	Amarillo Claro	ROD	MP	EA	HU	DER	DF+EP					3
204	7	9	19	H. Reco	1	4 cm	Amarillo Claro	ROD	MP	EP	TI	DER	DF+EP					3
204-208	4	6	5	H. Reco	1	3 cm	Marrón Claro	IND	MM									
204-208	6	9	19	H. Reco	2	3 cm	Amarillo Claro	ROD	MP	CR	MD +D	DER	MD+D					2
204-208	6	9	19	H. Reco	2	3 cm	Amarillo Claro	ROD	MP	CR	MD +D	IZQ	MD+D					2
204-208	6	9	19	H. Reco	3	0,5	Amarillo Claro	ROD	MM P	CR	D		M					4
204-208	6	9	19	H. Reco	1	3 cm	Amarillo Claro	ROD	MP	EA	ESC	IZQ			F	ADU	2	
204-208	6	9	19	H. Reco	1	3 cm	Amarillo Claro	ROD	MP	EA	ESC	DER			F	ADU	2	
204-208	6	9	19	H. no Reco	1	4 cm	Marrón	IND	MM	EX	HL		DF					
204-208	6	9	19	H. Reco	1	4 cm	Marrón Claro	ROD	MP	EP	PEL	IZQ						3
204-208	6	9	19	H. Reco	1	5 cm	Marrón	ROD	MP	EX	HL							
204-208	6	9	19	H. Reco	1	2 cm	Marrón	ROD	MP	CR	MA X+D							
204-208	6	9	19	H. Reco	1	3 cm	Marrón	ROD	MP	EA	HU	IZQ	DF+EP					3

204-208	6	9	19	H. Reco	1	5 cm	Marrón Claro	ROD	MP	EP	TI	IZQ	DF+EP					3
204-208	6	9	19	H. Reco	1	4 cm	Marrón Claro	ROD	MP	EX	HL		DF					3
204-208	6	9	19	H. Reco	1	5 cm	Marrón Claro	IND	MM	AX	COS							1
204-208	6	9	19	H. Reco	1	2 cm	Amarillo Claro	FELI	MP	CR	D		C					
204-208	6	9	19	H. no Reco	9	1,5 cm	Marrón Claro	IND	IND									
204-208	6	9	19	H. Reco	1	4 cm	Marrón Claro	ROD	IND	EP	PELVIS	IZQ						2
204-208	6	9	19	H. Reco	4	1 cm	Amarillo Claro	ROD	MP	CR	D		M					3
204-208	6	9	19	H. Reco	1	2 cm	Marrón Claro	ROD	MP	CR	MAX							2
205	5		11	H. Reco	3	3 cm	Marrón Claro	ODVI	MM	EX	FA2				SF	SUB		3
205	5		15	H. Reco	1	4 cm	Marrón Claro	IND	MM	EA	UL		DF					1
206	3		3	H. no Reco	3	4 cm	Marrón Oscuro	IND	IND	EX	HL		DF					
206	3		3	H. no Reco	3	1 cm	Marrón Claro	IND	IND									
206	3		3	H. no Reco	3	3 cm	Marrón Claro	IND	IND									
206	3		3	H. no Reco	1	4 cm	Marrón Claro	IND	MM									
206	5	4	13	H. no Reco	3	2 cm	Marrón Claro	IND	IND									
206	5	11	13	H. no Reco	1	3 cm	Marrón Claro	IND	MM									
207	2		2	H. Reco	1	3 cm	Marrón Claro	IND	MM	EX	HL		DF					
208	2	2	2	H. Reco	1	3 cm	Amarillo Claro	ODVI	MM	CR	D		M					2
208	3		3	H. no Reco	9	3 cm	Marrón	IND	IND									
208	3		3	H. no Reco	3	1 cm	Marrón Claro	IND	IND									
208	3		3	H. Reco	1	2 cm	Amarillo Claro	ROD	MP	EA	ES	IZQ						3
208	3		3	H. Reco	1	2 cm	Marrón Claro	ROD	MP	EA	UL	IZQ						2
209	7	10	14	H. Reco	1	3 cm	Amarillo Claro	ODVI	MM	EX	FA1	IZQ			PF	ADU		4
209	7	10	14	H. Reco	1	3 cm	Marrón Claro	IND	MM	AX	VT		CU		F	ADU		1
301	1		1	H. Reco	3	2 cm	Marrón Claro	ROD	MP	CR	MAND+D	DER						2
301	1		1	H. Reco	1	3 cm	Negro	IND	MP	EX	HL		DF					
301	2		1	H. no Reco	2	1 cm	Negro	IND	IND									
301	2		1	H. Reco	1	2 cm	Marrón Oscuro	IND	MM	EX	HL		DF					
301	2		1	H. Reco	2	3 cm	Marrón Claro	IND	MM	EX	HL		DF					
301	2		1	H. Reco	1	4 cm	Marrón Claro	ODVI	MM	EX	FA1	DER			F	ADU		4
301	2		1	H. Reco	1	3 cm	Marrón Claro	ROD	MP	EP	PEL	DER						3
301	3		2	H. Reco	1	4 cm	Marrón Claro	IND	MG	AX	VE							1
301	3		4	H. Reco	1	3 cm	Marrón Claro	IND	MP	EA	HU		EP		F	ADU		2
302	1		1	H. Reco	2	5 cm	Marrón Claro	IND	MM	EX	HL		DF					
302	2		2	H. Reco	2	2 cm	Marrón Claro	IND	MM	EX	HL		DF					
302 M3 M4	4		7	H. Reco	1	3 cm	Marrón Claro	ODVI	MM	EA	RA		ED		SF	JUV		4
302 M3 M4	4		7	H. Reco	3	1 cm	Negro	IND	MP	EX	HL		DF					
302 M3 M4	4		7	H. Reco	1	2 cm	Marrón Claro	ROD	MP	EA	UL	IZQ	ED+DF					2



302 M3 M4	5		8	H. no Reco	5 1	1 cm	Marrón Claro	IND	IND										
302 M3 M4	5		8	H. Reco	1	1 cm	Negro	ROD	MP	EA	RA		ED						1
302 M3 M4	5		8	H. Reco	1	2 cm	Marrón Claro	ROD	MP	EA	RA		ED						2
302 M3 M4	6		12	H. Reco	1	9	Marrón Claro	ODVI	MM	EA	ESC	DER							3
302 M3 M4	6		12	H. Reco	3	3 cm	Marrón Claro	IND	MM										
302 M3 M4	6		12	H. no Reco	2 0	1	Marrón Claro	IND	IND										
302 M3 M4	6		12	H. Reco	1	2 cm	Marrón Claro	ODVI	MM	EX	FA1	IZQ	EP		SF	JUV			1
302 M3 M4	6		12	H. Reco	1	4 cm	Negro	IND	MM	EX	HL		DF						
302 M3 M4	6		12	H. Reco	4	1 cm	Amarill lo Claro	ROD	MP	CR	D		M						3
302 M3 M4	6		12	H. Reco	1	3 cm	Amarill lo Claro	IND	MM	AX	VER		TAPA		SF	JUV			4
302 M3 M4	6		12	H. Reco	1	1 cm	Marrón Claro	ROD	MP	EP	CAL	IZQ							4
302 M3 M4	6		12	H. Reco	2	2 cm	Marrón Claro	ROD	MP	CR	MA ND+ D	AM BOS							2
302 M4	8		17	H. Reco	8	3 cm	Marrón Claro	IND	MP	EX	HL		DF						
302 M4	8		17	H. Reco	1	1 cm	Negro	ROD	MP	EP	PEL		ACE						1
302 M4	9		20	H. no Reco	2	2 cm	Marrón Claro	IND	IND										
302 M4	9		20	H. Reco	6	1 cm	Marrón Claro	IND	MP	CR	CR								1
302 M4	9		20	H. Reco	2	4 cm	Marrón Claro	ROD	MP	EP	PEL	AM BOS	IL+AC E						1
302 M4	9		20	H. Reco	1	2 cm	Marrón Claro	ROD	MP	EA	UL	IZQ	EP+DF						2
302 M4	9		20	H. Reco	1	7 cm	Marrón Claro	IND	MM	EX	HL		DF						
302 M4	10	10	22	H. Reco	6	4 cm	Marrón Claro	IND	MM	EX	HL		DF						
302 M4	10	10	22	H. Reco	1 0	3 cm	Marrón Claro	ROD	MP	CR	MA ND+ D								
302 M4	10	10	22	H. Reco	2	4 cm	Marrón Claro	IND	MM	CR									
302 M4	10	10	22	H. Reco	1	7 cm	Negro	IND	MM	EX	EP								
302 M4	10	10	22	H. no Reco	5	3 cm	Marrón Claro	IND	IND	IND									
302 M4	10	10	22	H. Reco	1	2 cm	Marrón Claro	ROD	MP	EX	MT								4
302 M4	10	10	22	H. Reco	1	3 cm	Marrón	ROD	MP	CR	MA ND+ D	IZQ							2
302 M4	12	13	23	H. Reco	1	4 cm	Marrón Claro	AVE	AM	AX	QUI LLA								2
302 M4	12	13	23	H. Reco	1	3 cm	Marrón	IND	MP	EA	HU	DER			SF	INF			4
302 M4	12	13	23	H. Reco	1	3 cm	Marrón	IND	MP	EA	UL	DER			SF	INF			4
302 M4	12	13	23	H. Reco	1	1 cm	Marrón Claro	IND	MP	EX	HL		DF						
302 M4	12	13	23	H. Reco	1	3 cm	Marrón Oscuro	IND	MP	EX	HL		DF						
302 M4	12	13	23	H. Reco	1	3 cm	Marrón Claro	IND	MP	CR	MA ND								3
303	4		7	H. no Reco	2 5	3 cm	Marrón Claro	IND	MM	EX	HL		DF						

303	4		7	H. Reco	1	7 cm	Marrón Claro	ODVI	MM	EA	UL			EP+DF					2
303	4		7	H. no Reco	1	3 cm	Marrón Oscuro	IND	MM										
303	4		7	H. Reco	1	4 cm	Marrón Claro	ODVI	MM	EX	FA1			DF+ED		SF	JUV		3
303 M2	5		8	H. Reco	1	3 cm	Marrón Claro	ROD	MP	EP	PEL			IL					2
303 M2	7		15	H. no Reco	1	2 cm	Marrón Claro	IND	MM	EX	HL			DF					
303 M2	8		17	H. no Reco	8	2 cm	Marrón Claro	IND	IND										
304	2		1	H. no Reco	2	3 cm	Marrón Oscuro	IND	MM	EX	HL			DF					
304	3		4	H. Reco	1	2 cm	Marrón Claro	ODVI	MM	EX	FA1	IZQ		EP		F	ADU		2
304	6	9	4	H. Reco	1	4 cm	Marrón Claro	IND	MM	CR	MA ND								1
304	6	9	4	H. Reco	1	1 cm	Marrón Claro	IND	MM	CR	D			M					3
304	6	9	4	H. Reco	1	5 cm	Marrón Claro	ODVI	MM	CR	AST				M				
304	6	9	4	H. Reco	1	3 cm	Marrón Claro	AVE	AM	EX	MT			FD+ED					3
304	6	9	4	H. Reco	1	3 cm	Marrón Claro	AVE	AM	EP	TI			ED					3
304	6	9	4	H. Reco	1	6 cm	Marrón Claro	IND	MM	AX	COS					SF	JUV		
304 M2	4		7	H. Reco	2	4 cm	Marrón Claro	IND	MM	EX	HL			DF					2
304 M2	5		8	H. no Reco	1 4	3 cm	Marrón Claro	IND	MM	EX	HL			DF					
304 M3	4		12	H. Reco	1	4 cm	Marrón Claro	IND	MP	EA	RA			DF					3
304 M3	4		12	H. Reco	1	4 cm	Marrón Claro	ROD	MP	EP	FE			EP+DF					3
304 M3	5		8	H. Reco	3	2 cm	Marrón Claro	ROD	MP	CR									1
304 M3	5		8	H. Reco	4	3 cm	Marrón Claro	IND	MP	EX	HL			DF					
304 M3	5		8	H. Reco	1	3 cm	Marrón Claro	ODVI	MM	EX	FA3	IZQ				F	ADU		4
304 M3	5		8	H. Reco	1	4 cm	Marrón Claro	ODVI	MM	EX	MT			ED		F	ADU		1
304 M3	6		12	H. Reco	9	6 cm	Marrón Claro	ROD	MP	CR	CR								3
304 M3	6		12	H. Reco	1	7 cm	Marrón Claro	ROD	MP	EP	TI	IZQ				SF	INF		3
304 M3	6		12	H. Reco	9	2 cm	Marrón Claro	ROD	MP	CR	MA X								1
304 M3	6		12	H. Reco	6	4 cm	Marrón Claro	ROD	MP	CR	MA ND+D	AM BOS							3
304 M3	6		12	H. Reco	2 0	2 cm	Marrón Claro	IND	IND										
304 M3	6		12	H. Reco	1	2 cm	Amarillo Claro	ROD	MP	CR	D			I					3
304 M3	6		12	H. Reco	1 9	1 cm	Amarillo Claro	ROD	MP	CR	D			M					
304 M3	6		12	H. Reco	5	6 cm	Marrón Claro	ROD	MP	EP	TI	AM BOS							3
304 M3	6		12	H. Reco	1	5 cm	Marrón Claro	ROD	MP	EA	HU	DER				F	ADU		4
304 M3	6		12	H. Reco	2	3 cm	Marrón Claro	ROD	MP	EP	PEL								3
304 M3	6		12	H. Reco	3	4 cm	Marrón Claro	ROD	MP	EP	FE	AM BOS		EP+DF		F	ADU		3
304 M3	6		12	H. Reco	2	4 cm	Marrón Claro	ROD	MP	EA	RA	IND		DF		SF	INF		3
304 M3	6		12	H. Reco	6	3 cm	Marrón Claro	ROD	MP	EX	HL			DF					3
304 M3	6		12	H. Reco	1	3 cm	Marrón Claro	ROD	MP	EP	TI			EP		F	ADU		2
304 M3	6		12	H. Reco	2	2 cm	Marrón Claro	ROD	MP	EX	MT								4
304 M3	6		12	H. Reco	1	2 cm	Marrón Claro	ROD	MP	EP	PEL			IS					1
304 M3	6		12	H. Reco	1	1 cm	Marrón Claro	ROD	MP	EP	CAL								4

304 M3	6		12	H. Reco	1	2 cm	Marrón Claro	ROD	MP	EA	RA		ED+D F				2
304 M3	6		12	H. Reco	1	4 cm	Marrón Claro	ROD	MP	EA	HU		DF		SF	INF	2
304 M3	6		12	H. Reco	1	2 cm	Marrón Claro	ROD	MP	EA	HU		ED		F	ADU	2
304 M3	6		12	H. Reco	1	3 cm	Marrón Claro	ROD	MP	EP	FE		DF+E D		F	ADU	2
304 M3	6		12	H. Reco	1	3 cm	Marrón Claro	ROD	MP	EA	ESC						3
304 M3	6		12	H. Reco	1	4 cm	Marrón Claro	AVE	AM	EA	ESC						3
304 M3 Y 4	5	5	5	H. no Reco	3	2 cm	Marrón	IND	IND								
304 M3 Y 4	5	5	5	H. Reco	1	3 cm	Marrón	ROD	MP	EA	HU	DER	EP+DF		F	ADU	2
304 M3 Y 4	5	5	5	H. Reco	3	1 cm	Marrón	ROD	MP	EX	MT						3
304 M3 Y 4	5	5	5	H. Reco	1	3 cm	Marrón	ROD	MP	CR	MA ND	IZQ					3
304 M3 Y 4	5	5	5	H. Reco	4	1 cm	Amarillo Claro	ROD	MP	CR	D		M				3
304 M3 Y 4	5	5	5	H. Reco	1	2 cm	Marrón	ROD	MP	CR	MA ND+ D	DER					2
304 M3 Y 4	5	5	5	H. no Reco	5	2 cm	Marrón Claro	IND	IND								
304 M4	6		12	H. Reco	1	2 cm	Marrón Claro	ODVI	MM	CR	AST						
305	INT . LIM P.	1	6	H. Reco	5		Marrón Claro	FECA	MP								
305	INT . LIM P.	1	6	H. Reco	1	5 cm	Marrón Claro	IND	MM	EX	HL		DF				2
305	INT . LIM P.	1	6	H. Reco	1	5 cm	Marrón Claro	IND	MG	EA	HU		EP		F	ADU	1
305	INT . LIM P.	1	6	H. Reco	1	3 cm	Marrón Oscuro	IND	MP	AX	COS	DER	CU				3
305	PO ZO	1	6	H. Reco	8		Marrón Claro	FECA	MP								
305	PO ZO	1	6	H. Reco	1	6 cm	Marrón Oscuro	ODVI	MM	CR	AST			M			
305	2		1	H. Reco	1	5 cm	Marrón Claro	IND	MG	EX	HL		DF				1
305	2		1	H. Reco	1	4 cm	Marrón Claro	IND	MM	EA	HU		DF		SF	INF	3
305	5		8	H. no Reco	4	1 cm	Amarillo Claro	IND	IND								
305	5		8	H. Reco	1	2 cm	Negro	IND	MM	EX	HL		DF				
305	5		8	H. no Reco	1	3 cm	Marrón Claro	ROD	MP	CR	MA ND+ D	DER					2
305	5		8	H. Reco	1	3 cm	Marrón Claro	ROD	MP	EX	HL		DF		SF	INF	
305	6		12	H. Reco	2	4 cm	Marrón Claro	AVE	AM	EX	HL						3
305	6		12	H. Reco	1	2 cm	Marrón Claro	ROD	MP	EP	CAL						3
305	6		12	H. no Reco	2	1 cm	Marrón Claro	IND	MP								
305	6		12	H. Reco	1	2 cm	Marrón Claro	ROD	MP	EP	PEL						2
305	6	2	14	H. no Reco	7	1 cm	Marrón Claro	IND	IND								
305	8	2	14	H. Reco	1	3 cm	Marrón Claro	ROD	MP	EA	HU	IZQ	ED+D F				3

305	8	2	14	H. Reco	1	3 cm	Marrón Claro	ROD	MP	EP	PEL		IL					1
305	8	2	14	H. Reco	1	2 cm	Marrón Claro	ROD	MP	CR								
305	8	2	14	H. Reco	1	6 cm	Marrón Claro	ROD	MP	EP	FE	IZQ			F	ADU	4	
305	8	2	14	H. Reco	1	2 cm	Marrón Oscuro	ROD	MP	EP	FE	DER	EP		SF	INF	1	
305	8	2	14	H. Reco	5	4 cm	Marrón	IND	MP	AX	COS						2	
305	8	2	14	H. Reco	1	4 cm	Marrón Claro	ROD	MP	CR	MA ND+D	DER					3	
305	8	2	14	H. Reco	3	1 cm	Amarillo Claro	ROD	MP	CR	D		M				3	
305	8	2	14	H. Reco	2	3 cm	Marrón Claro	IND	MM	EX	MT		DF+EP		F	ADU	2	
305	8	2	14	H. Reco	1	4 cm	Amarillo Claro	AVE	AM	EX	HL						4	
305	8	2	14	H. Reco	1	4 cm	Marrón Claro	AVE	AM	EP	TI		DF+ED				2	
305	8	2	14	H. Reco	1	2 cm	Marrón Claro	AVE	AM	EA	HU		EP				2	
305	9	2	14	H. Reco	1	3 cm	Marrón Claro	AVE	AM	AX	EST						3	
305	9	2	14	H. no Reco	2	2 cm	Marrón Claro	IND	IND									
305	9		20	H. no Reco	6	3 cm	Marrón Claro	IND	MP									
305	9		20	H. Reco	3	4 cm	Marrón Claro	ROD	MP	EA	UL	AM BOS					3	
305	9		20	H. Reco	1	2 cm	Amarillo Claro	ROD	MP	EX	M T						4	
305	9		20	H. Reco	1	5 cm	Marrón Claro	ROD	MP	EP	TI		ED+DF		F	ADU	3	
305	9		20	H. Reco	3	3 cm	Marrón Claro	ROD	MP	EX	HL		DF				2	
305	9		20	H. Reco	2	3 cm	Marrón Claro	ROD	MP	EA	HU		ED				1	
305	9		20	H. Reco	1	1 cm	Marrón Claro	ROD	MP	EP	TI		EP		F	ADU	1	
305	9		20	H. Reco	1	5 cm	Marrón Oscuro	ROD	MP	EA	HU				F	ADU	4	
305	9	3	24	H. Reco	1	3 cm	Marrón Claro	ROD	MP	CR	MA X+D						2	
305	9	3	24	H. Reco	1	4 cm	Marrón Claro	AVE	AM	EP	TI		ED+DF				3	
305	9	3	24	H. Reco	4	3 cm	Marrón Claro	AVE	AP	EX	HL							
305	10	2	14	H. Reco	2	4 cm	Marrón Claro	ROD	MP	AX	COS						2	
305	10	2	14	H. Reco	1	3 cm	Marrón Claro	AVE	AM	EX	HL		DF				2	
305	10		21	H. Reco	1	6 cm	Amarillo Claro	AVE	AM	EP	FE	DER					3	
305	10		21	H. Reco	1	4 cm	Amarillo Claro	AVE	AM	EA	RA		DE+DF				3	
305	10		21	H. Reco	2	2 cm	Amarillo Claro	IND	IND	EX	HL		DF				2	
305	10		21	H. Reco	1	2 cm	Amarillo Claro	ROD	MP	CR	MA ND+D	DER					2	
305	10		21	H. Reco	1	2 cm	Amarillo Claro	ROD	MP	EX	MT						4	
305	10		21	H. Reco	1	3 cm	Amarillo Claro	ROD	MP	EA	ESC	IZQ					3	
305	10		21	H. Reco	1		Amarillo Claro	ROD	MP	EA	HU	DER	DF+ED				2	
305	10	11 - 12	23	H. no Reco	1	3 cm	Marrón Oscuro	IND	IND	EX	HL		DF					
305	10	11 - 12	23	H. Reco	1	3 cm	Marrón Claro	IND	MP	AX	COS	CU					3	
305	10	11 - 12	23	H. Reco	1	2 cm	Marrón Claro	ROD	MP	EX	MT						4	
305	10	11 - 12	23	H. Reco	1	2 cm	Marrón Claro	ROD	MP	EA	RA	IZQ	ED+DF				3	

305	10	11 -	23	H. Reco	1	2 cm	Marrón Claro	ROD	MP	ED	FE	IZQ	ED		F	ADU	1
305	10	11 -	23	H. Reco	1	2 cm	Marrón Claro	ROD	MP	ED	FE	DER	ED		F	ADU	1
305	10	11 -	23	H. Reco	1	1 cm	Marrón Claro	ROD	MP	EX	FA2				F	ADU	3
305	10	11 -	23	H. Reco	1	3 cm	Marrón Claro	ROD	MP	CR	MA ND+ D	IZQ					3
305	10	11 -	23	H. no Reco	8	1 cm	Marrón Claro	IND	IND								
305	10	11 -	23	H. Reco	1	2 cm	Marrón	ROD	MP	AX	VL		CU				2
305	10	11 -	23	H. Reco	1	2 cm	Marrón	ROD	MP	EA	HU	DER	ED				1
305	10	11 -	23	H. Reco	2	2 cm	Negro	IND	MP	EX	HL		DF				
305	10	11 -	23	H. Reco	1	3 cm	Marrón Claro	ROD	MP	EP	PEL	IZQ					3
305	10	11 -	23	H. Reco	1	3 cm	Marrón Claro	ROD	MP	EP	PEL	DER					3
305	10	11 -	23	H. no Reco	2	1 cm	Blanco	IND	IND								
305	10	11 -	23	H. Reco	1	3 cm	Marrón Claro	ROD	MP	EA	ESC	DER					2
305	10	11 -	23	H. Reco	1	3 cm	Marrón Claro	ROD	MP	EA	HU	IZQ					1
305	10	11 -	23	H. Reco	1	3 cm	Marrón Claro	ROD	MP	CR	MA X						1
305	10	3	24	H. Reco	1	2 cm	Marrón Oscuro	ROD	MP	EA	ESC						2
305	10	3	24	H. Reco	1	2 cm	Marrón Oscuro	ROD	MP	AX	VL						3
305	11	1	6	H. Reco	9 7 4		Marrón Claro	FECA	MP						SF	INF	4
305	11	1	6	H. no Reco	4	2 cm	Marrón Claro	IND	MM								
305	11	1	6	H. Reco	1	1 cm	Marrón Claro	ROD	MM P	CR	MA ND+ D	DER					4
305	11	1	6	H. Reco	1	4 cm	Marrón	IND	MM	AX	VER		CU				1
305	11	1	6	H. Reco	1	2 cm	Marrón Claro	ROD	MP	EP	TI	DER	DF+E D				2
305	11	1	6	H. Reco	1	1 cm	Marrón	ROD	MP	EP	FE	DER	EP		F	ADU	1
305	11	1	6	H. Reco	1	1 cm	Amarillo Claro	IND	MM	CR	D	IZQ	I				4
305	11	2	14	H. Reco	2	2 cm	Marrón Claro	AVE	AM	AX	QUI LLA						1
305	11	2	14	H. Reco	1	1 cm	Marrón Claro	ROD	MP	CR	MA X						1
305	11	2	14	H. Reco	1	4 cm	Marrón Claro	ROD	MP	EA	HU	DER	EP+DF				3
305	11	11 -	23	H. Reco	1	10 cm	Marrón	ODVI	MM	CR	AST			M			
305	11	11 -	23	H. Reco	3	2 cm	Marrón Claro	ROD	MP	CR	MA X+D						1
305	11	11 -	23	H. no Reco	7	1 cm	Marrón Claro	IND	IND								
305	11	11 -	23	H. Reco	1	1,5 cm	Marrón Claro	ROD	MP	EP	CAL	IZQ			F	ADU	4





305	11	11 - 12	27	H. Reco	1	2 cm	Marrón Claro	ROD	MP	EP	CAL	DER							4
305	11	11 - 12	27	H. Reco	1	5 cm	Marrón Claro	ROD	MP	EA	RA	DER							4
305	11	11 - 12	27	H. Reco	1	5 cm	Marrón Claro	ROD	MP	EA	RA	IZQ							3
305	11	11 - 12	27	H. Reco	7	2 cm	Marrón Claro	IND	IND										
305	11	11 - 12	27	H. Reco	1	3 cm	Marrón	IND	MP	CR	MA ND+ D	DER						INF	4
305	11	11 - 12	27	H. Reco	1	3 cm	Marrón	IND	MP	CR	MA ND+ D	IZQ						INF	4
305	11	11 - 12	27	H. Reco	10	1 cm	Amarillo Claro	ROD	MP	CR	D		M						3
305	11	11 - 12	27	H. Reco	1	3 cm	Marrón Claro	ROD	MP	CR	MA ND	IZQ							3
305	11	11 - 12	27	H. Reco	1	4 cm	Marrón Claro	ROD	MP	CR	MA ND	DER							3
305	11	11 - 12	27	H. Reco	1	3 cm	Marrón Claro	AVE	AM	EX	MT								4
305	11	11 - 12	27	H. Reco	1	3 cm	Marrón Claro	ROD	MP	EA	ESC	DER							3
305	11	11 - 12	27	H. Reco	1	1 cm	Marrón Claro	ROD	MP	EP	EF		ED		F		ADU		1
305	11	11 - 12	27	H. Reco	1	2 cm	Marrón Claro	AVE	AM	EA	RA		EP						1
305 M3 M4	4		7	H. no Reco	8	2 cm	Marrón Claro	IND	IND										
305 M3 M4	4		7	H. Reco	2	3 cm	Marrón Claro	ROD	MP	CR	MA ND+ D								
305 M3 M4	4		7	H. Reco	1	2 cm	Marrón Oscuro	IND	MP	EX	HL		DF						
306	5		8	H. no Reco	31	1 cm	Marrón Claro	IND	IND										
306	5		8	H. Reco	1	1 cm	Marrón Claro	ROD	MP	CR	CR								1
306	5		8	H. Reco	2	2 cm	Marrón Claro	AVE	AM	EX	HL		EP						1
306	5		8	H. Reco	1	1 cm	Marrón Claro	ROD	MM P	CR	MA ND+ D								4
306	5		8	H. Reco	1	2 cm	Marrón Claro	ROD	MP	EA	HU	DER	EP+DF						2
306	5		8	H. Reco	1	4 cm	Marrón Claro	IND	MM	AX	VC								2
306	5		8	H. Reco	3	3 cm	Marrón Claro	ROD	MP	EP	PEL	AM BOS							2
306	6	7	13	H. Reco	1	3 cm	Marrón Claro	ROD	MP	EP	PEL	IZQ	IL+AC						2
306	6	7	13	H. no Reco	1	4 cm	Negro	IND	IND										
306	6	7	13	H. Reco	1	4 cm	Negro	IND	MM	EP	TAR								
306	6	7	13	H. Reco	1	8	Marrón Oscuro	ODVI	MM	EP	TI	DER	ED						2
306	7		12	H. no Reco	1	1 cm	Marrón Oscuro	IND	MP	EX	HL		DF						
306 M1	4		7	H. Reco	1	4 cm	Marrón Claro	IND	MP	EX	HL		DF						2
306 M1	6		10	H. Reco	1	2 cm	Marrón Claro	ROD	MP	EP	CAL								4
306 M1	7		12	H. Reco	2	4 cm	Marrón Oscuro	IND	MP	EA	HU		DF						
306 M1	7		12	H. no Reco	5	1 cm	Marrón Claro	IND	IND										



306 M1	7		12	H. Reco	1	2 cm	Marrón Claro	IND	MP	AX	VER		CU							2
306 M2	5		11	H. no Reco	1 2	1 cm	Amarillo Claro	IND	IND											
306 M2	5		11	H. Reco	1	15	Marrón	ODVI	MM	CR	AST									
306 M2	9		20	H. no Reco	6	2 cm	Marrón Claro	IND	IND											
306 M2	9		20	H. Reco	1	3 cm	Marrón Oscuro	IND	MP	EX	HL		DF							
306 M2	9		20	H. Reco	1	4 cm	Negro	IND	MM	EX	HL		DF							
306 M2	9		20	H. Reco	1	3 cm	Marrón Oscuro	IND	MM	EX	HL		DF							
306 M2	9		20	H. Reco	1	2 cm	Marrón Claro	ROD	MP	CR	MA ND+ D	DER								2
306 M2	9		20	H. Reco	1	3 cm	Marrón Claro	IND	MM	EP	AST									2
306 M2	9		20	H. Reco	1	3 cm	Marrón Claro	ODVI	MM	CR	MA ND									1
308 M4	4		7	H. no Reco	2 5	2 cm	Marrón Claro	IND	IND											
308 M4	4		7	H. Reco	3	10	Marrón Claro	IND	MM	EX	HL		DF							
CA04	2		2	H. no Reco	3	2 cm	Marrón Claro	IND	IND											
CA04	3	2	6	H. no Reco	1	1 cm	Marrón	IND	IND											
CA04	4		4	H. Reco	1	4 cm	Marrón Claro	IND	MM	EX	HL		DF							
CA04	4		4	H. no Reco	1 0	2 cm	Marrón Claro	IND	IND											
CA04	5		4	H. no Reco	4	1 cm	Marrón Claro	IND	IND											
CA04	5		4	H. Reco	3	1 cm	Marrón Claro	ROD	MP	CR	MA X+D									1
CA04	5		4	H. Reco	1	4 cm	Marrón Claro	IND	MM	EX	MM		DF							1
CA04	5	2	6	H. no Reco	1	1 cm	Marrón Claro	IND	IND											
CA04	6		4	H. no Reco	4	1 cm	Marrón	IND	IND											
CA04	6	2	6	H. no Reco	4	1 cm	Marrón Claro	IND	IND											
CA04	6	2	6	H. Reco	1	2 cm	Marrón Claro	IND	MP											
CA04	8		4	H. Reco	1 1	2 cm	Marrón	IND	MP	AX	COS		CU							2
CA04 M2	2		1	H. Reco	3	3 cm	Marrón Claro	IND	MM	EX	HL		DF							
CA04 M2	15		11	H. Reco	4	4 cm	Marrón	IND	MM	EX	HL		DF							
CA04 M2	15		11	H. Reco	1 3	4 cm	Marrón	IND	MM	EX	HL		DF							
CA04 M2	15		11	H. Reco	1	11	Marrón	IND	MM	EX	HL		DF							
CA06	2		1	H. no Reco	1 1	2 cm	Marrón	IND	IND											
CA06	2		1	H. Reco	1	2 cm	Marrón	ROD	MP	EP	CAL	IZQ								4
CA06	2		1	H. Reco	1	3 cm	Marrón	ROD	MP	CR	MA D+D									2
CA06	2		1	H. Reco	1	1 cm	Marrón	ROD	MP	AX	VT									2
CA06	2		1	H. Reco	2	1 cm	Marrón	ROD	MP	EX	MT									2
CA06	2		1	H. Reco	1	4 cm	Marrón	ROD	MP	EP	TI	DER	DF+EP							3
CA06	2		1	H. Reco	1	3 cm	Marrón Claro	ROD	MP	EP	TI	DER	DF+EP							2
CA06	2		1	H. Reco	1	1,5 cm	Marrón Claro	ROD	MP	EA	ESC	DER	CAB							2
CA06 M2	2	1	3	H. no Reco	1 3	3 cm	Marrón	IND	IND											
CA06 M2	2	1	3	H. Reco	1	3 cm	Marrón	IND	MM	CR	VT									1
CA06 M2	2	1	3	H. no Reco	1	1 cm	Marrón Oscuro	IND	IND											
CA06 M2	2	1	3	H. no Reco	9	1 cm	Marrón Claro	IND	IND											



CA06	3	1	3	H. Reco	1	1 cm	Marrón Claro	ROD	MM P	CR	MA ND	DER							4
CA06	3	1	3	H. Reco	1	1 cm	Marrón Claro	ROD	MP	EX	MT		ED						1
CA06	3	1	3	H. Reco	2	1 cm	Marrón Claro	ROD	MM P	EP	TI				SF	INF			3
CA06	3	1	3	H. Reco	1	1 cm	Marrón Claro	ROD	MP	EX	FA1				F	ADU			4
CA06	3	1	3	H. Reco	1	1 cm	Marrón Claro	AVE	AP	EA	HU	DER							3
CA06	3	1	3	H. Reco	1	1 cm	Marrón Claro	ROD	MM P	EP	FE	DER			F	ADU			3
CA06	3 M1 234		3	H. Reco	1	3 cm	Marrón Claro	IND	MM	AX	VCA								4
CA06	3 M1 234	1	3	H. no Reco	3 2	2 cm	Marrón Claro	IND	IND										
CA06	3 M1 234	1	3	H. no Reco	1	2 cm	Negro	IND	MM										
CA06	3 M1 234	1	3	H. Reco	1	2 cm	Marrón Claro	AVE	AP	EA	HU	IZQ	ED						1
CA06	3 M1 234	1	3	H. Reco	1	2 cm	Marrón Claro	ROD	MP	EP	TI	IZQ	ED+DF						2
CA06	3 M1 234	1	3	H. Reco	1	2 cm	Marrón Claro	ROD	MM P	EP	TI		ED+DF						2
CA06	3 M1 234	1	3	H. Reco	1	3 cm	Marrón Claro	ROD	MP	EA	UL	DER	EP+DF						3
CA06	3 M1 234	1	3	H. Reco	1	3 cm	Marrón Claro	ROD	MP	EP	PEL	DER	AC+IS						2
CA06	3 M1 234	1	3	H. Reco	1	2 cm	Marrón Claro	ROD	MM P	EP	TI	IZQ	ED+DF						2
CA06	3 M1 234	1	3	H. Reco	1	1 cm	Marrón Claro	ROD	MP	EX	FA		ED						1
CA06	4	1	3	H. no Reco	1 1	3 cm	Marrón Oscuro	IND	IND										
CA06	4	1	3	H. no Reco	1 1	2 cm	Negro	IND	IND										
CA06	4	1	3	H. no Reco	2 9	1 cm	Marrón Oscuro	IND	IND										
CA06	4	1	3	H. no Reco	1	1 cm	Blanco	IND	IND										
CA06	4	1	3	H. Reco	1	1 cm	Marrón	IND	MM	EX	SES								4
CA06	4	1	3	H. Reco	1	2 cm	Marrón Claro	ODVI	MM	CR	AST			M					1
CA06	4	1	3	H. Reco	1	2 cm	Marrón	ROD	MP	CR	MA X								2
CA06	4	1	3	H. Reco	1	2 cm	Marrón Claro	AVE	AM	EA	ESC	IZQ							2
CA06	4	1	3	H. Reco	1	2 cm	Marrón Claro	AVE	AM	EP	FE	DER							2
CA06	4	1	3	H. Reco	1	2 cm	Marrón Claro	ROD	MP	EP	CAL	DER							4
CA06	4	1	3	H. Reco	1	2 cm	Marrón Claro	ROD	MP	EP	CAL	IZQ							4
CA06	4	1	3	H. Reco	1	2 cm	Marrón Claro	ROD	MM P	EP	PEL	IZQ							3
CA06	4	1	3	H. Reco	1	2 cm	Negro	AVE	AP	EP	TI	IZQ	DF+ED						3
CA06	4	1	3	H. Reco	1	1 cm	Marrón Claro	ROD	MM P	EP	TI		DF+EP						3
CA06	4	1	3	H. Reco	2	2 cm	Marrón Claro	ROD	MP	AX	COS		CAB+CUERP						2
CA06	4	1	3	H. Reco	2	2 cm	Marrón	ROD	MP	AX	VL								3
CA06	4	1	3	H. Reco	1	2 cm	Marrón	AVE	AM	EP	FE		ED						1
CA06	4	1	3	H. Reco	1	1 cm	Marrón	ROD	MM P	EP	TI		ED+DF						2
CA06	4	1	3	H. Reco	1	1 cm	Marrón	ROD	MP	EX	MT								4

CA06	4	1	3	H. Reco	1	2 cm	Marrón	ROD	MM P	EP	TI		ED+D F				2
CA06	4	1	3	H. Reco	1	2 cm	Marrón Oscuro	ROD	MP	CR	MA D+D	DER					1
CA06	4	1	3	H. Reco	1	2 cm	Marrón Oscuro	ROD	MP	EP	FE	DER	ED				1
CA06	4	1	3	H. Reco	1	1 cm	Marrón Oscuro	ROD	MP	EX	MT				SF	INF	4
CA06	4	1	3	H. Reco	1	2 cm	Marrón Oscuro	ROD	MP	EA	UL	DER	EP				2
CA06	4	1	3	H. Reco	1	2 cm	Marrón Oscuro	ROD	MP	EA	UL	IZQ	EP				2
CA06	4	1	3	H. Reco	3	1 cm	Amarillo Claro	ROD	MP	CR	D		M				4
CA06	4	1	3	H. Reco	1	1 cm	Marrón	ROD	MM P	EP	FE	DER	DF+EP		F	ADU	2
CA06	4	1	3	H. Reco	1	1 cm	Marrón	ROD	MM P	EP	FE	IZQ	DF+EP		F	ADU	3
CA06	4	1	3	H. Reco	2	1 cm	Marrón	ROD	MM P	CR	MA D+D	IZQ					3
CA06	4	1	3	H. Reco	2	1 cm	Marrón	ROD	MM P	CR	MA D+D	DER					3
CA07	2		2	H. no Reco	1	3 cm	Marrón	IND	MM	AX	COS		CA				
CA07 M1	3	2	4	H. no Reco	1 5	1 cm	Marrón Claro	IND	IND								
CA07 M1	3	2	4	H. Reco	3	3 cm	Marrón Claro	ODVI	MM	EX	MT		ED				1
CA07 M1	3	3	5	H. Reco	1 9	4 cm	Marrón Claro	IND	MM								
CA07 M1	3	3	5	H. Reco	1	1 cm	Amarillo Claro	ROD	MP	CR	D		M				3
CA07 M1	3	3	5	H. no Reco	2	2 cm	Negro	IND	IND								
CA07 M1	3	3	5	H. Reco	1	3 cm	Marrón Claro	ROD	MP	EP	PEL	IZQ					2
CA07 M1	3	3	5	H. Reco	1	3 cm	Amarillo Claro	ROD	MP	CR	MA ND+D	IZQ					3
CA07 M1	3	3	5	H. Reco	1	2 cm	Marrón Claro	ROD	MP	EX	FA1		EP		F	ADU	
CA07 M1	3	3	5	H. Reco	1	3 cm	Marrón Claro	IND	MP	AX	VER		TAPA		SF	JUV	
CA07 M2	2		1	H. no Reco	1 7	3 cm	Marrón Claro	IND	IND								
CA07 M2	2		1	H. Reco	1	1 cm	Marrón Claro	ROD	MP	EA	HU	DER	ED				1
CA07 M2	2	2	4	H. no Reco	2 6	2 cm	Marrón Claro	IND	IND								
CA07 M2	2	2	4	H. Reco	9	2 cm	Marrón Claro	IND	IND								
CA07 M2	2	2	4	H. Reco	3	4 cm	Marrón Claro	IND	MM	AX	VER						1
CA07 M2	3	2	4	H. no Reco	2 9	2 cm	Marrón Claro	IND	IND								
CA07 M2	3	2	4	H. Reco	1	4 cm	Blanco	IND	MM	EX	HL		DF				
CA07 M2	3	2	4	H. Reco	1	1 cm	Marrón Claro	ROD	MP	AX	VC						4
CA07 M2	3	2	4	H. Reco	1	2 cm	Marrón Claro	ROD	MP	EX	HL		DF				
CA07 M2	3	2	4	H. Reco	1	2 cm	Marrón Claro	ROD	MP	EP	FE		ED				2
CA07 M2	3	2	4	H. Reco	1	2 cm	Marrón Claro	ROD	MP	EA	HU		EP		F	ADU	2
CA07 M2	4	2	4	H. no Reco	2	3 cm	Marrón Claro	IND	MM								1
CA07 M2	4	2	4	H. Reco	1	5 cm	Marrón Claro	IND	MM	EA	PEL						1
CA07-09	6	3	5	H. no Reco	3	3 cm	Negro	IND	MM	EX	HL		DF				
CA07-09	6	3	5	H. Reco	1	2 cm	Marrón Claro	ROD	MP	EA	UL	DER	EP				1
CA07-09	6	3	5	H. Reco	1	4 cm	Marrón Claro	ROD	MP	EP	PEL	DER					3
CA07-09	6	3	5	H. Reco	1	3 cm	Marrón Claro	IND	MM	EA	UL	IND	EP		SF	INF	1
CA0709 M1		3	5	H. no Reco	5	2 cm	Marrón Claro	IND	IND								





CA12	6	1	10	H. Reco	6	3	AM	-	MP										
CA12	6	1	10	H. Reco	6	3	MAR	-	MM										1
CA12	6	1	10	H. Reco	1	4	AM	-	MM	EXT	HL		D						1
CA12	6	1	10	H. Reco	1	3	MAR	CAPO	MP	EP	CAL	IZQ	ENTERO						4
CA12	6	1	10	H. Reco	1	2	MAR	CAPO	MP	CRA	MAX SUP								1
CA12	6	1	10	H. Reco	4	3	AM	-	MM	EXT	HL		D						1
CA12	6	1	10	H. Reco	1	4	AM	-	MM	AX	CRA								1
CA12	7	1	10	H. Reco	1	2	MAR	CAPO	MP	EP	FE	IZQ	ED		SI	AD			2
CA12	7	1	10	H. Reco	1	10	MAR	-	MM	AX	COS								3
CA12	7	1	10	H. Reco	1	2	MAR	-	MM	AX	COS								
CA12	7	1	10	H. no Reco	4	4	MAR	-	MM										
CA12	7	1	10	H. Reco	1	2	MAR	-	MM	AX	VERT		TAPA		NO	JUV			
CA12	7	1	10	H. Reco	1	7	MAR	-	MM	EXT			D						2
CA12	7	1	10	H. Reco	1	8	MAR	-	MM	AX	COS								2
CA12	7	1	10	H. Reco	2	4	MAR	-	MM	EA			D						1
CA12	7	1	10	H. Reco	1	3	MAR	-	MM	AX	COS		EP						1
CA12	8	1	12	H. Reco	1	4	AM	ROD	MP	AX	CRA	DER	MAND						3
CA12	8	1	12	H. Reco	1	4	AM	ROD	MP	EA	HU	DER	D+EP		SI	AD			3
CA12	8	1	12	H. Reco	1	2	AM	-	MP	AX	CRA								1
CA12	8	1	12	H. Reco	1	2	AM	-	MP	EXT									1
CA12	8	1	12	H. Reco	1	2	MAR	-	MP	EXT			D						1
CA12	8	1	12	H. Reco	1	2	AM	-	MP	AX	CRA								
CA12	8	1	12	H. Reco	1	5	MM	-	MM	EXT	HL		D						2
CA12	8	2	13	H. Reco	1	2	AM	-	MP	AX	CRA								
CA12	8	3	14	H. Reco	1	4	AM	-	MM	XP			D						
CA12	9	1	12	H. Reco	3	6	AM	-	M	AX									2
CA12	9	1	12	H. Reco	2	4	AM	-	MM	AX	COS								2
CA12	9	1	12	H. Reco	1	3	AM	-	MM	AX	COS								1
CA12	9	1	12	H. Reco	1	2	AM		MM	EXT	META		EP						1
CA12	9	1	12	H. no Reco	5	2	AM												
CA12	9	1	12	H. Reco	1	2	AM	ROD	MP	AX	CRA		MAND						
CA12	9	1	12	H. Reco	1	3	AM	ODVI	MM	AX	CRA	DER	I3						
CA12	9	2	15	H. Reco	1	4	MAR	CAPO	MP	PE	PEL		IL - AC						3
CA12	10	3	14	H. Reco	3	2	AM	-	MP	AX	CR								
CA12	10	3	14	H. Reco	2	2	MAR	.	MM	XT	HL		EP						1
CA12	10	1	16	H. Reco	1	4	MAR	ROD	MP	EA	ESCA				SI	AD			3
CA12	10	1	16	H. Reco	1	3	MAR	-	MM	AX	VERT		CUERPO		SI	AD			1
CA12	10	1	16	H. Reco	1	6	AM	-	MM	EA	ESCA								1
CA12	10	1	16	H. Reco	1	7	AM	-	MM	AX	VERT		APOF						2
CA12	10	1	16	H. Reco	1	5	AM	-	MM	AX	VERT								
CA12	10	1	16	H. Reco									CUERPO						2
CA12	10	1	16	H. no Reco	2	3	MAR				HL		D						2

CA12	10	1	16	H. Reco	1	3	MAR	-	MM	AX	EST								
CA12	10	1	16	H. Reco	1	4	AM	-	MM	EXT	HL		D						2
CA12	10	1	16	H. Reco	1	3	AM	ROD	MP	EA	HU	IZQ	D						3
CA12	10	1	16	H. Reco	1	3	MAR	-	MM	EXT			EP						
CA12	10	1	16	H. Reco	1	3	MAR	-	MM	EA	ULN		D						2
CA12	10	1	16	H. Reco	1	3	AM	-	MM	AX	VER T								
CA12	10	1	17	H. Reco	1	3	AM	SIBR	MP	AX	COS								1
CA12	10	1	17	H. Reco	1	1	MAR	CAPO	MP	AX	CRA								1
CA12	10	1	17	H. Reco	1	2	MN	-	MM	EXT	FA		EP		NO	JUV			
CA12	10	1	17	H. Reco	1	1	AM	CAPO	MP	EXT	FA		EP - D						2
CA12	10	1	17	H. Reco	1	3	B	SIBR	MP	AX	COS								1
CA12	10	1	17	H. Reco	1	4	MAR	-	MM	AX	COS								
CA12	10	1	17	H. Reco	1	2	AM	ROD	MP	EA	ESC								
CA12	11	1	17	H. Reco	1	3	AM	ODVI	MM	EXT	FA1	IZQ	ENTER O		SI	AD			4
CA12	11	1	17	H. Reco	1	3	AM	ODVI	MM	EP	CEN TAR	DER	ENTER O						4
CA12	11	1	17	H. Reco	1	6	AM	ROD	MP	EP	PEL VIS	DER	ENTER O						4
CA12	11	1	17	H. Reco	2	7	AM		MM	XT	HL		D						2
CA12	11	1	17	H. Reco	1	1	AM		MM	EXT	SES								4
CA12	11	1	17	H. Reco	1	1	AM	ROD	MP	EP	AST	IZQ	ENTER O						4
CA12	11	1	17	H. Reco	1	2	AM	ROD	MP	AX	COX								3
CA12	11	1	17	H. Reco	1	3	AM	-	MM	EP	TIBI A		EP		PF	JUV			1
CA12	11	1	17	H. Reco	1	2	AM	-	MP	EXT	MP								3
CA12	11	1	17	H. Reco	1	2	AM	ROD	MP	AX	MA X+D								1
CA12	11	1	17	H. Reco	1	2	AM	ROD	MP	EA	ESC A	IZQ			SI	AD			3
CA12	11	1	17	H. Reco	1	1	AM	AV	AP	AX	EST								2
CA12	11	1	17	H. Reco	1	2	N	ROD	MP	EP	PEL VIS	-	IL						2
CA12	11	1	17	H. Reco	8	2	AM	-	MP										
CA12	11	1	17	H. Reco	1	2	N	-	MP	EXT	HM								
CA12	11	1	17	H. Reco	1	1	AM	AV	AP	AX	AST								1
CA12	11	1	17	H. Reco	1	2	AM	ROD	MP	AX	MA ND								1
CA12	11	1	17	H. Reco	1	1	AM	ROD	MP	AX	MO LAR								3
CA12	11	1	17	H. Reco	1	7	AM		MM	EXT	HL								
CA12	11	1	17	H. Reco	1	4	AM	-	MM										
CA12	11	1	17	H. no Reco	1	2	N			AX	VER T								3
CA12	12	1	17	H. Reco	1	5	MA		MM	EP	TIB		ED		NO	JU			
CA12	12	1	17	H. Reco	1	3	AM	-	MM	AX	COS								
CA12	12	1	17	H. Reco	1	2	AM	-	MP	EA	ESC A	DER			SI	AD			
CA12	12	1	17	H. Reco	1	4	AM	-	MP	AX	CR								
CA12	12	1	17	H. Reco	1	8	AM	-	MP	EP	PEL V	DER	IL+AC		SI	AD			3
CA12	12	1	17	H. Reco	1	1	AM	-	MP	EXT	CAL	IZQ			SI	AD			4
CA12	12	1	17	H. Reco	1	4	AM	AV	AM	AX	QUI LLA								4
CA12	12	1	17	H. Reco	1	5	AM	-	MM	XT	HL								
CA12	12	1	17	H. Reco	1	3	MN	-	MP										



CA12	12	1	17	H. Reco	2	3	AM	-	MM										
CA12	12	1	17	H. Reco	4	3	AM	-	MM	AX	COS								1
CA12	12	1	17	H. Reco	2	4	AM	AV	AP	EXT	HL								
CA12	12	1	17	H. Reco	1	2	G	-	MP	AX	VER T								
CA12	12	1	17	H. Reco	2	2	N	-	MP										
CA12	12	1	17	H. Reco	1	3	AM	ROD	MP	EA	HU	DER	D+ED						3
CA12	12	1	17	H. Reco	1	2	AM	ROD	MP	EP	AC+ IS								2
CA12	12	1	17	H. Reco	1	2	MA	ROD	MP	EP	TIB	DER	EP		SI	AD			
CA12	12	1	17	H. Reco	1	2	AM	ROD	MM P	AX	MA ND+ D	IZQ							2
CA12	12	1	17	H. Reco	1	1	AM	-	MM	EXT	SES								4
CA12	12	1	17	H. Reco	1	2	-	-	MP	EXT									
CA12	12	1	17	H. Reco	1	3	AM	-	MM	EXT	HL		D						
CA12	12	1	17	H. Reco	1	2	AM	-	MM	AX	PRE M								2
CA12	12	1	17	H. Reco	2	2	AM	-	MP	EXT	HL								
CA12	12	1	18	H. Reco	1	2	AM	X	MM	AX	COS								1
CA12	12	1	18	H. Reco	1	3	AM	AVE	AM	AX	QUI LLA								3
CA12	12	1	18	H. Reco	1	2	AM	-	AM/MP										
CA12	13	1	19	H. Reco	1	2	AM	ROD	MP	AX	MA ND+ D	DER							3
CA12	13	1	19	H. no Reco	4	1	AM												
CA12	13	1	19	H. Reco	1	5	AM	-	MM	AX	COS								
CA12	13	1	19	H. Reco	1	8	AM	ODVI	MM	AX	VT				NO	JUV			4
CA12	13	1	19	H. Reco	1	1	AM	ROD	MM P	CR	MA ND		NT				INF		
CA12	13	1	19	H. Reco	1	10	AM	ODVI	MM	AX	VT		NT		NO	JUV			4
CA12	13	1	19	H. Reco	1	7	AM	-	MM	AX	COS								
CA12	13	1	19	H. Reco	1	2	AM	ROD	MP	CR	INC								
CA12	13	1	19	H. Reco	1	3	MAR	-	MM	AX	COS				SI	AD			1
CA12	13	1	19	H. Reco	1	2	B	-	MM										1
CA12	13	1	19	H. Reco	1	3	AM	ROD	MP	AX	CR								1
CA12	13	1	19	H. Reco	1	8	AM	-	MM	AX	COS								2
CA12	13	1	19	H. Reco	1	3	AM	ROD	MP	EA	ESC	D	NT		SI	AD			3
CA12	13	1	19	H. Reco	1	3	AM	ROD	MP	AX	MO D	D							
CA12	13	1	19	H. Reco	1	2	AM	AV	AP	EA	HU								4
CA12	13	1	19	H. Reco	1	4	AM	ROD	MP	AX	MA ND	D							3
CA12	13	1	19	H. Reco	1	4	AM	AV	AM	EXT									3
CA12	13	1	19	H. Reco	1	3	AM	AV	AM	EXT									3
CA12	13	1	19	H. Reco	1	2	AM	-	MM	AX									2
CA12	13	1	19	H. Reco	1	5	AM	AV	AM	EA		D			SI	AD			3
CA12	13	1	19	H. Reco	1	4	AM	ROD	MP	EA		D			SI	AD			3
CA12	13	1	19	H. Reco	1	4	AM	-	MM	AX		IZQ					SUBA		2
CA12	13	1	19	H. Reco	1	3	AM	AV	AM	EXT									
CA12	13	1	19	H. Reco	1	7	AM	-	MM	AX									
CA12	13	1	19	H. Reco	1	3	AM	ROD	MP	AX		IZQ			SI	AD			3

CA12	13	1	19	H. Reco	1	3	AM	AVE	AM	EA		IZQ	ED		SI	AD	2
CA12	13	1	19	H. Reco	1	6	AM	-	MM	AX							2
CA12	13	1	19	H. Reco	1	4	AM	-	MM								
CA12	13	1	19	H. Reco	1	5	AM	-	MM	AX							2
CA12	13	1	19	H. Reco	1	1	AM	ROD	MP	AX							1
CA12	13	1	19	H. Reco	2	3	AM	ROD	MP	AX		CRA					1
CA12	13	1	19	H. Reco	6	1	AM	ROD	MP	AX		MO LAR					4
CA12	13	1	19	H. Reco	1	2	AM	ROD	MP	AX		INC					3
CA12	13	1	19	H. Reco	1	2	AM	ROD	MP	EA		D	EP+D		X	AD	2
CA12	13	1	19	H. Reco	1	4	AM	ROD	MP	CR		D					
CA12	13	1	19	H. Reco	1	4	AM	-	MM	EXT			D				1
CA12	13	1	19	H. Reco	2	2	AM	-	MM								
CA12	13	1	19	H. Reco	1	2	AM	-	MP	AX		IZQ	MAN D + D				1
CA12	13	1	19	H. Reco	1	3	AM	-	MM	AX							1
CA12	13	1	19	H. Reco	2	5	AM	-	MM P	AX			MOLA R				3
CA12	13	1	19	H. Reco	1	1	AM	-	MM P	AX		D	MAN D+D				3
CA12	13	1	19	H. Reco	5	2	AM	-	MM								
CA12	13	1	19	H. Reco	2	4	MAR	-	MP								
CA12	13	1	19	H. Reco	1	3	N	-	MP								
CA12	13	1	19	H. Reco	1	5	AM	-	MP								
CA12	13	1	19	H. Reco	2	3	AM	-	MP								
CA12	13	1	19	H. Reco	2	2	AM	-	MP	AX							3
CA12	13	1	19	H. Reco	1	2	AM	-	MP	AXT							4
CA12	13	1	19	H. Reco	1	1	AM	-	AMP	CR							
CA12	13	1	19	H. Reco	1	2	AM	-	MP	AX							
CA12	13	1	19	H. Reco	7	2	AM	-	MP								
CA12	13	1	19	H. Reco	1	1	N	-	MP								
CA12	13	1	19	H. Reco	1	2	N	-	MP	EP			D+ED				
CA12	13	1	19	H. Reco													
CA13	2		1	H. Reco	2	2 cm	Amarri lo Claro	IND	MM	CR	D		IND				
CA13	2		1	H. no Reco	3	2 cm	Amarri lo Claro	IND	MM								

### Análisis Tafonómico de Llano Chico.

Unidad	Nivel	Rasgo	Proced.	NR	Tamaño	Alt	Anticón.	Fractura Antro.	Puntos de Imp.	Trazas Corte Termo.	Mod Nat.	Disoluc.	Abrasión/Pulido	Vernicul.	Carnívoro	Presión	Observ.
CO01 todas	SUP 1		1	3	2 cm						SI	SI				SI	
CO01 todas	SUP 1		1	3	2 cm						SI	SI				SI	
CO01 todas	SUP 1		1	3	2 cm						SI	SI				SI	
CO01 todas	SUP 1		1	3	2 cm						SI	SI				SI	

CO01 todas	SUP 1		1	3	2 cm						SI	SI				SI	
CO01 todas	2		1	3	3 cm	SI	SI		SI								
102	3		1	1	3 cm	SI	SI										
105	3		1	1	3 cm												
105	3		1	4	7 cm	SI	SI		SI		SI	SI		SI			
105	5	3	5	1	1 cm												
107	3		1	2	2 cm												
201	3	6	5	5	3 cm												
201	3	6	5	2	2 cm												
201	5	1 0	14	2	2 cm												
201	5	1 0	14	1	1 cm												
201	5	1 0	14	1	4 cm	SI	SI				SI						concreció n
201	5	1 0	14	1	2 cm	SI	SI										
201	5	1 3	16	5	1 cm												
201	6		11	6	2 cm												
201	6	1 0	14	1	4 cm	SI			SI								
201	6	1 0	14	1	3 cm												
201	6	1 0	14	1	2 cm												
201	6	1 0	14	8	4 cm	SI	SI										
201	6	1 0	14	5	3 cm												
201	6	1 3	16	2	3 cm	SI	SI										
201	6	1 3	16	1	3 cm	SI	SI				SI	SI					
201	6	1 3	16	1	6 cm	SI	SI										ARCILLA
201	6	1 5	16	1	6 cm	SI	SI				SI						SI
201	6	1 5	16	1	4 cm												
201	6	1 5	16	2	2 cm	SI	SI				SI			SI		SI	
201	6	1 5	16	1	4 cm												
201	6		17	2	4 cm	SI	SI										
201	7	1 3	20	5	3 cm	SI	SI										ARCILLA
201	7	1 3	20	1	3 cm	SI	SI										ARCILLA
201	7	1 3	20	1	4 cm												ARCILLA
201	7	1 3	20	1	4 cm												ARCILLA
201	7	1 3	20	1	5 cm	SI	SI										ARCILLA

201-206	6	10	14	4	1 cm													
201-206	6	10	14	1	4 cm													
201-206	6	10	14	1	5 cm	SI	SI											
201-206	6	10	14	1	2 cm													
201-206	6	10	14	1	2 cm	SI	SI											
201-206	6	10	14	1	2 cm													
201-206	6	10	14	1	1 cm													
202	3		3	7	2 cm													
202	3		3	1	1 cm	SI				MN								
202	3		3	1	3 cm						SI						SI	
202	4		4	21	2 cm	SI	SI											
202	4		4	1	3 cm													
202	4		4	1	3 cm	SI	SI											
202	4	8	9	4	5 cm	SI	SI											
202	4	8	9	1	4 cm													
202	4	8	9	5	1 cm													
202	5	8	9	9	3 cm	SI	SI				SI	SI						
202	5	8	9	4	2 cm													
202	5	8	9	1	2 cm													
202	5	8	9	1	2 cm	SI	SI				B							
202	5	8	9	1	13	SI	SI				M							
202	5	8	9	4	3 cm													
202	5	8	9	1	6 cm													PULIDO
202	5	8	9	1	4 cm													
202	5	8	9	9	4 cm	SI	SI										SI	
202	5	8	9	3	4 cm	SI	SI				SI	SI	SI					
202	5		11	2	3 cm													
202	5		15	15	2 cm													
202	5		15	1	4 cm	SI	SI											
202	6	8	9	14	2 cm													
202	6	8	9	1	12	SI	SI				SI					SI		
202	6	8	9	1	3 cm													
202	6	8	9	2	5 cm													
202	6	8	9	1	2 cm													
202	6	8	9	1	1 cm													
202	6	8	9	1	3 cm													
202	6		17	20	1 cm													
202	6		17	1	5 cm	SI												
202	6		17	2	3 cm	SI	SI											
202	6		17	12	1 cm													

202	6		17	1	3 cm													
202	7	8	9	5	3 cm													
202	7	8	9	2	3 cm	SI	SI				SI	SI						
202	7	8	9	2	3 cm													
202	7	8	9	5	25													
203	3		3	1	3 cm													
203	3		3	1	3 cm													
203	3		3	23	1 cm													
203	3		3	1	4 cm													
203	3		3	3	4 cm	SI	SI											
203	3		3	1	4 cm													
203	4	7	8	9	4 cm						SI							ARCILLA
204																		
207																		
208																		
203	4	7	8	1	6 cm	SI	SI											
204																		
207																		
208																		
203	4	7	8	1	1 cm													
204																		
207																		
208																		
203-	5	1	14	25	2 cm													
204		0																
203-	5	1	14	1	3 cm													
204		0																
203-	5	1	14	1	4 cm						SI	SI						
204		0																
203-	5	1	14	1	2 cm	SI	SI											
204		0																
203-	6	1	19	1	5 cm													
204		0																
203-	6	1	19	1	3 cm													
204		0																
203-	6	1	19	1	3 cm	SI	SI											
204		0																
203-	6	1	19	1	6 cm	SI	SI											
204		0																
203	3		17	2	1 cm													
206																		
204	3		3	1	6 cm	SI	SI											
204	3		3	17	2 cm													
204	3		3	1	4 cm	SI	SI											
204	3		3	1	1 cm													
204	3		3	1	3 cm	SI				N								
204	3		3	1	5 cm	SI	SI											
204	3	6	5	2	2 cm													
204	3	6	5	3	2 cm													
204	4		4	3	4 cm	SI	SI											
204	5		11	1	4 cm	SI	SI											
204	5	9	19	1	3 cm													
204	5	9	19	1	4 cm													

204	5	9	19	9	4 cm													
204	5	9	19	3	3 cm													
204	5	9	19	1	3 cm													
204	6	10	14	1	2 cm													
204	6	10	14	1	1 cm	SI	SI				SI						SI	
204	6	10	14	1	3 cm	SI	SI											
204	6	10	14	1	3 cm	SI	SI											
204	6	10	14	1	3 cm	SI	SI											
204	7	9	19	1	2 cm													
204	7	9	19	1	3 cm													
204	7	9	19	1	3 cm													
204	7	9	19	2	4 cm													
204	7	9	19	1	4 cm													
204	7	9	19	1	5 cm													
204	7	9	19	1	4 cm													
204	7	9	19	1	6 cm													
204	7	9	19	1	5 cm													
204	7	9	19	1	1 cm													
204	7	9	19	1	1 cm													
204	7	9	19	1	3 cm	SI	SI											
204	7	9	19	2	2 cm													
204	7	9	19	2	4 cm	SI												PULIDO
204	7	9	19	1	4 cm	SI	SI											
204	7	9	19	5	2 cm					N								
204	7	9	19	2	3 cm	SI	SI											
204	7	9	19	1	5 cm	SI	SI											
204	7	9	19	1	4 cm	SI	SI											
204-208	4	6	5	1	3 cm													
204-208	6	9	19	2	3 cm													
204-208	6	9	19	2	3 cm													
204-208	6	9	19	3	0,5	SI												
204-208	6	9	19	1	3 cm													
204-208	6	9	19	1	3 cm													
204-208	6	9	19	1	4 cm	SI	SI			MN								PULIDO
204-208	6	9	19	1	4 cm													
204-208	6	9	19	1	5 cm	SI	SI			M								
204-208	6	9	19	1	2 cm													

204-208	6	9	19	1	3 cm	SI	SI											
204-208	6	9	19	1	5 cm	SI	SI											
204-208	6	9	19	1	4 cm													
204-208	6	9	19	1	5 cm	SI	SI											
204-208	6	9	19	1	2 cm													
204-208	6	9	19	9	1,5 cm													
204-208	6	9	19	1	4 cm													
204-208	6	9	19	4	1 cm													
204-208	6	9	19	1	2 cm													
205	5		11	3	3 cm													
205	5		15	1	4 cm	SI	SI											
206	3		3	3	4 cm	SI	SI			M								
206	3		3	34	1 cm													
206	3		3	3	3 cm													
206	3		3	1	4 cm	SI	SI											
206	5	4	13	3	2 cm	SI	SI											
206	5	1 1	13	1	3 cm	SI	SI				SI	SI						
207	2		2	1	3 cm	SI	SI											MODERN O
208	2	2	2	1	3 cm													
208	3		3	9	3 cm													
208	3		3	3	1 cm													
208	3		3	1	2 cm													
208	3		3	1	2 cm													
209	7	1 0	14	1	3 cm						SI	SI						concreció n
209	7	1 0	14	1	3 cm						SI					SI		
301	1		1	3	2 cm													
301	1		1	1	3 cm	SI				N								
301	2		1	2	1 cm	SI	SI			N								
301	2		1	1	2 cm	SI	SI			MN								
301	2		1	2	3 cm													
301	2		1	1	4 cm													
301	2		1	1	3 cm													
301	3		2	1	4 cm													
301	3		4	1	3 cm													
302	1		1	2	5 cm	SI	SI				SI	SI	SI			SI		
302	2		2	2	2 cm	SI	SI				SI	SI	SI					
302 M3 M4	4		7	1	3 cm													
302 M3 M4	4		7	3	1 cm	SI	SI			N								

302 M3 M4	4		7	1	2 cm													
302 M3 M4	5		8	51	1 cm													
302 M3 M4	5		8	1	1 cm	SI	SI			N								
302 M3 M4	5		8	1	2 cm	SI	SI											
302 M3 M4	6		12	1	9	SI			SI									
302 M3 M4	6		12	3	3 cm	SI	SI											
302 M3 M4	6		12	20	1													
302 M3 M4	6		12	1	2 cm													
302 M3 M4	6		12	1	4 cm	SI	SI			N								
302 M3 M4	6		12	4	1 cm													
302 M3 M4	6		12	1	3 cm													
302 M3 M4	6		12	1	1 cm													
302 M3 M4	6		12	2	2 cm													
302 M4	8		17	8	3 cm	SI	SI											
302 M4	8		17	1	1 cm	SI				N								
302 M4	9		20	2	2 cm													
302 M4	9		20	6	1 cm													
302 M4	9		20	2	4 cm													
302 M4	9		20	1	2 cm		SI											
302 M4	9		20	1	7 cm	SI	SI			SI			SI					
302 M4	10	1 0	22	6	4 cm	SI	SI											
302 M4	10	1 0	22	10	3 cm													
302 M4	10	1 0	22	2	4 cm													
302 M4	10	1 0	22	1	7 cm	SI				N								
302 M4	10	1 0	22	5	3 cm													
302 M4	10	1 0	22	1	2 cm													
302 M4	10	1 0	22	1	3 cm													
302 M4	12	1 3	23	1	4 cm													
302 M4	12	1 3	23	1	3 cm													
302 M4	12	1 3	23	1	3 cm													
302 M4	12	1 3	23	1	1 cm													
302 M4	12	1 3	23	1	3 cm	SI	SI			MN								PULIDO
302 M4	12	1 3	23	1	3 cm													



303	4		7	25	3 cm	SI	SI												
303	4		7	1	7 cm	SI	SI												
303	4		7	1	3 cm	SI					MN								
303	4		7	1	4 cm														
303 M2	5		8	1	3 cm														
303 M2	7		15	1	2 cm	SI	SI												
303 M2	8		17	8	2 cm														
304	2		1	2	3 cm	SI	SI				MN								
304	3		4	1	2 cm														
304	6	9	4	1	4 cm	SI	SI												
304	6	9	4	1	1 cm														
304	6	9	4	1	5 cm														
304	6	9	4	1	3 cm														
304	6	9	4	1	3 cm	SI					M								
304	6	9	4	1	6 cm														
304 M2	4		7	2	4 cm	SI	SI												
304 M2	5		8	14	3 cm	SI	SI												
304 M3	4		12	1	4 cm														
304 M3	4		12	1	4 cm														
304 M3	5		8	3	2 cm														
304 M3	5		8	4	3 cm	SI	SI												
304 M3	5		8	1	3 cm														
304 M3	5		8	1	4 cm	SI	SI												
304 M3	6		12	9	6 cm														
304 M3	6		12	1	7 cm														
304 M3	6		12	9	2 cm														
304 M3	6		12	6	4 cm														
304 M3	6		12	20	2 cm														
304 M3	6		12	1	2 cm														
304 M3	6		12	19	1 cm														
304 M3	6		12	5	6 cm														
304 M3	6		12	1	5 cm														
304 M3	6		12	2	3 cm														
304 M3	6		12	3	4 cm														
304 M3	6		12	2	4 cm														
304 M3	6		12	6	3 cm														
304 M3	6		12	1	3 cm														
304 M3	6		12	2	2 cm														
304 M3	6		12	1	2 cm														
304 M3	6		12	1	1 cm														
304 M3	6		12	1	2 cm														
304 M3	6		12	1	4 cm														
304 M3	6		12	1	2 cm	SI	SI												
304 M3	6		12	1	3 cm	SI	SI												
304 M3	6		12	1	3 cm														

304 M3	6		12	1	4 cm												
304 M3 Y 4	5	5	5	3	2 cm												
304 M3 Y 4	5	5	5	1	3 cm												
304 M3 Y 4	5	5	5	3	1 cm												
304 M3 Y 4	5	5	5	1	3 cm												
304 M3 Y 4	5	5	5	4	1 cm												
304 M3 Y 4	5	5	5	1	2 cm												
304 M3 Y 4	5	5	5	5	2 cm												
304 M4	6		12	1	2 cm												
305	INT. LIMP .	1	6	5													
305	INT. LIMP .	1	6	1	5 cm	SI	SI				SI	SI	SI	SI			5 FECA INF moderno
305	INT. LIMP .	1	6	1	5 cm												
305	INT. LIMP .	1	6	1	3 cm	SI				M							
305	POZ O	1	6	8							SI	SI	SI	SI			5 FECA INF moderno
305	POZ O	1	6	1	6 cm	SI				MN							
305	2		1	1	5 cm	SI	SI		SI		SI	SI	SI	SI			
305	2		1	1	4 cm						SI	SI	SI	SI			
305	5		8	4	1 cm												
305	5		8	1	2 cm	SI	SI			N							
305	5		8	1	3 cm												
305	5		8	1	3 cm												
305	6		12	2	4 cm												
305	6		12	1	2 cm												
305	6		12	2	1 cm												
305	6		12	1	2 cm												
305	6	2	14	7	1 cm												
305	8	2	14	1	3 cm	SI	SI										
305	8	2	14	1	3 cm												
305	8	2	14	11	2 cm						SI	SI	SI				
305	8	2	14	1	6 cm						SI						SI
305	8	2	14	1	2 cm	SI	SI			MN							
305	8	2	14	5	4 cm	SI	SI										
305	8	2	14	1	4 cm												
305	8	2	14	3	1 cm												
305	8	2	14	2	3 cm	SI	SI										
305	8	2	14	1	4 cm												

305	8	2	14	1	4 cm													
305	8	2	14	1	2 cm													
305	9	2	14	1	3 cm													
305	9	2	14	2	2 cm													
305	9		20	6	3 cm													
305	9		20	3	4 cm													
305	9		20	1	2 cm													
305	9		20	1	5 cm	SI	SI											
305	9		20	3	3 cm													
305	9		20	2	3 cm													
305	9		20	1	1 cm	SI	SI											
305	9		20	1	5 cm	SI			M									
305	9	3	24	1	3 cm													
305	9	3	24	1	4 cm													
305	9	3	24	4	3 cm													
305	10	2	14	2	4 cm													
305	10	2	14	1	3 cm													
305	10		21	1	6 cm													
305	10		21	1	4 cm	SI	SI											
305	10		21	2	2 cm	SI	SI											
305	10		21	1	2 cm													
305	10		21	1	2 cm													
305	10		21	1	3 cm													
305	10		21	1		SI	SI											
305	10	1 1- 1 2	23	1	3 cm	SI	SI		M									PULIDO
305	10	1 1- 1 2	23	1	3 cm													
305	10	1 1- 1 2	23	1	2 cm													
305	10	1 1- 1 2	23	1	2 cm	SI	SI											
305	10	1 1- 1 2	23	1	2 cm	SI	SI											
305	10	1 1- 1 2	23	1	2 cm	SI	SI											
305	10	1 1- 1 2	23	1	1 cm													



305	11	1 1- 1 2	23	1	10 cm													
305	11	1 1- 1 2	23	3	2 cm													
305	11	1 1- 1 2	23	7	1 cm													
305	11	1 1- 1 2	23	1	1,5 cm													
305	11	1 1- 1 2	23	1	2 cm	SI	SI											
305	11	1 1- 1 2	23	5	1 cm													
305	11	1 1- 1 2	23	1	1,5 cm	SI	SI											
305	11	1 1- 1 2	23	2	2 cm													
305	11	1 1- 1 2	23	2	2 cm	SI	SI			N								
305	11	1 1- 1 2	23	1	2 cm	SI	SI			B								
305	11	1 1- 1 2	23	1	2 cm	SI	SI											
305	11	1 1- 1 2	23	1	2 cm													
305	11	1 1- 1 2	23	2	4 cm													
305	11	1 1- 1 2	23	1	6 cm													
305	11	1 1- 1 2	23	1	5 cm													
305	11	1 1- 1	23	3	2 cm													

		1 2																
305	11	1 1- 1 2	23	3	3 cm													
305	11	1 1- 1 2	23	2	3 cm													
305	11	1 1- 1 2	23	2	5 cm	SI	SI											
305	11	1 1- 1 2	23	2	6 cm	SI	SI											
305	11	1 1- 1 2	23	1	3 cm	SI	SI											
305	11	1 1- 1 2	23	3	2 cm													
305	11	1 1- 1 2	23	1	1 cm													
305	11	1 1- 1 2	23	1	1 cm													
305	11	1 1- 1 2	23	1	3 cm													
305	11	1 1- 1 2	23	1	4 cm													
305	11	1 1- 1 2	23	1	2 cm	SI	SI											
305	11	1 1- 1 2	23	1	2 cm	SI	SI											
305	11	1 1- 1 2	23	4	4 cm													
305	11	1 1- 1 2	23	2	5 cm	SI	SI											
305	11	1 1- 1 2	23	1	6 cm	SI	SI											

305	11	1 1- 1 2	23	4	1 cm	SI				N							
305	11	1 1- 1 2	23	1	1 cm	SI				N							
305	11	1 1- 1 2	23	1	2 cm	SI	SI			N							
305	11	1 1- 1 2	23	1	2 cm	SI				B							
305	11	1 1- 1 2	23	1	3 cm	SI				MN							
305	11	1 1- 1 2	23	1	1 cm	SI				NB							
305	11		26	1	3 cm					N							
305	11		26	1	3 cm					N							
305	11		26	1	3 cm					N							
305	11		26	1	3 cm					N							
305	11		26	1	3 cm					N							
305	11		26	1	3 cm					N							
305	11		26	1	3 cm					N							
305	11		26	1	3 cm					N							
305	11		26	1	3 cm					N							
305	11		26	1	3 cm					N							
305	11		26	1	3 cm					N							
305	11	1 1- 1 2	27	1	4 cm												
305	11	1 1- 1 2	27	1	4 cm												
305	11	1 1- 1 2	27	2	4 cm												
305	11	1 1- 1 2	27	2	4 cm												
305	11	1 1- 1 2	27	2	4 cm												
305	11	1 1- 1 2	27	4	3 cm												

		1 2																
305	11	1 1- 1 2	27	1	4 cm	SI	SI											
305	11	1 1- 1 2	27	1	3 cm	SI	SI			MN								
305	11	1 1- 1 2	27	1	4 cm													
305	11	1 1- 1 2	27	2	5 cm													
305	11	1 1- 1 2	27	2	5 cm													
305	11	1 1- 1 2	27	1	4 cm	SI	SI											
305	11	1 1- 1 2	27	9	3 cm													
305	11	1 1- 1 2	27	1	2 cm													
305	11	1 1- 1 2	27	1	2 cm													
305	11	1 1- 1 2	27	1	5 cm													
305	11	1 1- 1 2	27	1	5 cm													
305	11	1 1- 1 2	27	7	2 cm	SI	SI											
305	11	1 1- 1 2	27	1	3 cm													
305	11	1 1- 1 2	27	1	3 cm													
305	11	1 1- 1 2	27	10	1 cm													



305	11	1 1- 1 2	27	1	3 cm													
305	11	1 1- 1 2	27	1	4 cm													
305	11	1 1- 1 2	27	1	3 cm													
305	11	1 1- 1 2	27	1	3 cm													
305	11	1 1- 1 2	27	1	1 cm													
305	11	1 1- 1 2	27	1	2 cm													
305 M3 M4	4		7	8	2 cm	SI	SI											
305 M3 M4	4		7	2	3 cm													
305 M3 M4	4		7	1	2 cm	SI	SI			MN								
306	5		8	31	1 cm													
306	5		8	1	1 cm													
306	5		8	2	2 cm	SI	SI											
306	5		8	1	1 cm													
306	5		8	1	2 cm	SI	SI											
306	5		8	1	4 cm													
306	5		8	3	3 cm													
306	6	7	13	1	3 cm													
306	6	7	13	1	4 cm	SI	SI			N								
306	6	7	13	1	4 cm	SI				N								
306	6	7	13	1	8	SI	SI				SI							ARCILLA
306	7		12	1	1 cm	SI	SI			M								
306 M1	4		7	1	4 cm	SI	SI											
306 M1	6		10	1	2 cm													
306 M1	7		12	2	4 cm	SI	SI		SI	M								
306 M1	7		12	5	1 cm													
306 M1	7		12	1	2 cm													
306 M2	5		11	12	1 cm													
306 M2	5		11	1	15													
306 M2	9		20	6	2 cm													
306 M2	9		20	1	3 cm	SI	SI			M								
306 M2	9		20	1	4 cm	SI	SI			N								
306 M2	9		20	1	3 cm	SI	SI			M								

306 M2	9		20	1	2 cm													
306 M2	9		20	1	3 cm													
306 M2	9		20	1	3 cm	SI	SI											
308 M4	4		7	25	2 cm													
308 M4	4		7	3	10	SI	SI											
CA04	2		2	3	2 cm						SI	SI	SI				SI	
CA04	3	2	6	1	1 cm													
CA04	4		4	1	4 cm	SI	SI											
CA04	4		4	10	2 cm	SI	SI											
CA04	5		4	4	1 cm													
CA04	5		4	3	1 cm													
CA04	5		4	1	4 cm	SI	SI											
CA04	5	2	6	1	1 cm													
CA04	6		4	4	1 cm													
CA04	6	2	6	4	1 cm													
CA04	6	2	6	1	2 cm													
CA04	8		4	11	2 cm													
CA04 M2	2		1	3	3 cm	SI	SI											
CA04 M2	15		11	4	4 cm						SI							CONCRE
CA04 M2	15		11	13	4 cm						SI							CONCRE
CA04 M2	15		11	1	11	SI	SI	SI			SI							CONCRE
CA06	2		1	11	2 cm	SI	SI				SI	SI						
CA06	2		1	1	2 cm	SI	SI				SI	SI						
CA06	2		1	1	3 cm						SI	SI						
CA06	2		1	1	1 cm						SI	SI						
CA06	2		1	2	1 cm						SI	SI						
CA06	2		1	1	4 cm						SI	SI						
CA06	2		1	1	3 cm						SI	SI						
CA06	2		1	1	1,5 cm						SI	SI						
CA06	2 M2	1	3	13	3 cm													
CA06	2 M2	1	3	1	3 cm						SI	SI						
CA06	2 M2	1	3	1	1 cm	SI				N								
CA06	2 M2	1	3	9	1 cm													
CA06	2 M2	1	3	1	2 cm													
CA06	2 M2	1	3	1	2 cm													
CA06	2 M2	1	3	20	2 cm													
CA06	2 M3 Y 4	1	3	5	2 cm													
CA06	2 M3 Y 4	1	3	1	1 cm													
CA06	2 M23 4	1	3	20	2 cm													
CA06	2 M23 4	1	3	1	1 cm	SI				MN								

CA06	2 M23 4	1	3	1	2 cm	SI				NB	SI	SI					
CA06	2 M23 4	1	3	1	1 cm												
CA06	2 M23 4	1	3	1	1 cm												
CA06	2 M23 4	1	3	1	2 cm												
CA06	2 M23 4	1	3	1	1,5 cm												
CA06	2 M23 4	1	3	1	2 cm												
CA06	2 M23 4	1	3	1	1 cm												
CA06	2 M23 4	1	3	1	1												
CA06	3	1	3	29	2 cm												
CA06	3	1	3	2	3 cm	SI				M							
CA06	3	1	3	2	2 cm												
CA06	3	1	3	3	1 cm												
CA06	3	1	3	1	1 cm												
CA06	3	1	3	1	1 cm												
CA06	3	1	3	1	2 cm												
CA06	3	1	3	1	4 cm	SI	SI				SI		SI				
CA06	3	1	3	66	1 cm												
CA06	3	1	3	1	2 cm												
CA06	3	1	3	1	3 cm												
CA06	3	1	3	1	4 cm						SI		SI		SI		
CA06	3	1	3	2	1 cm												
CA06	3	1	3	1	6 cm												
CA06	3	1	3	1	3 cm												
CA06	3	1	3	1	2 cm	SI	SI										
CA06	3	1	3	1	2 cm												
CA06	3	1	3	1	2 cm												
CA06	3	1	3	1	1 cm												
CA06	3	1	3	1	1 cm												
CA06	3	1	3	1	1 cm												
CA06	3	1	3	2	1 cm												
CA06	3	1	3	1	1 cm												
CA06	3	1	3	1	1 cm												
CA06	3	1	3	1	1 cm												
CA06	3	1	3	1	1 cm												
CA06	3 M12 34	1	3	1	3 cm												

CA06	3 M12 34	1	3	32	2 cm													
CA06	3 M12 34	1	3	1	2 cm	SI				N								
CA06	3 M12 34	1	3	1	2 cm													
CA06	3 M12 34	1	3	1	2 cm	SI	SI											
CA06	3 M12 34	1	3	1	2 cm													
CA06	3 M12 34	1	3	1	3 cm													
CA06	3 M12 34	1	3	1	3 cm													
CA06	3 M12 34	1	3	1	2 cm													
CA06	3 M12 34	1	3	1	1 cm													
CA06	4	1	3	11	3 cm					SI	SI							
CA06	4	1	3	11	2 cm	SI				N								
CA06	4	1	3	29	1 cm													
CA06	4	1	3	1	1 cm	SI				NB								
CA06	4	1	3	1	1 cm													
CA06	4	1	3	1	2 cm	SI												PULIDO
CA06	4	1	3	1	2 cm													
CA06	4	1	3	1	2 cm													
CA06	4	1	3	1	2 cm													
CA06	4	1	3	1	2 cm													
CA06	4	1	3	1	2 cm	SI				N								
CA06	4	1	3	1	1 cm													
CA06	4	1	3	2	2 cm													
CA06	4	1	3	2	2 cm													
CA06	4	1	3	1	2 cm													
CA06	4	1	3	1	1 cm													
CA06	4	1	3	1	1 cm													
CA06	4	1	3	1	2 cm													
CA06	4	1	3	1	2 cm													
CA06	4	1	3	1	2 cm													
CA06	4	1	3	1	1 cm													
CA06	4	1	3	1	2 cm	SI				M								
CA06	4	1	3	1	2 cm	SI				M								

CA06	4	1	3	3	1 cm													
CA06	4	1	3	1	1 cm													
CA06	4	1	3	1	1 cm													
CA06	4	1	3	2	1 cm													
CA06	4	1	3	2	1 cm													
CA07	2		2	1	3 cm													
CA07 M1	3	2	4	15	1 cm													
CA07 M1	3	2	4	3	3 cm	SI	SI											
CA07 M1	3	3	5	19	4 cm	SI	SI											
CA07 M1	3	3	5	1	1 cm													
CA07 M1	3	3	5	2	2 cm	SI	SI			N								
CA07 M1	3	3	5	1	3 cm													
CA07 M1	3	3	5	1	3 cm													
CA07 M1	3	3	5	1	2 cm													
CA07 M1	3	3	5	1	3 cm													
CA07 M2	2		1	17	3 cm													
CA07 M2	2		1	1	1 cm	SI	SI											
CA07 M2	2	2	4	26	2 cm													
CA07 M2	2	2	4	9	2 cm													
CA07 M2	2	2	4	3	4 cm													
CA07 M2	3	2	4	29	2 cm	SI	SI											
CA07 M2	3	2	4	1	4 cm	SI	SI	SI		B								
CA07 M2	3	2	4	1	1 cm													
CA07 M2	3	2	4	1	2 cm	SI	SI											
CA07 M2	3	2	4	1	2 cm	SI	SI											
CA07 M2	3	2	4	1	2 cm	SI	SI											
CA07 M2	4	2	4	2	3 cm	SI	SI											
CA07 M2	4	2	4	1	5 cm													
CA07- 09	6	3	5	3	3 cm	SI	SI			N								
CA07- 09	6	3	5	1	2 cm													
CA07- 09	6	3	5	1	4 cm													
CA07- 09	6	3	5	1	3 cm													

CA0709 M1		3	5	5	2 cm	SI	SI										
CA0709 M1		3	5	1	2 cm												
CA0709 M1	6	3	5	8	3 cm	SI	SI										
CA0709 M1	8	3	4	2	1 cm												
CA0709 M1 Y 2	4	2	4	7	2 cm												
CA0709 M1 Y 2	4	2	4	18	3 cm	SI	SI										
CA0709 M1 Y 2	4	2	4	2	2 cm	SI	SI			MN							
CA0709 M1 Y 2	4	2	4	2	7 cm												
CA0709 M1 Y 2	4	2	4	2	2 cm												
CA0709 M1 Y 2	4	2	4	1	2 cm	SI	SI			MN							
CA0709 M1 Y 2	4	3	5	8	1 cm												
CA0709 M1 Y 2	5	2	4	1	2 cm	SI	SI										
CA0709 M1 Y 2	5	2	4	7	2 cm	SI	SI										
CA0709 M1 Y 2	5	2	4	8	2 cm												
CA0709 M1 Y 2	5	2	4	1	3 cm												
CA0709 M1 Y 2	5	2	4	1	4 cm	SI	SI										
CA0709 M1 Y 2	5	2	4	1	2 cm	SI	SI										
CA0709 M1 Y 2	5	3	5	1	2 cm	SI	SI										
CA08	2		2	1	2 cm	SI				NB							
CA08	3		3	1	1 cm	SI	SI			M							
CA08	4		4	11	2 cm												
CA08 M3	2		2	1	2 cm	SI	SI										
CA08 M3	4		4	3	4 cm	SI	SI										
CA08 M4	3		3	30	1 cm												
CA08 M4	3		3	1	4 cm	SI	SI										
CA08 M4	3		3	1	3 cm						SI	SI	SI				
CA09 M1	2		2	10	4 cm	SI	SI										
CA09 M1	2		2	10	4 cm	SI	SI										
CA09 M1	2		2	10	4 cm	SI	SI										
CA09 M1	2		2	10	4 cm	SI	SI										
CA09 M1	2		2	10	4 cm	SI	SI										

CA09 M2	2	2	4	10	3 cm	SI	SI											
CA09 M2	2	2	4	1	3 cm													
CA09 M2	2	2	4	1	3 cm													
CA09 M2	3	2	4	23	2 cm													
CA09 M2	3	2	4	3	1 cm													
CA09 M2	3	2	4	1	3 cm	SI	SI											
CA09 M2	3	2	4	1	4 cm													
CA09 M2	3	2	4	2	1 cm													
CA09 M2	3	3	5	18	1 cm													
CA09 M2	3	3	5		4 cm													
CA09 M2	3	3	5		2 cm													
CA09 M2	4	2	4	1	8													
CA12	2		1	1	3 cm	SI	SI		SI		SI	SI	SI				SI	pulido
CA12	4		6	6	4 cm													
CA12	4		6	1	3 cm	SI				MN								
CA12	4		6	1	3 cm	SI	SI											
CA12	4		6	1	3 cm												SI	
CA12	5		9	30	2 cm													
CA12	5		9	4	3 cm	SI	SI			N								
CA12	5		9	1	2 cm													
CA12	5		9	2	4 cm	SI	SI											
CA12	5		9	1	2 cm	SI	SI											
CA12	5		9	1	3 cm	SI			SI									TRANSVER SAL LIMPIA
CA12	6		8	1	3 cm													
CA12	6		8	2	3 cm													
CA12	6		8	1	1 cm													
CA12	6		8	1	5 cm	SI	SI											
CA12	6		8	35	2 cm													
CA12	6		8	2	2 cm	SI				MN								
CA12	6		8	1	2 cm	SI				M								
CA12	6		8	1	4 cm													
CA12	6		8	2	3 cm	SI	SI		SI									
CA12	6		8	1	1 cm							SI				SI		
CA12	6		8	1	4 cm													
CA12	6		9	1	3 cm	SI	SI			N								
CA12	6	1	10	1	6	SI				SI								
CA12	6	1	10	1	4	SI	SI											

CA12	6	1	10	1	2														
CA12	6	1	10	1	3														
CA12	6	1	10	1	3														
CA12	6	1	10	1	4	SI	SI												
CA12	6	1	10	1	3	SI	SI												
CA12	6	1	10	6	3														
CA12	6	1	10	6	3	SI				SI									
CA12	6	1	10	1	4	SI	SI												
CA12	6	1	10	1	3														
CA12	6	1	10	1	2														
CA12	6	1	10	4	3														
CA12	6	1	10	1	4														
CA12	7	1	10	1	2	SI				SI									
CA12	7	1	10	1	10		SI			SI									
CA12	7	1	10	12	2					SI									
CA12	7	1	10	4	4	SI	SI			SI	AGUA								
CA12	7	1	10	1	2	SI				SI									
CA12	7	1	10	1	7	SI				SI									
CA12	7	1	10	1	8	SI				SI									
CA12	7	1	10	2	4	SI	SI			SI									
CA12	7	1	10	1	3	SI				SI									
CA12	8	1	12	1	4														
CA12	8	1	12	1	4														
CA12	8	1	12	1	2														
CA12	8	1	12	15	2														
CA12	8	1	12	1	2	SI				SI									
CA12	8	1	12	1	2														
CA12	8	1	12	1	5	SI	SI			SI									
CA12	8	2	13	1	2														
CA12	8	3	14	1	4	SI	SI			SI									
CA12	9	1	12	3	6														
CA12	9	1	12	2	4														
CA12	9	1	12	1	3														
CA12	9	1	12	1	2														
CA12	9	1	12	5	2														
CA12	9	1	12	1	2														
CA12	9	1	12	1	3														
CA12	9	2	15	1	4	SI				SI									
CA12	10	3	14	3	2														
CA12	10	3	14	2	2														
CA12	10	1	16	1	4	SI				SI									
CA12	10	1	16	1	3														
CA12	10	1	16	1	6														
CA12	10	1	16	1	7						PRE LAV								
CA12	10	1	16	1	5														



CA12	10	1	16																
CA12	10	1	16	25	3	SI				SI									
CA12	10	1	16	1	3														
CA12	10	1	16	1	4	SI	SI												
CA12	10	1	16	1	3														
CA12	10	1	16	1	3														
CA12	10	1	16	1	3	SI	SI												
CA12	10	1	16	1	3														
CA12	10	1	17	1	3	SI	SI												
CA12	10	1	17	1	1						SI								
CA12	10	1	17	1	2	SI		2		SI									
CA12	10	1	17	1	1														
CA12	10	1	17	1	3	SI	SI			SI									
CA12	10	1	17	1	4														
CA12	10	1	17	1	2														
CA12	11	1	17	1	3														
CA12	11	1	17	1	3														
CA12	11	1	17	1	6														
CA12	11	1	17	2	7	SI	SI												
CA12	11	1	17	1	1														
CA12	11	1	17	1	1														
CA12	11	1	17	1	2														
CA12	11	1	17	1	3	SI			SI										
CA12	11	1	17	1	2														
CA12	11	1	17	1	2														
CA12	11	1	17	1	2														
CA12	11	1	17	1	1														
CA12	11	1	17	1	2	SI				SI									
CA12	11	1	17	8	2														
CA12	11	1	17	1	2	SI	SI			SI									
CA12	11	1	17	1	1														
CA12	11	1	17	1	2														
CA12	11	1	17	1	1														
CA12	11	1	17	1	7	SI	SI												
CA12	11	1	17	1	4														
CA12	11	1	17	1	2	SI				SI									
CA12	12	1	17	1	5	SI	SI	SI											
CA12	12	1	17	1	3	SI	SI												
CA12	12	1	17	1	2														
CA12	12	1	17	1	4														
CA12	12	1	17	1	8	SI			SI		SI								
CA12	12	1	17	1	1														
CA12	12	1	17	1	4														
CA12	12	1	17	1	5	SI	SI												
CA12	12	1	17	1	3	SI	SI			SI									

CA12	12	1	17	2	3	SI	SI											
CA12	12	1	17	4	3													
CA12	12	1	17	2	4	SI	SI											
CA12	12	1	17	1	2	SI				SI	SI							
CA12	12	1	17	2	2	SI				SI								
CA12	12	1	17	1	3													
CA12	12	1	17	1	2													
CA12	12	1	17	1	2	SI	SI											
CA12	12	1	17	1	2													
CA12	12	1	17	1	1													
CA12	12	1	17	1	2	SI				SI								
CA12	12	1	17	1	3	SI	SI											
CA12	12	1	17	1	2													
CA12	12	1	17	2	2													
CA12	12	1	18	1	2	SI	SI			SI PUL								
CA12	12	1	18	1	3													
CA12	12	1	18	1	2													
CA12	13	1	19	1	2													
CA12	13	1	19	4	1													
CA12	13	1	19	1	5													
CA12	13	1	19	1	8													
CA12	13	1	19	1	1													
CA12	13	1	19	1	10													
CA12	13	1	19	1	7	SI	SI											
CA12	13	1	19	1	2													
CA12	13	1	19	1	3	SI	SI			SI							SI	
CA12	13	1	19	1	2	SI	SI				SI							
CA12	13	1	19	1	3													
CA12	13	1	19	1	8	SI	SI											
CA12	13	1	19	1	3													
CA12	13	1	19	1	3													
CA12	13	1	19	1	2													
CA12	13	1	19	1	4													
CA12	13	1	19	1	4	SI	SI											
CA12	13	1	19	1	3	SI	SI											
CA12	13	1	19	1	2													
CA12	13	1	19	1	5												SI	
CA12	13	1	19	1	4													
CA12	13	1	19	1	4	SI	SI											
CA12	13	1	19	1	3													
CA12	13	1	19	1	7	SI	SI											
CA12	13	1	19	1	3													
CA12	13	1	19	1	3													
CA12	13	1	19	1	6	SI	SI											
CA12	13	1	19	1	4													



MCT 4-013	1			1	1	140	2	R	28	2	MA RRO N	O D VI	M M	EX	D F			DF+		
MCT 4-013	1			1	1	140	2	R	1	4	MA RRO N	O D VI	M M	EP	FE			CA		
MCT 4-013	1			1	1	140	2	R	1	7	MA RRO N	O D VI	M M	AX	V T			VT	S F	SB
MCT 4-013	1			1	1	140	2	R	1	3	MA RRO N	O D VI	M M	EX	F A 2			DF+		
MCT 4-013	1			1	1	140	2	R	3	4	MA RRO N	O D VI	M M	EX	H L			DF		
CO-1C-004	4	1	C	7	5	63-90	2	R	17	1	MA RRO N	R O D	M M P	CR	M D + D	B	I N F	MD +D		
CO-1C-004	4	1	C	7	5	63-90	2	R	1	2	MA RRO N	R O D	M M P	EA	ES C	D			F	
CO-1C-004	4	1	C	7	5	63-90	2	R	1	2	MA RRO N	R O D	M M P	EA	U L	D		EP+	F	
CO-1C-004	4	1	C	7	5	63-90	2	R	1	2	MA RRO N	M M	M M	EX	H L			DF		
MCT 4-016	3			1 3 A		110	1	R	2	3	MA RRO N	R O D	M M P	EP	P EL	I		IL+I S		
MCT 4-001	3			5				R	1	4	AM ARIL LO	M M	M M	EP	FE			CA	S F	SB
MCT 4-006	6			6		130	1	R	1	2	MA RRO N	O D VI	M M	EX	F A 1	D		EP	S F	SB
MCT 4-007	6			6		130	1	R	1	3	MA RRO N	O D VI	M M	EX	E P			EP	S F	SB
MCT 4-008	6			6		130	1	R	1	4	N	P U M E	M M	EA	FE	I		EP+	F	AD
MCT 4-009	6			6		130	1	R	1	3	N	M M	M M	EX	E X			ED		
MCT 4-011	6			6		130	1	R	3	5	MA RRO N	M G	M G	EX	H C					
MCT 4-012	6			6		130	1	NR	10	2	MA RRO N									
MCT 4-013	6			6		130	1	R	1	3	MA RRO N	R O D	M M P	EA	ES C					
MCT 4-014	6			6		130	1	R	1	3	MA RRO N	M P	M P							
CO-2C-003	7	2	C	5	4	50-77	2	R	1	2	AM ARIL LO	M M	M M	AX	V E			CU	F	AD
MCT 4-007	1			7	1	70	1	R	16	3	AM ARIL LO	M M	M M	EX	D F			DF		
MCT 4-008	1			7	1	70	1	R	1	4	MA RRO N	M M	M M	EA	H U			EP	F	AD
MCT 4-009	1			7	1	70	1	R	1	3	N	M M	M M	EX	D F			DF		
MCT 4-001	9			1 5				R	1	7	MA RRO N	M M	M M	EX	D F			DF		
MCT 4-002	9			1 5				R	1	14	MA RRO N	M M	M M	EX	D F			DF		
MCT 4-003	9			1 5				R	1	15	AM ARIL LO	M M	M M	EX	D F			DF		

MCT 4-004	9			15			R	1	7	AMARILLO	M	M	EX	D			DF			
MCT 4-005	9			15			R	1	8	AMARILLO	M	M	EX	D			DF			
MCT 4-006	9			15			R	1	15	AMARILLO	M	M	EX	D			DF			
MCT 4-007	9			15			R	1	5	AMARILLO	M	M	CR	M	A		MAX			
MCT 4-008	9			15			R	1	3	AMARILLO	M	M	AX	C	O		COSS			
MCT 4-003	10			3		170	R	1	1	MARRON	CA	P	CR	C	R					
MCT 4-004	10			3		170	R	3	1	MARRON	CA	P	EX	H	L		DF			
MCT 4-005	10			3		170	R	1	2	MARRON	CA	P	CR	M	D		MD+D			
MCT 4-006	10			3		170	R	1	5	MARRON	CA	P	EP	TI			EP+DF			
MCT 4-004	3			4		180	2	R	3	6	MARRON	M	M	CR	C	R		CR		
CO-1C-004	5	1	C	7	5	78	2	R	18	1	AMARILLO	M	P	EX	H	L		DF		
CO-1C-005	5	1	C	7	5	78	2	R	4	3	AMARILLO	M	P	EX	H	L		DF		
CO-1C-006	5	1	C	7	5	78	2	R	1	3	AMARILLO	R	O	EP	TI		DF+ED	F	AD	
CO-1A-004	7			4		50-60	1	NR	24	1	AM									
MST 1-014	3			8		110	2	R	4	1	MARRON	CA	P	EX	H	L		DF		
MST 1-015	3			8		110	2	R	1	3	MARRON	CA	P	CR	M	D		MD+D	AD	
MST 1-016	3			8		110	2	R	1	3	MARRON	CA	P	CR	M	A		MD+D	AD	
MST 1-017	3			8		110	2	R	1	3	MARRON	CA	P	EX	M	T		MT	AD	
MST 1-017	3			8		110	2	R	1	4	MARRON	O	D	EX	F	I		ENTERO	AD	
MST 1-018	3			8		110	2	R	1	3	MARRON	CA	P	EA	ES	C				
MCT 4-005	5			5		155	1	NR	2	2	MARRON	AP	A	HL	D		DF			
MCT 4-006	5			5		155	1	R	1	4	MARRON	AP	A	EP	TI		DF+ED			
CO-1B-002	4	1		2		20-40	S	R	1	6	AM	M	G	AX	C	O		COSS		
MCT 4-013	3			1	2	260	2	R	2	7	MARRON	CA	P	EP	TI	D		ENTERA	F	AD
MCT 4-014	3			1	2	260	2	R	1	8	MARRON	CA	P	EP	TI	I		ENTERA	F	AD
MCT 4-015	3			1	2	260	2	R	1	4	MARRON	CA	P	CR	M	I		MD+D		AD

MCT 4-016	3			1	2	260	2	R	1	5	MA RRO N	O D V I	M M	CR	A S			AS			
MST 1-012	1			7		80-160 cm bs	3- -4	R	1	3	MA RRO N	CA P O	M P	CR	M D + D	I		MD +D			AD
MST 1-013	1			7		80-160 cm bs	3- -4	R	1	2	MA RRO N	CA P O	M P	CR	M D + D	D		MD +D			AD
MST 1-014	1			7		80-160 cm bs	3- -4	R	1	2	MA RRO N	CA P O	M P	EP	TI	D		EN TER A		F	AD
MST 1-015	1			7		80-160 cm bs	3- -4	R	1	2	MA RRO N	CA P O	M P	EP	FE	D		ED		F	AD
MST 1-016	1			7		80-160 cm bs	3- -4	R	1	2	MA RRO N	M M P	M M	CR	C R			CR			
MST 1-017	1			7		80-160 cm bs	3- -4	R	1	4	MA RRO N	R O D	M P	EP	FE	I		EN TER O		F	AD
MST 1-018	1			7		80-160 cm bs	3- -4	R	1	2	MA RRO N	M M P	M M	EX	H L			DF			
MST 1-020	1			7		80-160 cm bs	3- -4	R	1	3	MA RRO N	O D V I	M M	EA	R A			EP		F	AD
MST 1-021	1			7		80-160 cm bs	3- -4	R	3	2	M-N	M M P	M M P								
CO-1C-004	1	1		7	6	90-110	2	R	25	1	AM	M M	M M								
CO-1C-005	1	1		7	6	90-111	2	R	1	5	AM	M M	M M	AX	C O S	I		CA B		F	AD
CO-1C-004	1	1	C	7	5	63-90	2	R	79	1	AM	R O D	M P	CR	M D + D			MD +D			AD
CO-1C-005	1	1	C	7	5	63-91	2	R	2	3	AM	R O D	M P	EX	H L			DF			
CO-1B-008	4	1		4	5 y 6	88-103	2	R	6	4	M	M M	M M	AX	V E			VE			AD
CO-1B-009	4	1		4	6 y 6	88-104	2	R	2	3	N	M M	M M	AX	V E			VE			AD
MCT 4-013	2			1	2	250	2	R	1	1	AM	SY BR	M P	CR	M A X + D			MA X+ D			
MCT 4-008	1			7	2	116	1	R	1	7	M	O D V I	M M	AX	A X			AX		F	AD
MCT 4-009	1			7	2	116	1	R	1	7	M	O D V I	M M	EA	ES C			ESC			
MCT 4-010	1			7	2	116	1	R	2	3	M	O D V I	M M	EX	H L			DF			
MCT 4-011	1			7	2	116	1	R	2	4	M	O D V I	M M	EX	H L			DF			
MCT 4-012	1			7	2	116	1	R	1	9	M	O D V I	M M	AX	C O S			CO S		F	AD
MCT 4-010	3			9			2- -3	R	4	5	AM	M M	M M	AX	C O S			CO S		F	AD
MCT 4-011	3			9			2- -3	R	1	4	M	O D V I	M M	EX	F A 1	I		EN T		F	AD
CO-2A-006	2	2	A	4	4	52-75	2	R	7	1	AM	R O D	M M P	CR	M D			MD			

CO-2C-003	4	2	C	5	4	50-77	2	R	1	2	M	R O D	M M P	CR	C R			CR		
CO-2C-004	4	2	C	5	4	50-77	2	R	1	2	M	R O D	M M P		E P	I		TI		
CO-2C-005	4	2	C	5	4	50-77	2	R	1	2	M	R O D	M M P		P EL			PEL		
CO-2C-006	4	2	C	5	4	50-77	2	R	1	3	M	R O D	M M P	EP	P EL			PEL		
CO-2C-002	4	2	C		3	40-55	1 A	R	45	1	AM	M P	M P	EX	H L			DF		
MST 2-002	4			1	2	100	2	R	1	5	M	OS VI	M M	EX	A ST			AST		
MST 2-002	4			1	2	100	2	R	1	2	M	M M	M M	EX	SE S			SES		
MST 2-002	4			1	2	100	2	R	1	7	M	CA P O	M P	EP	FE	I		FE	F	AD
MST 2-002	4			1	2	100	2	R	1	2	M	PU M E	M M	AX	V T			VT	F	AD
MST 2-002	4			1	2	100	2	R	1	4	M	CA P O	M P	CR	M D + D			MD +D		
MST 2-002	4			1	2	100	2	R	1	2	M	M M	M M	CR	M D + D			MD +D		
MST 2-002	4			1	2	100	2	R	1	3	M	M P	M P	CR	C R			CR		
MST 2-002	4			1	2	100	2	R	1	3	M	M P	M P	EP	FE			FE	S F	INF
MST 2-002	4			1	2	100	2	R	1	5	M	R O D	M P	EA	U L			UL	F	AD
MST 2-002	4			1	2	100	2	R	1	3	M	R O D	M P	EA	U L			UL	F	AD
MST 2-003	6			1	2	100	2	R	1	8	M	O D VI	M M	CR	M D + D			MD +D		AD
MST 2-003	6			1	2	100	2	R	1	5	M	O D VI	M M	EP	FE	D		ED	S F	JUV
MST 2-003	6			1	2	100	2	R	1	6	M	CA P O	M P	EP	FE	I		FE	F	AD
MST 2-003	6			1	2	100	2	R	1	2	M	CA P O	M P	EX	C AL			CAL		
MST 1-009	4			6		60-100	2	NR	4	1	N									
MST 1-001	3					160		R	2	2	M	M M	M M	CR	D	I	I2			
MST 1-010	6			6		100-125	3-4	R	2	2	M	M M	M M	EX	H L			D		
MST 1-010	6			6		100-125	3-4	R	1	4	M	O D VI	M M	EX	F A 1			D		
MST 1-010	6			6		100-125	3-4	R	1	2	M	M M	M M	CR	P ET			PET R		
MST 1-010	6			6		100-125	3-4	R	1	3	M	M M	M M	CR	C R			CR		
MST 1-010	6			6		100-125	3-4	R	1	3	M	M M	M M	EX	H L			D		

MST 1-010	6			6		100-125	3-4	R	1	3	M	M P	M P	EA	ES C			ESC			
MST 1-011	8			7		40-80	1	R	3	3	M	CA P O	M P	CR	M D + D			MD +D			
MST 1-011	8			7		40-80	1	R	1	6	AM	CA P O	M P	EP	FE	I	FE	F	AD		
MST 1-005	3			4				R	21	4	AM	O D V I	M M	CR	A S			AS			
MST 1-003	8			2				R	1	9	AM	O D V I	M M	EA	U L	I	UL				
MST 1-003	8			2				R	1	7	M	M M	M M	EX	H L			D			
MST 1-006				5		110	1	R	1	4	G	O D V I	M M	EX	M T			ED			
MST 1-006				5		110	1	R	1	3	G	M M	M M	AX	V E			VE			
MST 1-004	5			3				R	11	4	M	O D V I	M M	CR	C R			CR			
MSTI -007 0	1			5		140	2	R	1	3	B	O D V I	M M	EX	F A 1			DF+ ED			
MSTI -007 0	1			5		140	2	R	2	3	B	PU M E	M M	EA	H U			DF+ ED			
MSTI -007 0	1			5		140	2	R	1	4	M	M M	M M	EX	H L			DF+ ED			
MST 1-007	9			5		140	2	R	6	5	M	M M	M M	EX	H L			DF+ ED			
MST 1-007	9			5		140	2	R	3	4	M	M M	M M	EX	H L			DF+ ED			
MST 1-007	9			5		140	2	R	7	2	M	M P	M P	EX	H L			DF+ ED			
MST 1-007	9			5		140	2	R	1	6	M	PU M E	M M	EA	U L			UL			
MST 1-007	9			5		140	2	R	2	5	M	PU M E	M M	AX	A X			AX			
MST 1-007	9			5		140	2	R	2	6	M	M P	M P	EP	TI	A M B		TI			
MST 1-007	9			5		140	2	R	1	6	M	M P	M P	EP	FE	I		FE			

## Análisis Tafonómico de Llano Chico II.

Procedencia	Funda	CORTE	Unidad	Rasgo	Nivel	Profundidad	Depósito	Identificación_Exc	NR	Tamaño_Fragmen	Coloración	Especie	Talla	Grupo Anatómic	Elemento	Lateralidad	Posición	Parte_Elemento	Sexo	Fusiones	Edad Cualitativa	Presencia	Alt_Antrópicas	Fractura Antro	Puntos de Impact	Trazas de Corte	Termoalteración	Mod Natural	Disolución	Abrasión/Pulido	Vermiculaciones	Carnívoros	Presión	
MST 1-013	5			8		70 cms	D 1	1	3	M - N	M M P	M M P	M M P	F X H L				D F				1	X											
MCT 4	17			11		220	2	R	1	4	M A R R	P U M E	M M	E P F E	I			E P		F	A D	2	X	X	X	X								









MCT4-004	9		15			R	1	7	A	M	M	E	D		D			2	X	X	X			X	X	X
MCT4-005	9		15			R	1	8	A	M	M	E	D		D			2								
MCT4-006	9		15			R	1	15	A	M	M	E	D		D			2	X	X	X					
MCT4-007	9		15			R	1	5	A	M	M	C	M		M			1								
MCT4-008	9		15			R	1	3	A	M	M	A	C		C			1	X	X		X	X			
MCT4-003	10		3	170		R	1	1	M	C	M	C	C					1								
MCT4-004	10		3	170		R	3	1	M	C	M	E	H		D			2	X	X						
MCT4-005	10		3	170		R	1	2	M	C	M	C	M		M			1	X			X				
MCT4-006	10		3	170		R	1	5	M	C	M	E	P		E			2	X	X		X				
MCT4-004	3		4	180	2	R	3	6	M	M	M	C	C		C			1								
CO	5	1	C	7	5	7	2	R	1	8	1	A	M	P	M	E	H		1				X	X		



















